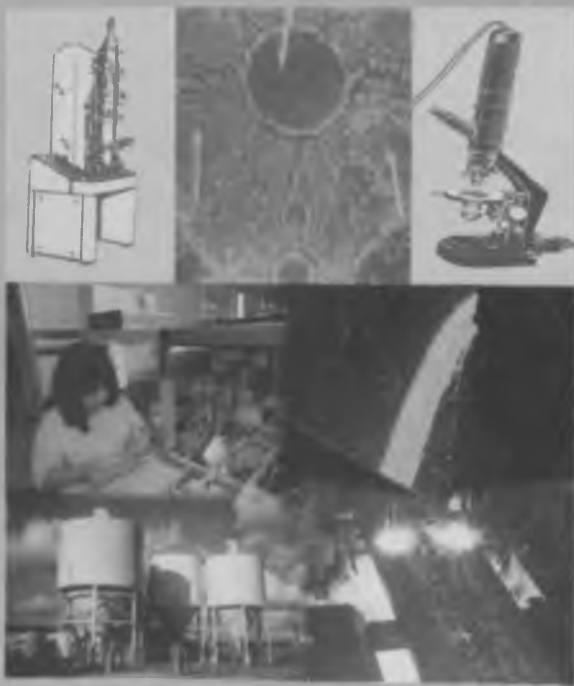


А.А. ИСМАТОВ

СИЛИКАТ ВА ЗҮРФАСЮЛУВЧАН  
МАТЕРИАЛЛАР ФИЗИК-КИМЁВИЙ  
ТАХЛИЛИНИНГ ЗАМОНАВИЙ  
УСУЛЛАРИ



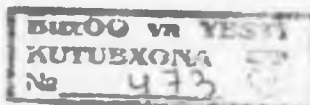
66  
И 85 УЗБЕКИСТОН РЕСПУБЛИКАСИ  
ОЛИЙ ВА ЎРТА МАХСУС ТАЪЛИМ ВАЗИРЛИГИ

А. А. ИСМАТОВ

СИЛИКАТ ВА ЗЎРҒАСУЮЛУВЧАН  
МАТЕРИАЛЛАР ФИЗИК - КИМЁВИЙ  
ТАҲЛИЛИНИНГ ЗАМОНАВИЙ  
УСУЛЛАРИ

Узбекистон Республикаси Олий ва ўрта махсус таълим  
вазирлиги томонидан олий ўқув юртларининг  
кимёвий-технология факультетлари талабалари учун  
ўқув қўлланма сифатида тавсия этилган

ТОШКЕНТ – 2006



**А.А.Исматов.** Силикат ва зўрга суюловчан материаллар физик-кимёвий таҳлилиниң замонавий усуллари.  
Т., «Fan va texnologiya», 2006, 272 б.

Ўқув қулланмада кимёвий технология, шу жумладан, ноорганик моддалар, силикат ва зўргасуюловчан материаллар, камёб, тарқоқ ва нодир металлар физик-кимёвий таҳлилиниң замонавий усуллари, айниқса, микроскопия, рентгенография, ИК спектроскопия ва термография ҳақида маълумот берилади. Ҳар бир усул алоҳида ёритилиб, унга тааллуқли аппаратлар, уларнинг тузилиши, ишлаш принципи ва уларда иш олиб бориш тартиби ҳақида маълумотлар киритилган. Текширилаётган обьект намуналарини тайёрлаш йўллари ҳам кўрсатилган.

“Физик-кимёвий таҳлилнинг замонавий усуллари” фани ўқув қулланмаси В 522400 – «Кимёвий технология» йўналишида ўқитиладиган “Силикат ва зўргасуюловчан материаллар технологияси” соҳасида таълим олаётган 4-курс кундузги ва 5-курс сиртқи бўлимларнинг талабалари учун мулжалланган. Ундан «Ноорганик моддалар технологияси», “Камёб, нодир ва тарқоқ металлар технологияси”, «Электро-кимёвий ишлаб чиқариш ва коррозиядан сақлаш технологияси» соҳалари талабалари, илмий мутахассислар, магистрантлар, ишлаб чиқаришдаги муҳандис ва техник ходимлар ҳам фойдаланишлари мумкин.

Тақризчилар: С.Т.Тұхтаев – Ўзбекистон Республикаси  
Фанлар Академиясининг ҳақиқий аъзоси,  
кимё фанлари доктори, профессор.  
Н.П.Исмоилов – кимё фанлари  
доктори, профессор.  
П.А.Арипов – техника фанлари номзоди

## СҮЗ БОШИ

В 522400 – «Кимёвий технология» йўналишининг асосий соҳаларидан бири “Силикат ва қийин суюқланадиган материаллар технологияси” соҳаси бўйича бакалавр касб фаолиятлари доираси кенг ва обьектлари жуда кўп. Булар қаторига саноат корхоналарида ишлаб чиқарилган буюмлар, ашёлар, уларнинг таркиби ва хусусиятларини аниқловчи усуллар, асбоблар, кўп мақсадларга мўлжалланган боғловчи модда, керамика ҳамда шишасимон буюмлар олишда қўлланиладиган жиҳозлар. юқори самарали технологик жараёнлар, тизимлар, атроф-муҳит ҳолатини баҳолаш услублари, воситалари, саноат ишлаб чиқариши, энергетика ва транспорт таъсиридан атроф-муҳитни ҳимоялаш кабилар киради.

Юқоридаги факторларни аниқлаш, уларга таъсир ўтказиш ва яхшилашда “Физик-кимёвий таҳдилнинг замонавий усуллари” фанининг роли бениҳоят катта. Шунинг учун ҳам силикат ва зўргасу оловчан материаллар технологияси мутахассислигига оид кадрлар тайёрловчи олий ва маҳсус урта ўкув юртларининг ўкув режасидан у мустақил фан сифатида ўрин эгаллаган.

Ушбу ўкув қўлланма олий техника ўкув юртлари “Боғловчи материаллар кимёвий технологияси”, “Керамика ва ўтга чидамли материаллар кимёвий технологияси”, “Шиша ва ситаллар кимёвий технологияси” ва “Электрон техника воситалари кимёвий технологияси” ихтиоссликлари дастурларига мувофиқ ўзбек тилида ёзилган.

Ўкув қўлланма беш бобдан ташкил топган. Унинг биринчи бобида “Физик-кимёвий таҳдилнинг асосий усуллари” га оид умумий масалалар қисқача тарзида ёритилган. Иккинчи боб микроскопик, учинчى боб инфрақизил спектроскопик, тўртинчى боб термик ва ниҳоят бешинчى боб рентгенографик таҳлилга бағишланган.

Ўкув қўлланмани ёзишла муаллиф ўзининг Тошкент кимё-технология институтининг “Силикат материаллар технологияси” кафедрасида узоқ вақт давомида талабаларга ўқиган маъруза материалларини асос қилиб олган.

Мазкур ўкув қўлланмани нашрга тайёрлашда фойдали маслаҳатлар ва танқидий фикр-мулоҳазалар билдирган акад. С.Т. Тўхтаев, т.ф.н. П.А. Арипов ва к.ф.д., проф. К.А. Ахмеровларга муаллиф самимий миннатдорчилик билдиради.

Ўкув қўлланма биринчи бор нашр қилинаётганлиги сабабли фойдаланувчиларнинг қўйидаги манзилга юборилган барча истак, фикр ва танқидий мулоҳазалари мамнуният билан қабул қилинади: 700011, Тошкент, Навоий кучаси, 32, ТошКТИ.

## КИРИШ

Олий таълим йўналишлари ичидаги В 522400 – «Кимёвий технология» йўналишига кирувчи «Силикат ва зўргасуюловчан материаллар технологияси», «Ноорганик моддалар технологияси» ва «Камёб, нодир ва тарқоқ металлар технологияси» мухим ўринни эгаллайди.

Силикат ва қийин суюқланадиган материаллар технологияси – физикавий, физик-кимёвий, кимёвий ва биологик жараёнлар ёрдамида кўп мақсадларга мўлжалланган керамика, шишиасимон ва боғловчи моддалар ҳамда электрон техникини буюмларини олиш ва яратиш услублари, усуллари ва воситалари мажмуасини қамраб олувчи фан ва техника соҳасидаги йўналишdir.

Бу йўналиш бўйича бакалавр касб фаолиятлари доираси ва обьектлари қўйидагилардан иборат: силикат ва қийин суюқланадиган буюмлар ва ашёлар; уларнинг таркиби ва хусусиятларини аникловчи усуллар ва асбоблар; кўп мақсадларга мўлжалланган керамика, шишиасимон ва боғловчи моддалар ва ашёлар олишда қўлланиладиган жиҳозлар, юқори самарали технологик жараёнлар ва саноат тизимлари, уларни бошқариш; атрофмұхит ҳолатини баҳолаш услублари ва воситалари, саноат ишлаб чиқариши, энергетика ҳамда транспорт таъсиридан атрофмұхитни ҳимоялаш.

Силикат ва қийин суюқланадиган материаллар технологияси соҳаси бўйича бакалавр фундаментал, умумкасб ва маҳсус тайёргарликка мувофиқ равишда қўйидаги касбий фаолият турларини юритиши мумкин:

ї технологик фаолият: цех, бўлим, участка технологи сифатида ишлаш; кўп мақсадларга мўлжалланган керамика, шишиасимон ва боғловчи моддалар ишлаб чиқариш соҳаси бўйича ҳаракатдаги ишлаб чиқаришда участкани, цехни эксплуатация қилиш; хом ашё, ёрдамчи материаллар ва тайёр маҳсулотлар сифатини назорат қилиш, ана шу ишлаб чиқаришларни ташкил этиш ва такомиллаштириш бўйича технологик счимларни

ишлиб чиқиши; намунавий технологик жараёнларни қўллаш; технологик схемаларни таҳтил қилиш ва технологик курсаткичлар ҳисобини юритиш; ҳаракатдаги технологик жиҳозларнинг ишланини таъминлаш, уларнинг ишга яроқтилигини сақлаш ва тиклаш;

ର лойиҳавий фаолият: ностандарт ва намунавий технологик аппаратлар, ускуналар, жиҳозларни лойиҳалаш ва лойиҳа ҳужжатларини расмийлаштириш;

- илмий фаолият: янги моддалар ва ашёлар синтези соҳаларида илмий-тадқиқотлар ўтказиш; керамика (нафис, қурилиш, функционал ва машинасозлик керамикаси, чинни, сопол, иссиқлик ҳимояловчи ва ўтга чидамли материаллар – шамот ва динас гиштлари, таркибиға магний, хром, цирконий ва бошқа қийин эрувчан элементлар кирган буюмлар ва бошқалар), шишасимон (шиша, қийин суюқланадиган шиша, шиша толаси, толали оптика, лазер шишаси, люминисцент шишаси, ярим ўтказувчан шиша, ўта юқори ўтказувчан шиша, эмаль ва ҳимояловчи қатлам, шишакристалл материаллар ва бошқалар) ва боғловчи материаллар (цемент, асбоцемент буюмлари, гипсли ва оҳакли боғловчи, автоклав материаллар ва ҳоказолар) ҳамда электрон техникаси буюмлари кимёвий технологиясининг янги жараёнларини ишлиб чиқиши; ишлаб чиқариш ускуналарини моделлаштириш ва оптималлаштириш, янги яратилган технологик жараённи синаш ва тажрибалар ўтказиш; ишлаётган ва олинган моддалар ва ашёларнинг хоссаларини аниқлаш ва таҳтил этиш; патент қидируви ишларини олиб бориш ва адабиётлар таҳдилини ўтказиш.

Бакалавр B522400 – «Кимёвий технология» йўналиши «Силикат ва қийин суюқланадиган материаллар технологияси» соҳаси бўйича магистратурада камида 2 йил муддатда қуйидаги мутахассисликлар бўйича ўқиш давом эттирилади:

M 522412	ର Силикат ва зўргасуюлувчан материаллар кимёвий технологияси
M 522413	ର Керамик ва оловбардош буюмлар кимёвий технологияси
M 522414	ର Шиша ва ситаллар кимёвий технологияси
M 522415	ର Боғловчи материаллар кимёвий технологияси
M 522424	ର Электрон техника буюм материаллари кимёвий технологияси

Юқорида санаб утилган касбий фаолият турларини амалга оширишда, саноат корхоналарида чиқарилаётган маҳсулотларнинг хоссаларини урганишда, шунингдек, илмий-текширув ишларини кенг кўламда олиб боришка “Физик-кимёвий таҳлилнинг замонавий усуллари” фанининг роли жуда катта. Бу фанга оид ўзбек тилидаги китобларнинг камлиги туфайли ушбу уқув кўлланмаси ёзилди

Укув кўлланмада физик-кимёвий таҳлилининг микроскопия, рентгенография, инфрақизил спектроскопия, электрон микроскопия, термография ва бошқа усувлари ҳақидаги маълумотлар келтирилади. Усувларга оид маълумотлар беришда қўйидагиларга аҳамият берилган: усувларнинг кашф этилиш тарихи, уларнинг назарий асослари, ишлатиладиган асбобларнинг тузилиши ва ишлаш ҳолати, ҳисоблаш ҳамда усувлардан фойдаланишга асосланган мисоллар.

## БИРИНЧИ БОБ

### ФИЗИК-КИМЁВИЙ ТАҲЛИЛНИНГ АСОСИЙ УСУЛЛАРИ

**I-§. Физик-кимёвий таҳлил усулларини ривожлантиришда жаҳон. Марказий Осиё ва Ўзбекистон олимларининг ҳиссаси**

Кириш қисмida қайд қилганимиздек, кимёвий модда, камъёб, тарқоқ ва нодир металлар, силикат ва зурғасуюлувчан материаллар ва уларни ташкил қилган айрим хом ашёларининг кимёвий-минералогик таркибини мукаммал ўрганиш ва уларнинг вужудга келишини физик-кимёвий қонунлар асосида талқин этиш физик-кимёвий таҳлил усулларининг асосини ташкил қиласди. Физик-кимёвий таҳлил усулларини ривожлантиришда купгина ривожланган мамлакатларнинг олимлари катта ҳисса қўшишган Масалан, микроскопия усули пайдо булишида италиялик Г.Галилей, германиялик И. Кеплар ва Лазо, голландиялик А.Левенгук, англиялик Р. Гук, Франциялик Берtrand, россиялик С.С. Федоров каби ўнлаб олимларнинг илмий иҷтимишлиари асос булади. Рентгенографик текшириш усулининг яратилишига немис физиги Рентген, инглиз физиклари ота-бала Брегглар, Лауз, Шеррер каби олимлар асос солишиди. Инфрақизил спектроскопия усули Брестер, Леон. Бер. Л.Н.Лазарев каби олимлар иши туфайли ривожланди. Термография усулининг ривож топишига Ле-Шателье, Де Кейзер, А.С. Курнаков, Л.Г. Берг каби жаҳон олимлари ҳисса қўшишиди.

Физик-кимёвий таҳлил усуллари ривожида Марказий Осиё давлатлари, шу жумладан, Ўзбекистон олимларининг хизматлари ҳам катта. Қозогистон Фанлар Академиясининг ҳақиқий аъзоси С.Т. Сулейменов, фан докторлари Т.Абдувалиев, Б.О.Есимов, З.А.Естемесов, А.А.Мирзахўжаев, И.С.Аҳметов, Ўзбекистон Фанлар Академиясининг ҳақиқий аъзолари Ҳ.М.Абдуллаев, И.Ҳ.Хамрабоев, Н.А.Парпиев, М.Н.Набиев, С.Т.Тўхтаев, фан докторлари Н.А.Сироғиддинов,

Х.Т.Шарипов, Б.И.Нудельман, А.А.Исматов, С.С.Қосимова, М.Ю.Юнусов, А.П.Ирқашохажаева, Д.Д.Ғуломова, Р.И. Абдуллаева, А.М. Эминов, Д.У. Тулаганов, М. Искандарова ва бошқалар физик-кимёвий таҳлил усулларининг қўлланиши ва ривожланишига оид кўплаб мақолалар чоп этишли ва асарлар яратишли.

## 2-§. Физик-кимёвий таҳлил таърифи

Физик-кимёвий таҳлил-тайёр маҳсулот олиш учун ишлаб чиқариш жараёнларида қулланиладиган усул ва методлар (хом ашё, материал ёки ярим фабрикатларга ишлов бериш, аралаштириш, қолиплаш, куритиш, куйдириш каби жараёнлар орқали уларнинг ҳолати, шакли ва хусусиятини ГОСТ, ТУ каби техник шароитлар талаблари буйича ўзгартиш) мажмумини тұла таъминловчи ва шу билан бирга технологик процессларнинг турли босқичларидаги назоратни ҳам уз ичига олган кимёвий, физик-кимёвий ва физикавий омиллар йиғиндиси.

Физик-кимёвий таҳлилда шу кунга қадар инсониятта маълум бўлган барча асосий анализ методлари группасидан, чунончи кимёвий (вазн, ҳажм, колориметрик, газ ҳажмий ва бошқа), физик-кимёвий (электровазний, потенциометрик, амперометрик, полярографик, фотоколориметрик, хроматографик ва бошқа) ва физикавий (рентгеноспектрал, алланга фотометрияси, масса спектроскопик, люминесцент, активацион, магнит каби) анализ методларидан фойдаланилади.

Физик-кимёвий таҳлил маҳсулот ишлаб чиқарувчи корхона талабларидан келиб чиқсан ҳолда бир қатор турларга ажralади. Унинг маркировка методида истеъмолчиларга узатилувчи тайёр материал кимёвий таркибининг маркаси ёки сиртида курсатилган таркиб ёки хоссага туғри келиш-келмаслиги аниқланади. Тезлаштирилган ёки экспресс метод материал кимёвий таркиби ёки унга кирган бирор кимёвий модда миқдорини технологик жараён буйича текширишда қўлланилади. Назорат ёки арбитраж методи таъминловчи муассаса билан истеъмолчи муассаса уртасида материалнинг кимёвий таркиби ёки бирор хосса-хусусияти (масалан, пишиқ гишт ва портландцемент маркаси) туғрисида келишмовчилик юз берган тақдирда утказилади.

Физик-кимёвий таҳлил кейинги вақтларда фан ва техника-нинг турли соҳаларида кимёвий бирикма, минерал, тупроқ,

курилиш материаллари, керамика хом ашёси ва бошқаларни текширишда көнг қулланмоқда. Айниқса, саноатда технологик жараёнлар назорати ва материаллар анализида у жуда ҳам құл келмоқда.

Силикат ва қийин суюқланувчи моддалар, табиий ва сунъи минераллар ҳамда кимёвий бирикмаларнинг тузилмалари, фазовий таркиблари, микротузилиши, иссиқлик таъсирида хоссаларини ўзgartиришлари физик-кимёвий текширишлар орқали аниқланади. Силикат моддалари асосида олинган барча маҳсулот тури, масалан, цемент кукуни, керамика буюми, шиша ва турли турдаги электрон материаллари (цемент, шифер, гипс, оқак, гишт, оловбардош буюм, самарадор гишт, кошин, қувур, ойна, шишакристалл, диэлектрик, ўтказгич ва бошқалар) нинг тузилиши ва хоссалари ҳам физик-кимёвий усулда текшириш орқали амалга оширилади.

Текширилаётган модда ёки минерални чукур таҳлил этишда фақат бир ёки икки параметр маълумотлари бўйича чекланиб қолмасдан, балки уни комплекс равища таҳлил этиш лозим. Олинган натижалар бир-бирини тўлдириб, текширилаётган объект ҳақида тўлиқ бир хуоса чиқаришга имкон беради.

Фанинг биринчи ва асосий вазифаси физик-кимёвий таҳлилнинг асосий усулларини талабаларга сингдиришдан иборат. Бунинг учун текширилаётган модда ёки минералнинг на-муналарини тўғри тайёрлаш, қўлланилаётган усул талабларини тўғри бажариш лозим.

Анъанавий янги материаллар, янги технологиялар барпо этишда, қайтадан барпо этилган технологик жараёнда тажриба ишларни бажаришда тегишли таҳлилларни қўллаш, илмий-тадқиқот ишларни бажариш бўйича талабалар маҳоратини ошириш, ишлатиладиган хом ашёлар ҳамда олинадиган материаллар, маҳсулотларнинг кимёвий-минералогик таркиби, хоссалари, уларнинг хусусиятларини аниқлаш, таҳлил қилиш, шунингдек, патент излаш, адабиётлардаги маълумотларни тўплаш, ўрганиш ва бошқалар ҳам «Физик-кимёвий таҳлилнинг замонавий усуллари» фанинг асосий вазифалари қаторига киради.

Илмий таҳлилни саноатда қўллаш орқали ишлаб чиқарилаётган маҳсулот сифати яхшиланади ва таннархининг арzonлашишига эришилади.

Х.Т.Шарипов, Б.И.Нудельман, А.А.Исматов, С.С.Қосимова, М.Ю.Юнусов, А.П.Ирқақолжанова, Д.Д.Гуломова, Р.И. Абдуллаева, А.М. Эминов, Д.У. Тұлаганов, М. Искандарова ва бошқалар физик-кимёвий таҳлил усулларининг қулланиши ва ривожланишига оид күплаб мақолалар чоп этилди ва асарлар яратишли.

## 2-§. Физик-кимёвий таҳлил таърифи

Физик-кимёвий таҳлил-тайёр маҳсулот олиш учун ишлаб чиқариш жараёнларидаги қўлланиладиган усул ва методлар (хом ашё, материал ёки ярим фабрикатларга ишлов бериш, аралаштириш, қолиплаш, қуритиш, куйдириш каби жараёнлар орқали уларнинг ҳолати, шакли ва хусусиятини ГОСТ, ТУ каби техник шароитлар талаблари бўйича ўзгартиш) мажмумини тула таъминловчи ва шу билан бирга технологик процессларнинг турли босқичларидаги назоратни ҳам уз ичига олган кимёвий, физик-кимёвий ва физикавий омиллар йигиндиси.

Физик-кимёвий таҳлилда шу кунга қадар инсониятта маълум бўлган барча асосий анализ методлари группасидан, чунончи кимёвий (вазн, ҳажм, колориметрик, газ ҳажмий ва бошқа), физик-кимёвий (электровазний, потенциометрик, амперометрик, полярографик, фотоколориметрик, хроматографик ва бошқа) ва физикавий (рентгеноспектрал, алланга фотометрияси, масса спектроскопик, люминесцент, активацион, магнит каби) анализ методларидан фойдаланилади.

Физик-кимёвий таҳлил маҳсулот ишлаб чиқарувчи корхона талабларидан келиб чиқсан ҳолда бир қатор турларга ажралади. Унинг маркировка методида истеъмолчиларга узатилувчи тайёр материал кимёвий таркибининг маркаси ёки сиртида курсатилган таркиб ёки хоссага тугри келиш-келмаслиги аниқланади. Тезлаштирилган ёки экспресс метод материал кимёвий таркиби ёки унга кирган бирор кимёвий модда миқдорини технологик жараён бўйича текширишда қулланилади. Назорат ёки арбитраж методи таъминловчи муассаса билан истеъмолчи муассаса уртасида материалнинг кимёвий таркиби ёки бирор хосса-хусусияти (масалан, пишиқ ғишт ва портландцемент маркаси) түргисида келишмовчилик юз берган тақдирда утказилади.

Физик-кимёвий таҳлил кейинги вақтларда фан ва техника-нинг турли соҳаларида кимёвий бирикма, минерал, тупроқ,

қурилиш материаллари, керамика хом ашёси ва бошқаларни текширишда кенг қулланмоқда. Айниқса, саноатда технологик жараёнлар назорати ва материаллар анализида у жуда ҳам қўл келмоқда.

Силикат ва қийин суюқланувчи моддалар, табиий ва сунъий минераллар ҳамда кимёвий бирималарнинг тузилмалари, фазовий таркиблари, микротузилиши, иссиқлик таъсирида хоссаларини ўзгартиришлари физик-кимёвий текширишлар орқали аниқланади. Силикат моддалари асосида олинган барча маҳсулот тури, масалан, цемент кукуни, керамика буюми, шиша ва турли турдаги электрон материаллари (цемент, шифер, гипс, оҳак, гишт, оловбардош буюм, самарадор гишт, кошин, қувур, ойна, шишакристалл, диэлектрик, ўтказгич ва бошқалар) нинг тузилиши ва хоссалари ҳам физик-кимёвий усулда текшириш орқали амалга оширилади.

Текширилаётган модда ёки минерални чукур таҳлил этишда фақат бир ёки икки параметр маълумотлари бўйича чекланиб қолмасдан, балки уни комплекс равишида таҳлил этиш лозим. Олинган натижалар бир-бирини тўлдириб, текширилаётган объект ҳақида тўлиқ бир хуоса чиқаришга имкон беради.

Фанинг биринчи ва асосий вазифаси физик-кимёвий таҳлилнинг асосий усулларини талабаларга сингдиришдан иборат. Бунинг учун текширилаётган модда ёки минералнинг на-муналарини тўғри тайёрлаш, қўлланилаётган усул талабларини тўғри бажариш лозим.

Анъанавий янги материаллар, янги технологиялар барпо этишда, қайтадан барпо этилган технологик жараёнда тажриба ишларни бажаришда тегишли таҳлилларни қўллаш, илмий-тадқиқот ишларни бажариш бўйича талабалар маҳоратини ошириш, ишлатиладиган хом ашёлар ҳамда олинадиган материаллар, маҳсулотларнинг кимёвий-минералогик таркиби, хоссалари, уларнинг хусусиятларини аниқлаш, таҳлил қилиш, шунингдек, патент излаш, адабиётлардаги маълумотларни тўплаш, ўрганиш ва бошқалар ҳам «Физик-кимёвий таҳлилнинг замонавий усуллари» фанинг асосий вазифалари қаторига киради.

Илмий таҳлилни саноатда қўллаш орқали ишлаб чиқарилаётган маҳсулот сифати яхшиланади ва таннархининг арzonлашишига эришилади.

дир. Бундай материалларни текшириш усуулари ҳам турлича бўлиб, уларни икки катта группага ажратиш мумкин:

**1. Оптика усуулари.** Бу группага умумий номи кристаллооптика деб аталувчи иммерсион таҳлил, металлографик таҳлил, монокристаллар таҳлили кирган бўлиб, улар маҳсус оптика асбоблари-поляризацион ва металлографик микроскоплар орқали олиб борилади.

**2. Кимёвий ва физик-кимёвий усуулар.** Буларга петрографиянинг петрокимё, петрургия, петрофизика каби соҳалари киради. Бу усуулар ёрдамида силикат ва зўргасуюловчан материалларининг таркибини мукаммал ўрганиш ва уларнинг пайдо бўлиши, хосса-хусусиятларини физик-кимёвий қонунлар нуқтаи назаридан талқин этиш мумкин. Ҳозирги вақтда минералогик-геокимёвий текшириш усули номи билан аталувчи тадқиқотларни ўtkазицда спектрал, рентген спектрал ва радиометрик анализ усууларидан фойдаланилади.

Петрокимё усули ёрдамида жинс ҳосил қилувчи элементларнинг тақсимланиши ҳисобга олинади. Минералогик - геокимё усулида эса жинслар таркибига кирган тарқоқ ҳолда ва миқдори оз бўлган минераллар аниқланади. Рентгенозлектрон микроанализ методи ёрдамида эса минералларнинг таркиби тез ва сифатли аниқланади. Петрургия усулида сунъий маҳсулотлар ўрганилиб, уларнинг табиий минераллар генезисига ўхшаш-ўхшамаслиги аниқланади. Петрофизика усууларида эса турли аппаратлар ёрдамида тектоник процесслар, уларнинг зичлиги, электр, иссиқлик ҳамда сейсмик тўлқинларнинг ўтказувчанлиги каби хусусиятлари ўрганилади.

Силикат моддалар, бирикмалар ва материалларни физик-кимёвий таҳлилининг асосий усуулари қаторига киради:

- 1) микроскопия;
- 2) электрон микроскопия;
- 3) рентгенография;
- 4) термография;
- 5) ИК спектроскопия;
- 6) ядро магнит резонанси (ЯМР);
- 7) электрон парамагнит резонанси (ЭПР);
- 8) электронография;
- 9) хромотография;
- 10) магнетокимё;
- 11) изотропия;
- 12) кимёвий анализ;

13) спектрал анализ;

14) башқа усуллар.

Биринчи - бешинчи усуллар энг күп құлланиладыган усулдар қаторига киради.

Хом ашё, маңсулот ва башқа ноорганик моддаларнинг кимёвий, минералогик таркиби, микро ва макротузилиш, белгилі хосса ва хусусиятларини аниқлашда энг қадимий микроскопия-га оид усуллар жуда құл келади.

Цемент ва шифер, керамика ва оловбардош буюм, шиша ва шиша-кристалл ишлаб чиқаришда маңсулотларнинг хоссалари ва сифатини аниқлашда эса микроскопия усулидан көнгүламда фойдаланылған.

Фазалар сони, нималиги ва миқдорини аниқлаш, кристалларнинг текстураланғанлық даражасы, үлчамини аниқлаш ва документал фиксация қилишда рентгенографик усулында тенг келеді.

Термография усули моддаларни қыздырыш жараённида содир бўладиган процесларни ўрганади. Иссиқтік ютувчи ва иссиқлик чиқарувчи эндо ва экзоэфектларни фиксация қилиш орқали моддада содир этилган ўзгаришлар (парчаланиш, бирикиш, полиморфик ўзгариш ва ҳоказо) ҳарорати аниқланади.

Термографик текширишларда эндотермик реакциялар дифференциал эгри чизиги абсцисса ўқидан пастга йұналтирилған, экзотермик реакциялар учун эса пол чизигига нисбатан юқорига қараб оған бўлади. Шу жараёнларнинг бошланиш, максимал равишда ўтиш ва туталланиш температуралари ўта аниқ аниқланади. Лекин бўлиб ўтган ўзгариш мөхиятини аниқлаш учун яна рентгенография, микроскопия каби усулларга мурожаат қилинади.

Кимёвий модда, камёб, тарқоқ ва нодир металл, силикат ва зурғасуюлувчан моддалар таҳлилини ўтказышда инфрақизил спектроскопия усули ҳам көнгүлланилади. Бу ўринда кимёвий бирикмалар инфрақизил спектрнинг баъзи частоталарида уларни танлаб ютиш хусусиятига эга эканлиги құл келди. ИК спектрнинг күрениши модда табиати, молекула ҳосил бўлиш шартшароитлари, улар орасидаги масофа ва кимёвий бояланиш турига боғлиқ.

Модда тузилиши, ундағы физик ва кимёвий жараёнларни узунлиги  $10^{13}$ - $10^7$  ә ёки  $10^9$ - $1000$  мкм бўлган радио тўлқинларнинг резонанс ютилиши асосида ҳам ўрганиш методи-

лари мавжуд. Радиоспектроскопия номи билан аталувчи бундай методлар қаторига ядро магнит резонанси (ЯМР), электрон парамагнит резонанси (ЭПР), циклотрон резонанс (ЦР) кабилар кирган бўлиб, улар оптик спектроскопия, инфракызил спектроскопия ва мессбауэр ү-спектроскопиясидан ютилаётган квант энергиянинг кичиклиги билан фарқ қиласи. Жумладан, ЭПР асосида электронларда юз берадиган резонанс ҳодисаси ётган бўлиб, якка электронли орбитаси ёки орбиталари бўлган атом ёки молекула магнит хусусиятига эга эканлиги ва жуфтланмаган электронларнинг магнит моментлари билан ташки магнит майдони Н нинг ўзаро таъсири натижасида ҳосил бўладиган энергия сатҳлари орасидаги ўтишларга асосланган радиотулқинларнинг резонанс ютилиши ётади.

Номлари юқорида қайд этилган усулларнинг баъзиларини алоҳида-алоҳида қилиб ажратмай умумий кимёвий анализ усуллари қаторига киритиш мумкин. Уларга комплексометрия, фотокалориметрия, ион алмашиниш, потенциометрик титрлаш, полярография, анъанавий фотометрия, люминесценция киради.

### **5-§. Физик-кимёвий, термик ва бошқа таҳлил усуллари ёрдамида аниқланадиган кўрсаткичлар.**

Физик-механикавий таҳлил орқали аниқланадиган физик-механик кўрсаткичлар: 1. Зичлик-ўлчов бирлиги -  $\text{kg}/\text{m}^3$  да. 2. Мустаҳкамлик. Чўзилишдаги мустаҳкамлик чегараси -  $\text{MPa}$  да. сиқилишдаги мустаҳкамлик чегараси -  $\text{MPa}$  да. 3. Эластиклик модули -  $\text{kg}/\text{cm}^2 \times 10^{-6}$ . 4. Юнг модули -  $\text{kg}/\text{cm}^2 \times 10^5$ . 5. Қаттиқлик ва микроқаттиқлик -  $\text{kg}/\text{mm}^2$ . 6. Мўртлик. Стандарт намуналар бузилиши -  $\text{kg}$  см. Зарба ёпишқоқлиги- $\text{kg}$  см / $\text{cm}^2$ . Мўртлик кўрсатгичи -  $\text{kg}$  см/ $\text{cm}^3$ . 7. Едирувчанилийк - % да.

Термик жараёнлар таҳлили орқали аниқланади: 1. Иссиқлик сиғими - кал/г град. 2. Иссиқлик ўтказиш коэффициенти - кал/см сек град ёки ккал/м час. град. 3. Ҳарорат ўтказиш коэффициенти -  $\text{cm}^2/\text{сек}$  ёки  $\text{m}^3/\text{соат}$ . 4. Иссиқлик кенгайиш коэффициенти -  $1/\text{град} \times 10^{-7}$ . 5. Иссиққа чидамлилик -  $^{\circ}\text{C}$ . 6. Оловбардошлик -  $^{\circ}\text{C}$ . 7. Кристалланиш -  $^{\circ}\text{C}$ .

Оддаларнинг электр таҳлилига асосланган хоссалари: 1. Ҳажмий электрўтказувчаник -  $\text{ом}^{-1}$ ,  $\text{см}^{-1}$ . 2. Юзали электрўтказувчаник -  $\text{ом}^{-1}$ . 3. Диэлектрик ўтказувчаник. 4. Диэлектрик йўқотувчаник. 5. Электр мустаҳкамлик -  $\text{kV}/\text{см}$ .

Модданинг оптик таҳлилига асосланган хоссалари: 1. Нур ўтказувчанлик. 2. Нур ютувчанлик. 3. Нур қайтарувчанлик. 4. Нур синиши. 5. Дисперсия. 6. Нурнинг кўш синиши. 7. Оқлик.

Модданинг кимёвий турғуллиги таҳлилига асосланган хосса-хусусиятлар: 1. Сувга барқарорлик. 2. Кислотага бардошлиқ. 3. Ишқорга турғуллилік. 4. Коррозиябардошлиқ.

Бирикмаларнинг технологик таҳлилига асосланган хоссалари: 1. Намлик - % да. 2. Сув шимиш - % да. 3. Пластиклиқ - % да. 4. Киришиб кетиш - % да. Ҳавода киришиб кетиш. Олов таъсирида киришиб кетиш. 5. Ёпишқоқлик. 6. Юза тортилиши. 7. Қўлланиш қобилияти.

### Тәқрорлаш учун саволлар

1. В 522400 – «Кимёвий технология» Олий таълим йўналишининг асосий соҳаларидан бири «Силикат ва зўргасуюлувчан материаллар кимёвий технологияси» соҳасининг моҳиятини тушунтириб беринг.

2. Физик-кимёвий таҳдил таърифини келтиринг ва унинг технологик жараёнларни бошқаришдаги ролини ёритиб беринг.

3. «Физик-кимёвий таҳдилнинг замонавий усуслари» фанинг вазифаси ва мазмуни қандай?

4. «Физик-кимёвий таҳдилнинг замонавий усуслари» фанида қандай асосий қоида ва тушунчалар мавжуд?

5. Физик-кимёвий таҳдилнинг қандай асосий усуслари бор?

6. Нима учун илмий-тадқиқотлар олиб боришда бир нечта усулининг бир вақтида қўлланилиши зарур?

7. Физик-механикавий, термик ва бошқа жараёнларни ўрганишда қўлланиладиган яна қандай усусларни биласиз?

8. Электромагнит нурларининг тури ва уларга таалуқли тўлқин узунликларини көрсатинг.

9. Ёруғлик нурларининг тури ва уларга таалуқли тўлқин узунликларини ё ва мкм ўлчовларида беринг.

10. Физик-кимёвий таҳдил усусларини ривожлантиришда жаҳон, Марказий Осиё ва Ўзбекистон олимлари қандай ҳисса қўшишган?

11. Марказий Осиё олимларидан кимлар қимматбаҳо тошларнинг таҳлили устида иш олиб боришган ва юксак натижаларга эришган?

## ИККИНЧИ БОБ

### МИКРОСКОПИК ТАҲЛИЛ

#### 6-§. Микроскопик текшириш усули аҳамияти ва ривожи

Анорганик моддалар кимёси ва технологиясида кимёвий моддаларнинг хоссалари ва сифатини ўрганишда кенг қўлланиладиган қадимий усул микроскопиядир. Микроскопия илмий-текшириш ишлари олиб боришда микроскопни қўллаш ва микроскопик препаратлар ёрдамида жуда кичик, майда, фақат микроскоп билангина кўринадиган заррачаларнинг специфик хосса-хусусиятларини аниқлашга қаратилган усуллар. У аниқ кимёвий методлардан фойдаланиб, жуда оз миқдордаги моддаларни анализ қилиш имконини беради.

Микроскопия усули оптика қонунларига асосланган бўлиб, у ҳақидаги илк маълумотлар эрамиздан аввалги IV-II асрларда яшаган Аристотел, Евклид ва Птолемея асарларида учрайди. Катталаштирувчи шиша ёки лупани эса бу усулнинг энг бирламчи ва ўта содда асбоби деб қараш мумкин. Эрамизнинг XI асрида яшаган ва Европада Алхазен номи билан аталган араб олими Ибн Ал-Хайтан, XIII асрда тадқиқотлар олиб борган Роджер Бэкон, XVI аср бошида яшаган италиялик рассом Леонардо да Винчи фотометрия назарияси ва амалиётига асос солишиди. Оптика асбобларини кашф этиш ва ясаш эса XVII аср бошларига тўғри келади. Жумладан, 1609 й. италиялик олим Галилео Галилей томонидан катталаштирувчи труба - дурбин, 1611 й. немис олими Иоганн Кеплер томонидан телескоп, 1638 й. У. Гаскойн томонидан окулярли микрометр яратилди.

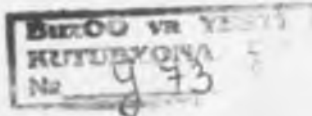
Майдо обьектларни курсатувчи маъносини англатувчи "микроскоп" термини ҳаётга 1646 й. немис олими А. Кирхер ва поляк астрономи И. Гавелия томонидан татбиқ этилди. Аммо микроскопия усулининг "отаси" сифатида бутун дунёда голландиялик А. Левенгук ва англиялик тадқиқотчи Р. Гук ҳисобланади. А. Левенгук ўз қўли билан ясаган микроскоп орқали инсоният тарихининг оламшумул ихтиросини яратади.

У сув томчиларида шу даврғача мәйлүм бўлмаган жонли модда-микроблар борлигини аниқлаб, янги фан "микробиология" га асос солди. Унинг тадқиқотлари француз олим Л.Пастор томонидан давом эттирилди ва натижада турли касалликларнинг пайдо булиши ва тарқалишида микроблар асосий сабабчи эканлиги исботлаб берилди. Гук эса ўзи яратган нурли микроскоп орқали ўсимлик ва ҳайвонларнинг ҳужайрали тузилишта эга эканлигини кашф этди. Умуман олганда, юз йилча давом этган бу даврда микроскопдан кенгроқ фойдаланилди.

XVIII аср бошларига келиб микроскоп орқали кристаллар дунёсининг тузилиши ургана бошланди, натижада Ўрта Осиё (Ўзбекистон) ҳалқаридан чиқсан хоразмлик буюк олим, математик ва астроном Беруний (972-1048) нинг "Қимматбаҳо тошлар", бухоролик Абу Али ибн Сино (980-1037) нині "Тошлар ҳақидаги трактат" ва бошқа олимлар асарларида келтирилган минераллар тавсифи тасдиқ топди. Даниялик олим Эразма Бартолин 1669 й. ёруғлик нурини синдириш кўрсатгичи кристалларда иккита булиши мумкинлиги, француз муҳандиси Этьен Малюс 1808 й. нурнинг кутбланиши, англиялик физик Уильям Никол кутбланувчи призма, англиялик олим Дэвид Брюстер ўз номи билан аталувчи бурчакларга оид қонунни кашф этиб, микроскопия усули назарияси ва асбобларини та-комиллаштиришга салмоқли ҳисса күшдилар.

Даниялик олим Э.Бартолин томонидан нурнинг поляризацияга учраши кашфиёт этилганидан икки аср кейин, яъни 1850 йили англиялик оптик Г.Сорби нурли микроскопда поляризацион нурни ишлатиш мумкинлигини аниқлади. Шу билан нурли микроскоп имкониятлари жуда кенгайди.

Микроскопик таҳлилнинг такомиллашиши кристаллографиянинг ривож топишига олиб келди. 1669 йили даниялик олим Н.Стенсен томонидан кристалларда тегишли бурчакларнинг доимийлилиги, 1783 йили эса француз Рене Жюст Гайюн кристаллар тузилишининг умумий назарияси, 1813 йили англиялик кимёгар В.Волластон кристалл панжараси тушунчасини яратдилар. Бу тушунчанинг ривожланиши туфайли 1866 йили француз олими О.Бравэ кристаллар дунёсида 14 элементар ячейкаларнинг мавжудлигини аниқланди. И.Гессель тадқиқотлари туфайли 1831 йилда кристалларнинг 32 симметрияси, 1891 йили эса рус олими Е.С. Федоров ва немис математиги А.Шенфлис томонидан 230 хил симметриянинг фазовий группалари борлиги тасдиқланди.



## 7-§. Кристаллооптика усули

Табиий ва сунъий кимёвий бирикмалар, хом ашё, материал ва буюмлар, минерал ва композицияларнинг оптик курсатгичларини уларнинг кристалл шакллари, таркиби ва симметрия қонуниятиларига боғлиқ ҳолда урганувчи фан соҳаси кристаллооптика деб аталади. Бу соҳа физика, кристаллография ва минералология фанлари билан боғлиқdir.

Кристаллооптиканда кристалл тузилишига эга булган силикатлар ва зурғасуюлувчан материаллардан нур түлқинларининг утиш ҳодисалари урганилади. Унда тадқиқотлар нур ва унинг турли шароитда тарқалишини кузатиш, тегишли хулоса чиқариш орқали олиб борилади.

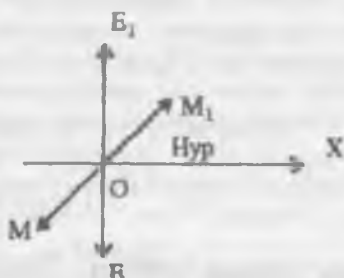
Нур түлқинлари электромагнит түлқинларидан бирмунча қисқалиги билан фарқланади. Инсон узунлиги 400-760 мкм га тенг булган нур түлқинларинигина кура олади. Электромагнит түлқинлари электр ( $E-E_1$ ) ва магнит ( $M-M_1$ ) түлқинларидан иборат. Бу түлқинлар бир-бирига ва шу билан бирга ёруғлик энергиясининг гарқалиш йўналишига перпендикулярдир. Мана шу ёруғлик энергияси тарқаладиган йўналиш нур деб аталади (1-расм). Кристаллооптика усулида нур тарқалишини кузатиш орқали олиб борилади.

Микроскопик таҳлилда нурнинг минераллардан утиши ва синиши ҳодисаси катта аҳамиятга эга. Булар орқали қўйидаги ҳусусиятлар аниқланади:

1. Нур синдирилиши ва синдирилиш курсаткичи- $Ng$ ,  $Nm$  ва  $Np$ .
2. Нурнинг иккиланиб синдириш кучи – ( $Ng-Np$ ) ёки  $\Delta N$ .
3. Нур поляризацияси – бир текис поляризацияланган нурларни ҳосил қўлиувчи ва микроскопик столчаси остидаги поляризатор орқали бажарилади.
4. Нур интерференцияси – интерференцион рангларнинг пайдо бўлиши.
5. Нисбий миқдорни аниқлаш – окуляр сетка ва интеграцион столча орқали.
6. Кимёвий бирикма ва минераллар рельефи – Бекке чизиги.
7. Плеохроизм – мoddанинг ютиш (абсорбциялаш) қобилияtlари.
8. Минерал ўқлари –  $Ng$  ва  $Np$  ўқлари.

9. Моддаларнинг узайиш белгиси – мусбат ва манфий узатиш.

10. Сўниш бурчаги – тўғри ва қия синиши ва бошқа хусусиятлар.

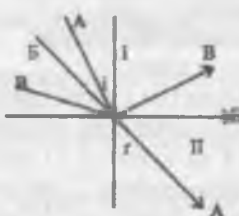


1-расм. Нур ва электромагнит тўлқинларининг йўналиши.

$E - E_1$  – электр тўлқинлари ва  $M - M_1$  – магнит тўлқинлари



2-расм. А ва Б нурларининг камзич мұхитдан зич мұхитга утишилдаги синиши. Бурчак  $i > r$ ,  $v_1 > v_2$  ва  $n_1 < n_2$ .



3-расм. А, Б ва В нурларининг зич мұхитдан камзич мұхитта утишилдаги синиши ва қайтарылыши. Бурчак  $i < r$ ,  $v_1 < v_2$  ва  $n_1 > n_2$ .

### 8-§. Таҳлилда аниқланадиган асосий хусусиятлар

1. Нур синдириш курсаткичи ( $n$  ёки  $N$ ). Нур синдириш курсаткичи Снеллиус ва Ньютон текширишлари бўйича нур тушиш бурчаги синусининг нур синиши бурчаги синуси нисбатига айтилади. У биринчи мұхитдаги ёруғлик тезлигининг иккинчи мұхитдаги ёруғлик тезлиги нисбатига тенг.

$$n \text{ абсолют} = \sin i / \sin r = v_{\text{бушлик}} / v_{\text{мухит}} .$$

бунла:  $n_{\text{абсолют}}$  - маълум сон бўлиб, у нур синдириш кўрсаткичи деб аталади;  $v_1$  ва  $v_2$  - тушиш ва синдирилиш муҳитларидаги нурнинг тезлиги.

Нисбий нур синдириш кўрсаткичи деб, икки шаффофф оптик муҳитда ёруғлик тарқалиш тезлигининг (ёки  $\lambda=583,3$  мкм,  $15^{\circ}\text{C}$  ва симоб устунининг 760 мм teng бўлган тулқин узунлигидаги электромагнит тебраниш) нисбатига айтилади

Агар иккинчи муҳит сифатида ҳаво танланса, у ҳолда

$$\frac{n_{\text{абсолют}}}{n_{\text{бунда}}} = \frac{n_{\text{модели}}}{n_{\text{хамо}}} = \frac{n_{\text{модели}}}{n_{\text{хамо}}} \times 1,0003$$

$$\text{бунда, } \frac{n_{\text{хамо}}}{v_{\text{хамо}}} = v_{\text{бүшлиқ}} / v_{\text{хамо}} = 1,000275 = 1,0003.$$

**2. Симметрия ҳақида тушунча.** Симметрия элементлари (симметрия уқлари, симметрия текислиги, симметрия маркази ёки инверсия ).

Симметрик ҳусусият деганда биз мос тушиш, яъни кристаллининг ўз-ўзига баъзи фазовий айлантиришда мос тушиши тушунилади.

- а) симметрия уқлари
- б) акс тасвир
- в) марказли симметрик тасвир.

Бу кўрсаткичлар бўйича ҳамма кристаллар етти (юқори - 1, ўрта -2-4 ва қўйи -5-7) сингонияга бўлинади:

- 1) кубик  $a=b=c$ ,  $\alpha=\beta=\gamma=90^{\circ}$ .

Мисол: Алмаз -С. Сингонияси - куб, фазавий группаси -  $Fd3m$ ,  $z=8$ ,  $a=3.567 \text{ \AA}$ ,  $b=3.567 \text{ \AA}$ ,  $c=3.567 \text{ \AA}$ ,  $\alpha=90^{\circ}$ ,  $\beta=90^{\circ}$  ва  $\gamma=90^{\circ}$ .

Альмандин -  $\text{Fe}_3\text{Al}_2\text{Si}_3\text{O}_{12}$ . Сингонияси - куб, фазавий группаси -  $Ia3d$ ,  $z=8$ ,  $a=11.53 \text{ \AA}$ ,  $b=11.53 \text{ \AA}$ ,  $c=11.53 \text{ \AA}$ ,  $\alpha=90^{\circ}$ ,  $\beta=90^{\circ}$  ва  $\gamma=90^{\circ}$ ;

- 2) гексагонал  $a=b\neq c$ ,  $\alpha=\beta=90^{\circ}$  ва  $\gamma=120^{\circ}$ .

Мисол: Берилл - $\text{Be}_3\text{Al}_2\text{Si}_6\text{O}_{18}$ . Сингонияси-гексагонал, фазавий группаси- $P6/mcc$ ,  $z=2$ ,  $a=9.20 \text{ \AA}$ ,  $b=9.20 \text{ \AA}$ ,  $c=9.22 \text{ \AA}$ ,  $\alpha=90^{\circ}$ ,  $\beta=90^{\circ}$  ва  $\gamma=120^{\circ}$ ;

- 3) тетрагонал  $a=b\neq c$ ,  $\alpha=\beta=\gamma=90^{\circ}$ .

Мисол: Геленит- $\text{Ca}_2\text{Al}_2\text{Si}_3\text{O}_7$ . Сингонияси-тетрагонал, фазавий группаси- $P42_1m$ ,  $z=2$ ,  $a=7.738 \text{ \AA}$ ,  $b=7.738 \text{ \AA}$ ,  $c=5.045 \text{ \AA}$ ,  $\alpha=90^{\circ}$ ,  $\beta=90^{\circ}$  ва  $\gamma=90^{\circ}$ ;

- 4) тригонал ёки ромбоэдрик  $a=b\neq c$ ,  $\alpha=\beta=\gamma\neq90^{\circ}$ .

Мисол: Виллемит— $Zn_2SiO_4$ . Сингонияси—тригонал, фазавий группаси—R3,  $z=18$ ,  $a=13.94 \text{ \AA}$ ,  $b=13.94 \text{ \AA}$ ,  $c=9.31 \text{ \AA}$ ,  $\alpha=90^\circ$ ,  $\beta=90^\circ$  ва  $\gamma=120^\circ$ ;

5) ромбик  $a\neq b\neq c$ ,  $\alpha=\beta=\gamma=90^\circ$

Мисол: Монтичеллит — $CaMgSiO_4$ . Сингонияси—ромбик, фазавий группаси—Pnma,  $z=4$ ,  $a=4.815 \text{ \AA}$ ,  $b=11.08 \text{ \AA}$ ,  $c=6.37 \text{ \AA}$ ,  $\alpha=90^\circ$ ,  $\beta=90^\circ$  ва  $\gamma=90^\circ$ ;

6) моноклин  $a\neq b\neq c$ ,  $\alpha=\beta=90^\circ$  ва  $\gamma\neq90^\circ$ .

Мисол: Диопсид— $CaMgSi_2O_6$ . Сингонияси—моноклин, фазавий группаси—C2/c,  $z=4$ ,  $a=9.73 \text{ \AA}$ ,  $b=8.91 \text{ \AA}$ ,  $c=5.25 \text{ \AA}$ ,  $\alpha=90^\circ$ ,  $\beta=105.83^\circ$  ва  $\gamma=90^\circ$ ;

7) триклини  $a\neq b\neq c$ ,  $\alpha\neq\beta\neq\gamma\neq90^\circ$ .

Мисол: Анортит— $CaAl_2Si_2O_8$ . Сингонияси—триклини, фазавий группаси—P1,  $z=4$  x 2,  $a=8.18 \text{ \AA}$ ,  $b=12.88 \text{ \AA}$ ,  $c=7.08 \text{ \AA}$  x 2,  $\alpha=93.165^\circ$ ,  $\beta=115.85^\circ$  ва  $\gamma=91.215^\circ$ .

Улар ўз навбатида симметрия бўйича 32 классни, элементар трансляциялари ҳаракати бўйича 14 турли Бравэ панжарасини ва кристаллар класификацияси бўйича 230 Федоров группаси ни беради.

**3. Кристалларнинг иккиланиб синдириш кучи.** Кристалл сингониялари турига қараб ҳар турли бўлади:

1. Юқори кубик сингонияда - нурни иккиланиб синдириш кучи кузатилмайди.

2-4 - Ўртача сингонияда бир ўқли, нурни иккиланиб синдириш кучи мавжуд. Улардан бири  $n_o$  ёки  $N_o$  деб белгиланади. У нур тарқалиши қонунларига бўйсунади ва ҳамма йўналишларида бир хил тезликка эга.

Иккинчи нур ўзининг нур синдириш курсаткичини ўзгартирадиган йўналишга эга булиб,  $n_c$  ёки  $N_c$  ҳарфлари билан белгиланади.

5-7. Куйи сингонияда -  $N_g$ ,  $N_m$  ва  $N_p$  мавжуд бўлиб, бунда  $\Delta N = N_g - N_p$  бўлади.

**4. Ҷўзиқ кристалларнинг сўниш тавсифи.** Ёқилган анализаторлар билан ҳар  $90^\circ$  да қайтарилади.

Тўғри сўниш 5 та сингония - кубик, гексагонал, тетрагонал, тригонал, ромбик сингониялар учун хосдир.

Тўғри ва эгри сўниш фақат 1 сингония - моноклинга тааллуқли.

Фақат эгри сўниш 1 сингония триклини кристалларига хос.

**5. Узайиш белгиси.** Кристаллар мусбат - агар кристаллнинг узунлиги бўйича нур тебраниши ҳосил бўлиб, нур синдириш кўрсаткичи  $N_g$  катта бўлса; манфий - агар  $N_p$  кристалл узунлиги бўйича катта бўлса.

Кристаллар формаси тўғри бўлмаган донсимон ёки ажралиш дарзи йўқ доначалар кўринишида бўлса, бу хусусиятни аниқлаб бўлмайди.

**6. Кристаллнинг оптик белгиси.** Бу кўрсаткичлар мусбат ёки манфий бўлиши мумкин. Бир ўқли мусбат кристалларда  $n_o = n_c$ , яъни бу ерда  $n_o = n_p$

ва  $n_c = n_g$  бўлади. Манфий белгили кристалларда эса  $n_o = n_g$  ва  $n_c = n_p$  бўлади.

**7. Оптик ўқларнинг бурчак катталиги.** Бу кўрсаткичлар  $2V$  ёки  $2E$  ҳолатида бўлади.

**8. Габитус.** Турли-туман минераллар габитуси, яъни ташқи кўриниши бир-биридан тузилишига кўра фарқланади:

кубик сингонияли кристаллар - изометрик ва квадрат кўринишида;

гексагонал сингонияли кристаллар - олтибурчак, думалоқ доначалар ва призматик кўринишида;

тетрагонал сингонияли кристаллар - квадрат, жадвал, думалоқ доначалар, саккизқиррали ва пластинкасимон кўринишида;

тригонал сингонияли кристаллар - учбурчак доначалар шаклида;

ромбик сингонияли кристаллар- ромба, бруск шаклида ва тўғри бурчакли кўринишида;

моноклин сингонияли кристаллар - тангачасимон, тўғри бурчакли, бруск шаклида, игнасимон ва толали кўринишида;

триклин сингонияли кристаллар - шакли аниқ бўлмаган доначалар кўринишида бўлади.

**9. Кристалларнинг ўлчамлари.** Кристалларнинг ўлчамлари ўта кичик ҳолатида бўлиши мумкин. Бу ҳолат кўпроқ поликристалларга тааллуқли. Агар кристаллар монокристалл ҳолатида бўлса, ўлчамлари катта бўлади.

**10. Кристалларнинг ажралиш қобилиятлари.** Ҳамма минераллар ҳам ажралиш қобилиятига эга эмас. Бўлганда ҳам аниқлиги, йўналишлари сони ва улар орасидаги бурчакларнинг катта-кичиклиги билан фарқ қиласи. Шунинг учун минералларнинг бу хусусияти ҳам муҳим диагностик белгилардан бири ҳисобланади.

**11. Құшалоқликлар.** Икki ёки ундан күп бир хил кристалларнинг қонуний бирикишига құшалоқлар дейилади. Оддий құшалоқ икki индивиднинг бирикишидан иборат. Полисинтетик құшалоқ кристалларнинг параллел текисликлари бүйлаб үсишидан, панжаралық құшалоқлик икki томон йұналишдаги полисинтетик құшалоқларнинг бирикишидан, секторсимон құшалоқлы түрт ёки олти қисмларга бүлингган айлана сектор құшалоқликларидан ташкил топади.

**12. Минераллар ранги ва плеохроизм.** Баъзи-бир анизотроп минералларнинг спектр қисмларини ҳар хил кристаллографик йұналишлар бүйіча ютиш қобилиятіга плеохроизм деб аталади. Минералларда бу қобилиятнинг бор-йүқтілігі поляризатор би-лан аниқланади. Плеохроизмға мансуб кристаллар үз ранги ёки рангнинг интенсивлігіні нур тебранишлари таъсирида үзгартыради. Рангнинг түқтілігі модданинг ютувчанлик қобиляти (абсорбция) ва кристалларнинг қалинлігінің боғлиқ Шунинг учун петрографик шлифларда (уларнинг қалинлігі ҳаммавақт 0,027-0,30 мм га тенг) бу ҳолат яхши сезилмайды. Иммерсион препаратларда эса улар қалинроқ ва шу туфайли сезилувчан бўлади.

### **9-§. Усулдан фойдаланишнинг имкониятлари**

Микроскопик таҳдилдан қыйидагиларни билиш мүмкін:

- 1) кристалларнинг идентификацияси учун уларнинг оптик константасынін үлчаш йўли билан ( $N_g, N_p, \Delta N$  ва бошқалар);
- 2) кристалларнинг тузилиши, кристаллокимёвий хусусияти-ни дастлабки босқичда аниқлаш учун;
- 3) хом ашё материаллари ва уларни күйдириш-асосидаги маҳсулотларнинг шакл ва үлчамларини ўрганиш учун;
- 4) кристалларнинг үсиш жараёни ва уларнинг бузилиши;
- 5) моддалардаги фазовий үзгаришлар;
- 6) диффузия жараёни;
- 7) ишлаб чиқаришнинг технологик жараёнларидаги нұқсонлар ва маҳсулот сифатини үзгариши (керамик материаллар ва клинкерни пишган – пишмаганлиги, ғишт ҳамда бетонлар тузилмасининг етилган-етилмаганлиги) сабабларини аниқлаш учун;
- 8) фазалар микдорини аниқлаш учун;
- 9) модданинг бир ёки күп таркиблиги;
- 10) моддаларнинг акс тасвирлаш хусусияти;

**5. Узайиш белгиси.** Кристаллар мусбат - агар кристаллнинг узунлиги бўйича нур тебраниши ҳосил булиб, нур синдириш кўрсаткичи  $N_g$  катта бўлса; манфий - агар  $N_p$  кристалл узунлиги бўйича катта бўлса.

Кристаллар формаси тўғри бўлмаган донсимон ёки ажралиш дарзи йўқ доначалар кўринишида бўлса, бу хусусиятни аниқлаб бўлмайди.

**6. Кристаллнинг оптик белгиси.** Бу кўрсаткичлар мусбат ёки манфий булиши мумкин. Бир ўқли мусбат кристалларда  $n_o = n_c$ , яъни бу ерда  $n_o = n_p$

ва  $n_c = n_g$  бўлади. Манфий белгили кристалларда эса  $n_o = n_g$  ва  $n_c = n_p$  бўлади.

**7. Оптик ўқларнинг бурчак катталиги.** Бу кўрсаткичлар  $2V$  ёки  $2E$  ҳолатида бўлади.

**8. Габитус.** Турли-туман минераллар габитуси, яъни ташқи кўриниши бир-биридан тузилишига кўра фарқланади:

кубик сингонияли кристаллар - изометрик ва квадрат кўринишида;

гексагонал сингонияли кристаллар - олтибурчак, думалоқ доначалар ва призматик кўринишида;

тетрагонал сингонияли кристаллар - квадрат, жадвал, думалоқ доначалар, саккизқиррали ва пластинкасимон кўринишида;

тригонал сингонияли кристаллар - учбурчак доначалар шаклида;

ромбик сингонияли кристаллар- ромба, бруск шаклида ва тўғри бурчакли кўринишида;

моноклин сингонияли кристаллар - тангачасимон, тўғри бурчакли, бруск шаклида, игнасимон ва толали кўринишида;

триклин сингонияли кристаллар - шакли аниқ бўлмаган доначалар кўринишида бўлади.

**9. Кристалларнинг ўлчамлари.** Кристалларнинг ўлчамлари ўта кичик ҳолатида бўлиши мумкин. Бу ҳолат купроқ поликристалларга таалукли. Агар кристаллар монокристалл ҳолатида бўлса, ўлчамлари катта бўлади.

**10. Кристалларнинг ажралиш қобилияtlари.** Ҳамма минераллар ҳам ажралиш қобилиятига эга эмас. Булганда ҳам аниқлиги, йуналишлари сони ва улар орасидаги бурчакларнинг катта-кичиклиги билан фарқ қиласи. Шунинг учун минералларнинг бу хусусияти ҳам муҳим диагностик белгилардан бири ҳисобланади.

**11. Күшалоқниклар.** Икки ёки ундан күп бир хил кристалларнинг қонуний бирикишига қўшалоқлар дейилади. Оддий қўшалоқ икки индивиднинг бирикишидан иборат. Полисинтетик қўшалоқ кристалларнинг параллел текисликлари бўйлаб ўсишидан, панжаралик қўшалоқлик икки томон йўналишдаги полисинтетик қўшалоқларнинг бирикишидан, секторсимон қўшалоқли тўрт ёки олти қисмларга бўлинган айланга сектор қўшалоқликларидан ташкил топади.

**12. Минераллар ранги ва плеохроизм.** Баъзи-бир анизотроп минералларнинг спектр қисмларини ҳар хил кристаллографик йўналишлар бўйича ютиш қобилиятига плеохроизм деб аталади. Минералларда бу қобилиятынинг бор-йўқиги поляризатор билан аниқланади. Плеохроизмга мансуб кристаллар ўз ранги ёки рангининг интенсивигини нур тебранишлари таъсирида ўзгартиради. Рангнинг тўқлиги модданинг ютувчанлик қобиляти (абсорбция) ва кристалларнинг қалинлигига боғлиқ. Шунинг учун петрографик шлифларда (уларнинг қалинлиги ҳаммавақт 0,027-0,30 мм га тенг) бу ҳолат яхши сезилмайди. Иммерсион препаратларда эса улар қалинроқ ва шу туфайли сезилувчан бўлади.

#### **9-§. Усулдан фойдаланишининг имкониятлари**

Микроскопик таҳлилдан қўйидагиларни билиш мумкин:

- 1) кристалларнинг идентификацияси учун уларнинг оптик константларини ўлчаш йўли билан ( $N_g, N_p, \Delta N$  ва бошқалар);
- 2) кристалларнинг тузилиши, кристаллокимёвий хусусияти-ни дастлабки босқичда аниқлаш учун;
- 3) ҳом ашё материаллари ва уларни куйдириш-асосидаги маҳсулотларнинг шакл ва ўлчамларини ўрганиш учун;
- 4) кристалларнинг ўсиш жараёни ва уларнинг бузилиши;
- 5) моддалардаги фазовий узгаришлар;
- 6) диффузия жараёни;
- 7) ишлаб чиқаришнинг технологик жараёнларидаги нуқсонлар ва маҳсулот сифатини ўзгариши (керамик материаллар ва клинкерни пишган – пишмаганлиги, гишт ҳамда бетонлар тузилмасининг етилган-стилмаганлиги) сабабларини аниқлаш учун;
- 8) фазалар миқдорини аниқлаш учун;
- 9) модданинг бир ёки кўп таркиблиги;
- 10) моддаларнинг акс тасвирлаш хусусияти;

- 11) моддаларнинг кимёвий бардошлиги;
- 12) моддаларнинг механик мустаҳкамлиги;
- 13) модда ёки аралашманинг эриш ҳарорати;
- 14) фаза таркиби миқдорини аниқлаш учун;
- 15) минералларнинг ранг бериш хусусиятини аниқлаш учун.
- 16) минералларнинг ажралиш қобилиятларини ажралиш текислиги орасидаги бурчаклар қиймати билан;
- 17) минерал ёки кимёвий модданинг узайиш белгиси ёки асосий йўналишини топиш учун;
- 18) сўниш бурчаги С:Ng ни аниқлаб олиш учун;
- 19) кўшалоқ – полисинтетик, панжарали ва секторсимон.

#### **10-§. Усулининг афзаллиги ва камчиликлари**

Микроскопик таҳлил усулининг афзалликларига кўйида-гиларни кўрсатиш мумкин:

- 1) талқин этишнинг соддалиги;
- 2) олинган натижанинг тўлалиги;
- 3) олинган натижанинг ишончлилиги;
- 4) олинган натижанинг тезкорлиги (1-10 минут);
- 5) 0,3 мкм гача (ёруғлик микроскопларида) бўлган майда заррачаларни фарқлаш имкони (ультрабинафша микроскопларида 0,2 мкм гача);
- 6) микроскоп тузилишининг оддийлиги (соддалиги);
- 7) фотоматериал, пластиинка ва плёнкалар ёрдамида визуал кузатилаётган микротузилиш ҳолатининг документаллаштириш, яъни фотографиясини олиш мумкинлиги;
- 8) такомиллаштирилган ион проекторли микроскопларда ўлчами 0,1 мм дан то  $10^{-10}$  м (1 Е) гача бўлган дефектларни аниқлай олиши;
- 9) текширишни паст ва юқори ҳароратда, ультрабинафша ва инфрақизил нурлар иштироқида, ультратовуш таъсирида олиб бориш мумкинлиги.

Микроскопик таҳлил усулининг камчиликлари сифатида кўйидагиларни кўрсатиб ўтиши мумкин:

- 1) расшифровка қилишнинг соддалиги;
- 2) кўпгина микроскопларнинг етарли даражада моддаларни катталаштира олмаслиги;
- 3) микроскопда ишловчининг толиқишиш ва чарчашиб туфайли хоссаларни тўғри қабул қила олмаслиги.

- 4) иммерсион суюқликларни учиши ва ҳар куни уларнинг таъсирини назорат қилишни мұхимлиги;
- 5) ўлчаш ноанқылыгининг катталиғи,  $\pm 0,03$ ;
- 6) юқори даражали катталаштиришда юстировка операциясінинг мұраккаблығы;
- 7) нур синдириш курсатгичи яқын бўлган моддалар кимёвий таркибини аниқлаш қийинлиги.

## 11-ғ. Микроскопия усули аппаратлари

Микроскопик таҳдилнинг муваффақиятли амалга оширилиши қўлланиладиган аппаратларга кўп жиҳатдан боғлиқ. Тегишли аппаратларсиз илмий-тадқиқот иши, техника ва тиббиёт муммоларини ҳал этиш мумкин эмас.

Микроскопик таҳдил аппаратларининг тури жуда кўп. Улар қаторига А. Левенгук ва Р.Гулларнинг шиша линзаларидан тортиб замонавий микроскопларгача киради.

Замонавий микроскоплар қаторига қўйидагилар киради:

1. **Нурли микроскоплар.** Уларнинг қаторига линзали телескоп - рефракторлардан тортиб икки нурли микроинтерферометрларгача киради. Ҳозирги кунда қўлланиладиган нурли микроскоп поляризацион нурни қўллашга асосланган.
2. **Электрон микроскоплар.** Уларда катод нурларидан фойдаланиш орқали катта ютуқларга эришилди. Улар қаторига 1931 йили немис олимлари М.Кноллем ва Э.Руск томонидан яратилган электрон микроскопларидан тортиб то ҳозирги замонавий интерференцион электрон микроскопларгача киради. Назарий жиҳатдан бундай микроскопларда 100  $\text{\AA}$  гача, амалий жиҳатдан эса 500-1000  $\text{\AA}$  бўлакчаларни кўриш мумкин.

3. **Растро нурли ва электрон микроскоплар.** Улар қаторига растро нурли микроскоп, массив объектларни тадқиқот қилишга мўлжалланган растро электрон микроскопи, кучланиши 150 кВ бўлган растро электрон микроскопи, катодлюминесцент объектларни текширувчи растро электрон микроскопи, телевизион тасвирили ультратовушли микроскоп ва бошқалар киради.

4. **Рентген микросопияси ва микрозонд таҳдили.** Рентген проекцияли микроскоп, рентгенли топография, электрон-зондли рентген микроанализатори, ион-зондли масс-спектрал микроанализатор ва бошқалар бу гуруҳга киради.

**5. Автоэлектрон микроскопияси.** Автоэлектрон микроскоп - зондли анализатор тоза юзалар билан ишлашга мұлжалланган. Улар ёрдамида металл-плёнкали тизимлар үрганилади.

**6. Автоион микроскопияси.** Паст ҳароратли автоион микроскопи - юқори тасвирға эга атом зонди жуда кичик бұлакчаларнинг микроскопик күринишини фиксация қилишга мұлжалланган.

1617-1619 йилларда кашф этилган микроскоплар биологик, кимёвий ва бошқа текширишлар учун тааллукلى поляризацион микроскоплардир.

**МП-2, МП-3, МП-4, МИН-4, МИН-5 ва МИН-8** турдаги поляризацион микроскоплар. Улар ёруғлик остида ишлаш учун мұлжалланган замонавий аппаратлар қаторига киради. Кичик ҳажмни катталаشتаришда ёруғлик манбай бұлғып оддий стол лампаси хизмат қиласы. Ҳажмни жуда катталаشتаришда эса ОИ-9 ва ОИ-19 каби сұнъий ёритқичлар құлланилади.

Одатда нур синдириш күрсаткичи п ёки N ни ўлчаща сарық нурлар, яғни D - натрий бүгләри чизиги (түлқин узунлиғи  $\lambda = 5893 \text{ \AA}$ ) құлланилади.

Объектив сифатида объектив ва окулярлар тұпламында кирған ва объектларни 17,5 X дан то 1350 X гача катталаشتывчи мосламалар құлланилади.

Хозирги вақтда саноат корхоналари, илмий - текширув институтларда замонавий МИН-8 микроскопи ишлатилади (4- расм).

МИН- 8маркалы поляризацион микроскопнинг асосий деталлари күйидагича:

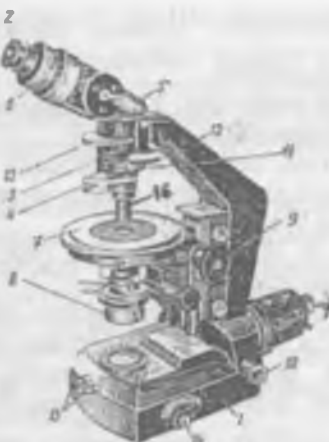
1- микроскоп асоси - массив плитка. Унинг ичига конденсор линза ва буриш призмалари жойлаشتырылған;

2-окуляр.УХ ,6X, 8X, 5X ва 20X марта катталаشتаришга имкон беради;

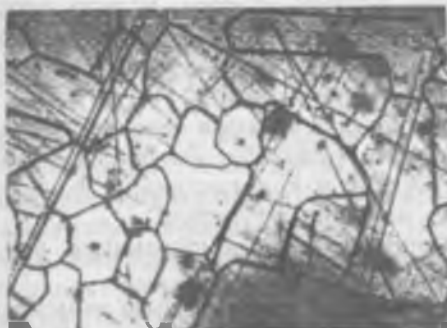
3- тубус. У тутгичнинг юқори қисмiga құзғалмас қилиб маңқамланади. Тубус ўйиғига анализатор ёки бошқа компенсаторлар мосламаси ўрнатылған;

4- опак-илюминатор ОП-12 ни ўрнатыш салазкаси. Бу ўз навбатида микроскопда қайтган нурлар ёрдамида ҳам ишлашга имкон беради;

5- қия монокуляр мослама. Предмет столчасини доимо горизонтал ҳолатда сақлаб объективни күзатиш учун хизмат қиласы;



4-расм. МИН-8 русумли поляризацион микроскопнинг кўриниши.



5-расм.  $\text{SrLaAl}_3\text{O}_7$  – микрофотографияси. МИМ-7 микроскопи пластинкасидан олинган тасвир. 600 марта катталашибилган.

6- цилиндр шаклидаги металл труба. Унда куриш учун катталашибириб берувчи система-окуляр ўрнатилган;

7- предмет столчаси. Унинг устига текширилаётган объект ўрнатилган бўлади. Предмет столчаси кронштейнга ўрнатилган бўлиб, катта тишли силжитиш механизми ёрдамида юқорига-пастга ҳаракатланади;

8- конденсор. У ўрнатилиши ёки олиб кўйилиши мумкин;

9- силжитиш механизми. Унинг ёрдамида предмет столчаси юқорига-пастга ҳаракатлантирилади;

10-ҳаракатлантирувчи дасталар. Улар микроскоп асосининг икки томонидаги механизмни ҳаракатлантирадилар;

11- опак-илюминатор ОП-12. У тубуснинг пастки қисмida жойлашган;

12- микроскоп дастаги;

13- марказлаш винтлари. Унинг ёрдамида ёритиш тизими-нииг ҳолати ўзгартирилади;

14- линза ёритиш тизимидан ташқарига чиқарилган даста;

15- диск. У анализаторнинг устига интерференцион ёруғлик фильтри сифатида ўрнатилган;

16- объектив. У 3X, 8X, 20X, 40X, 60X ва 90X марта катта-лаштиришни таъминлайди.

МИН-8 микроскопи текширилаётган объектни бир ёки иккি никол ёрдамида кўриш имкониятини беради. Битта никол билан иш олиб борилганда анализатор оптик тизимидан чиқарилган бўлиб, ёруғлик нурлари бир-бирига параллел жойлашган бўлади.

Икки никол билан тадқиқот олиб борилганида нур параллел ёки учрашувчан бўлиши мумкин. Нурлар параллел бўлганида модданинг изотроп ёки анизотроплиги ҳамда нурнинг сўниш ҳолати аниқланади. Жумладан, сўниш туғри, ўтқир ва ўтмас бурчак остида ўтиши мумкин.

Учрашувчан ёруғлик нурлари таъсирида моддаларнинг неча ўқлилиги, уларнинг мусбат ёки манфийлиги каби параметрлари аниқланади, икки ўқли кристалларнинг ўқлари орасидаги бурчакни аниқлаш имконияти туғилади.

МИН-8 микроскопида монохроматик нур ҳосил қилиш мумкин.

Нур синдириш кўрсаткичи кўпинча иммерсион суюқлик ёрдамида аниқланади. У текширилаётган объект ва муҳит (суюқ ёки қаттиқ)нинг нур синдириш кўрсаткичини таққослашга асосланган.

МИН-8 каби поляризацион микроскоплар билан бир қаторда илмий-тадқиқот ишларини олиб боришида металлографик микроскоплар ҳам кенг кўлланилади.

**МИМ-5, МИМ-6, МИМ-7, МИМ-ВМ** микроскоплари. Илмий-тадқиқот лабораторияларида МИМ-5, МИМ-6, МИМ-7 турдаги (60X дан 660X гача катталаштиради) ва МИМ-ВМ (оддий кўришда 100X дан 1350X гача; фотографияда 45X дан 2000X гача катталаштиришга эришилади) металлографик микроскоплар кенг ишлатилади.

Бу турдаги микроскоплар шаффофф бўлмаган микропрепаратларни оддий ва поляризацион ёруғликда, ёруғлик майдони-

нинг тўғри ва ёнлама ёритиш шароитида текшириш ва расмлар олини учун мўлжалланган. Бунинг учун кристалл ёки аморф моддалардан шлиф ва аншлифлар тайёрланади ва улар қайтган нурлар ёрдамида текширилади. Кузатилган манзара фотопластинка ёки фотоплёнкага маҳсус фотоаппаратлар ёрдамида туширилади.

Амалиётда стереоскопик поляризацион микроскоп МПС-1 ни қўллаш ҳам маълум. Бу турдаги микроскоплар ёруғ ва қоронги майдон усулида оддий ва поляризацион ёруғликда текширилаётган обьектни ҳажмий тасвирини олишга имкон беради. Бунинг учун шаффофф шлифлар, шаффофф бўлмаган шлифлар, аншлифлар, иммерсион препаратлар яроқлидир. Қўлланиувчи окулярлар - 6, 8 ва 12,5, обьективлар- 0,6 дан 7 гача обьектни катталаштиради.

Минералогик йўл микроскопи МПД-1 нинг тузилиши МИН-8 поляризацион микроскопига ухашаш. Оғирлиги - 3,2 кг, катталаштириш даражаси 45Х дан 900Х гача. Дала ва йўл шароитларида илмий-тадқиқот ишларини муваффақиятли олиб бориши, текширилаётган обьект устида бир фикрга тез келиш учун имкон беради.

Пульфрих, Аббе, ИРФ-22, ИРФ-23 ва ИРФ-25 рефрактометрлари. Фанда Пульфрих, Аббс, ИРФ-22, ИРФ-23 ва ИРФ-25 маркали рефрактометрларидан кенг фойдаланилади. Бу турдаги рефрактометрлар суюқликларнинг нур синдириш кўрсаткичи (ҳамда дисперсияси)ни ўлчашга хизмат қиласиди. Аббе рефрактометрида 1.00-1.40 ва ИРФ-23 рефрактометрида 1.33-1.78 оралигидаги нур синдириш кўрсаткичига эга бўлган суюқликлар миқдори аниқланади.

Ушбу рефрактометрлар ёрдамида иммерсион суюқликлар эталонига тааллуқли суюқликлар кўрсаткичи ўзгарган ёки ўзгармаганлиги ҳам тасдиқланади. Уларнинг ўлчаш аниқлиги п бўйича  $2 \times 10^{-4}$  ва ўртача дисперсия бўйича  $1,5 \times 10^{-4}$ .п нинг λ га боғлиқлик ўзгариши дисперсияни беради. Кўк ( $n_F$ ) ва қизил ( $n_C$ ) нурларидаги п нинг фарқи ўртача дисперсияни беради, яъни  $n_F - n_C$ .

Микроскоп ёрдамида ҳам тасвир, ҳам механик хосса-хусусиятларни аниқлаш мумкин. Бундай аппаратлардан бири микротвердомер ПМТ-3 дир. Олмос пирамида ва 200 граммгacha юкламили микроскопда микроқаттиқлик

$$H=1.819 \text{ P/d}^2 \text{ кг/мм}^2 \text{ ёки } H=18188 \text{ P/d}^2 \text{ МПа}$$

формулалари орқали топилади.

Бу ерда, Р-уткир олмос пирамидага құйилған оғирлик, кг д-туширилған тасвир диагонали узунлиги, мм.

ПМТ-3 аппаратининг тузилиши ута содда бўлиб, у үзининг компактлиги ва вазнининг енгиллиги билан ажralиб туради. Унда аниқланадиган микроқаттиқлик ўзига хос диагностик хусусиятдир

Кристалл моддаларидаги микроқаттиқлик билан Моос шкаласи бўйича аниқланадиган қаттиқлик орасидаги боғланиш қўйидагича:

3-жадвал

Минерал тuri	Моос шкаласи қаттиқлиги	Микроқаттиқлик (Н, МПа)
Тальк	1	23.5
Гипс	2	353
Кальций	3	1069
Флюорит	4	1854
Апатит	5	5258
Ортоклаз	6	7799
Кварц	7	10987
Топаз	8	13999
Корунд	9	20209
Алмаз	10	98689

## 12-§. Микроскоплар учун мосламалар

1.Объектни ёритиш учун мосламалар. ОИ-9М типидаги ёритқич икки линзали коллектор ва лампочкадан ташкил топган. Лампа 127/220 в ли манбадан камайтирувчи трансформатор орқали ишлатилади. Бу турдаги ёритқич препаратни ўтувчи нурда ёритишга хизмат қиласи.

ОИ-24 типидаги ёритқич препаратни ўтувчи нурда ёритиш ва тасвирини тушириш учун хизмат қиласи. Унинг лампаси 12 в ва 100вт да, 127/220 в ли манбада камайтирувчи трансформатордан ишлади.

ОИ-17 типидаги ёритқичлар препаратларни 400 ва 365 нм гача бўлган кўк бинафша ва яқин ультрабинафша нурларида люминесценцияни қузғатиш учун хизмат қиласи. Ёруғлик манбаи сифатида СВД-120А типидаги симоб кваршли лампа ишлатилади. Бу лампа 220 в ли ўзгарувчан токда маҳсус пультдан кувват олади.

2.Объектни кузатиш учун мосламалар. АУ-29 типидаги бинокуляр мослама - объектни бир вақтнинг ўзида иккала кўз билан кўришга мосланган. Бунда микроскопда ишловчининг толиқиши камаяди ва шу билан бирга кузатиладиган картинани

аниқроқ күришга имкон беради. У МИН-8 ва МИД-1 микроскопларига үрнатилади.

Бинокуляр мослама комплектига 7X, 10X ва 15X окулярлари киради.

АУ-14 типидаги демонстрация (намойиш) мосламаси объекти бир вақтнинг үзида иккита кузатувчи кузатишига мосланган. Илмий-тадқиқот ишларида, үқув жараёнида ва маслаҳат олишда ишлатилади.

МКС-3 ярим үтказувчан столчаси термоэлектрик иситиш ва совитиш орқали олиб борилади. Унинг диапозони -10°C дан + 70°C гача бўлиб, иситиш манбаи термобатареялардир.

3. **Микрофотографиялар** учун мосламалар. Бу мақсадларда стерескопик микроскоп учун МФН-5 ва оддий микроскоп учун МФН-12 мосламалари қўлланилади. Улар корпус ва 35 мм плёнка учун плёнкали камерадан ташкил топган бўлади.

4. **Объектни монохроматик нур ёрдамида ёритишига мўлжал-ланган мосламалар.** Бу мақсадда МПФ-1 типидаги монохроматор ишлатилади. Ёритиши диапазони 420-650 нм. Унинг ишчи бўлаклари: револьверли фильтр үрнатилган диск бўлиб, у 650, 610, 550 ва 450 нм да максимал үтказиш учун хизмат қиласи. Дискнинг олтинчи тешиги препаратта оқ нур туширишига имкон беради.

5. **Микроскопларнинг катталаштириш даражасини таъминловчи мосламалар.** Улар қаторига объектив (объектни катталаштирувчи линза ёки бир нечта линзалардан ташкил топган мураккаб оғтиқ қурилма) ва окуляр (кўриш учун катталаштириб берувчи қурилма, у цилиндр шаклидаги металл трубага үрна-тилган иккита линзадан ташкил топган) ларнинг тутлами киради. (4-жадвал):

4-жадвал

**Объектнинг катталаштириш даражаси**

Объектив	Окуляр ва катталаштириш						
	5x	6x	8x	12x	15x	17x	20x
3x	15	18	24	37.5	45	51	60
8x	40	48	64	100	120	136	160
20x	100	120	160	240	300	340	400
40x	200	240	320	480	600	680	800
60x	300	360	480	720	900	1020	1200
90x	450	540	720	1080	1350	1530	1800

6. **Проекциялаш мосламалари.** Бу мақсадда РА-5 русумли мослама қўлланилади. У объективнинг микроскоп билан катталаштирилган тасвирини расмга олиш ва проекциялаш учун хизмат қиласи. Аппарат билан қоронги хонада ишлаш зарур. Ёритқич сифатида эса ОП-24 типидаги ёритқичлар ишлатилади.

**7. Иммерсион микрорефрактометр мосламаси.** Бундай асбоб ёрдамида стандарт иммерсион суюқликларининг ва иммерсион препаратларидағи моддаларнинг ёруғлик нурини синдириш күрсаткычлари аниқланади.

**8. Моддаларнинг нисбий мөқдорини аниқлаш мосламаси.** Улар қаторига окуляр-сетка ва интеграцион столча киради.

### 13-§. Препаратларни тайёрлаш усуллари

Материал, буюм ва тажриба намунасини микроскопик текширишга қуруқ ёки ҳұл усулларда тайёрлаш ва талқықотлар ўтказиш учун асосан қуида батағсил баён қилинган уч усулдан фойдаланилади.

**1. Иммерсион препаратларни тайёрлаш.** Бу усул энг қадимий ва энг осон усуллардан бири бўлиб, унда иммерсион препаратларни тайёрлаш қуидаги соддалаштирилган схема бўйича тайёрланади:

Шишадан намуна турадиган булакча ясаш (узунлиги 6 см, эни 2 см) ва уни спиртланган пахта ёки дока ёрдамида тозалаш.



Микроскоп предмет столи юзасига тоза шиша бўлагини ўрнатиш ва иммерсион суюқликни суртиш (ёйиш).



Текширилаётган моддани майдалаш ва туйиш.



Майда туйилган модда (10-20мг)ни уни иммерсия суюқлиги билан хўлланган нина, пичноқ ёки сим ёрдамида шиша бўлагидаги суюқликка ўтказиш.



1,5x1,5 см<sup>2</sup> юзали предмет столидаги иммерсион суюқлигини ингичка шишадан ясалган шаффофф материал билан қоплаш.



Фильтр коғоз ёрдамида предмет столи ва қопловчи ингичка шаффофф шиша орасидан чиққан ортиқча суюқликни тортиб олиш.



Тайёр иммерсион препаратни МИН-8 микроскопига ўрнатиш.



МИН-8 микроскопи ёрдамида тури хосса ва хусусиятларни аниқлаш, керак бўлса, тасвирини фотография усулида тушириш.

**2. Шаффоф шлифлар тайёрлаш.** Шаффоф шлиф тайёрлаш иммерсия усулида шлиф тайёрлашдан тубдан фарқ қиласи. Иммерсия усулида суюқликни тез-тез алмаштириб туриш мумкин. Бу ерда эса шаффоф шлиф тайёрлаш анчагина мураккаб жараёндир. Уни қўйидаги тизим буйича амалга оширилади:

Диаметри 300 мм ли шлифовка станогида силлиқлантирувчи суюқлик иштирокида (боғловчи моддалар учун спирт, керосин ва бензин) қалинлиги 3-4 мм гача бўлган намуна пластиналарни тайёрлаш ва силлиқлаш.



Предмет столи (шиша) га канада ёки пихтов бальзами ёрдамида намунани ёпишириш.



Намунанинг очиқ юзасини 150 мк қалинликкача шлифовкалаш (силлиқлаш).



Намуна юзасини ювиш.



Намуна юзасини қуритиш.



Иситиш ва юзага бальзам томчиларини томизиш.



Ингичка шиша қоплама билан юзани беркитиш (ёпиш).



Шаффоф шлифни микроскопнинг предмет столчасига ўрнатиш.



Тегишли тадқиқотларни олиб бориш.

**3. Силлиқланган (полировка қилинган) шлифларни тайёрлаш.** Бундай шлифлар металлографик микроскоплари учун қўйидаги тартибда амалга оширилади:

Қаттиқ, мурт булмаган текширилувчи жисм

Фовак ёки мурт текширилувчи жисм.



Канифол, канада бальзами ёки олтингутурт ёрдамида материални қотириш



ШПС-73, ШС-1000 станокларининг чўян дискларда шлифовка қилиш. Шлифовка вақтида куқун сифатида абразив

қуми  $\text{SiO}_2$ , корунд  $\alpha\text{-Al}_2\text{O}_3$ , карборунд  $\text{SiC}$ , наждак-төг жинси, пемза  $\text{Fe}_2\text{O}_3$ , алмаз С кабилар ишлатилади. Одатда кукун сув билан аралашган (пульпа) ҳолда бұлади.



Сүкно билан қопланған дисклар ёрдамида силлиқ қилиш. Дискнинг айланиш тезлеги минутига 400-500 мартада. Силлиқловчи суспензия-хром оксиди  $\text{Cr}_2\text{O}_3$ , крокус  $\text{Fe}_2\text{O}_3$ , полирит ( $\text{CeO}_2$ ,  $\text{TR}_2\text{O}_3$ ) ва чанглар ёрдамида тайёрланади.



Ювиш -  $\text{H}_2\text{O}$



Кимёвий бирикмалар ёрдамида ўйиш. Масалан,  $\text{CaO}$  2-3 сек дистилланған сув билан; 3 $\text{CaO}$   $\text{SiO}_2$  2-3 соат  $\text{C}_4\text{H}_{10}$  нинг  $\text{C}_2\text{H}_5\text{OH}$  даги эритмаси билан ёки 3 секунд  $\text{HF}$  бүглари билан; 2 $\text{CaO}$   $\text{SiO}_2$  2-3 сек  $\text{HNO}_3$  нинг 1%ли спиртли эритмаси билан.



Полировқаланған шлиф металлографик микроскопга үрнатилади.



Металлографик микроскоплар ёрдамида талқықотлар олиб борилади.

#### 14-§. Микрофотография намуналари

Микрофотография усули орқали тасвир ҳужжат мақомини олади. Шунинг учун магистрлик, номзодлик ва докторлик диссертация ишлари олиб бориша, солишириш эталонлари ясашда ва корхона маҳсулотлари сифатини тасвир орқали белгилашда ишлатишда у бебаҳодир.

Барча микроскопларга фотоаппаратлар үрнатыш мумкин. Тасвир қайтган ва үтүвчан нур асосида пайдо бўлиши ва олиниши мумкин. Куйидаги 5-8-расмларда ўзига хос кристалларнинг микрофотолари берилган.

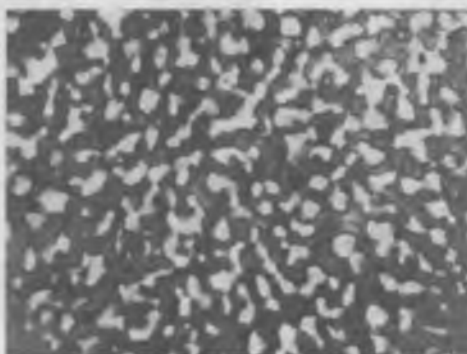
5-расмдаги фото стронций-лантан алюминати  $\text{SrLaAl}_3\text{O}_7$  га тааллуқли. Шу минералга оид шихта электр ёйли печида эритилган булиб, у совитилаётган пайтда кристаллизацияга учраган. Микрофото металлографик микроскоп МИМ-7 да қайтган нурлар ёрдами ва 600 марта катталаштирилган ҳолда ҳосил қилинган ҳамда фотопластинкага туширилган. Аншлиф олдиндан маҳсус кимёвий эритма ёрдамида ишланған. Шу туфайли тетронал сингонияга эга бўлган мелилитсімон кристалл до-

наларининг кўриниши ва ўлчами ҳақида аниқ маълумотга эга булиниди.

6-расмда  $\text{SrSiO}_3 - \text{CaMgSi}_2\text{O}_6$  эвтектик диаграмм ҳолатига оид фото келтирилган. Бу диаграмма 37,5  $\text{SrSiO}_3$  ҳолатида  $1310^{\circ}\text{C}$  ли эвтектика ҳосил қиласи. Расмдаги оқ майдон диопсид минералига тааллукли бўлиб, призма шаклидаги кристаллар  $\text{SrSiO}_3$  қаттиқ қотишмасига тўғри келади. Фото олишга тайёрланган намуна  $1450^{\circ}\text{C}$  ли ҳароратда 5 соат ушланган. Эритувчи модда сифатида махсус аралашма ( $10\text{ мл } \text{H}_2\text{SiF}_6 + 10 \text{ мл } \text{H}_2\text{O} + 1 \text{ мг } \text{CoCl}_2$ ) ишлатилган. Аралашманинг таъсир этиш вақти - 10 сек. Катталашибориши 400 марта.

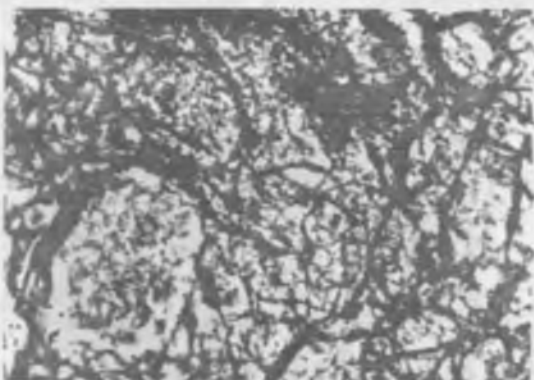


6-расм. “ $60 \text{ SrSiO}_3 + 40 \text{ CaMgSi}_2\text{O}_6$ ” ли шихта асосида олинган шишани  $1450^{\circ}\text{C}$  ли ҳароратда 5 соат давомида ушлаш натижасида пайдо бўлган тасвир. 400 марта катталашибориленган.



7-расм. “ $60 \text{ SrSiO}_3 + 40 \text{ CaMgSi}_2\text{O}_6$ ” асосида олинган шишани  $1150^{\circ}\text{C}$  ли ҳароратда 5 соат давомида ушлаш натижасида пайдо бўлган квазиэвтектикага оид тасвир. 600 марта катталашибориленган.

7-расмда “60 SrSiO<sub>3</sub> + 40 CaMgSi<sub>2</sub>O<sub>6</sub>” таркибли шишани эвтектика нүктаси (1310°C) дан пастда, яъни 1150°C ли ҳароратда 5 соат ушлаш натижасида ҳосил бўлган квазиэвтектика қўриниши берилган. Қора майдон SrSiO<sub>3</sub> қаттиқ қотишимасига тегишли, оқ доналар эса диопсид минерали доначаларидир. Олтингугуртга қотирилган намуна юқорида таркиби келтирилган маҳсус модда ёрдамида 3-4 сек давомида ишланган.



8 - расм. CaTRGa<sub>3</sub>O<sub>7</sub> га оид микрофотография. Аншлиф. 600 X



9-расм. Шаффофф катыцит-истанд шпати кристалларининг қуриниши.

10-расм. Камқирралি кристаллар-нинг шакллари: а-дендритлар; б-скелетлар; в-сферолитлар; г-ипсимон кристаллар.

Үтган нурлар ва ёқилган анализатор ёрдамида аншлифдан олинган CaTRGa<sub>3</sub>O<sub>7</sub> кристалларига оид фото 8-расмда берил-

ган.  $\text{CaTRGa}_3\text{O}_7$  шихтаси 1250-1300 $^{\circ}\text{C}$  ли ҳароратда қаттиқ фазалы реакциялар усули бүйича пиширилган. Катталаштириш миқдори 600. Намуна маҳсус бирикма ёрдамисиз олинган. Кристалл доначаларининг чегаралари сув таъсирида пайдо булган. Умумлаштириб олинганда кристалларнинг шакли уларнинг турғун ҳолати ёки реал ҳолатига боғлиқ, шу жумладан, кристалларнинг ташқи қиёфаси ёки кристалларнинг узиши ташқи мұхитта ута боғлиқдир.

Кристалларнинг турғун ҳолати үсаётган кристалл атрофида «хом ашё» нинг етарлы даражада булиши билан боғлиқ. Бу холда кристалларга хос бұлған қирралы полиэдрик шакл пайдо булади. Турғун кристалларнинг пайдо булиши 1878 йили У. Гиббс, 1885 йили П. Кюри ва 1901 йили Г.В. Вульф томонидан ишлаб чиқылған қоидаларга амал қилади:

$$\sum S_i f_i = \min, \quad V=\text{const},$$

бу ерда  $S_i$  – күпкірралы кристалл;  $f_i$  – қиррасининг майдони;  $f_i$  – бу қирранинг солишиштер мағниттегі энергиясы;  $V$  – кристалл даражаси.

Кристалларнинг реал шакли юқорида айттылған шартларға амал қилинмаган ҳолатда рүй беради. Унинг тузилиши фақат сингониясига боғлиқ бўлиб қолмай, шу билан бирга уларнинг түйинниш даражаси, ҳарорати, ташқи мұхит таркиби ва бошқа параметрларга боғлиқ.

Юқорида қайд қилингандардан ташқари кристалларга хос бұлған ташқи қиёфа фақат турғунли шароитда, яғни кристаллизация жараёни ўта секин амалга оширилганда рүй беради. 9-расмда шундай шароитда ўстирилған шаффофф кальцит-исланда шпати кристалларининг күриниши көлтирилған.

Кристаллар узиши турғун ҳолатидан реал ҳолатига үтгандың дендрит, скелет, сферолит ва ипли кристаллар ҳосил булади (10-расм). Бир қараганда бир-бирига ухшаш түйилған дендрит ва скелет шакллари тубдан фарқ қилади: скелетли кристаллар – монокристаллардир, дендритлар эса – поликристалл агрегатлардир.

## 15-§. Тупроқ минераллари, баъзи бир оксидлар ва кальций оксиди – кремний оксиди тизимидағы фазаларнинг оптик тавсифлари

Хар қандай ноорганик модда, шу жумладан, табиий ва сунъий силикат моддаларининг үзига хос оптик константалари булади. Масалан, улар нур синдириш күрсатқичи, сингонияси,

габитуси ва бошқа хусусиятлари билан бир-бирларидан фарқланади. Шунинг учун номаълум модданинг оптик хоссалини аниқлаш ва уларни этalon ёки маълум моддалар курсаткичларига таққослаш асосида унинг қайси модданинг кристали эканлигини айтиш мумкин.

5-жадвал

### Муҳим ва кўп тарқалган тупроқ минералларининг оптик хусусиятлари

№	Минералнинг номи	Нур синдиришин курсаткичи			Габитус
		Np	Ng	Ng-Np	
1.	Каолинит (три-клин, Z=2) $\text{Al}_2\text{O}_3 \cdot 2\text{SiO}_2 \cdot 2\text{H}_2\text{O}$	1.553	1.560	0.007	Олти бурчак шаклидаги пластинкалар
2.	Галуазит $2[\text{Al}_2\text{O}_3 \cdot 2\text{SiO}_2 \cdot 2\text{H}_2\text{O}] \cdot (4\text{H}_2\text{O})$	1.526-1.532	-	-	Майдо доначалар
3.	Галуазит $2[\text{Al}_2\text{O}_3 \cdot 2\text{SiO}_2 \cdot 2\text{H}_2\text{O}] \cdot 2\text{H}_2\text{O}$	1.548-1.556	-	-	Майдо доначалар
4.	Монтморилтонит (Ca,Mg) O $\text{Al}_2\text{O}_3 \cdot (4-5)\text{SiO}_2 \cdot x\text{H}_2\text{O}$	1.480-1.590	1.516-1.630	0.036-0.040	Жуда майдо доналар қирримсимон
5.	Нонтронит* $\text{Fe}(\text{OH})\text{Si}_2\text{O}_5 \cdot 2\text{H}_2\text{O} \cdot \text{Fe}_2\text{O}_3 \cdot 4\text{SiO}_2 \cdot 5\text{H}_2\text{O}$	1.565-1.600	1.600-1.640	0.035-0.040	Майдо доначалар, чузилган пластинка майдончалари
6.	Иллит	1.45	1.57	0,12	Слюдасимон, яхши ривожланмаган гексагонал шаклдаги тангалар
7.	Монотермит 0,2 (K,Na, Mg,Ca)O $\text{Al}_2\text{O}_3 \cdot 3\text{SiO}_2 \cdot 2\text{H}_2\text{O}$		$N_m = 1.55-1.57$	-	Нозик тангасимон
8.	Пирофиллит (монооктин, Z=4) $\text{Al}_2\text{O}_3 \cdot 4\text{SiO}_2 \cdot \text{H}_2\text{O}$	1.552	1.600	0.008	Радиал-пластинкали, япроқсимон, доначаларнинг туда агрегатлари.

\*Нонтронит: m|Mg<sub>3</sub>(Si<sub>2</sub>O<sub>5</sub>)<sub>2</sub>(OH)<sub>2</sub>|p|(Fe,Al)<sub>2</sub>(Si<sub>2</sub>O<sub>5</sub>)<sub>2</sub>(OH)<sub>2</sub>|nH<sub>2</sub>O

Юқоридаги жадвалларда тупроқ минераллари, оксидлар ва бир муҳим тизим оид моддаларнинг оптик тавсифлари келтирилган.

Күйидаги 6-жадвалда оксидлар күрсаткичига оид маълумотлар берилган

### 6-жадвал

#### Баъзи оксидларининг оптик тасвиғи

№	Оксиднинг номи	Таркиби	Нур синтетикалар күрсаткичи		Ng-Np	Габитус
			Ng	Np		
1.	α-Кварц	α-SiO <sub>2</sub>	1.541	1.533	0.008	Бипирамидали
2.	α-Тридимит	α-SiO <sub>2</sub>	-	-	Кучсиз	-
3.	β-Кристобалит	β-SiO <sub>2</sub>	1.487	1.484	0.003	Октаэдрлар доначалар, кушалоқдар
4.	γ-Кристобалит	γ-SiO <sub>2</sub>		1.466	-	Тангачалар, лоналар
5.	γ-Глиназэм	γ-Al <sub>2</sub> O <sub>3</sub>		1.696	-	-
6.	β-Глиназэм	β-Al <sub>2</sub> O <sub>3</sub>	1.655	1.630	0.025	-
7.	α-Глиназэм	α-Al <sub>2</sub> O <sub>3</sub>	1.768	1.760	0.008	Үстгунсимон, пирамидасимон
8.	Магний оксида	MgO		1.736	-	Думалоқ доначалар
9.	Кальций оксида	CaO		1.837	-	Думалоқ доначалар
10.	Темир оксида	Fe <sub>2</sub> O <sub>3</sub>	2.95	2.77	0.18	-
11.	Литий оксида	Li <sub>2</sub> O		1.644	-	Донача ва кублар
12.	Мис оксида	Cu <sub>2</sub> O		2.705	-	Октаэдрлар
13.	Марганец оксида	MnO		2.23	-	Октаэдрлар
14.	Никель оксида	NiO		2.27	-	Октаэдрлар
15.	Стронций оксида	SrO		1.870	-	Кублар
16.	Кадмий оксида	CdO		2.49	-	Октаэдр па кублар
17.	Барий оксида	BaO		1.980	-	Кублар
18.	Бериллий оксида	BeO	1.733	1.719	0.014	Призмалар
19.	Цинк оксида	ZnO	2.029	2.013	0.016	Гексагонал кристаллар
20.	Күргошин оксида	PbO	2.665	2.535	0.130	Таблицалар

5-жадвалдан тупроқ минералларининг оптик кўрсаткичлари бир-бирига яқинлиги куриниб турибди. Тупроқ минералларидан оксидларга ўтадиган бўлсақ, хоссаларидағи фарқ сезиларлироқ даражада бўлади. Айниқса, SiO<sub>2</sub>, Al<sub>2</sub>O<sub>3</sub>, MgO, CaO ва Fe<sub>2</sub>O<sub>3</sub> орасидаги тафоввут ўта сезилувчандир (6-жадвал).

Силикатларнинг фазовий диаграмма ҳолатларини текширишда ҳам оптик кўрсаткичларга таяниш ижобий натижада беради. Айниқса, кремний - кислород, магний оксида - кремнезем, кальций оксида-кремнезем каби тизимларни таҳлил қилишда у кўл келади.

Қүйидаги 7-жадвалда  $\text{CaO}-\text{SiO}_2$  тизимиға оид мағлумотлар берилған.

7-жадвал  
 **$\text{CaO}-\text{SiO}_2$  системасининг кристаллик фазалари**

Бирикма	Кристалл тизим	Габитус	Ахратиши қоби-лияты	Ng	Np	2 Vu	Оптик белги
$\text{Ca}_3\text{SiO}_5$ (алит)	Гексагонал	Олтибурчакты пластинка ва доначалар	Аниқ эмас	1.723	1.717	0	(-)
$\alpha\text{-Ca}_2\text{SiO}_4$	Гексагонал	Олтибурчакты пластинка ва доначалар		-	-	-	-
$\alpha'\text{-Ca}_2\text{SiO}_4$ (бредигит)	Ромбик	-	-	-	-	-	-
$\gamma\text{-Ca}_2\text{SiO}_4$	Ромбик (олинин туридаги гузилма)	Призмалар	(010) текис-лігі бүйіча аниқ	1.654	1.642	60	(+)
$\beta\text{-Ca}_2\text{SiO}_4$ (метастабил, белит, фелит, ларит)	Моноклин	-	(010) ва (100) бүйіча аниқ	1.735	1.717	Катта	(+)
$\text{Ca}_3\text{Si}_2\text{O}_7$ (ранкинит)	Моноклин	Призмалар	-	1.650	1.641	Катта	(+)
$\alpha\text{-CaSiO}_3$	Псевдогексагонал, триклин	Узум призма, доначалар	(001) бүйіча, байлан (001) бүйіча құша-лоқтар	1.654	1.610	0-8	(+)
$\beta\text{-CaSiO}_3$ (волластонит)	Триклин	Доскаси-мон инили виділар	(100) бүйіча аниқ	1.631	1.616	39	( - )

**16-§ Диагностика мақсадларыда фойдаланыладыган микроскопик күрсаткычлар**

В 5222400 – «Кимёвий технология» йұналишининг «Силикат ва зұрғасуолувчан материаллар технологиясы» соңасы хом

ашёлари, яримфабрикатлари, материаллари ва буюмларини бир-биридан ажратиб олишда микроскоп ва унинг ёрдамида аниқланадиган параметрларнинг роли жуда катта. Бундай мақсадларда оддий микроскопдан ҳам, электрон микроскопидан ҳам унумли фойдаланиш мүмкин

Диагностика мақсадларидан фойдаланилдиган микроскопик курсаткичлар қаторига моддаларнинг нур синдириш курсаткичлари биринчи навбатда киради. Аморф таркибли қаттиқ модда ҳамда куб қисмига мойил булган кимёвий моддалар учун нур синдириш курсаткичи барча йұналишларда бир хил қииматта эга. Тузилиши буйича гексагонал, тетрагонал ва ромбикли тузилмаларга тааллуқли моддаларда бундай қиимат иккى түрли булиб, улар Ng ва Nr курсаткичлари номи билан аталади. Тузилиши жиҳатидан ута мұраккаб булған моноклин, тригонал ва триклин тузилмали сұнъий ҳамда табиий кристалл моддаларидан бундай курсаткичлар сони уттага етади.

Диагностика курсаткичлари ичидә кристалл моддаларига хос булған  $\Delta N$  ва  $2V$  ларнинг қиymатлари ғоҳида рақам ҳолатида, ғоҳида шартлы белгилар орқали берилған (8-жадвал).

8-жадвал

### Ng – Nr ва 2V лар қиymатини нисбий аниқлаш шкаласи

Нурнинг иккиланиб синиш шкаласи	Ng-Nr ни нисбий аниқлаш	Оптик үқларнинг бурчак каттаги шкаласи	2Vнинг күзда тутилған қиymати
Жуда күчсиз	0,002	Жуда кичик	10° (ёки 15°)
Күчсиз	0,006	Күчсиз	25°
Үртача	0,014	Үртачадан кичик	40°
Бироз күчсиз	0,023	Үртача	50°
Күчли	0,032	Үртачадан катта	60°
Жуда күчли	0,045	Катта	70° (ёки 75°)
Жуда-жуда күчли	> 0,050	Жуда катта	80° (ёки 85°)

$\alpha - 2\text{Na}_2\text{O SiO}_2$	1.537 $N_m = 1.530'$	1.524 $N_m = 1.520'$	0.013	Моноклин сингониялы Полисинтетик күшалоқ, кристаллар ҳоли да Иккى ўқли, сұниш бурчаги 8рәча. 1089°C да парчаланады, 960°C да башқа формага утады	
$\beta - 2\text{Na}_2\text{O SiO}_2$		$N_{\text{праст}} = 1.536$	Кучсиз	Пластиника шаклли кристаллар. Иккى ўқли, оптик белгиси (-), сұниш бурчаги 15р атрофида. $\rho_{\text{тәж}} = 2.58 \text{ г/см}^3$	
$\text{Na}_2\text{O SiO}_2$	1.528 $N_m = 1.520$	1.513 $N_m = 1.510$	0.015	Ромбик сингониялы, $a=10.43$ , $b=6.02$ , $c=4.81 \text{ \AA}$ , $Z=4$ . Призма ва нина шаклли кристаллар. 2V жуда катта, оптик белгиси (-), түгри сұниш бурчагига эта, ажралиши-призма бўйича. $\rho_{\text{тәж}} = 2.500$ ва $\rho_{\text{дис}} = 2.685 \text{ г/см}^3$ . Эриш нұқтаси 1089°C	
$\alpha - \text{Na}_2\text{O} \cdot 2\text{SiO}_2$	1.508 $N_m = 1.505$	1.497 $N_m = 1.505$	0.011	Ромбик сингониялы, $a=6.43$ , $b=15.46$ , $c=4.91 \text{ \AA}$ , $\alpha=\beta=\gamma=90^\circ$ , $Z=4$ . Кристаллари пластинкалар ҳолида 2V=50-55, оптик белгиси (-), узайиш белгиси (+), ажратиш қобилияти (100) ва (010) бўйича, $\rho_{\text{тәж}} = 2.47 \text{ г/см}^3$ . Эриш нұқтаси 874°C	
$\beta - \text{Na}_2\text{O} \cdot 2\text{SiO}_2$		1.515 $N_m = 1.510$	1.500 $N_m = 1.500$	0.015	Моноклин сингониялы элементтар панжара ўлчамлари, $a=12.26$ , $b=4.80$ , $c=8.07 \text{ \AA}$ , $\beta=104^\circ 18'$ , $Z=4$ . Кристаллари ингичка псевдодекагональ пластиника шаклида, $\rho_{\text{тәж}} = 2.56$ ва $\rho_{\text{дис}} = 2.628 \text{ г/см}^3$ .
$3\text{Na}_2\text{O} \cdot 2\text{SiO}_2$		1.529 $N_m = 1.526'$	1.524 $N_m = 1.526'$	0.005	Ромбик сингониялы. Пластиника-симон кристаллар. Иккى ўқли, оптик белгиси (+), $\rho_{\text{тәж}} = 2.96$ ва $\rho_{\text{дис}} = 2.60 \text{ г/см}^3$ , ажралиш дарзилклари-яққол. Эриш нұқтаси 1122°C
$\text{Na}_2\text{O} \cdot 3\text{SiO}_2$ ( $3\text{Na}_2\text{O} \cdot 8\text{SiO}_2$ )		1.502 $N_m = 1.499'$	1.496 $N_m = 1.499'$	0.006	Моноклин сингониялы, $a=4.90 \pm 0.02$ , $b=23.4 \pm 0.1$ , $c=15.4 \text{ \AA}$ , $Z=4$ . Моноклин сингонияга хос кристаллар. Иккى ўқли, фазовий группаси $C_{2h}^4 \cdot P2_1/c$ , $\rho_{\text{тәж}} = 2.47$ ва $\rho_{\text{дис}} = 2.50 \text{ г/см}^3$ . Инконгруэнт эриши 808°C

Жадист - $\text{Na}_2\text{O Al}_2\text{O}_3 \cdot 4\text{SiO}_2$	1.667 1.655 $N_{\text{m}}=1.659$	0.012	Моноклин сингонияли, $a=9.45$ , $b=8.57$ , $c=5.25 \text{ \AA}$ , $\beta=107^{\circ}15.5'$ , $Z=4$ $4\text{NaAlSi}_2\text{O}_6$ . Призматик кристаллар. Икки ўқли, мусбат, $2V=70^{\circ}$ ; $cNg=34.5^{\circ}$ Ажралыши $87^{\circ}$ ли бурчак остида. Қаттылығы 6-7, $\rho_{\text{тұрақ}}=3.3-3.5 \text{ г/см}^3$
$3\text{Na}_2\text{O } 6\text{BeO} \cdot 14\text{SiO}_2$	1.545 1.532 $N_{\text{m}}=1.533$	0.013	Ромбик сингонияли, икки ўқли, мусбат, $2V=60^{\circ}$ , $2V=38^{\circ}$ , $\rho_{\text{тұрақ}}=2.55 \text{ г/см}^3$
$\text{Na}_2\text{O } 2\text{CaO} \cdot \text{Al}_2\text{O}_3 \cdot 4\text{SiO}_2$	1.580 1.575	0.005	Тетрагонал сингонияли, $a=8.511$ , $c=4.807 \text{ \AA}$ . Бир ўқли, манфий. $1080^{\circ}$ да парчаланади
Лейкофен - $\text{NaF BeO CaO} \cdot 2\text{SiO}_2$	1.598 1.571 $N_{\text{m}}=1.595$	0.027	Ромбик (псевдотетрагонал) сингонияли, $a=7.39$ , $b=7.39$ , $c=9.97 \text{ \AA}$ . Кристаллари базаль табличка күрниншида. Икки ўқли, манфий. $2V=39^{\circ}$ . Қаттылығы 4, $\rho_{\text{тұрақ}}=2.96 \text{ г/см}^3$
$\text{Na}_2\text{O } 2\text{CaO} \cdot 2\text{SiO}_2$	$N_{\text{тұрақ}}=1.665$	0.003	Моноклин сингонияли. Кристаллари планкасімінен ва құшалоқ ҳолатда Қийшиқ сұнади, $2V$ катта
$\text{Na}_2\text{O } 2\text{MgO} \cdot 2\text{SiO}_2$	1.654 1.641 $N_{\text{m}}=1.646$	0.013	Моноклин сингонияли, $cNg=38^{\circ}$ , икки ўқли мусбат, $2V$ катта
$\text{Na}_2\text{O } 2\text{CaO SiO}_2$	1.60	-	Куб сингонияли, $a=7.50 \text{ \AA}$ , $\rho_{\text{тұрақ}}=2.79 \text{ г/см}^3$ . Осон ерійди
$\text{Na}_2\text{O } 2\text{CaO} \cdot 3\text{SiO}_2$	1.599 1.596 $N_{\text{m}}=1.597^{\circ}$	0.003	Паст категориялы сингонияга жаға. Кристаллары тұғрибұрчакты шаклда. Пластиңкасімінен ва құшалоқ кристаллар ұам учрайди. Эриш нүктесі $1284^{\circ}\text{C}$
Дөвітрит - $\text{Na}_2\text{O } 3\text{CaO} \cdot 6\text{SiO}_2$	1.579 1.564 $N_{\text{m}}=1.570$	0.015	Ромбик сингонияли. Призматик кристаллар. Икки ўқли, мусбат, $2V=75^{\circ}$ , Ng кристалларнінг уунасига параллел. $1045^{\circ}\text{C}$ да $\text{CaSiO}_3$ ва суюқликка айланади
$2\text{Na}_2\text{O CaO} \cdot 3\text{SiO}_2$	1.571	-	Куб сингонияли. Кристалларнінг шакли-октаэдр. $1141^{\circ}\text{C}$ да парчаланади

$4\text{Na}_2\text{O} \cdot 3\text{CaO} \cdot 5\text{SiO}_2$	$N_{\text{такт}}=1.620$	0.002	Ромбик сингониялы Пинакоид ва призматик құраларға ега түрі бурчаклы кристаллар ҳосил қылади. Иккі ўқли, мусбат, 2V катта, $1125^{\circ}\text{C}$ да инконгруэнт әрійди
Акмит, әгириң - $\text{Na}_2\text{O} \cdot \text{Fe}_2\text{O}_3 \cdot 4\text{SiO}_2$	1.827 1.771 $N_m=1.810$	0.056	Моноклин сингониялы, $a:b:c=1.099:1.0601$ , $\beta=106^{\circ}49'$ . Кристаллари узайтирилған призма қолида. Иккі ўқли, манфий, $2V=60^{\circ}$ Ахралиши - $87^{\circ}$ ли бурчак остиши. Қаттықынғы $6-6.5$ , $\rho_{\text{такт}}=3.584$ г/см <sup>3</sup> , $cNg=104^0$ . Эриш нұқтаси = $990^{\circ}\text{C}$
$5\text{Na}_2\text{O} \cdot \text{Fe}_2\text{O}_3 \cdot 8\text{SiO}_2$	1.625 1.609	0.016	Гексагонал сингониялы, кристаллари призматик қиєфада. Бир ўқли, мусбат. Эриш нұқтаси $838^{\circ}\text{C}$
$\text{Na}_2\text{O} \cdot 2\text{MgO} \cdot 2\text{SiO}_2$	1.654 1.641 $N_m=1.646$	0.013	Моноклин сингониялы, $cNg=38^0$ , (+), 2V катта
$\text{Na}_2\text{O} \cdot 2\text{MgO} \cdot 6\text{SiO}_2$	1.546 1.540 $N_m=1.542$	0.006	Моноклин сингониялы, $cNg=24^0$ , иккі ўқли, (+), 2V катта.
$\alpha - \text{Na}_2\text{O} \cdot \text{Al}_2\text{O}_3 \cdot 2\text{SiO}_2$	1.510		Кубик сингониялы. $1248^{\circ}\text{C}$ дан юқорыда барқарор $687^{\circ}\text{C}$ да Карнегииттә алланади.
Карнегиит - $\text{Na}_2\text{O} \cdot \text{Al}_2\text{O}_3 \cdot 2\text{SiO}_2$	1.514 1.509 $N_m=1.514$	0.005	Триклин сингониялы метастабил фаза. Полисинтетик құшалоқтар ҳосил қылади, иккі ўқли, (-), $2V=12-15^{\circ}$ . $\rho_{\text{такт}}=2.51$ г/см <sup>3</sup> . Сови-тиш жағдайы ( $227^{\circ}\text{C}$ ли қолаты)да нефелинің алланади
Нефелин - $\beta - \text{Na}_2\text{O} \cdot \text{Al}_2\text{O}_3 \cdot 2\text{SiO}_2$	1.537 1.533	0.004	Гексагонал сингониялы, $a=9.98$ , $c=8.44$ Å . Кристаллари базал табличка ва калта призма қолида. Бир ўқли, манфий. Ахралиши (1010) ва (0001) бүйіча, $\rho_{\text{такт}}=2.619$ г/см <sup>3</sup> . Эриш нұқтаси $1526^{\circ}\text{C}$
Альбит - $\alpha - \text{Na}_2\text{O} \cdot \text{Al}_2\text{O}_3 \cdot 6\text{SiO}_2$	1.534 1.527 $N_m=1.532$	0.007	Триклин сингониялы, $a=8.23$ , $b=13.00$ , $c=7.25$ Å , $\alpha=94^{\circ}31'$ , $\beta=116^{\circ}20'$ , $\gamma=88^{\circ}91'$ . Кристаллари - таблестека ва призма құрнишида, иккі ўқли, (-), $2V=45-55^{\circ}$ . Ахралиши (001) ва (010) бүйіча. Сүниш бурчаги $9-12^{\circ}$ дан $26-37^{\circ}$ гача. Қаттықынғы $6-6.5$ . $\rho_{\text{такт}}=2.61-2.62$ г/см <sup>3</sup>

$\beta\text{-Na}_2\text{O Al}_2\text{O}_5$ $6\text{SiO}_2$	1.539 1.528 $N_m=1.533$	0.011	Икки ўқли, мусбат, $2V=75-83^{\circ}$ . Сүниш бурчаги $7-20^{\circ}$ . $\rho_{\text{плаг}}=2.382 \text{ г}/\text{см}^3$
$\text{Na}_2\text{O B}_2\text{O}_5 2\text{SiO}_2$	1.572	-	Кубик сингониялы. Эриш нұқтаси $760^{\circ}\text{C}$ . Изотроп хұсусиятта зға
$\text{Na}_2\text{O Ga}_2\text{O}_5$ $6\text{SiO}_2$	1.558 1.552 $N_m=1.555^*$	0.006	Триклин сингониялы. Эриш нұқтаси $1015^{\circ}\text{C}$ . $N_{\text{плаг}}=1.519$
Лоренценит- $\text{Na}_2\text{O } 2\text{TiO}_2$ $2\text{SiO}_2$	2.02 1.91 $N_m=2.01$	0.11	Ромбик сингониялы. $a=8.66$ , $b=14.42$ , $c=5.18$ . Нинасимон кристаллар. Икки ўқли, манфий. $2V=38-40^{\circ}$ . $N_p=b$ , $N_m=a$ . Қаттықтігі 6, $\rho_{\text{плаг}}=3.43 \text{ г}/\text{см}^3$
$\text{Na}_2\text{O ZrO}_2$ $2\text{SiO}_2$	1.710 1.688 $N_m=1.690^*$	0.022	Моноклин сингониялы. Узун-узун нинасимон кристаллар. Сүниши паст бурчак остида.
$2\text{Na}_2\text{O } 2\text{ZrO}_2$ $3\text{SiO}_2$	1.715 1.692	0.023	Гексагонал сингониялы. Ромбо-здрік обликта зға, $\rho_{\text{плаг}}=2.88 \text{ г}/\text{см}^3$ . Эриш нұқтаси $1540^{\circ}\text{C}$
Фтор-эденит- $\text{Na}_2\text{O } 10\text{MgO}$ $4\text{CaO Al}_2\text{O}_5$ $13\text{SiO}_2 \text{SiF}_4$	1.624 1.605 $N_m=1.617$	0.019	Моноклин сингониялы, $a=9.85$ , $b=18.00$ , $c=5.28$ , $\beta=104^{\circ}50'$ . Кристаллар нинасиңан ва призма күрнинишида. (-) $2V=69^{\circ}$ , $\rho_{\text{плаг}}=3.077 \text{ г}/\text{см}^3$
Фтор-бор- эденит - $\text{Na}_2\text{O } 10\text{MgO}$ $4\text{CaO B}_2\text{O}_5$ $13\text{SiO}_2 \text{SiF}_4$	1.605 1.588 $N_m=1.598$	0.017	Моноклин сингониялы. $a=9.81$ , $b=17.96$ , $c=5.27$ , $\beta=104^{\circ}27'$ . Кристаллари нина қиесәсіда (-) $2V=75^{\circ}$ , $N_p=b$ , $cNg=12^{\circ}$ , $\rho_{\text{плаг}}=3.042 \text{ г}/\text{см}^3$
$\text{K}_2\text{O SiO}_2$	1.528 1.520 $N_m=1.521$	0.008	Ромбик сингониялы. Донасимон кристаллар. Икки ўқли. Оптик белгиси (+), $2V=35^{\circ}$ . $\rho_{\text{плаг}}=2.538$ , $\rho_{\text{плаг}}=2.474 \text{ г}/\text{см}^3$ . Эриш нұқтаси $976^{\circ}\text{C}$
$\text{K}_2\text{O } 2\text{SiO}_2$	1.513 1.503 $N_m=1.509$	0.010	Ромбик сингониялы, алти томонли пластинка, полисинтетик күшалоқтар. Оптик белгиси (-), $2V_p$ катта. Эриш нұқтаси $1045^{\circ}\text{C}$
$\text{K}_2\text{O } 4\text{SiO}_2$	1.482 1.477 $N_m=1.479$	0.005	Моноклин сингониялы. Жадваллар ва қүшалоқтар. Оптик белгиси (+), $2V_p$ катта, кия сүниш, $\rho_{\text{плаг}}=2.335$ ва $\rho_{\text{плаг}}=2.384 \text{ г}/\text{см}^3$ . Эриш нұқтаси $770^{\circ}\text{C}$ . $N_{\text{плаг}}=1.495$ .

$K_2O Al_2O_3 \cdot 2SiO_2$	1.537 $N_m=1.536$	0.009	Ромбик сингонияли, $a=9.01$ , $b=15.67$ , $c=8.57 \text{ \AA}$ . (-), $2V=40^\circ$ . Кристаллари псевдогексагонал қүшалоқ ҳолида. Ажралыш (001) ва (100) орқали $N_p=a$ , $N_m=b$ , $\rho_{такр}=2.60 \text{ г/см}^3$ . Эриш нүктаси $1800^\circ\text{C}$ . $1540^\circ\text{C}$ да бошқа формага утади
Калиофилит – $K_2O Al_2O_3 \cdot 2SiO_2$	1.537 1.533	0.004	Метастабил гексагональ форма, $a=27.0$ , $c=8.51 \text{ \AA}$ . Кристаллари призмалар ҳолида. Бир ўқли, манфий. Қаттиқлиги 6, $\rho_{такр}=2.61 \text{ г/см}^3$
Кальцилит – $K_2O Al_2O_3 \cdot 2SiO_2$	1.542 1.537	0.005	Гексагональ сингонияли, $a=5.17$ , $c=8.67 \text{ \AA}$ . Бир ўқли, манфий. $\rho_{такр}=2.59 \text{ г/см}^3$
Лейцит – $\alpha-K_2O Al_2O_3 \cdot 4SiO_2$	1.495	-	Куб сингонияли, $a=13.40 \text{ \AA}$ . Қаттиқлиги 5.5-6, $\rho_{такр}=2.47 \text{ г/см}^3$ . Эриш нүктаси $1686^\circ\text{C}$
$\beta-K_2O Al_2O_3 \cdot 4SiO_2$	1.509 1.508	0.001	Тетрагонал сингонияли, $a=12.92$ , $c=13.70 \text{ \AA}$ . Кристаллари құшалоқ бұлғаны сабабли псевдокуб қиесфасида
Fe-лейцит – $K_2O Fe_2O_3 \cdot 4SiO_2$	1.619	-	Куб сингонияли, $\rho_{такр}=2.59 \text{ г/см}^3$ .
K-аомит – $K_2O Fe_2O_3 \cdot 4SiO_2$	$N_{такр}=1.800$	0.030	Монохлин сингонияли. Кристаллар призма күрнишида. Икки ўқли, манфий
Санидин – $K_2O Al_2O_3 \cdot 6SiO_2$	1.525 1.520 $N_m=1.525$	0.005	Монохлин сингонияли юқори температурали форма (Ортоқлаз), $a=8.4$ , $b=12.9$ , $c=7.1 \text{ \AA}$ , $\beta=115^\circ 35'$ , $Z=4$ $KAISi_3O_8$ . Кристаллари табличкасімон. Ажралыш (001) ва (010) бүйіча. Икки ўқли, манфий, $2V$ жуда кичик. Қаттиқлиги 6, $\rho_{такр}=2.57 \text{ г/см}^3$
Абуляр – $K_2O Al_2O_3 \cdot 6SiO_2$	1.524 1.519 $N_m=1.523$	0.005	Монохлин сингонияли паст температурали форма (Ортоқлаз). $a=8.45$ , $b=12.9$ , $c=7.15 \text{ \AA}$ , $\beta=116^\circ 31'$ . Икки ўқли, мусбат, $2V=50-70^\circ$ . Қаттиқлиги 6, $\rho_{такр}=2.57 \text{ г/см}^3$

<b>Микроклин – K<sub>2</sub>O Al<sub>2</sub>O<sub>3</sub> 6SiO<sub>2</sub></b>	1.525 1.518 N <sub>m</sub> =1.522	0.007	Триклин сингониялы ўта паст температурали форма, a=8.44, b=13.00, c=7.21 Å, α=90°71', β=115°50', γ=89°55', Z=4 KAlSi <sub>3</sub> O <sub>8</sub> . Икки ўқли, манфий, 2V=83° Каттиқиғи 6, ρ <sub>плаг</sub> =2.55 г/см <sup>3</sup> . 1170°C да лейцит ҳосил қилиш билан парчаланади. Бутунлайин 1530°C да эрийди
K <sub>2</sub> O Fe <sub>2</sub> O <sub>3</sub> 6SiO <sub>2</sub>	1.609 1.601 N <sub>m</sub> =1.605°	0.008	Моноклин сингониялы. Кристаллари күшталоқ ҳолда учрайди. Сұниш бурчагы (010)га нисбатан 7-8°, N <sub>m</sub> =b, ρ <sub>плаг</sub> =2.712 г/см <sup>3</sup>
K <sub>2</sub> O Al <sub>2</sub> O <sub>3</sub> SiO <sub>2</sub>	1.540	-	Кубик сингониялы. Кристаллари оқтаздрли формага зга
Гиератит – 2KF-SiF <sub>4</sub>	1.339	-	Кубик сингониялы. a=8.18 Å, Z=4. Кристаллари оқтаздрлік шакилі, ρ <sub>плаг</sub> =2.665 г/см <sup>3</sup>
K <sub>2</sub> O CaO SiO <sub>2</sub>	1.605 1.600	0.005	Гексагонал сингониялы. Кристаллари гексагонал бипирамида шаклида. Бир ўқли, мусбат. Эриш нүктаси 1630°C
4K <sub>2</sub> O CaO 10SiO <sub>2</sub>	1.548 1.537	0.011	Гексагонал сингониялы. Кристаллари пластинка күренишида. Бир ўқли, манфий
β-K <sub>2</sub> O 3CaO 6SiO <sub>2</sub>	1.570 1.560 N <sub>m</sub> =1.565°	0.010	Ромбик сингониялы. Кристаллари призма ва пластинка шаклида. Икки ўқли, манфий, 960°C да K <sub>2</sub> Ca <sub>2</sub> Si <sub>6</sub> O <sub>15</sub> ва шишага ажralади
K <sub>2</sub> O 2CaO 6SiO <sub>2</sub>	1.590 1.575 N <sub>m</sub> =1.580°	0.015	Кристаллари қалып призма қолатида. Икки ўқли, мусбат, 2V катта 1115° да CaSiO <sub>3</sub> ва шишага ажralади
2K <sub>2</sub> O CaO 6SiO <sub>2</sub>	1.543 1.535 N <sub>m</sub> =1.541	0.008	Кристаллари паст категориялы сингонияга зга, призма ва пластинка габитусли, (-), 2V=60°5° Эриш нүктаси 959°C
2K <sub>2</sub> O CaO 9SiO <sub>2</sub>	1.535 1.515 N <sub>m</sub> =1.526	0.020	Паст категориялы сингонияга зга. Габитуси – призма қолатида. (-), 2V катта

$\alpha\text{-K}_2\text{O}\text{ }3\text{CaO}\text{ }6\text{SiO}_2$	1.590 1.575 $N_{\text{m}}=1.582$	0.015	Ромбик сингонияли Кристаллари призма ҳолатида Сүниши-түгри, (+), 2V катта. 1115°C да парчаланади
$2\text{K}_2\text{O}\text{ CaO}\text{ }3\text{SiO}_2$	1.572	-	Кубик сингонияли. Кристаллари октаэдр шаклида. 1005° да парчаланади
$\text{K}_2\text{O}\text{ }23\text{CaO}\text{ }12\text{SiO}_2$	1.703 1.695	0.008	Гексагонал сингонияли. Кристаллари күшалоқлар ҳолатида. Бир ўқли, мусбат
$\text{K}_2\text{O}\text{ MgO}\text{ }3\text{SiO}_2$	1.530 1.524	0.006	Гексагонал сингонияли, бир ўқли, манфий. Эриш нүктаси 1134°C
$\alpha\text{-K}_2\text{O}\text{ MgO}\text{ }5\text{SiO}_2$	1.501	-	Куб сингонияли, $a = 13.39 \text{ \AA}$ . Кристалларнинг шакли – куб, октаэдр ва бошқа. Эриш нүктаси 1089°C
$\beta\text{-K}_2\text{O}\text{ MgO}\text{ }5\text{SiO}_2$	$N_{\text{нұтқаси}}=1.505$	0.002	Кристаллари тола күренишда $\rho_{\text{тәж}} = 2.395$ ва $\rho_{\text{нұтқаси}} = 2.38 \text{ г/см}^3$ $N_{\text{нүктеси}} = 1.498$
$\text{K}_2\text{O}\text{ }5\text{MgO}\text{ }12\text{SiO}_2$	1.550 1.543	0.007	Гексагонал сингонияли Кристаллари олтиқырралы таблица ҳолатида. Ажаралиш күрінімдай. Бир ўқли, мусбат, $\rho_{\text{нұтқаси}} = 2.58 \text{ г/см}^3$ . Эриш нүктаси 1174°C
$\text{K}_2\text{O}\text{ PbO}\text{ }4\text{SiO}_2$	1.650 1.590 $N_{\text{m}}=1.612$	0.060	Кристаллари түгри бурчаклы пластинкалар ҳолатида Сүниши-түгри. Иккى ўқли, мусбат, 2V=75°. $N_{\text{нүктеси}}=1.606$ ва юмашаши 463°C
$\text{K}_2\text{O}\text{ }2\text{PbO}\text{ }2\text{SiO}_2$	1.93 1.72	0.21	Гексагонал сингонияли. Габитуси-гексагонал пластиналар. Бир ўқли, манфий. Эриш нүктаси 918°C. $N_{\text{нүктеси}}=1.775$ , юмашаши – 395°C
$\text{K}_2\text{O}\text{ }4\text{PbO}\text{ }8\text{SiO}_2$	1.790 1.690 0.01 0.01	0.10	Кристаллари-тола ва пластинка шаклида. Сүниши-түгри
$\text{K}_2\text{O}\text{ ZnO}\text{ SiO}_2$	1.622	-	Кубик сингонияли. Кристаллар шакли – куб ва бошқалар
$\text{K}_2\text{O}\text{ Ga}_2\text{O}_3\text{ }6\text{SiO}_2$	1.539 1.533 $N_{\text{m}}=1.535$	0.006	Моноклин сингонияли. Кристалларнинг эриш нүктаси 1000-1020°C. $N_{\text{нүктеси}}=1.513$
$\text{K}_2\text{O}\text{ La}_2\text{O}_3\text{ }2\text{SiO}_2$	1.867 1.840	0.027	Гексагонал сингонияли, $a=11.1$ , $c=9.05 \text{ \AA}$ . Бир ўқли, манфий

$2\text{K}_2\text{O} \cdot 3\text{BeO} \cdot 4\text{SiO}_2$	1.523	-	Куб сингонияли, $\rho_{\text{такр}} = 2.53 \text{ г/см}^3$
$\text{Rb}_2\text{O} \cdot 2\text{SiO}_2$	1.513      1.507 $N_m = 1.510^\circ$	0.006	Нина ва призма кристаллар. Иккى ўқли, оптик белгиси (+), $\rho_{\text{такр}} = 3.254 \text{ г/см}^3$ . Эриш нүктаси $1090^\circ\text{C}$
$\text{Rb}_2\text{O} \cdot 4\text{SiO}_2$	1.539      1.532	0.007	Гексагонал пластинкалар. Иккى ўқли, оптик белгиси (-), $\rho_{\text{такр}} = 3.022 \text{ г/см}^3$ . Эриш нүктаси $900^\circ\text{C}$
Рубидийский лейцит - $\text{Rb}_2\text{O} \cdot \text{Al}_2\text{O}_3 \cdot 4\text{SiO}_2$	$N_{\text{траса}} = 1.526$	Куч-сиз	Тетрагонал сингонияли, $a = 13.37$ , $c = 13.73 \text{ \AA}$
$\text{Rb}_2\text{O} \cdot \text{Al}_2\text{O}_3 \cdot 2\text{SiO}_2$	1.530      1.526	0.004	Гексагонал сингонияли, бир ўқ-ли, манфий
Рубидийский полевой шпат - $\text{Rb}_2\text{O} \cdot \text{Al}_2\text{O}_3 \cdot 6\text{SiO}_2$	1.529      1.524 $N_m = 1.526^\circ$	0.005	Паст категориялы сингонияга эга. Иккى ўқли, манфий.
$\alpha$ - $\text{Rb}_2\text{O} \cdot \text{Al}_2\text{O}_3 \cdot 4\text{SiO}_2 \cdot \text{H}_2\text{O}$	$N_{\text{траса}} = 1.521$	Куч-сиз	Тетрагонал сингонияли, $a = 13.64$ , $c = 13.33 \text{ \AA}$ .
$\beta$ - $\text{Rb}_2\text{O} \cdot \text{Al}_2\text{O}_3 \cdot 4\text{SiO}_2 \cdot \text{H}_2\text{O}$	$N_{\text{траса}} = 1.481$	Куч-сиз	Тетрагонал сингонияли, $a = 13.20$ , $c = 13.60 \text{ \AA}$ .
$\text{Cs}_2\text{O} \cdot 2\text{SiO}_2$	1.563      1.560 $N_m = 1.562^\circ$	0.003	Донасимон кристаллар. Иккى ўқли, оптик белгиси (-), $\rho_{\text{такр}} = 3.852 \text{ г/см}^3$ , кучли гигроскопик хұсусият.
$\text{Cs}_2\text{O} \cdot 4\text{SiO}_2$	1.579      1.573	0.006	Гексагонал пластинкалар. Оптик белгиси (-), сұниши - түгри, $\rho_{\text{такр}} = 3.452 \text{ г/см}^3$ , кучли гигроскопик хұсусият
$\text{Cs}_2\text{O} \cdot \text{Al}_2\text{O}_3 \cdot 2\text{SiO}_2$	1.574	-	Кубик сингонияли
$\text{Cs}_2\text{O} \cdot \text{Al}_2\text{O}_3 \cdot 4\text{SiO}_2$	1.523	-	Кубик сингонияли, $a = 13.66 \text{ \AA}$ .
Бромеллит - $\text{BeO}$	1.733      1.719	0.014	Гексагонал сингонияли. Призмалар. Оптик белгиси (+), $2V = 0^\circ$ , ажралиш дарзликлари - базис бүйіча, $\rho_{\text{такр}} = 3.00 \text{ г/см}^3$ . Эриш нүктаси $2500^\circ\text{C}$

Фенакит - 2BeO SiO <sub>2</sub>	1.668 1.654	0.014	Тригонал сингонияли. Ромбоздурлар, призмалар, (1010) бүйича күшалоқлар. Оптик белгиси (+), 2V=0°, ажралиш қобилиялари (1120) бүйича, $\rho_{\text{тхр}}=3,00 \text{ г/см}^3$ . Инконгруэнт парчаланиши 1560°C (2BeO+SiO <sub>2</sub> )
Берилл - 2BeO Al <sub>2</sub> O <sub>3</sub> 6SiO <sub>2</sub>	1.568 1.564 1.602 1.594	0.004- 0.008-	Гексагонал сингонияли, $a=9.21 \text{ ва } c=9.17 \text{ Å}$ . Габитусы-призма ҳолидә. Бир үкүл, манфий, 2E 10°-гача борады. Қаттықұлғиги 7.5-8.0, $\rho_{\text{тхр}}=2.66-2.85 \text{ г/см}^3$ . Эриш нүктесі 1420°C
Форстерит - 2MgO SiO <sub>2</sub>	1.668 1.636 $N_{\text{m}}=1.652^\circ$	0.032	Ромбик сингонияли. Призмалар. Оптик белгиси (+), оптик ориентировкаси Z=c, 2V = 85%!, ажралиши (001) ва (010) бүйича, $\rho_{\text{тхр}}=3,216 \text{ г/см}^3$ . Эриш нүктесі 1890°C
Энстатит - MgO SiO <sub>2</sub>	1.658 1.650 $N_{\text{m}}=1.652$	0.008	Ромбик сингонияли, фазовий группаси Pbca, $a=18.230$ , $b=8.814$ ва $c=5.178 \text{ Å}$ , волокноли агрегатлар. Оптик белгиси (+), оптик ориентировкаси Z=c, 2V = 60°, ажралиши 90°ли (110) юзаси бүйича, $\rho_{\text{тхр}}=3,175$ ва $\rho_{\text{шиш}}=2.758 \text{ г/см}^3$ . Инконгруэнт эриши 1557°C (2MgO/SiO <sub>2</sub> +сүюзлик)
Клиноэнстатит- MgO SiO <sub>2</sub>	1.660 1.651 $N_{\text{m}}=1.654$	0.009	Моноклин сингонияли, фазовий группаси P2 <sub>1</sub> /c, $a=9.618$ , $b=8.828$ ва $c=5.186 \text{ Å}$ , $\beta=108^\circ 30'$ . Кристалл агрегатлар, (010) бүйича полисинтетик күшалоқлар. Оптик белгиси (+), оптик ориентировкаси Z=c=22°, 2V = 53°30', ажралиши 88°ли (110) бүйича, $\rho_{\text{тхр}}=3,19 \text{ г/см}^3$ .
Протоэнстатит- MgO SiO <sub>2</sub>	Энстатитдан 0.002 га фарқ қылады	Куч- сиз	Ромбик сингонияли, фазовий группаси Pbcp, $a=9.25$ , $b=8.74$ , $c=5.32 \text{ Å}$ . Брус шакылы кристаллар. Оптик белгиси (+), оптик ориентировкаси Z=c, 2V=70°, сунниши тұтры.

Клинохлор - 5MgO Al <sub>2</sub> O <sub>3</sub> 3SiO <sub>2</sub> ·4H <sub>2</sub> O	1.579 N <sub>m</sub> =1.575	1.572	0.007	Моноклин сингониялы, a=5.3, b=9.3, c=28.6 Å, β=96°50'. Кри- сталлы пластинка күри-нишида. Иккى ўқли, мусбат, 2V=0-40°. N <sub>m</sub> =b, N <sub>p</sub> ⊥ (010). Қаттиқлиги 2- 2.5, ρ <sub>тәжр</sub> =2.7 г/см <sup>3</sup>
α-2MgO 2Al <sub>2</sub> O <sub>3</sub> · 5SiO <sub>2</sub> - I	1.528	1.524	0.004	Үрта категориялы сингонияга эга, a=9.782 Å, c=9.365 Å. Бир ўқли, манфий
β-2MgO 2Al <sub>2</sub> O <sub>3</sub> · 5SiO <sub>2</sub> - II	1.541	1.537	0.004	Гексагонал сингониялы, a=9.792, c=9.349 Å. Бир ўқли, манфий.
α-Корднерит - 2MgO 2Al <sub>2</sub> O <sub>3</sub> · 5SiO <sub>2</sub> - III	1.550 N <sub>m</sub> =1.545	1.540	0.010	Ромбик сингониялы, a=9.7, b=17.1, c=9.3 Å. Призма күринишилдагы криSTALLлар. (-), 2V=70-100°
β-Корднерит - 2MgO 2Al <sub>2</sub> O <sub>3</sub> · 5SiO <sub>2</sub> - IV	1.53- 1.57 N <sub>m</sub> =1.525-	1.52- 1.55 1.526	0.010 0.020	Ромбик сингониялы. Құшалоқ криSTALLлар. (-) 2V=40-105°. Қаттиқлиги 7-7.5, ρ <sub>тәжр</sub> =2.57-2.66 г/см <sup>3</sup>
Пироп - 3MgO Al <sub>2</sub> O <sub>3</sub> 3SiO <sub>2</sub>		1.705	-	Кубик сингониялы, a=11.44 Å. Қаттиқлиги 7-7.5, ρ <sub>тәжр</sub> =3.51 г/см <sup>3</sup>
Сапфирин - 4MgO 5Al <sub>2</sub> O <sub>3</sub> 2SiO <sub>2</sub>	1.711 N <sub>m</sub> =1.709	1.705	0.006	Моноклин сингониялы, a=9.70, b=14.55, c=10.05 Å, β=111°27'. (-) 2V=68°49'. Қаттиқлиги 7.5, ρ <sub>тәжр</sub> =3.4-3.6 г/см <sup>3</sup>
Хризолит - MgO FeO SiO <sub>2</sub>	1.792 N <sub>m</sub> =1.778	1.748	0.044	Паст категориялы сингонияга эга. Иккى ўқли, манфий, 2V=69°
Fe- Клиноэнstatит- MgO FeO 2SiO <sub>2</sub>	1.70 1.754 N <sub>m</sub> =1.69-1.71	1.69 1.71	0.01 0.04	Моноклин сингониялы. Таркибига Ca ҳам киради. (+), 2V=0-30°
Хризотил - 3MgO 2SiO <sub>2</sub> 2H <sub>2</sub> O	1.555 N <sub>m</sub> =1.543	1.542	0.013	Моноклин сингониялы, a=14.66, b=9.24, c=5.33, β=93°16', Z=1 Mg <sub>6</sub> (OH) <sub>2</sub> Si <sub>4</sub> O <sub>10</sub> . Кристалллари призма ва волокно холатида. Иккى уюл, мусбат, 2V=30-35°, N <sub>m</sub> =b, cN <sub>p</sub> =0°. Қаттиқлиги 2-2.5. ρ <sub>тәжр</sub> =2.43 г/см <sup>3</sup>

Сепиолит - $3\text{MgO} \cdot 4\text{SiO}_2 \cdot n\text{H}_2\text{O}$	1.529 1.520 $N_{\text{m}}=1.529$	0.009	Моноклин сингониялы, $a=23.2$ , $b=15.7$ , $c=5.32 \text{ \AA}$ , $\beta=90^{\circ}93'$ . Кристаллары ингичка волокно шаклида. Иккى ўкли, манфий, $2V=0^{\circ}$ , $\rho_{\text{такр}}=2 \text{ г}/\text{см}^3$
Серпентин, антигорит - $3\text{MgO} \cdot 2\text{SiO}_2 \cdot 2\text{H}_2\text{O}$	1.565 1.558 $N_{\text{m}}=1.565$	0.007	Моноклин сингониялы, $a=5.3$ , $b=9.25$ , $c=13.52 \text{ \AA}$ , $\beta=91^{\circ}41'$ , $Z=2$ . Кристаллары пластинка ҳолида, ажралиши (001) бүйича. Иккى ўкли, манфий, $2V$ ўртаса. Қаттиқлігі $2-2.5$ , $\rho_{\text{такр}}=2.62$ $\text{г}/\text{см}^3$
Вермикулит - $(\text{Mg}, \text{Fe})_3 [\text{Al}, \text{Si}]_4\text{O}_{10}(\text{OH})_2 \cdot 2\text{H}_2\text{O}$	1.545 1.525 $N_{\text{m}}=1.545$	0.020	Моноклин сингониялы, $a=5.33$ , $b=9.18$ , $c=28.85 \text{ \AA}$ , $\beta=93^{\circ}15'$ . Кристаллары пластинкалар ҳолатиди, (-), $2V=0-8^{\circ}$
Тальк - $3\text{MgO} \cdot 4\text{SiO}_2 \cdot \text{H}_2\text{O}$	1.575 1.540 $N_{\text{m}}=1.575$	0.035	Моноклин сингониялы, $a=5.27$ , $b=9.13$ , $c=18.88 \text{ \AA}$ , $\beta=100^{\circ}15'$ , $Z=4$ . (-), $2V=0-30^{\circ}$ . Қаттиқлігі 1, $\rho_{\text{такр}}=2.82 \text{ г}/\text{см}^3$
Аллит - $3\text{CaO} \cdot \text{SiO}_2$	1.723 1.717	0.006	Гексагонал сингониялы. Олтибурчаклы пластинкалар ва донсимон доналар. Оптика белгиси (-), $2V=0$ , ажралиши аниқ эмес, $\rho_{\text{такр}}=3.20$ $\text{г}/\text{см}^3$
$\alpha\text{-}2\text{CaO} \cdot \text{SiO}_2$	$N_{\text{тумча}}=1.707$	Куч- сиз	Гексагонал сингониялы, $a=5.45$ ва $c=7.03 \text{ \AA}$ . Олтибурчаклы ва түрги бұлмаган донсимон кристаллар. 1500 $^{\circ}$ ли ҳароратда $\rho_{\text{такр}}=3.07 \text{ г}/\text{см}^3$ . Конгруэнт эриш нүктасы 2130 $^{\circ}\text{C}$
Бредигит- $\alpha'\text{-}2\text{CaO} \cdot \text{SiO}_2$	1.725 1.712 $N_{\text{m}}=1.716$	0.013	Ромбик сингониялы, $a=6.76$ , $b=5.45$ , $c=9.28 \text{ \AA}$ , (+), $2V=30^{\circ}$ . 700 $^{\circ}$ ли ҳароратда $\rho_{\text{такр}}=3.31 \text{ г}/\text{см}^3$
Шенонит - $\gamma\text{-}2\text{CaO} \cdot \text{SiO}_2$	1.654 1.642 $N_{\text{m}}=1.645$	0.012	Ромбик сингониялы. $a=6.78$ , $b=5.06$ , $c=11.28 \text{ \AA}$ . Призмалар Оптика белгиси (+), $2V=60^{\circ}$ , ажралиши (010) бүйича, 20 $^{\circ}$ ли ҳароратда $\rho_{\text{такр}}=2.97 \text{ г}/\text{см}^3$

Беллит (феллит, ларнит) - $\beta$ - $2\text{CaO}\text{SiO}_2$	1.730 $N_m=1.715$	0.023	Моноклин сингониялы, $a=5.49$ , $b=6.77$ , $c=9.29\text{\AA}$ , $\beta=94^{\circ}50'$ , полин- сингетик қүшалоқтар. (+), $2V=$ катта, ажралиши (010) ва (100) бүйича
Ранкинит - $3\text{CaO}\text{2SiO}_2$	1.650 $N_m=1.641$	0.009	Моноклин сингониялы. Призма- лар. Оптик белгиси (+), $2V^{\circ}$ катта
Псевдовол- ластонит- $\alpha$ - $\text{CaO}\text{SiO}_2$	1.654 $N_m=1.611$	0.044	Триклин сингониялы, $a=6.90$ , $b=11.58$ , $c=19.65\text{\AA}$ , $\alpha=90^{\circ}$ , $\beta=90^{\circ}48'$ , $\gamma=90^{\circ}$ , $Z=8$ . Донсисон доналар узайтирилган призма- лар, баязда (001) бүйича қүшалоқтар. Оптик белгиси (+), $2V=0-8^{\circ}$ , ажралиши- (001) бүйича, $\rho_{\text{такр}}=2.905\text{ g/cm}^3$ , контргүнт эриш нуқтаси $1544^{\circ}\text{C}$
Волластонит- $\beta$ - $\text{CaO}\text{SiO}_2$	1.631 $N_m=1.628$	0.015	Триклин сингониялы, $a=7.88$ , $b=7.27$ , $c=7.03\text{\AA}$ , $\alpha=90^{\circ}$ , $\beta=95^{\circ}16'$ , $\gamma=103^{\circ}22'$ . Доскасимон индивид- лар. Оптик белгиси (-), $2V=39^{\circ}$ , ажралиши-(100) ва (001) бүйича, $\rho_{\text{такр}}=2.915\text{ g/cm}^3$
Параволлас- тонит- $\gamma$ - $\text{CaO}\text{SiO}_2$	1.631 $N_m=1.629$	0.017	Моноклин сингониялы, $a=15.33$ , $b=7.28$ , $c=7.07\text{\AA}$ , $\beta=95^{\circ}25'$ . Қаттықлуги 4.5-5, $\rho_{\text{такр}}=2.915\text{ g/cm}^3$
Оксерманит - $2\text{CaO}\text{MgO}\text{2SiO}_2$	1.639 $N_m=1.632$	0.007	Тетрагонал сингониялы, $a=7.840$ , $c=5.015\text{\AA}$ . Кристаллар калта приз- ма күрнишида. Бир ўқли, мусбат. Қаттықлуги 5-6, $\rho_{\text{такр}}=2.95\text{ g/cm}^3$ . Эриш нуқтаси $1458^{\circ}\text{C}$
Геленит - $2\text{CaO}\text{Al}_2\text{O}_3\text{SiO}_2$	1.669 $N_m=1.658$	0.011	Тетрагонал сингониялы, $a=7.69$ , $c=5.10\text{\AA}$ . Кристаллар қысқа приз- ма күрнишида. Бир ўқли, ман- фий. Қаттықлуги 5-6, $\rho_{\text{такр}}=3.04\text{ g/cm}^3$ . Эриш нуқтаси $1590^{\circ}\text{C}$
Ферроошар- манит - $2\text{CaO}\text{FeO}\text{2SiO}_2$	1.690 $N_m=1.673$	0.017	Тетрагонал сингониялы. Бир ўқли, манфий. Ажралиши (001) бүйича, $\rho_{\text{такр}}=3.23\text{ g/cm}^3$

Ферригеленит - $2\text{CaO}(\text{Fe},\text{Al})_2$ $\text{O}_3\text{SiO}_2$	1.666 1.661	0.005	Тетрагонал сингонияли. $a=7.54$ , $c=4.855 \text{ \AA}$ . Бир ўқли, манфий Эриш нүктаси $1285^\circ\text{C}$
Гардистонит - $2\text{CaO ZnO}$ $2\text{SiO}_2$	1.671 1.662	0.009	Тетрагонал сингонияли. $a=7.83$ , $c=4.99 \text{ \AA}$ . Қаттиқлиги 3-4, $\rho_{\text{такр}}=3.40$ г/ $\text{cm}^3$ . Бир ўқли, манфий
$\text{CaO Al}_2\text{O}_3$ , $2\text{SiO}_2$ - I	1.590 1.585	0.005	Гексагонал сингонияли, метастабил форма, $a=5.11$ , $c=14.74 \text{ \AA}$ , $Z=1$ . Кристаллари пластинка күрнишида. Бир ўқли, мусбат, қаттиқлиги 5-6, $\rho_{\text{такр}}=2.74$ г/ $\text{cm}^3$
$\text{CaO Al}_2\text{O}_3$ , $2\text{SiO}_2$ - II	1.584 1.553 $N_m=1.580$	0.031	Ромбик сингонияли, метастабил форма, $a=8.224$ , $b=8.606$ , $c=4.836 \text{ \AA}$ , $Z=2$ . Иккى ўқли, манфий, $2V=39^\circ$ . Қаттиқлиги 6, $\rho_{\text{такр}}=2.70$ г/ $\text{cm}^3$
Анортит - $\text{CaO Al}_2\text{O}_3$ , $2\text{SiO}_2$	1.589 1.576 $N_m=1.583$	0.013	Триклин сингонияли, $a=8.21$ , $b=12.95$ , $c=14.16 \text{ \AA}$ , $\alpha=93^\circ 13'$ , $\beta=115^\circ 56'$ , $\gamma=91^\circ 12'$ . Таблицасимон кристаллар. Иккى ўқли, манфий, $2V=77^\circ$ . Қаттиқлиги 6, $\rho_{\text{такр}}=2.765$ г/ $\text{cm}^3$ . Эриш нүктаси $1550^\circ\text{C}$
$\text{CaO CuO} \cdot 4\text{SiO}_2$	1.635 1.605	0.030	Тетрагонал сингонияли, Бир ўқли, манфий. $\rho_{\text{такр}}=3.04$ г/ $\text{cm}^3$
Диопсид - $\text{CaO MgO} \cdot 2\text{SiO}_2$	1.695 1.666 $N_m=1.672$	0.029	Моноклин сингонияли, $a=9.750$ , $b=8.926$ , $c=5.252 \text{ \AA}$ , $\beta=105^\circ 55'$ , $Z=4$ . Кристаллар призма ҳолида. Иккى ўқли, (+), $2V=58^\circ$ . Қаттиқлиги 5-6, $\rho_{\text{такр}}=3.275$ г/ $\text{cm}^3$ . Эриш нүктаси $1391^\circ\text{C}$
Геденбергит - $\text{CaO FeO} \cdot 2\text{SiO}_2$	1.755 1.726 $N_m=1.732$	0.029	Моноклин сингонияли, $a=9.873$ , $b=9.049$ , $c=5.264 \text{ \AA}$ , $\beta=104^\circ 14'$ , $\rho_{\text{такр}}=3.538$ г/ $\text{cm}^3$
Ноганисснит - $\text{CaO MnO} \cdot 2\text{SiO}_2$	1.738 1.710 $N_m=1.719$	0.028	Кристаллари призма ва волокно ҳолида. Призматик ажралиш $\rho_{\text{такр}}=3.5$ ва $\rho_{\text{дек}}=3.6$ г/ $\text{cm}^3$

Уваровит – $3\text{CaO}\cdot\text{Cr}_2\text{O}_3\cdot$ $3\text{SiO}_2$	1.86		Куб сингонияли, $a=12.05\text{\AA}$ , Қаттиқлиги 7.5, $\rho_{\text{такр}}=3.78\text{ г}/\text{см}^3$
Гроссуляр – $3\text{CaO}\cdot\text{Al}_2\text{O}_3\cdot$ $3\text{SiO}_2$	1.735		Куб сингонияли, $a=11.84\text{\AA}$ , Қаттиқлиги 6.5-7, $\rho_{\text{такр}}=3.53\text{ г}/\text{см}^3$
Андрадит – $3\text{CaO}\cdot\text{Fe}_2\text{O}_3\cdot$ $3\text{SiO}_2$	1.895		Куб сингонияли, $a=12.04\text{\AA}$ , Қаттиқлиги 6.5-7, $\rho_{\text{такр}}=3.83\text{ г}/\text{см}^3$
$\text{CaO}\cdot\text{FeO}\cdot\text{SiO}_2$	1.743 1.696 $N_m=1.734$	0.047	Ромбик сингонияли, $a:b:c=0.437:1:0.577$ , $(-)$ , $2V=49^\circ$ , $\rho_{\text{такр}}=3.33\text{ г}/\text{см}^3$ , Эриш нүктаси $1208^\circ\text{C}$
Монтчеселит – $\text{CaO}\cdot\text{MgO}\cdot\text{SiO}_2$	1.653 1.639 $N_m=1.646$	0.014	Ромбик сингонияли, $a=4.815$ , $b=11.08$ , $c=6.37\text{\AA}$ . Кристаллари призма ва донсимон. $(+)$ , $2V=85^\circ$ , $\rho_{\text{такр}}=3.2\text{ г}/\text{см}^3$ , $1300^\circ\text{C}$ да парчаланади
Глаукохроит – $\text{CaO}\cdot\text{MnO}\cdot\text{SiO}_2$	1.736 1.685 $N_m=1.723$	0.051	Ромбик сингонияли, $a=4.91$ , $b=11.12$ , $c=6.49\text{\AA}$ . Призмасимон кристаллар. $(-)$ , $2V=61^\circ$ , $\rho_{\text{такр}}=3.48$ $\text{г}/\text{см}^3$ . Эриш нүктаси $1355^\circ\text{C}$
$3\text{CaO}\cdot\text{Al}_2\text{O}_3\cdot$ $\text{SiO}_2$	1.685 1.675 $N_m=1.679$	0.010	Ромбик сингонияли, Кристаллари тола ҳолида. $(+)$ , $2V$ капта $1335^\circ\text{C}$ да парчаланади
Мерлинит – $3\text{CaO}\cdot\text{MgO}\cdot$ $2\text{SiO}_2$	1.724 1.706 $N_m=1.712$	0.018	Моноклин сингонияли, $a=5.20$ , $b=9.20$ , $c=6.78\text{\AA}$ . Полисинтетик құшалоқ кристаллар. $(+)$ , $2V=66^\circ$ . Қаттиқлиги 6, $\rho_{\text{такр}}=3.15\text{ г}/\text{см}^3$ . Эриш нүктаси $1598^\circ\text{C}$
Титанит, сфен – $\text{CaO}\cdot\text{TiO}_2\cdot\text{SiO}_2$	2.092 1.950 $N_m=1.970$	0.142	Моноклин сингонияли, $a=6.55$ , $b=8.70$ , $c=7.43\text{\AA}$ , $\beta=119^\circ 43'$ , $(+)$ , $2V=23-35^\circ$ . Қаттиқлиги 5-5.5, $\rho_{\text{такр}}=3.4-3.6\text{ г}/\text{см}^3$
Гуттант – $2\text{CaO}\cdot\text{BeO}\cdot2\text{SiO}_2$	1.672 1.664	0.008	Тетрагонал сингонияли, $a=7.48$ , $c=5.044\text{\AA}$ . Бир үқли, мусбет. $\rho_{\text{такр}}=3.0336\text{ г}/\text{см}^3$
Мелифанит – $(\text{Ca},\text{Na})_2\text{Be}(\text{Si},\text{Al})_2(\text{O},\text{F})_7$	1.612 1.593	0.019	Тетрагонал сингонияли, $a=10.58$ , $c=9.88\text{\AA}$ . Бир үқли, манфий, $\rho_{\text{такр}}=3.006\text{ г}/\text{см}^3$

Яйкофанит – $(\text{Ca}, \text{Na})_2\text{BeSi}_2\text{O}_7$ (OH,F),	1.598 $N_m = 1.595$	0.027	Тетрагонал сингонияли, $a=7.39$ , $c=9.98 \text{ \AA}$ . Бир үқли, манфий, $2V=39^\circ$ , $\rho_{\text{такр}} = 2.96 \text{ г/см}^3$
Аминофит – $\text{Ca}_2(\text{Be}, \text{Al})\text{Si}_2\text{O}_7$ (OH) $\text{H}_2\text{O}$	1.647 1.637	0.010	Тетрагонал сингонияли, $a=13.8$ , $c=9.84 \text{ \AA}$ . Бир үқли, манфий, $\rho_{\text{такр}} = 2.94 \text{ г/см}^3$
Мелилит – $(\text{Ca}_{0.7}\text{Na}_{0.2}\text{K}_{0.1})_2$ ( $\text{Mg}_{0.5}\text{Al}_{0.5}$ ) $\text{Si}_2\text{O}_7$	1.638 1.634	0.004	Тетрагонал сингонияли, $a=7.789$ , $c=5.018 \text{ \AA}$ . Бир үқли, манфий, $\rho_{\text{такр}} = 2.95 \text{ г/см}^3$
$2\text{SrO SiO}_2$	1.756 $N_m = 1.732$	0.029	Моноклин сингонияли, (100) бүйича құшалоқтар. Оптик белгиси (+), $2V=32.5^\circ$ , $\rho_{\text{такр}} = 3.84 \text{ г/см}^3$
$\text{SrO SiO}_2$	1.870	–	Куб сингонияли, $a=5.15 \text{ \AA}$ . Куб шакли кристаллар. $\rho_{\text{такр}} = 4.75 \text{ г/см}^3$
$\text{SrO SiO}_2$	1.637 1.599	0.038	Гексагонал сингонияли, (0001) бүйича пластинкалар ва құшалоқтар. Оптик белгиси (+), $2V=0^\circ$ , $\rho_{\text{такр}} = 3.65 \text{ г/см}^3$ . Эриш нүктаси $1578^\circ\text{C}$
$2\text{SrO Al}_2\text{O}_3 \text{SiO}_2$	1.665 1.660	0.005	Тетрагонал сингонияли, $a=7.831$ , $c=5.276 \text{ \AA}$ . Габитуси-призма, $\rho_{\text{такр}} = 3.80$ ва $\rho_{\text{дис}} = 3.82 \text{ г/см}^3$
$\text{SrO Al}_2\text{O}_3 \cdot 2\text{SiO}_2$	1.586 $N_m = 1.582$	0.012	Триклин сингонияли, тола габитусыңа эта. Иккى үқли, манфий, $2V=70^\circ$ , $\rho_{\text{такр}} = 3.12 \text{ г/см}^3$
$2\text{SrO} \cdot \text{Ga}_2\text{O}_3 \cdot \text{SiO}_2$	1.728 1.717	0.011	Тетрагонал сингонияли, $a=7.92$ , $c=5.33 \text{ \AA}$ , $\rho_{\text{такр}} = 4.49 \text{ г/см}^3$ . Эриш нүктаси $1590^\circ\text{C}$
$2\text{SrO MgO} \cdot 2\text{SiO}_2$	1.638 1.609	0.029	Тетрагонал сингонияли, $a=8.06$ , $c=5.19 \text{ \AA}$ , $\rho_{\text{такр}} = 3.64 \text{ г/см}^3$ .
$2\text{SrO} \cdot \text{ZnO} \cdot 2\text{SiO}_2$	1.710 1.678	0.032	Тетрагонал сингонияли, $a=8.04$ , $c=5.20 \text{ \AA}$ , $\rho_{\text{такр}} = 3.99 \text{ г/см}^3$ .
$\text{Sr}_4\text{La}_6\text{Si}_6\text{O}_{24}\text{F}_2$	1.838 1.827	0.011	Гексагонал сингонияли, $a=9.69$ , $c=7.13 \text{ \AA}$ , $\rho_{\text{такр}} = 5.03$ ва $\rho_{\text{дис}} = 5.05 \text{ г/см}^3$ . Эриш нүктаси 2063 K

$\text{Sr}_4\text{Nd}_6\text{Si}_6\text{O}_{24}\text{F}_2$	1.843 1.829	0.014	Гексагонал сингонияли, $a=9.59$ , $c=7.07 \text{ \AA}$ , $\rho_{\text{такр}} = 5.26$ ва $\rho_{\text{дис}} = 5.29$ г/см <sup>3</sup> . Эриш нүктаси 2023 К
$\text{Sr}_4\text{Sm}_6\text{Si}_6\text{O}_{24}\text{F}_2$	1.854 1.842	0.012	Гексагонал сингонияли, $a=9.52$ , $c=6.99 \text{ \AA}$ , $\rho_{\text{такр}} = 5.50$ ва $\rho_{\text{дис}} = 5.54$ г/см <sup>3</sup> . Эриш нүктаси 2023 К
$\text{Sr}_4\text{Gd}_6\text{Si}_6\text{O}_{24}\text{F}_2$	1.862 1.850	0.012	Гексагонал сингонияли, $a=9.49$ , $c=6.96 \text{ \AA}$ , $\rho_{\text{такр}} = 5.71$ ва $\rho_{\text{дис}} = 5.74$ г/см <sup>3</sup> . Эриш нүктаси 2083 К
$\text{Sr}_4\text{Dy}_6\text{Si}_6\text{O}_{24}\text{F}_2$	1.871 1.858	0.013	Гексагонал сингонияли, $a=9.42$ , $c=6.92 \text{ \AA}$ , $\rho_{\text{такр}} = 5.90$ ва $\rho_{\text{дис}} = 5.95$ г/см <sup>3</sup> . Эриш нүктаси 2083 К
$\text{Sr}_4\text{Er}_6\text{Si}_6\text{O}_{24}\text{F}_2$	1.892 1.880	0.012	Гексагонал сингонияли, $a=9.30$ , $c=6.78 \text{ \AA}$ , $\rho_{\text{такр}} = 6.15$ ва $\rho_{\text{дис}} = 6.17$ г/см <sup>3</sup> . Эриш нүктаси 2103 К
$\text{Sr}_4\text{Y}_6\text{Si}_6\text{O}_{24}\text{F}_2$	1.773 1.759	0.014	Гексагонал сингонияли, $a=9.46$ , $c=6.89 \text{ \AA}$ , $\rho_{\text{такр}} = 4.40$ ва $\rho_{\text{дис}} = 4.42$ г/см <sup>3</sup> . Эриш нүктаси 2048 К
BaO	1.980	-	Куб сингонияли, $a=5.53 \text{ \AA}$ . Куб күрнишли кристаллар. $\rho_{\text{такр}} = 5.72$ г/см <sup>3</sup>
$2\text{BaO SiO}_2$	1.830 1.810 $N_m = 1.820^*$	0.020	Ромбик сингонияли. Донсимон доналар. $\rho_{\text{такр}} = 5.21$ г/см <sup>3</sup>
BaO SiO <sub>2</sub>	1.678 1.673 $N_m = 1.674$	0.005	Ромбик сингонияли. Донсимон ва нинасимон агрегаттар. Оптикалык белгиси (+), $2V = 29^\circ$ , акралиши (010) бүйича, $\rho_{\text{такр}} = 4.40$ г/см <sup>3</sup> . Эриш нүктаси 1604°C
$2\text{BaO } 3\text{SiO}_2$	1.645 1.620 $N_m = 1.625$	0.025	Ромбик сингонияли, $a=12.50$ , $b=4.69$ , $c=13.92 \text{ \AA}$ , $\beta=93.3^\circ$ , $Z=2$ . Донсимон доналар, пластинкасимвон күшалоқлар. Оптикалык белгиси (+), $2V = 54^\circ$ , акралиши (010), (100) ва (010) бүйича, $\rho_{\text{такр}} = 3.93$ г/см <sup>3</sup> . Эриш нүктаси 1450°C
BaO 2SiO <sub>2</sub>	1.621 1.597 $N_m = 1.616$	0.027	Ромбик ёки триклин сингонияли. Призмалар. Оптикалык белгиси (-), $2V = 75^\circ$ , акралиши (010), (100) ва (001) бүйича, $\rho_{\text{такр}} = 3.73$ г/см <sup>3</sup> . Эриш нүктаси 1420°C

$\alpha - \text{BaO Al}_2\text{O}_5 \cdot 2\text{SiO}_2$	1.571 1.567	0.004	Юқори ҳароратли гексагонал фаза, $a=5.25$ , $c=7.84 \text{ \AA}$ . Пластикасиянан кристаллар. Ажралиши (0001) бүйича, $\rho_{\text{такр}} = 3.03 \text{ г/см}^3$ . Эриш нүктаси $1715^\circ\text{C}$
Цельзийан – $\text{BaO Al}_2\text{O}_5 \cdot 2\text{SiO}_2$	1.600 $N_m = 1.593$	0.013	Паст ҳароратли моноклин фаза, $a=8.63$ , $b=13.10$ , $c=7.29 \text{ \AA}$ , $\beta=116^\circ$ . Күшалоқ кристаллар, (+), $2V=80^\circ$ , $\rho_{\text{такр}} = 3.57 \text{ г/см}^3$
Парацельзийан – $\text{BaO Al}_2\text{O}_5 \cdot 2\text{SiO}_2$	1.587 $N_m = 1.582$	0.017	Моноклин сингониялы, $a:b:c=0.947:1:0.895$ , $\rho=90^010^1$ . Прима күринишли кристаллар. Иккى ўқли, манғый, $2V=50-53^\circ$ , $\rho_{\text{такр}} = 3.315 \text{ г/см}^3$
Бенитонт – $\text{BaO TiO}_2 \cdot 3\text{SiO}_2$	1.804 1.757	0.047	Гексагонал сингониялы, $a=6.60$ , $c=9.71 \text{ \AA}$ . Кристаллари пирамида ва табличка күринишида. Бир ўқли, мусебат. Қаттылығы 6-6.5, $\rho_{\text{такр}} = 3.65 \text{ г/см}^3$
$2\text{BaO MgO} \cdot 2\text{SiO}_2$	1.710 1.650	0.060	Тетрагонал сингониялы, $a=8.32$ , $c=5.52 \text{ \AA}$ . $\rho_{\text{такр}} = 3.80 \text{ г/см}^3$
$2\text{BaO ZnO} \cdot 2\text{SiO}_2$	1.722 1.698	0.024	Тетрагонал сингониялы, $a=8.40$ , $c=5.68 \text{ \AA}$ . $\rho_{\text{такр}} = 4.02 \text{ г/см}^3$
$\text{Ba}_4\text{Nd}_6\text{Si}_6\text{O}_{24}\text{F}_2$	1.873 1.866	0.007	Гексагонал сингониялы, $a=9.72$ , $c=7.19 \text{ \AA}$ , $\rho_{\text{такр}} = 5.36$ ва $\rho_{\text{дис}} = 5.36 \text{ г/см}^3$ . Эриш нүктаси 1923 K
$\text{Ba}_4\text{Y}_6\text{Si}_6\text{O}_{24}\text{F}_2$	1.848 1.826	0.022	Гексагонал сингониялы, $a=9.60$ , $c=6.98 \text{ \AA}$ , $\rho_{\text{такр}} = 4.66$ ва $\rho_{\text{дис}} = 4.68 \text{ г/см}^3$ . Эриш нүктаси 1973 K
$\text{Ba}_4\text{Gd}_6\text{Si}_6\text{O}_{24}\text{F}_2$	1.881 1.870	0.011	Гексагонал сингониялы, $a=9.62$ , $c=7.10 \text{ \AA}$ , $\rho_{\text{такр}} = 5.78$ ва $\rho_{\text{дис}} = 5.79 \text{ г/см}^3$ . Эриш нүктаси 1963 K
$\text{Ba}_4\text{Dy}_6\text{Si}_6\text{O}_{24}\text{F}_2$	1.892 1.878	0.014	Гексагонал сингониялы, $a=9.58$ , $c=6.97 \text{ \AA}$ , $\rho_{\text{такр}} = 5.98$ ва $\rho_{\text{дис}} = 6.00 \text{ г/см}^3$ . Эриш нүктаси 1963 K

<chem>Ba4La6Si4P2O26</chem>	1.796 1.782	0.014	Гексагонал сингонияли, $a=9.97$ , $c=7.35 \text{ \AA}$ , $\rho_{\text{такр}} = 5.12 \text{ г/см}^3$ , $\rho_{\text{изд}} = 5.16 \text{ г/см}^3$ . Эриш нүктаси 2023 K
<chem>Ba4Nd6Si4P2O26</chem>	1.848 1.829	0.019	Гексагонал сингонияли, $a=9.80$ , $c=7.25 \text{ \AA}$ , $\rho_{\text{такр}} = 5.45 \text{ г/см}^3$ . Эриш нүктаси 2028 K
Цинкит - <chem>ZnO</chem>	2.029 2.013	0.016	Гексагонал сингонияли, $a=3.25$ , $c=5.19 \text{ \AA}$ , $Z=2$ . Бир ўқли, мусбат. Қаттиқлігі 4, $\rho_{\text{такр}} = 5.66 \text{ г/см}^3$ . 1670°C да эрийді
Веллимит - $\alpha$ - <chem>2ZnO SiO2</chem>	1.715 1.695	0.020	Үрта сингонияга таалуқылы кристаллар. Бир ўқли, $2V=0^\circ$
$\beta$ - <chem>2ZnO SiO2</chem>	1.712 1.703 $N_m=1.700$	0.009	Ромбик сингонияли, $a=8.40$ , $b=5.10$ , $c=3.22 \text{ \AA}$ . Икki ўқли, $2V=49^\circ$ , $\rho_{\text{такр}} = 4.29 \text{ г/см}^3$ . Эриш нүктаси 1420°C
$\gamma$ - <chem>2ZnO SiO2</chem>	1.703 1.685 $N_m=1.700$	0.018	Икки ўқли кристаллар, $2V = -40^\circ$
<chem>ZnO SiO2</chem>	1.623 1.616	0.007	Нинасимон кристаллар, $\rho_{\text{такр}} = 3.52 \text{ г/см}^3$ . Эриш нүктаси 1429°C
Гемиморфит - <chem>Zn4(OH)2Si2O7 H2O</chem>	1.636 1.614 $N_m=1.617$	0.022	Ромбик сингонияли, $a=8.40$ , $b=10.72$ , $c=5.13 \text{ \AA}$ . Икки ўқли, мусбат, $2V = 46^\circ$ . Қаттиқлігі 5, $\rho_{\text{такр}} = 3.45 \text{ г/см}^3$
<chem>ZnSiF6 H2O</chem>	1.395 1.382	0.013	Тригонал сингонияли, $c:a=0.517$ . Призма кристаллар. Бир ўқли, мусбат, $\rho_{\text{такр}} = 2.14 \text{ г/см}^3$
<chem>CdO</chem>	2.49	-	Куб сингонияли, $a=4.70 \text{ \AA}$ , $Z=4$ . Кристаллар октаэдр ва куб күрінішизде. Қаттиқлігі 3, $\rho_{\text{такр}} = 8.15 \text{ г/см}^3$ .
<chem>CdO SiO2</chem>	-	-	Эриш нүктаси 1246 °C, $\rho_{\text{такр}} = 5.833 \text{ г/см}^3$
<chem>2CdO SiO2</chem>	$N_{\text{такр}} = 1.74$	Уртаса	Оливинга ўшаш структурали, $\rho_{\text{такр}} = 4.928 \text{ г/см}^3$ , эриш нүктаси 1252°C

Паст температурали $\beta - \text{Al}_2\text{O}_3$	1.665 1.680	1.630 1.650	0.035- 0.030	Гексагонал сингонияли, барқарор булмаган, бир ўқли, манфий, $\rho_{\text{такр}} = 3.31 \text{ г/см}^3$
$\gamma - \text{Al}_2\text{O}_3$		1.696	-	Куб сингонияли, $\rho_{\text{такр}} = 3.47 \text{ г/см}^3$
Корунд $\alpha - \text{Al}_2\text{O}_3$		1.768 1.760	0.008	Гексагонал сингонияли, $a=4.76$ , $c=13.00 \text{ \AA}$ . Бир ўқли, манфий. Қаттиқлиги 9, $\rho_{\text{такр}} = 4 \text{ г/см}^3$ . $2050^\circ\text{C}$ да эрийди.
Кианит – $\text{Al}_2\text{O}_3 \cdot \text{SiO}_2$	1.728 $N_m = 1.722$	1.713	0.015	Триклин сингонияли, Фазовий группасы $P\bar{1}$ , $a=7.121$ , $b=7.861$ , $c=5.574 \text{ \AA}$ , $\alpha=90.03^\circ$ , $\beta=101.08^\circ$ , $\gamma=105.95^\circ$ , $V=294 \text{ \AA}^3$ , $Z=4$ $2V = 83^\circ$
Силлиманит – $\text{Al}_2\text{O}_3 \cdot \text{SiO}_2$	1.678 $N_m = 1.658$	1.658	0.020	Ромбик сингонияли. Фазовий группасы $P\bar{b}\bar{n}m$ , $a=7.481 \pm 0.002$ , $b=7.672 \pm 0.002$ , $c=5.769 \pm 0.002 \text{ \AA}$ , $V=331 \text{ \AA}^3$ , $2V = 25^\circ$ , $\rho_{\text{такр}} = 3.255 \pm 0.015 \text{ г/см}^3$
Андалузит- $\text{Al}_2\text{O}_3 \cdot \text{SiO}_2$	1.641 $N_m = 1.639$	1.630	0.011	Ромбик сингонияли. Фазовий группасы $P\bar{n}\bar{l}m$ , $a=7.797 \pm 0.002$ , $b=7.898 \pm 0.002$ , $c=5.551 \pm 0.002$ , $V=341.8 \text{ \AA}^3$ , $2V = 83$ дан $86^\circ$ гача
Муллит- $3\text{Al}_2\text{O}_3 \cdot 2\text{SiO}_2$	1.654	1.642	0.012	Ромбик сингонияли. Фазовий группасы $P\bar{m}\bar{m}m$ , $a=7.5794 \pm 0.009 \text{ \AA}$ , $b=7.6873$ , $c=2.8878 \pm 0.0004 \text{ \AA}$ , $V=168.26 \text{ \AA}^3$ , $2V = 45$ дан $50^\circ$ гача, $\rho_{\text{такр}} = 3.0 \text{ г/см}^3$ . Конгруэнт зерши нүктеси $1910^\circ\text{C}$
Пирофиллит – $\text{Al}_2\text{O}_3 \cdot 4\text{SiO}_2 \cdot \text{H}_2\text{O}$	1.601 $N_m = 1.558$	1.552	0.048	Моноклин сингонияли, $a=5.15$ , $b=8.88$ , $c=18.60 \text{ \AA}$ , $\beta=99.0551^\circ$ , $Z=8$ . Призматик кристаллар (-), $2V=53-60^\circ$ . Қаттиқлиги 1-1.15, $\rho_{\text{такр}} = 2.84 \text{ г/см}^3$
Левсръєрит – $\text{Al}_2\text{O}_3 \cdot 4\text{SiO}_2 \cdot 5\text{H}_2\text{O}$	1.513 $N_m = 1.513$	1.488	0.025	Паст категориялы сингонияга эга бұлған монтмориллонит түрүндік вакили, $a=5.15$ , $b=8.95$ , $c=15.25 \text{ \AA}$ , Кристаллари юпқа пластиника қолида. (-), $2V=0-33^\circ$ . Қаттиқлиги 1.5, $\rho_{\text{такр}} = 2.84 \text{ г/см}^3$

Топаз - $\text{Al}_2\text{SiO}_4\text{V}$ $\text{Fe,OH}_4$	1.618- 1.638 $N_{\text{з}} = 1.610-$ 1.631	1.607- 1.629 $N_{\text{з}} = 1.610-$ 1.631	0.011- 0.009	Ромбик сингониялы, $a=4.61$ , $b=8.78$ , $c=8.38 \text{ \AA}$ , Кристаллар призма күрнишида. Ажралиши (001) бүйінча. Қаттықлігі 8, $\rho_{\text{такр.}} = 3.50 - 3.57 \text{ г/см}^3$
Каолин - $\gamma$ - форма $\text{Al}_2\text{O}_3 \cdot 2\text{SiO}_2 \cdot 2\text{H}_2\text{O}$	1.566 $N_{\text{з}} = 1.565$	1.561	0.006	Моноклин сингониялы паст тем- пературали фаза, $a=5.14$ , $b=8.93$ , $c=7.37 \text{ \AA}$ , $\alpha=91^\circ 48'$ , $\beta=104^\circ 30'$ , $\gamma=90^\circ$ , $Z=2\text{Al}_4(\text{OH})_8\text{Si}_4\text{O}_{10}$ . Кри- сталлары псевдогексагонал чешуй- калар ҳолида (-), $2V=20-55^\circ$ . Қаттықлігі 2-2.5, $\rho_{\text{такр.}} = 2.61 \text{ г/см}^3$
Диккит - $\beta - \text{Al}_2\text{O}_3 \cdot$ $2\text{SiO}_2 \cdot 2\text{H}_2\text{O}$	1.566 $N_{\text{з}} = 1.562$	1.560 $N_{\text{з}} = 1.562$	0.006	Моноклин сингониялы, $a=5.15$ , $b=8.95$ , $c=28.70 \text{ \AA}$ , $\beta=96^\circ 49'$ , $Z=4\text{Al}_4(\text{OH})_8\text{Si}_4\text{O}_{10}$ . Кристаллар танғасасимон күрнишида. (+), $2V=68-80^\circ$ . Қаттықлігі 2.5-3, $\rho_{\text{такр.}} = 2.62 \text{ г/см}^3$
Накрит - $\alpha - \text{Al}_2\text{O}_3 \cdot$ $2\text{SiO}_2 \cdot 2\text{H}_2\text{O}$	1.563 $N_{\text{з}} = 1.562$	1.557 $N_{\text{з}} = 1.562$	0.006	Моноклин сингониялы, $a=5.15$ , $b=8.95$ , $c=28.70 \text{ \AA}$ , $\beta=91^\circ 43'$ , $Z=4$ $\text{Al}_4(\text{OH})_8\text{Si}_4\text{O}_{10}$ . Кристаллар псев- догексагонал қиёфага зға. (-), $2V=40^\circ$ . Қаттықлігі 2.5-3, $\rho_{\text{такр.}} = 2.5 \text{ г/см}^3$
Монтморил- лонит - $(\text{Al}, \text{Mg})_2(\text{OH})_2$ $[\text{Si}_4\text{O}_{10}] \text{ H}_2\text{O}$	$N_{\text{з}} = 1.516-1.526$		Куч- сиз	Моноклин сингониялы, $a=5.10$ , $b=8.33$ , $c=15.2 \text{ \AA}$ . Кристаллары танғача ҳолида, улар (001) бүйінча уланган.
Бейделлит - $\text{Al}_2[\text{Si}_4\text{O}_{10}]$ $(\text{OH})_2 \cdot n\text{H}_2\text{O}$	Күрсаттычлар сұв миқдорига кура ұзгаруучан		Куч- сиз	Моноклин сингониялы. Ромбика ұшаша пластинкалар ҳолида Уланиш текислігі (001) бүйінча. Қаттықлігі 1.5, $\rho_{\text{такр.}} = 2.6 \text{ г/см}^3$
Галлуазит - (енделлит)- $\text{Al}_2\text{O}_3 \cdot 2\text{SiO}_2 \cdot$ $4\text{H}_2\text{O}$	$N_{\text{такр.}} = 1.547-$ 1.550		Куч- сиз.	Моноклин сингониялы, $a=5.20$ , $b=8.92$ , $c=10.25 \text{ \AA}$ , $\beta=100^\circ$ Шафф- фор гелсіммон масса, қамча шакл- ли. Қаттықлік 1-2, $\rho_{\text{такр.}} = 2.0-$ $2.2 \text{ г/см}^3$
Аллофан - $m \text{ Al}_2\text{O}_3 \cdot$ $n\text{SiO}_2 \cdot n\text{H}_2\text{O}$	$N = 1.470-$ 1.510			Қаттық псевдо эритма. У нотекис екі чиганоқсимон юзалар ҳосил қылувчи типек шишаасимон масса. Қаттықлігі 3, $\rho_{\text{такр.}} = 1.85-1.89$ $\text{г/см}^3$
$\text{Sc}_2\text{O}_3$	1.990		-	Куб сингониялы, $\rho_{\text{такр.}} = 3.860$ $\text{г/см}^3$ . Эриш нұғаси 2470±50 $^\circ\text{C}$

$\text{Sc}_2\text{O}_3 \cdot \text{SiO}_2$	1.850	1.835	0.015	Иккى ўқли, оптик белгиси (+), $\rho_{\text{такр}} = 3.490 \text{ г/см}^3$ . Эриш нүктаси $1950^\circ\text{C}$
$\text{Sc}_2\text{O}_3 \cdot 2\text{SiO}_2$	1.803	1.754 $N_m = 1.785$	0.049	Иккى ўқли, оптик белгиси (-), $\rho_{\text{такр}} = 3.390 \text{ г/см}^3$ . Эриш нүктаси $1850^\circ\text{C}$
$\text{Y}_2\text{O}_3$	1.910	-	-	Куб сингониялы Кристаллари тұғри чизіңғыла пластиинка күриннешіда.
$\text{Y}_2\text{O}_3 \cdot \text{SiO}_2$	1.825	1.807 $N_m = 1.815^\circ$	0.018	Иккى ўқли, мусбат. Эриш нүктаси $1980^\circ\text{C}$
$2\text{Y}_2\text{O}_3 \cdot 3\text{SiO}_2$	1.780	1.765	0.015	Гексагонал сингониялы, оптик манфий. Эриш нүктаси $1950^\circ\text{C}$
$\text{Y}_2\text{O}_3 \cdot 2\text{SiO}_2$	1.747	1.737 $N_m = 1.742^\circ$	0.010	Моноклин сингониялы, иккى ўқли, оптик мусбат, сұншиши юя, $2V = 60^\circ$
$\text{La}_2\text{O}_3 \cdot \text{SiO}_2$	1.875	1.855 $N_m = 1.865^\circ$	0.020	Иккى ўқли, мусбат, $\rho_{\text{такр}} = 5.72 \text{ г/см}^3$ . Эриш нүктаси $1930^\circ\text{C}$
$2\text{La}_2\text{O}_3 \cdot 3\text{SiO}_2$	1.852	1.837	0.015	Гексагонал сингониялы, оптик манфий, $\rho_{\text{такр}} = 5.31$ ва $\rho_{\text{пл}} = 5.303 \text{ г/см}^3$ Эриш нүктаси $1975^\circ\text{C}$ .
$\text{La}_2\text{O}_3 \cdot 2\text{SiO}_2$	1.762	1.752	0.010	Оптик мусбат, $\rho_{\text{такр}} = 4.85 \text{ г/см}^3$ . $1750^\circ\text{C}$ да инкон-груэнт парчаланады ( $2\text{La}_2\text{O}_3 \cdot 3\text{SiO}_2$ +суюқлик)
$\text{Ce}_2\text{O}_3 \cdot \text{SiO}_2$	$N_{\text{такр}} = 1.880$		0.025	-
$2\text{Ce}_2\text{O}_3 \cdot 3\text{SiO}_2$	$N_{\text{такр}} = 1.850$		0.020	Гексагонал сингониялы, $a=11.36$ ва $c=4.71 \text{ \AA}$
$\text{Ce}_2\text{O}_3 \cdot 2\text{SiO}_2$	$N_{\text{такр}} = 1.770$		0.015	-
$\text{Nd}_2\text{O}_3 \cdot \text{SiO}_2$	1.888	1.871 $N_m = 1.883^\circ$	0.017	Иккى ўқли, мусбат, $\rho_{\text{такр}} = 4.476 \text{ г/см}^3$ . Эриш нүктаси $1980^\circ\text{C}$

$2\text{Nd}_2\text{O}_3 \cdot 3\text{SiO}_2$	1.854	1.835	0.019	Гексагонал сингониялы, бир ўқли, манфий, $\rho_{\text{такр}} = 4.424 \text{ г/см}^3$ Эриш нүктаси $1960^\circ\text{C}$
$\text{Nd}_2\text{O}_3 \cdot 2\text{SiO}_2$	1.760	1.745 $N_m = 1.755^\circ$	0.015	Иккى ўқли, мусбат, $\rho_{\text{такр}} = 5.242 \text{ г/см}^3$ $1750^\circ\text{C}$ да парчаланиб эрийди.
$\text{Sm}_2\text{O}_3 \cdot \text{SiO}_2$	1.885	1.863 $N_m = ?$	0.022	Иккى ўқли, мусбат, $\rho_{\text{такр}} = 6.36 \text{ г/см}^3$ Эриш нүктаси $1940^\circ\text{C}$
$2\text{Sm}_2\text{O}_3 \cdot 3\text{SiO}_2$	1.860	1.840	0.020	Бир ўқли, манфий, $\rho_{\text{такр}} = 5.77 \text{ г/см}^3$ Эриш нүктаси $1920^\circ\text{C}$
$\text{Sm}_2\text{O}_3 \cdot 2\text{SiO}_2$	1.775	1.765 $N_m = ?$	0.010	Иккى ўқли, мусбат, $\rho_{\text{такр}} = 5.20 \text{ г/см}^3$ $1775^\circ\text{C}$ да ҳароратда парчаланиб эрийди
$3\text{EuO} \cdot \text{SiO}_2$	1.870	1.855	0.015	Тетрагонал сингониялы, бир ўқли кристаллар, оптик манфий, ферромагнит
$2\text{EuO} \cdot \text{SiO}_2$	1.860	1.840 $N_m = ?$	0.020	Ромбик сингониялы, иккى ўқли кристаллар, оптик мусбат, конгруэнт эриши - $2000^\circ\text{C}$ , ферромагнит
$3\text{EuO} \cdot 2\text{SiO}_2$	1.835	1.820	0.015	-
$\text{EuO} \cdot \text{SiO}_2$	1.805	1.775	0.030	Гексагонал сингониялы, бир ўқли кристаллар, оптик манфий. Эриш нүктаси $1700^\circ\text{C}$
$\text{Eu}_2\text{O}_3 \cdot \text{SiO}_2$	1.890	1.870 $N_m = ?$	0.020	Иккى ўқли, оптик мусбат, тұғыр сұнади. Эриш нүктаси $1980 \text{--} 30^\circ\text{C}$
$2\text{Eu}_2\text{O}_3 \cdot 3\text{SiO}_2$	1.865	1.845	0.020	Гексагонал сингониялы, бир ўқли, оптик манфий. Эриш нүктаси $1970 \text{--} 30^\circ\text{C}$
$\text{Eu}_2\text{O}_3 \cdot 2\text{SiO}_2$	1.775	1.763 $N_m = ?$	0.012	Иккى ўқли, оптик мусбат, $1760 \text{--} 30^\circ\text{C}$ да $2\text{Eu}_2\text{O}_3 \cdot 3\text{SiO}_2$ ва суюқликка айланади.
$\text{Dy}_2\text{O}_3 \cdot \text{SiO}_2$	1.865	1.847	0.018	Иккى ўқли, оптик ўқлар орасында бурчак $88^\circ$ . Эриш нүктаси $1930^\circ\text{C}$

$2\text{Dy}_2\text{O}_3 \cdot 3\text{SiO}_2$	1.853 1.838	0.015	Бир ўқли, манфий. Эриш нүктаси $1920^{\circ}\text{C}$
$\text{Dy}_2\text{O}_3 \cdot 2\text{SiO}_2$	1.765 1.757	0.008	Икки ўқли, мусбат. $1720^{\circ}\text{C}$ да $2\text{Dy}_2\text{O}_3 \cdot 3\text{SiO}_2$ ва суюқликка айланади
$\text{Er}_2\text{O}_3 \cdot \text{SiO}_2$	1.825 1.807	0.018	$\rho_{\text{такр}} = 6.80 \text{ г/см}^3$ . Конгруэнт эриш нүктаси $1980^{\circ}\text{C}$
$2\text{Er}_2\text{O}_3 \cdot 3\text{SiO}_2$	1.800 1.780	0.020	$\rho_{\text{такр}} = 6.22 \text{ г/см}^3$ . Конгруэнт эриш нүктаси $1900^{\circ}\text{C}$
$\text{Er}_2\text{O}_3 \cdot 2\text{SiO}_2$	1.768 1.740	-	$\rho_{\text{такр}} = 6.10 \text{ г/см}^3$ . Конгруэнт эриш нүктаси $1800^{\circ}\text{C}$
$3\text{YbO} \cdot \text{SiO}_2$	1.815 1.805	0.010	-
$2\text{YbO} \cdot \text{SiO}_2$	1.800 1.780	0.020	-
$3\text{YbO} \cdot 2\text{SiO}_2$	1.780 1.760	0.020	-
$\text{YbO} \cdot \text{SiO}_2$	1.770 1.745	0.025	-
$\text{Yb}_2\text{O}_3 \cdot \text{SiO}_2$	1.827 1.807	0.020	Икки ўқли, мусбат. Эриш нүктаси $1950^{\circ}\text{C}$ .
$2\text{Yb}_2\text{O}_3 \cdot 3\text{SiO}_2$	1.800 1.782	0.018	Бир ўқли, манфий. Эриш нүктаси $1920^{\circ}\text{C}$ .
$\text{Yb}_2\text{O}_3 \cdot 2\text{SiO}_2$	1.770 1.740	0.030	Икки ўқли, мусбат. Эриш нүктаси $1850^{\circ}\text{C}$ .
Глёт – $\text{PbO}$	2.665 2.535	0.030	Квадрат сингониялы. Жадваллар, пластинкалар. Оптик белгиси (-), $2V = 0^{\circ}$ . Эриши – $886^{\circ}\text{C}$
$\alpha - 4\text{PbO} \cdot \text{SiO}_2$	2.380 2.310 $N_{\text{такр}} = 2.34$	0.070	Призмалар. Оптик белгиси (+), $2V = 40^{\circ}$ . Эриш температураси $725^{\circ}\text{C}$
$\beta - 4\text{PbO} \cdot \text{SiO}_2$	$N_{\text{такр}} = 2.340$	Куч-сиз	$720-155^{\circ}\text{C}$ ли оралықда барқарор. Кристаллар призма ва донсимон күрінішіда
$\gamma - 4\text{PbO} \cdot \text{SiO}_2$	$\beta$ -формага ухшаш	Куч-сиз	$155^{\circ}\text{C}$ ли ҳароратдан пастда барқарор. Курсатгичлари $\beta$ -фазы кабидир
$2\text{PbO} \cdot \text{SiO}_2$	2.180 2.130 $N_{\text{такр}} = 2.150$	0.050	Ромбик сингониялы. Призмалар. (-), $2V = 80^{\circ}$ , сұнниши-тұғри. Эриш нүктаси $723^{\circ}\text{C}$
$\text{PbO} \cdot \text{SiO}_2$	$N_{\text{такр}} = 1.950$	Куч-сиз	Призмалар. Оптик белгиси (-), $2V = 60^{\circ}$ . Эриш нүктаси $764^{\circ}\text{C}$

Барисилит - $3\text{PbO} \cdot 2\text{SiO}_2$	$N_{\text{траб}} = 2.040$	0.005	Призмалар, жадваллар. Бир ўкли, Оптикалык бөлгиси (-), $2V = 0^\circ$
Аламонит - $\text{PbO} \cdot \text{SiO}_2$	$1.968 \quad 1.947$ $N_m = 1.961$	0.023	Моноклин сингониялы, $a:b:c = 1.375:1:0.924$ , $\beta = 95^\circ 50'$ . Волокноли кристаллар. (-), $2V = 65^\circ$ Каттиқлиги 4.5, $\rho_{\text{траб}} = 6.49 \text{ г/см}^3$ . Эриш нұқтаси $764^\circ\text{C}$
Казолит - $\text{Pb}_2(\text{UO}_2) \cdot \text{SiO}_4 \cdot \text{H}_2\text{O}$	$1.967 \quad 1.890$ $N_m = 1.900$	0.077	Моноклин сингониялы, $a = 13.28$ , $b = 7.01$ , $c = 6.71 \text{ \AA}$ , $\beta = 103^\circ 42'$ . Кристаллар майда призмалар ҳолида (+), $2V = 42^\circ 58'$ . Каттиқлиги 4-5, $\rho_{\text{траб}} = 6.46 \text{ г/см}^3$
Баддислит - $\text{ZrO}_2$	$2.200 \quad 2.130$ $N_m = 2.190$	0.070	Моноклин сингониялы, $a = 5.22$ , $b = 7.27$ , $c = 5.59 \text{ \AA}$ , $\beta = 99^\circ 71'$ . Жадвал-симон кристаллар. Ахралиши (001) бүйіча. (-), $2V = 30^\circ$ , $\rho_{\text{траб}} = 5.6 \text{ г/см}^3$ . Эриш нұқтаси $2715^\circ\text{C}$
Циркон - $\text{ZrO}_2 \cdot \text{SiO}_2$	$1.968 \quad 1.923$ $2.015 \quad 1.960$	0.045 0.055	Квадрат сингониялы, $a = 6.61$ , $c = 5.89 \text{ \AA}$ . Призмалар, пирамидалар, күшалоқдар. Ахралиши – призма бүйілаб, каттиқлиги 7.5, $\rho_{\text{траб}} = 4.7 \text{ г/см}^3$
$\text{HfO}_2 \cdot \text{SiO}_2$	$1.950 \quad 1.940$	0.010	Тетрагонал симметриялы, $a = 6.60$ ва $c = 5.97 \text{ \AA}$ . $\rho_{\text{траб}} = 3.27 \text{ г/см}^3$
Гуттонит - $\text{ThO}_2 \cdot \text{SiO}_2$	$1.930 \text{ o } 1.900 \text{ o}$ $0.005 \quad 0.003$ $N_m = ?$	0.030	Моноклин сингониялы стабил форма, $a = 6.80$ , $b = 6.96$ ва $c = 6.54 \text{ \AA}$ , $\rho_{\text{траб}} = 7.20 \text{ o } 10 \text{ г/см}^3$ . $1975^\circ\text{C}$ да $\text{ThO}_2$ ва суюқликка парчаланады
Торит - $\text{ThO}_2 \cdot \text{SiO}_2$	$1.885 \text{ o } 1.827 \text{ o}$ $0.003 \quad 0.003$	0.058	Тетрагонал сингониялы метастабил форма, $a = 7.03$ , $c = 6.25 \text{ \AA}$ . $\rho_{\text{траб}} = 6.63 \text{ o } 0.10 \text{ г/см}^3$
$\alpha - \text{SiO}_2 \cdot \text{P}_2\text{O}_5$	- -	-	-
$\beta - \text{SiO}_2 \cdot \text{P}_2\text{O}_5$	- -	-	$1030^\circ\text{C}$ да $\beta$ -формадан $\alpha$ -формага үтады.
$2\text{SiO}_2 \cdot \text{P}_2\text{O}_5$	- -	-	$1120^\circ\text{C}$ да $\text{SiO}_2 \cdot \text{P}_2\text{O}_5$ ва суюқликка айланады.
$3\text{SiO}_2 \cdot \text{P}_2\text{O}_5$	- -	-	-

$\alpha$ - SiC	2.689- 2.693	2.647- 2.649	0.042- 0.043	Гексагонал сингонияли. Ингичка базал пластинкалар. Бир ўқли, мусбат. Қаттиқлиги 9.5, $\rho_{\text{такр}} = 3.2 \text{ г/см}^3$ . 3400°C да эримай диссоциацияга учрайди.
$\beta$ - SiC		2.63	-	Куб сингонияли, $a = 4.349 \text{ \AA}$ , $Z = 4$ , $\rho_{\text{такр}} = 3.216 \text{ г/см}^3$ .
Кремний монооксиди – $\text{SiO}$		2.00	-	Куб сингонияли, $a = 7.135 \text{ \AA}$ . Кристаллари бир түрли пластинкалар ҳолида учрайди, $\rho_{\text{такр}} = 2.146 \text{ г/см}^3$ .
$\alpha$ -кристобалит- $\text{SiO}_2$		1.486	-	Куб сингонияли юқори температурали фаза. Кристалларининг формасы – квадрат да куб. Қаттиқлиги 6-7, $\rho_{\text{такр}} = 2.27-2.35 \text{ г/см}^3$ . 1710°C да эрнайди
$\beta$ -кристобалит- $\text{SiO}_2$	1.487	1.484	0.003	Тетрагонал сингонияли, паст температурали. Поляритетик күшалоқлар Бир ўқли, манфий
$\alpha$ -Тридимит- $\text{SiO}_2$	-	-	-	Гексагонал сингонияли, 117°C дан юқорида барқарор, $c : a = 1.653$
$\beta$ -Тридимит- $\text{SiO}_2$	1.473	1.469 $N_m = 1.469$	0.004	Ромбик сингониялы, 117°C дан пастда барқарор, $a = 9.88$ , $b = 17.1$ , $c = 16.3 \text{ \AA}$ , $Z = 64$ . 870-1470°C ли оралықдан ташқарыда полиморфизмаға учрайди. (+), $2V = 35^\circ$ . Қаттиқлиги 7, $\rho_{\text{такр}} = 2.27 \text{ г/см}^3$ .
$\alpha$ -Квари- $\text{SiO}_2$	1.540	1.533	0.007	Гексагонал сингониялы, $a = 5.01$ , $c = 5.47 \text{ \AA}$ , $Z = 3$ . 870-573°C оралығыда барқарор.
$\beta$ -Квари- $\text{SiO}_2$	1.553	1.544	0.009	Тригонал сингониялы, $a = 4.903$ , $c = 5.393 \text{ \AA}$ , $Z = 3$ . Қисқа призматик кристаллар, 573-200°C да оралығыда барқарор. Бир ўқли, мусбат. Қаттиқлиги 7, $\rho_{\text{такр}} = 2.65 \text{ г/см}^3$
Китит- $\text{SiO}_2$	1.522	1.513	0.009	Тетрагонал сингониялы, $a = 7.46$ , $c = 8.59 \text{ \AA}$ , $Z = 12$ . Бир ўқли, манфий, $\rho_{\text{такр}} = 2.50 \text{ г/см}^3$ . 1100°C гача барқарор

Коусит- $\text{SiO}_2$	1.604 $N_m=1.593$	0.014	Моноклин сингонияли, $a = 7.23$ , $b = 12.52$ , $c = 7.23 \text{ \AA}$ , $\beta = 120^\circ$ . $Z = 17$ . Қаттықлғы 8, $\rho_{\text{такр}} = 3.01 \text{ г/см}^3$ , (+), $2V = 54^\circ$
Лешательерит- $\text{SiO}_2$	1.459	-	Аморф шэффеф модда
Халицедон- $\text{SiO}_2$	1.537 1.530	0.007	Квари структурасыга үшшаш, қаттықлғы 6, $\rho_{\text{такр}} = 2.55-2.63$ $\text{г/см}^3$
$\text{P}_2\text{O}_5 - I$	1.624 1.599	0.025	Тетрагонал сингониялы стабил фаза. Бир үқли, мусбат, $\rho_{\text{такр}} = 2.89$ $\text{г/см}^3$
$\text{P}_2\text{O}_5 - II$	1.589 1.545 $N_m=1.578$	0.044	Ромбик сингониялы метастабиль фаза. Иккى үқли, манфий, $2V =$ $65^\circ$
$\text{P}_2\text{O}_5 - III$	1.471 1.469	0.002	Гексагонал сингониялы метастабил фаза. Бир үқли, мусбат, $\rho_{\text{такр}} = 2.28-2.32 \text{ г/см}^3$
$\text{Cr}_2\text{O}_3$	$N_{\text{тұрақ}}=2.5$		Гексагонал сингониялы, $a = 4.95$ , $c = 13.57 \text{ \AA}$ . Кристаллари призма ва таблица қолыда. Бир үқли, мус- бат, $\rho_{\text{такр}} = 5.2 \text{ г/см}^3$
$2\text{CrO}\cdot\text{SiO}_2$	2.03 1.93 $N_m=1.94$	0.10	Паст категориялы сингонияга мансуб, иккى үқли, $\rho_{\text{такр}} = 4.0 \text{ г/см}^3$
$\text{Cr}_2\text{O}_3\cdot 3\text{SiO}_2$	1.905±1.790± 0.05 0.05	0.115	Ромбик сингониялы, иккى үқли, түғри сұнади. Эриш нүктаси $1995^\circ\text{C}$
Коффинит – $\text{UO}_2\cdot\text{SiO}_2$	$N_{\text{тұрақ}} =$ $\sim 1.83) 1.88$	Үрта- ча	Тетрагональ сингониялы, $a = 6.9810$ $0.004$ , $c = 6.25000.005 \text{ \AA}$ . Иссекілдік- дан кенгайиш көфициенті $80\cdot10^{-7}$ га тәнд
Тефранит – $2\text{MnO}\cdot\text{SiO}_2$	1.820 1.780 $N_m=1.805$	0.040	Ромбик сингониялы, $a = 4.86$ , $b = 10.62$ , $c = 6.22 \text{ \AA}$ . Иккى үқли, манфий, $2V = 50^\circ$ . Қаттықлғы 4.2. Конгруэнт эриш нүктаси $1345^\circ$
Родонит – $\text{MnO}\cdot\text{SiO}_2$	- - -	-	1291°C да инконгруэнт эриш туфайлы тридимит ва суюқликка айланади

Манганозит - MnO	2.230		Куб сингонияли, $a = 4.45 \text{ \AA}$ . $Z=4$ . Кристаллары оқтазадык киесфада, ажралиши куб бүйича. Қаттықшылығы 5.5, $\rho_{\text{такр}} = 5.36 \text{ г/см}^3$
Mn-кордисріт - 2MnO·2Al <sub>2</sub> O <sub>3</sub> ·5SiO <sub>2</sub>	1.558 1.537 $N_m = 1.558$	0.021	Кристаллары иинасимон. Иккі үқли, манфий, 2V кичик. Эриш температурасы 1200°C
Спессартин - 2MnO·Al <sub>2</sub> O <sub>3</sub> ·3SiO <sub>2</sub>	1.800		Куб сингонияли, $a = 11.59 \text{ \AA}$ . Додекаэдрик кристаллар. Қаттықшылығы 7-7.5, $\rho_{\text{такр}} = 4.18 \text{ г/см}^3$ . Эриш нұқтасы 1200°C $N_m = 1.655$
Пикротефронт - 2(Mn,Mg)O·SiO <sub>2</sub>	1.740 1.710 $N_m = 1.727$	0.030	Ромбик сингонияли, иккі үқли, манфий, 2V = 85°
MnO·Al <sub>2</sub> O <sub>3</sub> ·2SiO <sub>2</sub>	1.626 1.605 $N_m = ?$	0.021	Триклин сингонияли, иккі үқли, манфий, сұниш бурчагы 43°
MnF <sub>2</sub> ·SiF <sub>4</sub> ·6H <sub>2</sub> O	1.374 1.357	0.017	Тригонал сингонияли, $c/a = 0.504$ . Призматик кристаллар. Ажралиши (1120) бүйича. Бир үқли, мұхабат, $\rho_{\text{такр}} = 1.86 \text{ г/см}^3$
Фаялт - 2FeO·SiO <sub>2</sub>	1.875 1.824 $N_m = 1.864$	0.051	Ромбик сингонияли, $a = 4.80$ , $b = 10.59$ , $c = 6.16 \text{ \AA}$ . (100) бүйича жадваллар. Ажралиши (010) бүйича яққол ва (100) бүйича сесилар-сезилмас, 2V = 57°, оптик ориентири $x=b$ , $\rho_{\text{такр}} = 4.32 \text{ г/см}^3$
Вюстит - FeO	2.32		Куб сингонияли, $a = 4.30 \text{ \AA}$ . $Z=4$ . $\rho_{\text{такр}} = 5.5 \text{ г/см}^3$ Эриш нұқтасы 1380°C
Гематит - $\alpha$ - Fe <sub>2</sub> O <sub>3</sub>	3.010 2.780	0.230	Гексагонал сингонияли, $a = 5.04$ , $c = 13.75 \text{ \AA}$ . Габитуси-ромбоэдр ва пластинка. Бир үқли, манфий. $\rho_{\text{такр}} = 5.2 \text{ г/см}^3$ 1350°C да зернелі
Клиноферросилит - FeO·SiO <sub>2</sub> - I	- -		Фазавий группасы P2 <sub>1</sub> /c, $a = 9.70850 \text{ \AA}$ , $b = 9.08720 \text{ \AA}$ , $c = 5.22840 \text{ \AA}$ , $\beta = 108.4320^\circ$ , $0.004^\circ$ , $V = 437.600.1 \text{ \AA}^3$ , $Z = 8$
Ортоферросилит - FeO·SiO <sub>2</sub> - II	- -		Фазавий группасы Pbca, $a = 18.4310 \text{ \AA}$ , $b = 9.0800 \text{ \AA}$ , $c = 5.2380 \text{ \AA}$ , $0.001 \text{ \AA}$ , $V = 876.600.5 \text{ \AA}^3$ , $Z = 16$

Ферросилит - $\text{FeO} \cdot \text{SiO}_2$ - III			Элементар панжара үлчамлари: a = 6.57, b = 7.51, c = 22.68 Å, $\alpha = 115.3^\circ$ , $\beta = 80.5^\circ$ , $\gamma = 95.5^\circ$
Fe-кордирит - $2\text{FeO} \cdot 2\text{Al}_2\text{O}_3 \cdot 5\text{SiO}_2$	1.574 1.551 $N_m = 1.564$	0.023	Ромбик сингонияли, икки ўқли, манфий, 2V катта
Альмандин - $3\text{FeO} \cdot \text{Al}_2\text{O}_3 \cdot 3\text{SiO}_2$	1.830		Куб сингониялы, a = 11.53 Каттиқлиги 7-7.5, $\rho_{\text{такр}} = 4.32$ г/см <sup>3</sup>
Джиллеспийт - $\text{FeO} \cdot \text{BaO} \cdot 4\text{SiO}_2$	1.621 1.619	0.002	Тригонал сингониялы, a = 7.495, c = 16.05 Å, Z = 4 Бир ўқли, манфий. Каттиқлиги 3, $\rho_{\text{такр}} = 3.4$ г/см <sup>3</sup>
Антофиллит - $7(\text{Fe}, \text{Mg})\text{O} \cdot 8\text{SiO}_2 \cdot \text{H}_2\text{O}$	1.597 1.584 $N_m = 1.590$	0.013	Ромбик сингониялы, a = 18.52, b = 18.04, c = 5.27 Å. Призма шактли кристаллар. Икки ўқли, мусбат, 2V-кіттә
$7(\text{Fe}, \text{Mg})\text{O} \cdot 8\text{SiO}_2 \cdot \text{H}_2\text{O}$	1.665 1.640 $N_m = 1.647$	0.025	Моноклин сингониялы, a = 19.4, b = 17.8, c = 17.8 Å. Икки ўқли, мусбат, 2V = 95°
Миннесотаит - $3\text{FeO} \cdot 4\text{SiO}_2 \cdot \text{H}_2\text{O}$	1.618 1.586 $N_m = 1.618$	0.032	Моноклин сингониялы, a = 5.4, b = 9.6, c = 19.1 Å. Пластинкасмон кристаллар Икки ўқли, манфий, 2V = 5°. Каттиқлиги 2.5, $\rho_{\text{такр}} = 3 - 3.1$ г/см <sup>3</sup>
Нонтронит - $\text{Fe}(\text{OH})\text{Si}_2\text{O}_5 \cdot 2\text{H}_2\text{O}$	1.640 1.617 $N_m = 1.637$	0.023	Моноклин сингониялы, a = 5.23, b = 9.11, c = 15.25 Å. Юпқа пластинкасмон кристаллар, (-), 2V = 40°, $\rho_{\text{такр}} = 2.6$ г/см <sup>3</sup>
$\text{FeF}_2 \cdot \text{SiF}_4 \cdot 6\text{H}_2\text{O}$	1.384 1.364	0.020	Тригонал сингониялы, c:a = 0.503. Бир ўқли, мусбат
Кобальтовый оливин - Фаялит - $2\text{CoO} \cdot \text{SiO}_2$	1.940 1.890	0.050	Ромбик сингониялы, сүништүгри, $\rho_{\text{такр}} = 4.677$ г/см <sup>3</sup> на $\rho_{\text{дис}} = 4.74$ г/см <sup>3</sup> . 2V-ұртаса. Элементар панжара үлчамлари: a = 5.99, b = 4.77, c = 10.27 Å
Шпинел - $2\text{CoO} \cdot \text{SiO}_2$			Шпинел структуралы, a = 8.140 ± 0.005 Å на $\rho_{\text{дис}} = 5.17$ г/см <sup>3</sup>
$\text{CoO} \cdot \text{SiO}_2$ - I			Ромбик пироксен структуралы кристаллар
$2\text{CoO} \cdot \text{SiO}_2$ - II			Моноклин пироксен структуралы кристаллар

Кобальтовый монтичеллит – $\text{CdO CaO SiO}_2$	1.748 $N_m=1.738$	0.050	Паст категориялы сингонияга эга, $a = 6.39$ , $b = 4.81$ , $c = 11.06 \text{ \AA}$ . Бипирамидал – призматик кристаллар, $2V=53^\circ$ , $\rho_{\text{тхр}} = 3.69 \text{ г/см}^3$
$\text{CoF}_2\text{SiF}_4\text{H}_2\text{O}$	1.387 1.381	0.006	Тригонал сингонияли, $a:c = 0.522$ . Призматик ва ромбоэдр кристаллар. Бир ўқли, мусбат, $\rho_{\text{тхр}} = 2.09 \text{ г/см}^3$
Никельсый оливин – $2\text{NiO}\text{SiO}_2\text{-I}$	2.019 $N_m=1.987$	0.043	Ромбик сингонияли, фазаний группасы $\text{Pnma}$ , оливин структурали, $a=4.724$ , $b=10.105$ ва $c=5.928 \text{ \AA}$ , $Z=4$ , оптик мусбат, узайиши мусбат, сүйнеші-тұғри, $2V$ -ұртаса, $\rho_{\text{тхр}} = 4.72 \text{ г/см}^3$
$\text{NiO SiO}_2\text{ - II}$	- -	-	Шпинел структуралы, $a = 8.044 \text{ \AA}$ , $\rho_{\text{тхр}} = 5.34 \text{ г/см}^3$
$\text{NiO SiO}_2\text{ - I}$	1.661 $N_m=1.656$	0.008	Моноклин сингонияли, $a=7.75$ , $b=9.02$ ва $c=5.35 \text{ \AA}$ , ва $\beta = 91^\circ 39'$
$\text{NiO SiO}_2\text{ -II}$	1.665 $N_m=1.661$	0.010	Ромбик сингонияли, $a=8.66$ , $b=17.74$ ва $c=4.99 \text{ \AA}$
Гарньерит – $(\text{Ni},\text{Mg})_6(\text{OH})_6\text{Si}_4\text{O}_{11}\text{H}_2\text{O}$	1.630 $N_m=1.630$	0.008	Моноклин сингонияли, (+). $2V = 0-10^\circ$
Бунэнит – $\text{NiO}$	2.270	-	Куб сингонияли, $a=4.18 \text{ \AA}$ , $Z=4$ . Кристаллари октаэдрик киесіда. Қаттылығы 3.5, $\rho_{\text{тхр}} = 6.8 \text{ г/см}^3$
$\text{NiF}_2\text{SiF}_4\text{H}_2\text{O}$	1.406 1.391	0.015	Тригонал сингонияли, $c:a = 0.514$ . Кристаллари узайтирилған призмалар күрінішида. Бир ўқли, мусбат, $\rho_{\text{тхр}} = 2.13 \text{ г/см}^3$
Шееллит – $\text{CaWO}_4$	1.936 1.920	0.016	Тетрагонал сингонияли, $a=5.25$ , $c=11.36 \text{ \AA}$ , $Z=4$ , Кристаллари пирамида ва жадвал күрінішида. Бир ўқли, мусбат, $\rho_{\text{тхр}} = 6.10 \text{ г/см}^3$ . Эриш нүктесі - $1570^\circ\text{C}$ .
Повеллит – $\text{CaMoO}_4$	1.984 1.974	0.010	Тетрагонал сингонияли, $a=5.24$ , $c=11.46 \text{ \AA}$ , $Z=4$ , Кристаллари пирамида ва пластиника күрінішида. Бир ўқли, мусбат, $\rho_{\text{тхр}} = 4.20 \text{ г/см}^3$

Стронцийли повеллит – $\text{SrMoO}_4$	1.926	1.921	0.005	Тетрагонал сингонияли, $c=1.574 \text{ \AA}$ , $Z=4$ , Кристаллари пирамида күрнишида. Бир үқли, мусбат. $\rho_{\text{плак}} = 4.15 \text{ г/см}^3$
Вульфснит – $\text{PbMoO}_4$	2.405	2.283	0.122	Тетрагонал сингонияли, $a=5.41$ , $c=12.1 \text{ \AA}$ , $Z=4$ , Кристаллари пирамида ва жадвал күрнишида. Бир үқли, манфий. $\rho_{\text{плак}} = 6.75 \text{ г/см}^3$ Эриш нұтқасы – $106.5^\circ\text{C}$ .
Штолынит – $\text{PbWO}_4$	2.27	2.19	0.08	Тетрагонал сингонияли, $a=5.46$ , $c=12.05 \text{ \AA}$ , $Z=4$ , Кристаллари пирамида күрнишида. Бир үқли, манфий. $\rho_{\text{плак}} = 7.9-8.3 \text{ г/см}^3$
Гюбнерит – $\text{MnWO}_4$	2.283	2.150	0.133	Моноклин сингонияли, $a=4.85$ , $b=5.77$ , $c=4.98 \text{ \AA}$ , $\beta=90^\circ53'$ , Кристаллари призма күрнишида Иккى үқли, мусбат. $\rho_{\text{плак}} = 7.10 \text{ г/см}^3$

### Такрорлаш учун саволлар

1. Микроскоп термини нимани англатади?
2. Кристаллар дүнёсінің үрганишда микроскопнинг ўрни қандай бўлган?
3. Таҳлилда аниқланадиган асосий хусусиятлар – нур синдириш кўрсаткичи ва бошқалар қандай изоҳланади?
4. Қаттиқ моддаларнинг асосий хусусиятлари – симметрия үқлари, симметрия текислиги, симметрия маркази, кристалларнинг иккиланиб синиш кучи, чўзиқ кристалларнинг сўниши, узайиш белгиси, кристалларнинг оптик белгиси ва бурчак катталиги, габитус, кристалл ўлчами, ажралиш қобилияtlари, қўшалоқликлари, ранг ва плеохроизм ҳақида тушунча беринг.
5. Минераллар, хом ашёлар, ярим маҳсулотлар ва тайёр маҳсулотларнинг оптик хусусиятлари қандай асбоблар ёрдамда аниқланади?
6. Кристаллооптика усулида табиий ва сунъий кимёвий бирикмалар, хом ашё, материал ва буюмлар, минерал ва композицияларнинг оптик кўрсаткичлари қандай қонунларга бўйсунади ва аниқланади?
7. Микроскопнинг қандай турларини санаб беради оласиз?
8. Микроскоплар учун қандай мосламалар мавжуд?
9. МИН-8 маркали поляризацион микроскопининг асосий деталлари номини айтиб беринг.

10.Микроскопларнинг катталаштириш даражаси қандай аниқланади?

11.Шлифларнинг қандай турлари бор?

12.Микроскопия препаратларини тайёрлаш усулини келтириңг.

13.Тупроқ минераллари, баъзи бир оксидлар ва кальций оксиди – кремний оксиди тизимидағи фазаларнинг оптик характеристикалари фарқи қандай?

14.Корхона шароитида маҳсулотлар сифатини назорат қилишда микроскопия усулидан фойдаланиш мүмкінми?

15.Усулдан фойдаланишнинг имкониятларига оид маълумотларни келтириңг.

16.Усулнинг афзаллiği ва камчиликлари ҳақида қандай фикрдасиз?

## УЧИНЧИ БОБ

### ИНФРАҚИЗИЛ СПЕКТРОСКОПИК ТАҲЛИЛ

#### 17-§. Инфрақизил нурларининг табиати

ИҚ нурланиш биринчи марта 1800 йилда инглиз олими Уильям Гершель томонидан очилган. У термометрни қўёш спектри бўйлаб ҳаракат қилдирганда 0.86 мкм дан юқорироқда симоб столбининг юқорилаб кетганлигини аниқлаган. Бу ҳодиса рўй берган макон инфрақизил нурланишнинг пастки чегараси эди холос. «Инфрақизил» термини Стокс томонидан 1852 йили киритилган «ультрабинафаша» терминидан фарқли равишда Беккерель томонидан 1869 йили киритилади.

1834 йили Меллона томонидан ўтказилган тадқиқотлар натижасида инфрақизил нурларининг қайтарилиш ва синиш табиати ёруғлик нурларининг табиатига ухшаш эканлиги тасдиқланди. Бундан бироз кейинроқ Ампер ва Кноблаух томонидан янги кашф этилган нурларининг тарқалиши, қайтарилиши, поляризация ҳамда интерференцияси худди ёруғлик нурларидек кечиши, аммо улардан тўлқин узунлигининг катталиги билан фарқланиши исботланди.

Инфрақизил нурланиш спектрининг юқори чегарасига етиб бориш узоқ давом этган тадқиқотлар натижасида рўй берди. Бунинг учун жуда кўп нурланиш манбаалари текширилди, турили материаллардан ясалган призмалар ўрганилди. Натижада бу рақам 350 мкм атрофида бўлиб, у радиотўлқинлари билан чегарадош эканлиги тасдиқ топди.

Молекуляр спектроскопия спектрал таҳлил усуллари туркумiga кирави. Спектрал таҳлилда моддаларнинг кимёвий таркиби ва тузилиши атом ва молекулаларни нур ўтказиш ва қайтариш спектрларини текшириш орқали олиб борилади.

Моддаларнинг квант тузилиши назарияси, атом ва молекула ҳолатини ўзгариши, электромагнит энергия ютилиши ва нурланиши уларда фақат дискрет улушларда содир бўлиши мумкинлигини кўрсатади. Бунга модданинг атом ва молекулаларини

мураккаб тузилмали энергия даражаси мос келади. Энергия квантлар ҳолатида ютилади ва нурланади. Бу ҳолат  $\hbar v$  га тенг. Бу формуладаги  $\hbar$  - универсал константа, яъни Планк доимийлиги бўлиб, у  $6,6 \cdot 10^{-27}$  эрг сек га тенг, в эса нурланиш майдони частотасидир (ИКС макони  $v=4 \cdot 10^{14} - 3 \cdot 10^{11}$  Гц). Атом ядроларининг ҳолатини ўзгаришида бу  $\hbar v$  катта қийматга эга бўлиши зарур.  $\hbar v$  энергияси электрон қобигларни ўзгаришида кичик ва молекулаларнинг ҳолатини ўзгаришида - жуда кичик каттатликка эга бўлиши керак. Майдон частотаси  $v$  ҳам турлича бўлади: биринчи ҳолда у  $\gamma$ -нурланиш ( $0,00001 - 10^{-4}$  мк), иккинчи ҳолда - рентген ( $0,01 - 0,00001$  мк), ультрабинафша ( $0,01 - 0,40$  мк), кўринадиган ( $0,40 - 0,76$  мк) нурланиш ва ниҳоят охирги ҳолда ИК маконидаги нурланиш ( $0,76 - 1000$  мк).

Маълумки, электромагнит майдон билан муҳитнинг ўзаро таъсири нурланиш тўлқин узунликларида кучли гарзда ўзгаради. Масалан, ультрабинафша нурланиш фотокимёвий таъсирга, рентген ва  $\gamma$ -нурланиш- катта сингиш (кириб кетиш) хусусиятига эга. ИК нурланиш фақат молекула ёки молекуладаги атомларнинг алоҳида гуруҳлари билан мулоқотда бўлади, ҳамда моддадаги кучсиз боғланган ёки “озод” ташувчи зарядлар билан ўзаро таъсирлашади.

Юқоридагиларга асосланган ҳолда ИКС усули асосида турли органик ва ноорганик гуруҳларнинг (қаттиқ бўлак ёки жисм) хоссаларини аниқлаш, нур ютилиши ёки кайтиши полосаларининг аниқ хусусиятини бериш устида ишлар қизиб кетди. Одатий полосалар гуруҳларнинг энергетик ўзгаришида тебранма ёки айланма даража орасидаги энергия ҳамда электронларнинг кузатилган ҳолатидаги валент ўзгаришига боғлиқлиги аниқланди.

Органик бирикмаларнинг тузилишини ИКС усулида текшириш бундан 70 йил аввал нур қайтариш спектрларини олиш ва ўрганиш билан бошланган. Кварц 8,5 мк да 80% этрофида ИК радиация қайтаришини Никольс топган. Асримиз бошида Кобленц турли хил силикатлар тури ИК спектрларига эга эканлигини аниқлаган. Силикатларнинг нур қайтариш спектрлари бўйича Шефер, Матосси (1930-1938 й.), нур ютиш спектрлари бўйича Тарт (1950-60 й.), Флоринская (1960-1970 й.), Лазарев (1960-1970 й.) ва бошқалар (Колесова В.А., Шевяков А.М., Плюснина И.И., Солнцева Л.С.) систематик ишлар олиб боришган.

ИК нурланиш табиати кўринадиган ва радио нурланишлар табиатига ўхшашдир.

ИК нурланиш- бу 0,76 дан 1000 мк гача тўлқин узунлигидаги (ёки тўлқин сонлари  $13160 \cdot 10 \text{ см}^{-1}$ ) электромагнит нурланиш бўлиб - ёруғлик спектрлари ( $0.40 - 0.76 \text{ мк}$ ) ва радиотўлқинлар [ $\lambda > 1 \text{ см}^{-1}$  ( $1000\text{мк}$ )] оралиғидаги нурланишдир. Ҳозирги вақтда силикатларни ўрганишда кўпинча ИК нурланишнинг 2дан 25-40мк гача бўлган маконлари қўлланилади.

Нормал ИК нур оқими силлиқланган, ясси модда юзасига тушганда:

- а) ундан қайтади;
- б) модда заррачаларида ютилади ва ёйлади;
- в) нур ўтказади.

ИК нурларини қайтариш спектрлари қўйидаги формула орқали топилади:

$$I_\rho = \rho I_0,$$

бу ерда,  $I_\rho$  - қайтган нурлар оқими;

$\rho$  - модданинг нур қайтариш коэффициенти;

$I_0$ - модда юзасига тушаётган нормал нур оқими.

ИК нурларнинг ўтқазиш спектрлари қўйидагича топилади:

$$I = (1 - \rho^2) I_0 e^{-k t},$$

бу ерда,  $k$  - модданинг нур ютиш коэффициенти;

$t$  - нур ютаётган қаватнинг қалинлиги.

Нур қайтиш ва ўтқазиш спектрларининг қиймати қўйидагиларга боғлиқ:

- 1) нур ютиш коэффициенти  $k$ , нур қайтариш коэффициенти  $\rho$  ва модданинг нур синдириш кўрсаткичи  $n$  га;
- 2) кристалл панжара сингонияларига;
- 3) тузилмаларнинг массалар ва ион радиусларига, бунда масса қанча кўп бўлса, бир сингония кристаллари нур ютишининг асосий полосалари шунча кўп узун тўлқинли макон тарафига сизлийди;
- 4) панжарарадаги изоморф кўшилмалар ва бошқа факторларга.

## 18-§. Моддаларнинг инфрақизил спектрлари

ИК маконида нур ютилиши, асосан ИК нурланиши таъсирда модда молекулалари ёки ионларининг айланма ва тебранма ҳаракат ўзгариши, баъзан уларнинг электрон қобиглари деформацияяга учраши билан изоҳланади. Энг кўп ИК нурининг ютиши кристалл панжара ва унинг компонентлари (молекула,

ионлар)нинг тебраниш частоталарига амалий жиҳатдан мос келади. Бу тебранишларнинг ҳолати ва частоталари мoddанинг табиатига, молекулалари (ионлари) жойлашишига, улар орасидаги масофа ва бошқаларга боғлиқ.

Модда ҳолатига тебраниш частоталарининг боғлиқлигини умумий куринишда кўйидагича ифодалаш мумкин:

$$v = 1/2\pi c \gamma / k,$$

бу ерда,  $v$  - тебраниш частотаси;

$k$  - келтирилган мураккаб анионнинг атом массаси;

$\gamma$  - кучланиш доимийлиги.  $XO_4$  тетраэдр учун  $1,86 \times 10^5 / R \cdot d_i$  га тенг бунда.  $R$  - ион радиуси;

$d_i$  -  $XO_4$  тетраэдрга кирувчи,  $X$  атоми учун одатий ва берилган атомни элементлар даврий жадвали ўрнига боғлиқ константа;

$C$  - мoddанинг константаси.

Валент боғлар бўйича содир бўладиган тебранишлар валент тебранишлари, уларга перпендикуляр бўлганлари эса деформацион тебранишлар дейилади.

ИК нурларни ютиш спектрлари ёрдамида тузилишни ўрганиш ва текшириш усулларидан келиб чиқсан ҳолда (препарат тайёрлаш, текшириш учун аппарат танлаш) қаттиқ моддалар икки синфга бўлинади:

1) Бир тартибли мураккаб бўлмаган гуруҳ компонентлари (ионлари, молекулалари) орасидаги масофа ва энергияга боғлиқ бўлган кристалл мoddанинг ИК нурларни ютиш спектрлари.

Кристалл модда умумий равишда бир молекулани намоён этади. Бундай моддаларда фақат оддий панжараларнинг бошқаларга нисбатан тебраниши базис ячейкаларининг айланishi панжаранинг бузилишига олиб келади. Бундай панжара тебранишларини ҳисоблаш мураккаб, бунда кўп сонли ионларнинг боғлиқлигини ҳисобга олиш лозим. Бир қанча соддалаштиришлардан мумкин бўлган тебранишлар сони ёки нур ютиш полосаларини аниқлаш мумкин. Бундай кристаллар таркибига нисбатан оғир ионлар киради, шунинг учун уларнинг тебраниш частоталари узун тулқинли спектрларда (12-15 мк дан катта ёки  $800-700 \text{ см}^{-1}$  дан кичик) намоён бўлади.

Моддаларнинг аморфлик ҳолатининг уларнинг ИК спектрларга таъсири етарлича ўрганилмаган. Аморфизацияда ютилиш полосалари кенгайиб, уларнинг нозик тузилмаси йўқолиши мумкин.

Хозирги кунда бирорта маълум кристалл тузилма ёки аморф модданинг ҳамма тебранишларини аниқлаш (модданинг барча ютиш полосалари ҳолати) ва аксинча, маълум бўлган ИК нурларини ютиши спектрлари орқали ионларнинг кристалл панжараларида жойлашишини олдиндан айтишнинг имконияти йўқ ва моддаларнинг тузилишидаги баъзи ҳолатларнигина ИК нур ютиш спектрларини урганиш орқали аниқлаш мумкин.

Масалан, кубик сингонияга эга кристаллар (Шефер, Матосси, 1935 й.) ўзининг биттадан тебраниш частотасига эга. Улар массасининг тебранувчи атомлари массаси қанча кўп бўлса, бу полоса шунча узун тўлқинли маконда сурилган бўлади:

$$\text{MgO } \lambda = 14,2 \text{ мк (704 см}^{-1}) \quad \text{KCl} = 63 \text{ мк (159 см}^{-1})$$

$$\text{CaO } \lambda = 22 \text{ мк (455 см}^{-1}) \quad \text{NaCl} = 52 \text{ мк (192 см}^{-1})$$

Кубик сингонияга эга бўлган кристалларнинг бир қанчасида битта ўрнига иккита максимумли нур ютиш полосалари мавжуд (масалан, NaCl учун иккинчи нур ютилиш  $\lambda=39$  мк га мос келади (Лекопт, 1958 й.). Бу фақат шартли равиша Борннинг кристаллодинамик назариясининг тахмини бўйича - панжаранинг қўшимча тебранишлари, қушни элементар ячей-каларнинг атомлари эквивалент ҳолатда қарши фазада тебраниши орқали тушунтирилади. Бундай тебранишлар сони катта бўлиши мумкин. Масалан, юқори панжарали кварц учун назарий жиҳатдан 189 тебраниш бўлиши мумкинлигини кўриш мумкин.

ZnO ва BeO (гексагонал сингонияда) типидаги оксидлар мураккаб нур ютиш спектрига эга. Бундай кристалларнинг элементар ячейкасида 4 атом мавжуд ва шахсий тебранишлар сони  $3\times 4-6=6$  ни ташкил этади, улардан Брестер бўйича фақат 2 таси актив, Тольксдарф бўйича эса учтаси: BeO= 8,2 мк ( $1222 \text{ см}^{-1}$ ); 10,7 мк ( $935 \text{ см}^{-1}$ ) ва 14 мк ( $713 \text{ см}^{-1}$ ); ZnO= 15,2 мк ( $658 \text{ см}^{-1}$ ); 22 мк ( $455 \text{ см}^{-1}$ ) ва 28 мк ( $357 \text{ см}^{-1}$ ).

2) Ички кучларининг боғланиши группаларо боғланишга нисбатан кучли бўлган, ўзининг тузилмасида мураккаб гуруҳга (ионлар, молекулалар) эга бўлган кристалл моддаларнинг ИК нур ютиш спектрлари.

Агар панжарада анион ва катионлар комплекси ёки гуруҳ атомлари ўзаро мустаҳкам боғланган бўлса, интерпретация ва тебранишлар ҳисоби ёки уларга мос келувчи нур ютиш полосаларини аниқлаш ва модданинг тузилишини ИК спектрлар орқали урганиш жуда осон бўлади. Бу гуруҳларни (масалан,

$[SiO_4]^{4-}$ ) етарли даражада изолировка қилинган ва уларни катта бұлмаган атомлар сонидан ташкил топған молекула деб қараң мүмкін.

Мураккаб гурухдан ташкил топған моддаларнинг тебранишини:

а) ички тебраниш, яғни комплекс гурух атомларининг ички тебраниши;

б) ташқи тебраниш, яғни бошқа гурух ёки атомларга нисбатан комплекс гурух тебранишига киритиш мүмкін.

Кристалларнинг айрим бұлакларини ажратыши ва уларнинг тебранишини тажриба билан күриш исботлайдыки: агар гурухни ташкил этувчи элементларнинг атом оғирлигиге құшни гурух элементларининг атом оғирлигидан маълум равишда фарқ қылса.

Бундай ҳолларда гурух учун барча шахсий тебраниш ва уларни симметрияга таъсирларини назарий жиҳатдан ҳисоблаш мүмкін. Полосалар күрениши, ҳолати ва сони бүйічә умумий ҳолда қайси гурух бирикма таркиби (кристалл панжара) га кириши ва унинг тузилиши ёки кристалл панжара таъсирдаги унинг деформациясини аниқлаш мүмкін. Гурух тузилиши (деформацияси) күпроқ үндаги атомларнинг сони ва жойлашишига боғлиқ. Бундан ташқари, баъзан қаттық моддаларда гурухлар, бошқа ион ёки нейтрал зарралар орасидаги үзаро таъсир билан комплекс гурух тузилишида (унинг симметрияси ва баъзи боғларда тебраниш частотаси үзгаради) комплекс гурух тузилишида ўз аксини топади.

Шунга жавобан 2 - синф қаттық моддалар тузилишининг ахамиятига күра, амалий жиҳатдан ИҚ нур ютиш спектрлари ўргасидаги боғланиши күйидегича белгиланади:

1) нур ютиш полосасининг сони гурух симметрияси ва атомлари сонига боғлиқ;

2) Гурухларнинг нур ютиш полосалари ва уларнинг силжишлари ҳамда бошқа гурухлар (ёки катионлар ва нейтрал заррачалар) ва бир хил гурухларнинг үзаро жойлашишига боғлиқ

Гурухларнинг маълум даражада қонуний жойлашиши масаласига келсак, масалан, бир түрли сингония кристаллари учун, текширилаёттан мураккаб гурухнинг нур ютиш полосаси ҳолати құшни гурух үлчамлари ва массаси билан аниқланади. Бу ҳолат модданинг инденификацияси ёки модда синфини (масалан, кислота, альдегидларнинг түзи, катионлар ва бошқалар) аниқлаш учун асос булиб хизмат қиласы.

Баъзи минераллар (доломит, людвигит, гранат, хлорит) учун ИК нур ютиш полосаси изоморф гурухлар ҳолатига тўғри пропорционал равишда силжиши топилган (Архипенко, 1963 й.; Александров, 1965 й.; Ковалев ва бошқалар, 1965 й.). Бу шуни билдиради, изоморф гурух (ион) текширилаётган гурух нур ютиш полосасини силжишини юзага келтиради. Минералнинг механик қўшилмалари эса текширилаётган модданинг нур ютиш полосаси ҳолатида ўзгаришлар содир этмайди. Кўринишидан нур ютиш спектри бўйича моддадаги компонентларнинг шаклини чиқиши ва полосанинг силжиш катталиги бўйича изоморф қўшимчалар сонини аниқлаш имконини беради.

Модданинг кристаллигини ИК нур ютиш спектрларига таъсири, баъзи гурухларнинг нур ютиш полосаларини сони ва парчаланиши билан ифодаланади, чунки парчаланиш тавсифи кристалл панжара тури билан аниқланади. Аморф моддаларда парчаланиш полосаси кузатилмайди.

Кристалл ва аморф моддаларда гурух (ион, нейтрал заррача)нинг ўзгариши (изоморфлигиги)ни текширилаётган гурухнинг нур ютиш полосасини бироз силжишига олиб келади. Бунда кўпинча ҳар бир полосанинг парчаланиш ҳолати сақланади. Баъзан полосанинг интенсивлик нисбати ўзгаради.

$\text{X}_4$  гурух ( $\text{SiO}_4^{4-}$ ,  $\text{SO}_4^{2-}$ ,  $\text{PO}_4^{3-}$  ва бошқалар) тўғри тетраэдрда намоён бўлса, иккита тебраниш частотасига эга ва агар тетраэдр қайишганроқ бўлса, тўртта тебранишга эга. Чунки мос келувчи нур ютиш полосалари бу ҳолда парчаланади. Берилган намунадан нур ютиш полосалариниг сони ва кўриниши бўйича гурух тузилиши ҳақида хулоса қилиш мумкин.

Тетраэдрларнинг деформацияга учраши ва унинг натижасида инфрақизил нурларни ютиш чизиклари ўзгариши мумкинлигини биринчи маротаба Брестер қайд этган. Модда таркиби га кирган элементнинг атом оғирлиги, радиуси, атомлар орасидаги масофа ва кимёвий боғланиш тури – ионли, ковалентли, металли, водородли ва ҳоказога қараб ютилиш чизикларининг қиймати ва ҳолати ўзгаради. Шунинг учун инфрақизил нурларни ютиш даражаси, полосалар сони ва кўринишига қараб қайси гурух ёки модда устида гап кетаётганилиги ҳақида фикр юритиш мумкин.

Масалан, ютилиш полосалари таалтуқли: силикатлар ва  $\text{SiO}_4$  га- 1100-900, 830-740 ва 500-400  $\text{cm}^{-1}$ ; боратлар,  $\text{BO}_3$  ва  $\text{BO}_4$  ларига- 1300-1150, 1050-900 ва 780-660  $\text{cm}^{-1}$ ; фосфатлар ва

$\text{PO}_4$  га-1100-1000,830-780 ва 650-500  $\text{cm}^{-1}$ ; арсенатлар ва  $\text{AsO}_4$  га - 900-780, 550-400 ва 350  $\text{cm}^{-1}$ ; сульфатлар ва  $\text{SO}_4$  га-1250-1000,650-610 ва 450  $\text{cm}^{-1}$ ; карбонатлар ва  $\text{CO}_3$  га-1450-1410,880-860 ва 740-680  $\text{cm}^{-1}$ ; нитратлар ва  $\text{NO}_3$  га-1380-1350 ва 840-815  $\text{cm}^{-1}$ ; вольфраматлар ва  $\text{WO}_4$  га- 930-810, 450-400 ва 320  $\text{cm}^{-1}$ ; молибдатлар ва  $\text{MoO}_4$  га - 950-810, 450-400 ва 320  $\text{cm}^{-1}$ ; ванадатлар ва  $\text{VO}_4$  га - 1150-730, 480-450 ва 350  $\text{cm}^{-1}$ .

### 19-§. Кальцит минералининг инфракизил спектрлари ҳақида

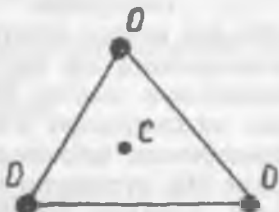
Кальцит минерали  $\text{CaCO}_3$  табиатда кўп тарқалган табиий минераллар туркумига киради. У боғловчи ва шиша маҳсулотлари ишлаб чиқаришда кенг қулланиладиган хом ашё бўлиб хизмат қиласди.

Сувсиз карбонатлар, шу жумладан, кальцит минералининг инфракизил спектрларини ўрганиш 1950-1963 йиллар давомида Адлер, Келлер ва Керр томонидан амалга оширилган. Кальцит - доломит аралашмасидан минералларни ажратиб олиш методикаси Хант ва Тернер томонидан 1962 йили ҳал этилди. Турли карбонат минераллари миқдорини уларнинг аралашмаси спектрларидан аниқлашга Честер томонидан 1967 йили уриниб кўрилди.

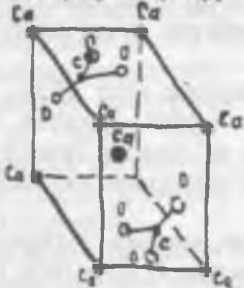
Табиий ва синтетик карбонатлар ИК спектрини текшириш 1952-1971 йиллар ичida Миллер, Вайт, Анжино, Ле Наво, Харитонов ва бошқалар томонидан систематик равишда олиб борилди. Натижада карбонат минераллари спектрларининг асосий частоталари аниқланди:

Модда	$\nu_1$	$\nu_2$	$\nu_3$	$\nu_4$
Кальцит- $\text{CaCO}_3$	-	879	1429-1492	706
Арагонит- $\text{CaCO}_3$	1080	866-852	1492-1504	706
Магнезит- $\text{MgCO}_3$	1096	886-851	1460	735
Доломит- $\text{CaMg}(\text{CO}_3)_2$	-	880-857	1460	727-697
Стронцианит- $\text{SrCO}_3$	1070	841-871	1461	702
Родохрозит- $\text{MnCO}_3$	-	848-871	1430	727
Смитсонит- $\text{ZnCO}_3$	-	859-858	1428	743
Ватерит- $\text{BaCO}_3$	1060	837-840	1435	687
Церусит- $\text{PbCO}_3$	1051	839	1397	678-668

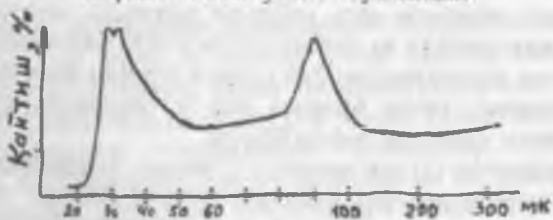
Күйида  $\text{CaCO}_3$  минералининг ИК спектрлари батафсилроқ куриб чиқилади.  $\text{CaCO}_3$  - кальцит: У  $\text{CO}_3^{2-}$  группасидан ташкил топган ва С атомлари яssi бир хил томонли учбурчак марказини ҳосил қиласи. Бу ерда түрттага шахсий тебраниш, ҳар бирига мос келувчи ўзининг нур ютиш полосаси булиши мумкин. Углероднинг координацион сони 6 га тенг. Күйида учбурчак ёки пирамида (11-расм), кальцит тузилиши (12-расм), унинг ИК нурларини қайтариш (13-расм) ва ютиш (14-расм) спектрлари берилган.



11-расм. Кальцитни ташкил қилувчи учбурчак ёки пирамида.



12-расм.  $\text{CaCO}_3$  нинг тузилиши.



13-расм. Кальцитнинг нур қайтариш спектри.



14-расм. Кальцит минералининг ИК нурларини ютиш спектрлари.

Кальцитининг ИК нур ютиши спектрларида ва  $\text{CO}_3^{2-}$  муркаб анионида атомларининг ҳар бир нур ютишга мос келувчи шахсий тебранишлари шартли кўрсатилган (14-расм). Юқори нур ютилиш максимумлари ички тебраниш  $\text{CO}_3^{2-}$ -комплекс анион атомларининг тебраниши билан аниқланади. 14-расмда келтирилган ИК нурларини ютиш спектрида 4 та полоса мавжуд бўлиб, қўйидаги тебранишларни англатади: 1-тебраниш (7 мк области)- икки атом О бир-биридан узоқлашади, учинчى атом О ва марказий С ҳаракатини олдинги икки атомга нисбатан перпендикуляр йўналиши бўйича бажаради.

Агар  $\text{CO}_3^{2-}$  учбурчаги ясси бўлса, унга фақат битта нур ютиш полосаси мос келади. Нотўғри пирамида ёки ҳар хил томонли учбурчакда бу полоса ўрнига қиймати яқин бўлган (шахсий частотанинг парчаланиши содир бўлади) иккита полоса пайдо бўлади.

2-тебраниш (10 мк макон)- учбурчак марказидаги атом С ҳаракат қилмайди, лекин О атомлари (учбурчак чўққисидаги) марказ билан чўққи орасидаги чизикда тебраниш ҳосил қиласди.

Бундай тебраниш ясси учбурчак ҳолатида электрик моментини ўзгартирмайди ва шунинг учун у ИК майдонида ноактив, нур ютиши кузатилмайди ёки полоса ўта кам интенсив бўлади. Агар учбурчак тўғри бўлмаса ёки у пирамида куринишида бўлса, ютиш полосаси пайдо бўлади.

3- тебраниш (11 мк макон)- С атоми тебраниши учбурчак юзасига перпендикуляр йўналиш бўйича бўлади, О атомлари учбурчак юзасининг баъзи бир бурчаклари бўйича қарама-қарши равиша содир бўлади.

Нур ютилиши ҳар қандай ҳолат (ясси учбурчак, томонлари ҳар хил учбурчак ёки пирамида) да содир бўлади.

4-тебраниш (13,5 мк макон)- иккита O<sup>-</sup> атомлари бирбиридан узоқлашади, учинчи O<sup>-</sup> атоми бу вақтда учбұрчак юзасыда аниқ траектория бүйлаб ҳаракат қиласы.

Агар CO<sub>3</sub><sup>2-</sup> томонлари бир хил учбұрчак бўлса, битта нур ютиш полосаси булади, агар томонлари ҳар хил учбұрчак ёки пирамида бўлса, бунда тебраниш иккита мос келмайлиган, қийматлари жиҳатидан эса бир-бирига яқин булади.

## 20-ғ. Таҳлил имкониятлари

Инфрақизил спектроскопик таҳлилдан қуйидагиларни текширишда фойдаланилади:

- а) кимёвий бирикмалар;
- б) минераллар;
- в) тупроқлар;
- г) курилиш материаллари;
- д) керамик ҳом ашёлар ва бошқалар.

Текширишдан кузатилган мақсад:

1) Бирикма, минерални диагностика қилиш учун (сони, парчаланиши ва полосаларининг ҳолати бўйича).

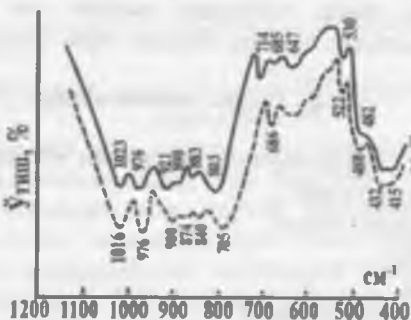
Бу ҳолатни расшифровка қилишининг иккি моменти бор:  
а) иккинчи минерал номаътум, спектрлар бўйича биз уни геленитларга хослигини ва унинг Me<sub>2</sub><sup>2+</sup> Me<sub>2</sub><sup>3+</sup> Me<sup>4+</sup>O<sub>7</sub> кўринишидаги формулага эга дейишимиз мумкин; б) синтетик Sr<sub>2</sub>Al<sub>2</sub>SiO<sub>7</sub> оксидларидан синтез қилинган ва хоссалари бўйича у геленитга мос келади (15-расм).

2) Ярим миқдорий кимёвий таркиби аниқлаш учун: Масалан, айтайлик 4-чи намуна таркиби номаътум, лекин 3-чи намуна таркибини билган ҳолда ёзамиш: Ca<sub>16</sub> TR<sub>8</sub> Al<sub>8</sub> Si<sub>16</sub> O<sub>72</sub> (16-расм).

3) Кристалл ёки аморф моддаларнинг кристалланиш дарајасини аниқлаш учун. 17-расмда 15-чи спектр LaMgAlSiO<sub>6</sub> моддасига тегишли бўлиб, унинг поликристалларидан иборат, 1-чи спектр CaMgSi<sub>2</sub>O<sub>6</sub> га таалукли бўлиб, унинг шишасимон ҳолатда эканлигини тасдиқлайди. Намуналар 1550°C ли ҳароратда I соат давомида синтез қилинган ва тез тобланган.

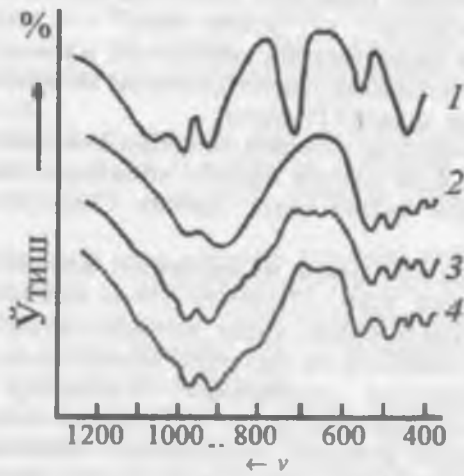
4) Моддадаги мураккаб гурӯхларнинг таҳлили (18 ва 19-расмлар), масалан, SiO<sub>4</sub>, AlO<sub>4</sub>, AlO<sub>6</sub>, MgO<sub>4</sub>, MgO<sub>6</sub> ва бошқа анионлар (нур ютиш полосаси ҳолати ва миқдори бўйича аниқланади).

5) Моддаларнинг қиздириш ва бошқа турли реакцияларда ўзгариш жараёнини (янги модда пайдо бўлиши, фазалар аралашмаси, оралиқ маҳсулотлар, диссоциация ва бошқалар) ўрганиш.



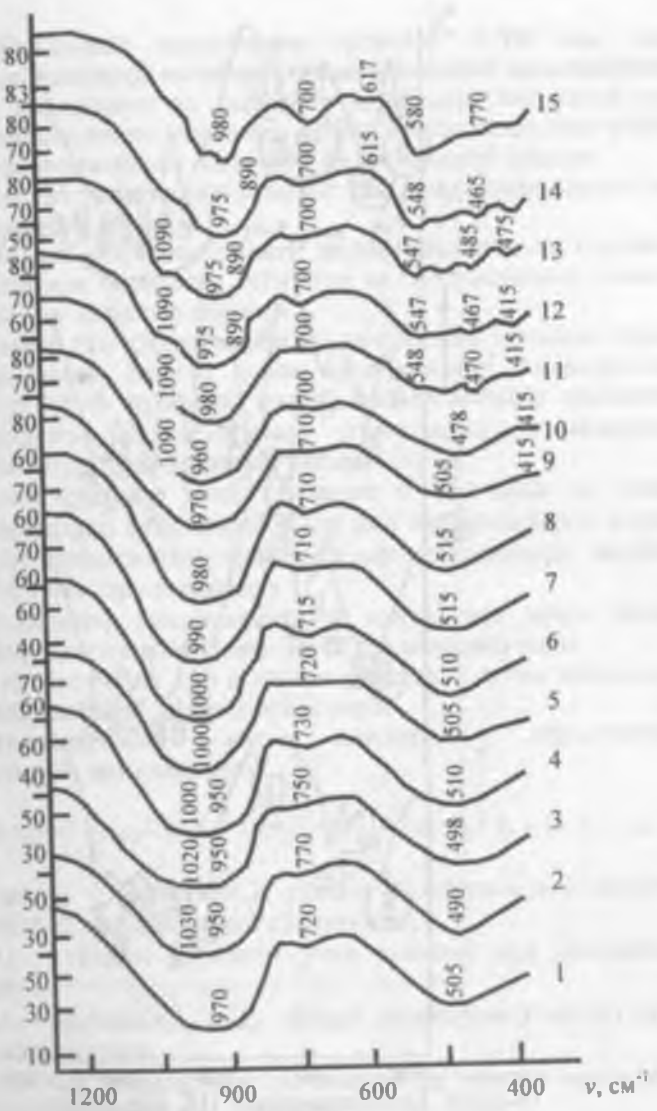
15-расм. Синтетик мелилитларнинг ИК нур ютиш спектрлари:

1- $\text{Ca}_2\text{SiAl}_2\text{O}_7$ ; 2-  $\text{Sr}_2\text{SiAl}_2\text{O}_7$ .

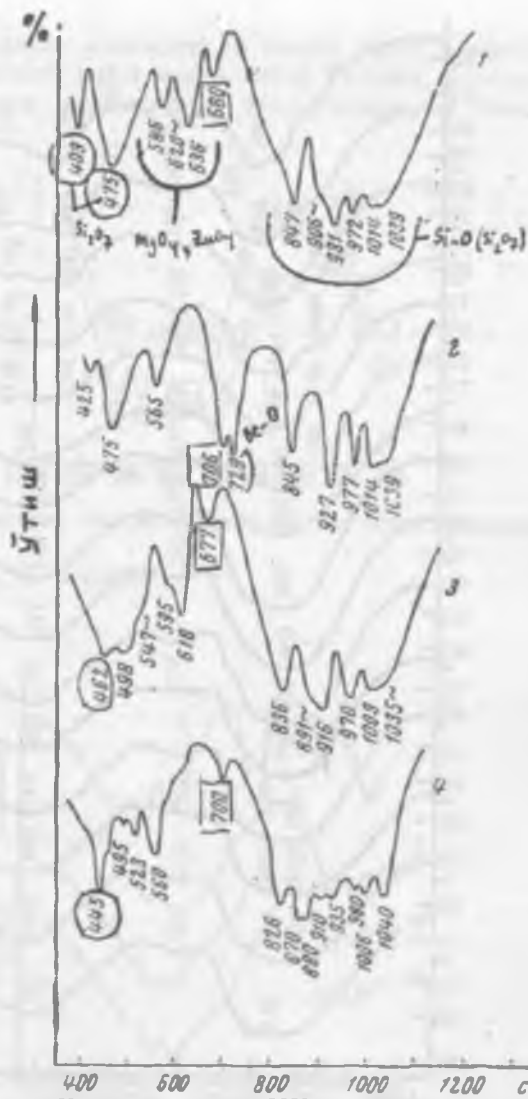


16-расм. Кристалларнинг ИК нур ютиш спектрлари:

1- $\text{CaSiO}_3$ ; 2- $\text{La}_{9.34}(\text{SiO}_4)_6\text{O}_2$ ; 3- $\text{Ca}_{16}\text{La}_8\text{Al}_8\text{Si}_{16}\text{O}_{72}$ ;  
4- $\text{Ca}_{16}\text{Nd}_8\text{Al}_8\text{Si}_{16}\text{O}_{72}$ .



17-расм.  $\text{CaMgSi}_2\text{O}_6$  –  $\text{LaMgAlSiO}_6$  тизимидағы синтез қилингандык моддаларнинг ИК нур ютиш спектрлари.



18-расм. Кристалларнинг ИК нур ютиши спектрлари:

1-окерманит  $\text{Ca}_2\text{MgSi}_2\text{O}_7$ ;

2-бериллийли окерманит  $\text{Ca}_2\text{BeSi}_2\text{O}_7$ ;

3-рухли окерманит  $\text{Ca}_2\text{ZnSi}_2\text{O}_7$ ;

4-күргөшинли окерманит  $\text{Pb}_2\text{ZnSi}_2\text{O}_7$ .

6) Қўшимчалар таркибини ўрганиш: 1-5% дан кам булмаганда изоморф, механик (қўшимчаларнинг изоморфлиги ҳолатини аралашиши ва дастлабки модданинг интенсив нур ютиш полосаларининг силжиши ва бир вақтда баъзи бир полосалар интенсивлигининг ўзгариши билан намоён бўлади).

7) Минерал тузилмадаги сувнинг ёки намликнинг шакли ва турини аниқлаш учун.

8) Тузилманинг тартибилилиги ва тартибсизлилиги (тартибсизлик ҳолатида полосалар чўзилган ва интенсивлиги пасай-ган бўлади) ни аниқлаш мумкин.

9) Фазалар ёки қўшимчаларнинг миқдорини аниқлаш (жуда ҳам аниқ эмас). Бундай ҳолда қўшимчанинг изоморфлиги (аниқлик о 0,5 % атрофида) ҳолати полосаларининг силжиши одатда кирувчи элементларнинг (группанинг) изоморфлик миқдорига тўғри пропорционал бўлади.

Механик қўшилма ҳолда (аниқлик о 1%) икки ва ундан ортиқ минераллар аралашмаси - хар бир минерални нур ютиш полосалари интенсивлиги аралашма минералларининг нисбий миқдорига тўғри пропорционал.

10) Полиморф ўзгаришларни ва нуқталарни ҳамда Кюри нуқталарини (сегнетоэлектрик-  $\text{BaTiO}_3$ ) аниқлаш учун.

11) Кристалл фаза ёки шишани (масалан, оптик шишалар) бир таркибилигини назорат этиш учун.

12) Моддаларнинг нур синдириш кўрсаткичи- (дисперсия)ни аниқлаш учун;

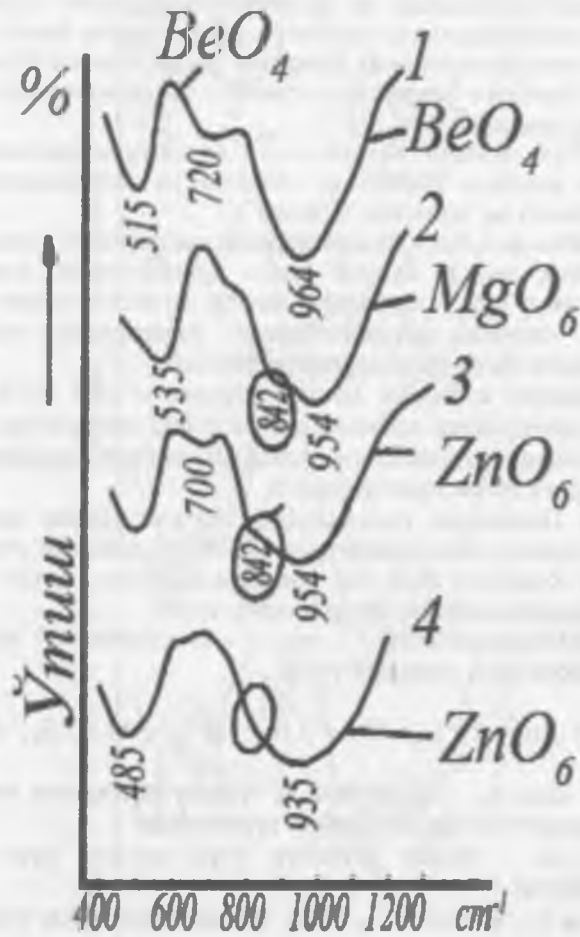
$$n_1^{2-1} / n_1^{2+2} = (n_2^{2-1}) \lambda_1^2 / (n_2^{2+2}) \lambda_2^2 / \ln J_1 / J_0 / \ln J_2 / J_0,$$

бу ерда  $n_1$  - модданинг  $\lambda_1$  тўлқин узунлигига мос келувчи қидирилаётган нур синдириш курсаткичи;

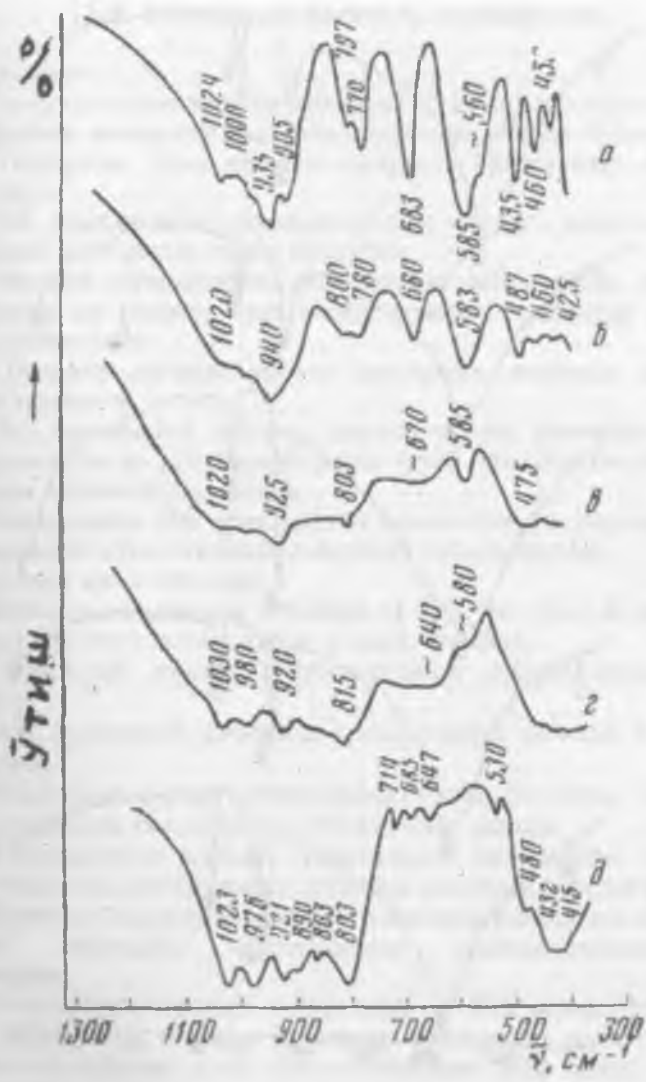
$n_2$  -  $\lambda_2$  - тўлқин узунлиги учун маълум нур синдириш курсаткичи;

$J_1$  ва  $J_2$  - моддадан  $\lambda_1$  ва  $\lambda_2$  тўлқин узунлигига ўтаётган нурланиш интенсивлиги.

13) Ионлар, атомларнинг ўлчамлари ва ионлар орасидаги бурчакларни аниқлаш учун,  $\% \text{SiOSi}$ .



19-расм. Шишаларнинг ИК нур ютиши спектрлари:  
 1-бериллийли окерманит;  
 2-окерманит;  
 3-гардистонит;  
 4-курошинли гардистонит.



20-расм. ИК нур ютиш спектрлари: а)  $\text{Y}_2\text{SiBe}_2\text{O}_7$ ; б)  $\text{Ca}_{0,5}\text{Y}_{1,5}\text{SiAl}_{0,5}\text{Be}_{1,5}\text{O}_7$ ; в)  $\text{CaYSiAlBeO}_7$ ; г)  $\text{Ca}_{1,5}\text{Y}_{0,5}\text{SiAl}_{1,5}\text{Be}_{0,5}\text{O}_7$ ; д)  $\text{CaSiAl}_2\text{O}_7$  (намуналар KBr аралашмаси билан пресс-лаб тайёрланган).



21-расм. Карбонатларнинг инфрақизил нур ютиш спектрлари: 1-кальцит, 2-кобальтли шпат, 3-доломит, 4-анкерит ва 5-арагонит.

## 21-§. Усулнинг афзалиги ва камчиликлари

### Афзалиги:

1. Текширув учун жуда оз миқдорда (1-10 мг) модда олиш.
2. Қатлам қалинлиги бир неча микрондан иборат бўлиши.
3. Текширув учун олинган намунада йўқотишлар содир бўлмайди.
4. ИК нурланишдан текширилаётган моддада кимёвий ва физикавий ўзгаришлар содир бўлмайди.
5. Маълум группалардаги атомларнинг жойлашиши, фазавий ҳолати ва умуман жуда нозик тузилма таҳлилини олиб бориш имконияти.
6. Тажриба натижаларининг автоматик равишда фотокоғозга тушириш.
7. Тез парчаланиб кетувчи, ўзгарилишнинг кичиклигидан кристаллооптик ва рентгенографияда тутиб бўлмайдиган баъзи номаълум кристалларни топиш.
8. Моддаларни ИК спектрининг ҳамма тўлқин узунлигига нур синдириш кўрсаткичини аниқлашга имкон беради;

### Усулнинг камчиликлари:

1. Жуда оз миқдордаги қўшимча (1-5 % дан кам) ва баъзи жуда ҳам кам группировкаларни намоён этмайди;
2. Микдорий анализ натижаларининг юқори даражада эмаслиги.
3. ИК нурларини қайтариш спектрларини олишни бироз қийинлиги.
4. Решетканинг ички тебранишлари билан анионлар тебра-ниши ўртасидаги боғлиқликни кўрсата била олиши.
5. Кристаллнинг майдон кучланишини ифодаловчи коэффициентлар тупламини етарли даражада ишончли эмаслиги.
6. Қиймати жиҳатидан яқин ва изоморф ўзгарувчан атомларнинг тебраниш частоталарини иденификациясидаги қийинчилик.
7. Моддаларни механик майдалашда ва KVg билан таблет-калар пресслашда тузилма ўзгариши эҳтимолдан ҳоли эмас. Яна текширилаётган модда кристалларининг KVg билан ара-лашиб кетиши.
8. Қуқуннинг баъзи қисмларида нурланишнинг ҳар хил ўтириши натижасида нур қайтариш ва ютилишида ноаниқ эф-фектларнинг пайдо бўлиши.

## 22-§. Инфрақызил спектроскопия усули аппаратлари

Инфрақызил макони, юқорида қайд этилганидек спектрнинг бир қисми бўлиб, унинг тўлқин узунлиги қизил рангли ёруғлик спектри (750 мкм) тўлқин узунлигидан катта. Инфрақызил спектрининг юқори чегараси тахминан 350 мкм атрофида жойлашган. Буни тадқиқ қилиш учун спектрал усуллар, жумладан, иссиқлик чиқишини қайд этиш усуллари қўлланилиши даркор.

Бу усулда қўлланадиган жиҳозлар спектрометр ёки спектрофотометр деб аталади. Ушбу приборлар ёрдамида нур чиқиши интенсивлилиги ўлчанади ва улар детекторли курилмага фокусировка қилинади. Диспергирлашган элементнинг турига қараб улар уч асосий синфларга ажралади: призмали, дифракционли ва комбинировкалашган призма-дифракционли. Приборлар тузилишида фарқлар бўлишига қарамасдан, уларнинг хаммаси автоколлимацион типга тааълуқли. Ўта перспективли, аммо кам тарқалган аппаратлар турига интерференцияни спектрал жиҳозлар киради.

Микроскопик таҳлил орқали моддаларнинг фазовий таркиби ва тузилиши ҳақида маълумот олишимиз мумкин. Лекин бу усул орқали атомлар орасидаги кимёвий мулоқот, радикал ва группалар тузилишига оид натижаларни олиб бўлмаслиги ҳақида юқорида сўз юритган эдик.

Группа ёки радикалларга оид маълумотлар, катионларнинг анионлар билан берадиган валент тебранишларини аниқлашда инфрақызил спектроскопик таҳлил яхши натижа беради. Инфрақызил нурларни ютиш ва қайтариш спектрлари билан қаттиқ модда таркибидаги комплекс группалар ва радикаллар тузилиши орасида назарий боғлиқлик бор. Шу боғлиқлик текширилаётган модда билан этalon инфрақызил спектрларини солиштириш ва бошқа усуллар орқали амалга ошади.

Агар ИК спектрларини ўрганиш нур қайтариш спектрларидан бошланган бўлса, 1933 йилларда Пфунд ва Барнес ишларидан кейин кристалл моддаларнинг нур ютишини кукунларнинг юпқа қаватларини қўллаб ИК спектрларини олиш бошланган. Бу янгиллик ўрганилаётган моддаларни монокристалл ва тупроқли силикатлар ҳисобига купайтириш имконини берди.

Аморф модда ва шиша тузилма ИК спектрларида текшириш Флоринская номи билан (Ленинград, Вавилов номли Давлат оптика институти) ҳамда юқори ҳароратли ИК спектро-

скопияни ривожланиши А.М. Шевяков (Ленсовет номли технология институти, Ленинград) номи билан боғлиқ. ИК спектроскопияни амалий ривожланишига Россиялик олимлардан яна Г.Б.Бокий, А.А. Лебедев, А.Г. Власов, В.А. Колесова, И.И. Плюснина каби фан намёёндалари ҳам катта ҳисса қўшишган.

Номлари юқорида қайд этилган чет эл олимлари инфрақизил спектроскопия усулининг амалий асосларини ишлаб чиқишига ҳам катта ҳисса қўшган. Янги силикат ва зўргасуюлувчан материалларни бу усул билан тадқиқот қилишда Узбекистонлик олимлар - Н.А.Сирохиддинов, Б.И.Нудельман, Т.А.Отақўзиев, С.С. Қосимова, А.А.Исматов ва бошқаларнинг ҳам хизматлари жуда катта.

**Текшириш учун ускуналар.** ИК нурларини утказиш, нур қайтарилиши ва нур ютиши спектрлари  $0,76$   $25$  мк тўлқинлари оралигига махсус ИК спектрофотометрларда олинади.

Ҳозирги кунда ИКС-12 (бир каналли, бир нурли), ИКС-14 ва ИКС-21 (икки каналли) жиҳозлари мавжуд.

Чет эл жиҳозларидан: UR лар, айниқса, UR-20 (Германия) моделига оид Бекман спектрометрлари қўлланилади. Бу аппаратларининг ютуғи: 1) ёпик система; 2) частоталарни тез беради.

Мавжуд жиҳозларнинг ҳаммаси маълум текшириш диапазонига, кўпинча  $1\text{-}2$  мк ( $10000\text{-}5000$  см $^{-1}$ ) дан  $25\text{-}40$  мк ( $400\text{-}250$  см $^{-1}$ )гача ва  $50$  мк дан  $300$  мк ва ундан каттароқ ( $200$  см $^{-1}$  ундан кичик)ларда ишлашга мослаштирилган.

Турли фирмаларнинг жиҳозлари бир-биридан ИК спектрларини аниқ тарзда бериши, ишининг стабиллиги, спектр олишдаги автоматик жараёнлари билан фарқ қиласди. Турли жиҳозларда олинган ИК спектрларни фақат фотометр таркиби бир хил бўлса ёки жиҳозий хатолар таъсири хисобга олинган бўлсагина таққослаш мумкин.

### 23-§. ИК спектрометрларининг соддалаштирилган схемаси

Куйида ИКС-14 инфрақизил спектрометрининг соддалаштирилган схемаси келтирилган (22-расм).

ИКС-14 типидаги икки нурли спектрофотометрнинг конструкцияси куйидаги асосий қисмлардан ташкил топган:

1) ИК нурланиш манбай ( $076$ )  $1000$  мк ли тўлқин узунлигидаги нурлар). Манбадаги Глобар стержени ёки Нернст штифти

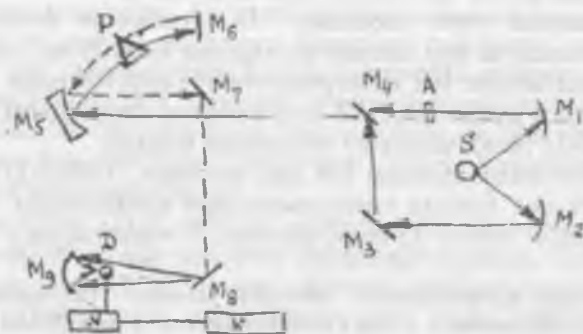
орқали нур ҳосил қилинади ва у фокусловчи кўзгу орқали узатилади.

2) Монохроматор. У бир қанча кўзгулардан иборат. Улардан муҳими Литровнинг айланма кўзгусидир.

3) Нур энергиясини қабул қилувчи мослама, яъни иссиқлиқни сезувчан элемент, термопаралар ёки балометрлар.

4) Қабул қилувчидан келаётган электрик сигнални кучайтиргич.

5) Ёргулик частотасига боғлиқ ҳолда (абсцисса) утказувчаник қийматини (ордината) қофозга ёзиб олувчи мослама.



22-расм. ИК-спектрометрининг соддалаштирилган схемаси:

S-нурланиш манбаи;  $M_1$ ,  $M_2$ ,  $M_3$ ,  $M_7$ ,  $M_8$  – қайтарувчи кўзгу;  $M_4$  – секторли айланма кўзгуси;  $M_5$  – коллиматор кўзгу;  $M_6$  – Литров кўзгуси;  $M_9$  – конденсатор; Р – призма; D – нур энергиясини қабул қилувчи мослама; N – кучайтиргич; К – ёзиб олувчи мослама; А – намуна.

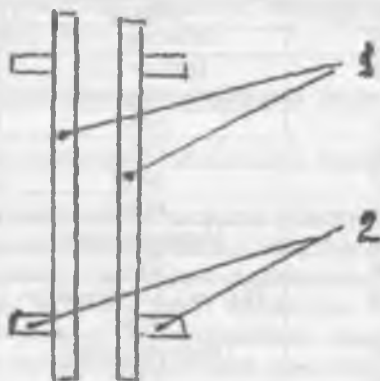
Кўйида биз юқорида номи қайд этилган деталларнинг баъзи бирлари устида батафсилроқ тўхтаймиз.

I. ИК нурланиш манбаи. Уни генератор деб атashимиз мумкин. Авваллари лампочкалардан, ҳозир эса карборунд SiC дан (сони 2 та) қилинади. Улар 1500 $\mu$ C да тўла нурланишни беради. Ток қуввати амперларда оператор томонидан берилади.

II. Спектрометр призмаси. Одатда призма кўрининишида кўлланилади: шиша  $\Phi-1 = 2,8 \text{ мк гача}$ ; кварц  $\text{SiO}_2 = 3,5 \text{ мк гача}$ ;  $\text{CaF}_2 = 2,4\text{-}7,7 \text{ мк гача}$ ; ош тузи  $\text{NaCl} = 2\text{-}15,4 \text{ мк гача}$ ;

$\text{KBr} = 9-26$  мк гача;  $\text{CsI} = 10-50$  мк гача. Улар ИК нурланиш учун күрсатылған интервалда шаффоффдир.

III. Нур энергиясини қабул қилувчилар. Балометр (грекча нурланишни үлчөвчи) Лангле томонида 1881 йилда амалиётта киритилған. Унда ютилған нурланиш металл симни қыздырады ва ҳосил бўлган қаршиликлар ўзгариши регистрация қилинади.



23-расм. Микрокюветнинг тузилиши:

1. Металл рамалари (намуна уларнинг орасига кўйилади);
2. Пластмассали қисқич.

Термоэлемент (Рубенс, 1898 й.) - нурланишдан ҳосил бўлган иссиклик туфайли термо э.д.с. регистрация қиласи.

Фотоқаршилик - фотоэлектрик. Бу ерда атомнинг нур ютуши туфайли ундан валент электронлари ажralади, улар нур ўтказишида иштирок этувчи электронлар миқдорини оширади. Масалан, совимайлигидан ФМ, БКМ, ФТ, ГОИ ва бошқа типдаги қабул қилувчилар.

Призмали инфрақизил спектрометрларни частота ва тўлқин узунлиги бўйича градуировка қилиш ўта муҳим масала. У бир қанча усуллар орқали амалга оширилиши мумкин. Энг қулайи спектрометрни дифракцион спектрометр орқали аниқланган этalon спектрлар ёрдамида текшириш.

Текширишда ишлатиладиган биринчи гуруҳга оид молдалар қаторига  $2600 \text{ cm}^{-1}$  областида қўлланиладиган симоб ҳамда хлорид кислотаси ва  $2000 \text{ cm}^{-1}$  маконда қўлланиладиган  $\text{CO}_2$  киради. Иккинчи гуруҳда натрий хлоридидан ясалган призмаларни

2000-660 см<sup>-1</sup> оралыгыда градуировка қилиш учун сув бүг, аммиак ва CO<sub>2</sub> лардан фойдаланилади.

Инфрақизил спектрометрларининг турли призмаларини градуировка қилишда құлланиладиган моддалар, спектрнинг тегишли маконлари ва призма материаллари қуйида көлтирилген (10-жадвал):

10-жадвал

Спектр макони , см <sup>-1</sup>	Модда	Призма материали
4500-4120	CH <sub>4</sub>	шиша, LiF
3900-3560	H <sub>2</sub> O ва CO <sub>2</sub> (атмосферали)	шиша, LiF
3510-3170	NH <sub>3</sub>	LiF ва CaF <sub>2</sub>
3170-2880	CH <sub>4</sub>	LiF ва CaF <sub>2</sub>
3060-2725	HCl	LiF ва CaF <sub>2</sub>
2675-2410	HBr	LiF ва CaF <sub>2</sub>
2400-2220	Интерполяция	LiF ва CaF <sub>2</sub>
2220-2040	CO,	LiF ва CaF <sub>2</sub>
1990-1360	H <sub>2</sub> O ва CO <sub>2</sub> (атмосферали)	LiF ва CaF <sub>2</sub>
1385-1250	Интерполяция	NaCl
1360-1250	CH <sub>4</sub>	CaF <sub>2</sub>
1230-720	NH <sub>3</sub>	NaCl
740-420	CH <sub>3</sub> OH	NaCl, KBr
720-650	CO <sub>2</sub> (атмосферали)	KBr
720-280	H <sub>2</sub> O ва CO <sub>2</sub> (атмосферали)	KBr, CsJ

Номлари юқори көлтирилген моддаларнинг спектрларини ёзіб олиш орқали градуировкали график координатлари қурилади. Иккى каналды спектрометрлар учун график чизилади, ИК-10 аппарати учун эса тегишли тузатыш киритилади.

ИКС-14 прибори иккى канал усули бүйича ишлайды ва нурұтқазиш катталигини фоиз ұсабыда ёзіб беради.

ИКС-12 прибори бир канал усули бүйича ишлайды, шүннинг учун бу ерда иккى карра иш бажарылади, яғни намуна спектри алоқыда ва манба спектри намунасиз ҳолатида олинади. Кейин улар бир-бири билан таққосланади.

ИКС аппаратларини текшириш этalon бүйича - полистирал ёрдамида аниқланади, бунда приёмник барабанинде айланышлар сони 0 дан 20 гача ва уларга мос келувчи частота (тұгри чизиқті бөглиқтік) киритилади.

**Аппарат мосламалари.** ИК спектрометрлар мосламалариға қуидагилар киради:

1. Термостат кюветлар - юқори ва паст ҳароратлар учун улар ИК спектрофотометрнинг манбаидан микрообъектга келәётган ёруғликни фокусировка қилиб беради.
2. Катта босим учун кюветлар.
3. Моддага электромагнит майдони, деформация ва бошқа таъсирларни текшириш учун мослама.

## 24-§. Препаратларни тайёрлаш усули

Монокристалл ва поликристалл (кукун) лардан намуналар түрлича тайёрланади.

**1. Монокристалл моддасидан кесилганд пластинка шаклидаги препарат.** Ясси, параллел силлиқланган, ИК нур ютиш спектрлари учун мұлжалланган намунанинг қалинлиги 2 мм дан то бир неча микронгача, күпинча қават қалинлиги 20-30 мк гача булади. Пластинка үлчами ишлатилаётган жиҳозга боғлиқ булыб, 35x10 мм дан 5x5 мм гача булиши мүмкін.

Жуда кичик үлчамларда эса махсус микрокювет мосламаси зарур булади (23-расм).

Селен күзгусиниг нур қайтаришдан олинган ИК нурланиш иккى үзаро перпендикуляр йұналиш бүйіча монокристалл орқали үтказилади. Бу нур қайтариш әгриліклари бүйіча гурұх атомларининг фазовий жойлашгани ҳақида билиш мүмкін. Агар поляризован нур қозасыда дипол ётган бўлса, нур ютилиш катта булади. Шундай қилиб у ёки бу функционал группаларнинг мавжудлиги аниқланади.

**2. Кукундан тайёрланадиган препаратлар.** Тайёрлашнинг иккى усули мавжуд: Биринчи усул -  $1\text{cm}^2$  юзада 0,1-2 мг миқдорда NaCl, KCl, KV каби ИК маконларида шаффофф бўлган подложкага намуна кукуни қотирилади ёки чўкмага тушурилади. Масалан, хаволи мұхитда қўйиш: 2-3 г материал агат ҳавончаларда яхшилаб туйилади, сўнгра пробиркага сепиш учун солинади. Йирик заррачалар цилиндр тагига чўкгач, тузли дискка жойлаштирилади ва сепилади. Бунда юза бир хил қаватли пурдалар билан қопланиб қолади.

Плёнка қалинлигини қуидаги топилади:

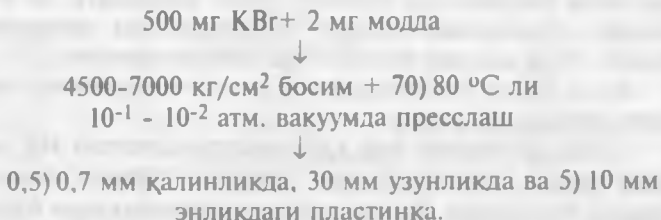
$$t = \frac{m}{ap} (\text{см}).$$

бу ерда,  $m$  - кукуннинг массаси, г;  
 $a$  - дискнинг юзаси,  $\text{cm}^2$ ;  
 $\rho$  - модданинг зичлиги,  $\text{g/cm}^3$ .

Иккинчи усул - суюқ ёки қаттиқ кукун аралашмасини мос келувчи тұлдирувчилар иштирокида тайёрлаш. Бу усул ҳам уз навбатида икки йўл билан амалга оширилади:

а) изопропил спирти иштирокида идиш тагига кукунни ўтқазищ, сұнгра қуруқ кукунли плёнка ҳосил булғунча буғлатиш йўли билан қоритиш. Одатда, 2 г кукунга 100 мл спирт қушилади. Жараён охирида ҳосил бўлган плёнка қалинлиги 0,2-0,3  $\text{mg/cm}^2$  бўлади.

қ) намунани вазелин ёки ишқор-галлоид бирикмалар ( $\text{KCl}$ ,  $\text{NaCl}$ ,  $\text{KBr}$ ) билан аралаштириш. Кукун ҳолатида пластинкалар диск қуринишида ёки түғри бурчак шаклида прессланиб олиниади. Кўпинча аралашмада 0,1; 0,33; 1 ёки 3%-текширилаётган модда бўлади. Бу усулда намуна тайёрлаш тизими қийидагича бўлади:



Хўл ҳолатида намуна тайёрлаш учун кюветадан фойдаланилади:

Нурланиш манбаидан келаётган радиация текширилаётган намунадан ўтади (намуна мастаҳкамланган, ундан нур қисман қайтади ва унда қисман ютилади) ва монохроматор (Литров кўзгуси) га тушади, кейин орқага термоэлемент майдонига қайтади. ИК нурларининг иссиқлиги натижасида термоэлементда э.д.с. ҳосил бўлади. У кучайтиргичда кучайтирилган ва маҳсус ёзув қурилмаси ёрдамида спектр ҳолатига келтирилади ва ёзилади.

## 25-§. ИК спектрларни ёзиб олиш

Амалиётда икки турли спектрларни ёзиб олиш ва расшифровка қилиш кенг тарқалган (11 ва 12- жадваллар, 24- ва 25-расмлар). Улардан бири ИК нур ўтиш ва нур ютиш спектри

бұлса, иккінчісі ИК нур қайтиш спектридір. Иккі түрли спектрларни жамлаш ва таққослаш орқали уларда фоиз миқдори аниқланады.

1. Қанча фоиз нур үтади ва ютилади;

2. Қанча фоиз нур қайтади.

В.А. Флоринская маълумотлари бўйича, 50 фоиз  $\text{Na}_2\text{O} + 50\% \text{SiO}_2$  дан ташкил топган ва  $620^{\circ}\text{C}$  да кристалланган шишада:

1) 13,2 мк да

үтказади - 70 %,

қайтаради - 7 %,

ютилади - 23%.

2) 11,2 мк да

үтказади - 55%,

қайтаради - 25%,

ютилади - 20%.

3) 10,2 мк да

үтказади - 33 %,

қайтаради - 42 %.

**Кремнеземнинг ИК спектрларидаги полоса экстремумларининг ҳолати**

11-жадвал

Текширилаёт- ган намуна	Түлқин узунлиги, мк
<b>Қайтиш спектрлари</b>	
Кварц, ўққа I	8,50; 8,95; 12,54; 14,54; 18,2; 20,7-20,8
Кварц, ўққа II	12,55; 12,85; 14,5; 18,9-19,00; 20,1
Кристобалит	8,30; 9,10; 12,60; 16,15-16,20; 19,8-19,9

Гереус фирмасининг кварц шишаси	8,95; 12,7-12,9; 20,9-21,0
<b>Утиш спектрлари</b>	
$\alpha$ -Кварц	8,63; 9,15; 12,55; 12,85; 14,40-14,45; 19,2 -19,3; 21,4-21,6
$\alpha$ -Кристобалит	8,35; 9,12; 12,60; 16,10; 20,3
$\alpha$ -Тридимит	9,05; 12,70; 17,6; 20,8-21,0
Гереус фирмасининг кварц шишаси	9,05-9,15; 12,50; 21,3

**Поликристалл ва рангли кремнеземнинг ИК спектрларидағи  
полоса экстремумларининг ҳолати**

12-жадвал

Текширилаётган намуна	Түлқин узунлиги, мк
<b>Қайтиш спектрлари</b>	
Яшма	8,50; 8,77; 9,12; 9,60; 12,55; 12,85; 14,5; 15,55; 17,0; 19,0; 21,0-21,4
Тридимит	8,65-8,70; 8,95; 12,70-12,75; 18,5-18,6; 20,5-20,6
Опал	8,25; 9,05; 12,62; 16,15-16,20; 19,7
<b>Үтиш спектрлари</b>	
Яшма	8,65; 9,1; 12,55; 12,85; 13,1; 13,25; 13,45; 13,8; 14,40-14,45; 15,1; 15,45; 16,45; 16,8-17,0; 19,3; 21,4-21,7
Қора кварц	8,65; 9,2; 12,55; 12,85; 14,45; 19,3; 21,4-21,7
Опал	9,05; 12,62; 20,8-21,1

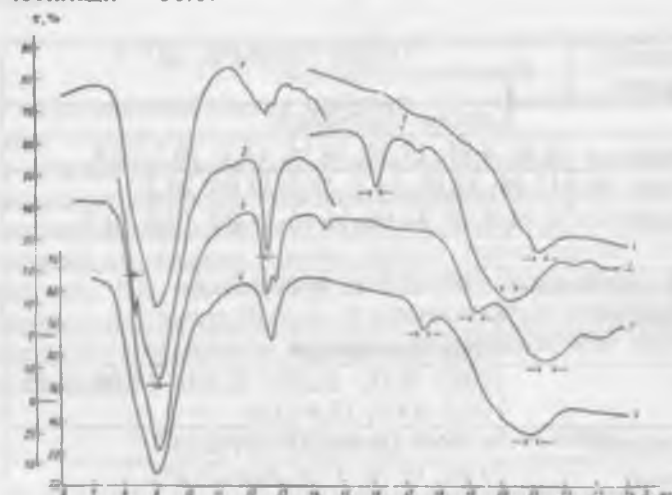
ютилади – 25%.

4) 7,8 мк да

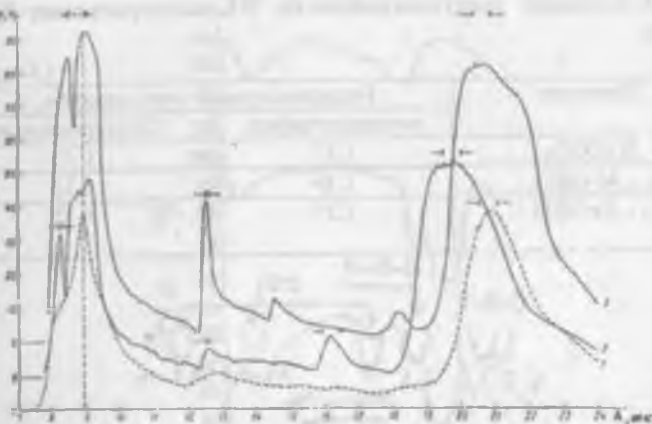
үтказади - 70 %,

қайтаради - 0 % .

ютилади – 30%.



24-расм. ИК нурларини үтказиш (ютиш) спектрлари: 1 – кварциша (кукун қавати); 2 -  $\alpha$ -кристобалит; 3 -  $\alpha$ -кварц; 4 -  $\alpha$ -тридимит.



25-расм. ИК нурларини қайтариш спектрлари: 1-кварц шиша; 2-  $\alpha$ -кристобалит; 3 -  $\alpha$ -кварц (оптик ўқига перпендикуляр кесилган).

### 26-§. Мұхим фазаларнинг ИК спектрлари

Силикат структурали моддаларда ИК спектри атом, молекула ва гурухларнинг координациясига ўта боғлиқ бұлалы. Бүни қыйидаги гурухлар, улар берадиган полосалар ва полосаларнинг экстремумлари мисолида күришимиз мүмкін.

I. Кремний-Si асосидаги группалар учун:

- 1)  $\text{SiO}_4$  - тарқоқ тетраэдрлари учун - 10) 12,5 мк;
- 2)  $\text{SiO}_3$  - занжирли боғланғанлар учун - 9) 11,5 мк;
- 3)  $\text{Si}_6\text{O}_{18}$  - ұхалқасимон группалар учун - 8,5) 11 мк;
- 4)  $\text{SiO}_2$  - лентали группалар учун - 9,5) 10,5 мк;
- 5)  $\text{SiO}_2$  - қатлами учун - 9) 10,5 мк;
- 6)  $\text{SiO}_2$  - тетраэдрлар сеткаси учун - 9,6) 10 мк.

II. Алюминий - Al асосидаги группалар учун:

- 1)  $\text{AlO}_6$  - октаэдри полосалари - 16-20 мк;
- 2)  $\text{AlO}_4$  - тетраэдрлари полосалари - 11-13 мк.

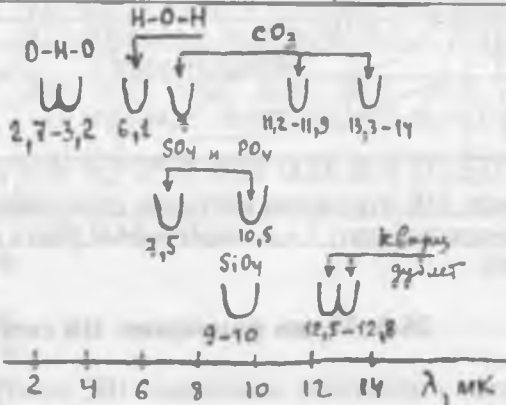
Шундай қилиб, амалий жиҳатдан олинған спектрларни маълум мөдданинг одатий полосаларига таққослаш бүйича тадқиқ қилинади. Полосаларнинг ҳолати атом гурухлари, ионлари ва гурухларидаги боғланишларга боғлиқ ҳолда үзгәради.

ИК спектрлари ёрдамида ион ва ионли гурухларнинг параметрларини ҳам аниқлаш мүмкін (13-жадвал ).

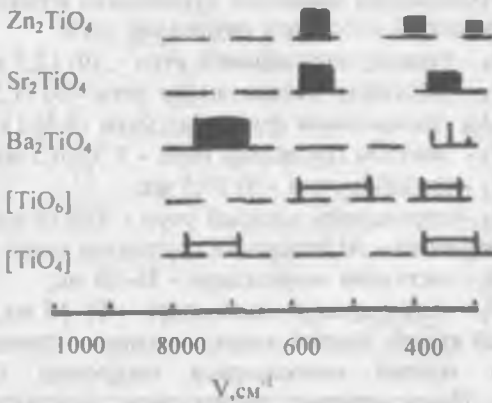
**ОН-ионининг рентгенография ва ИК спектроскопия бўйича улчами**

13-жадвал

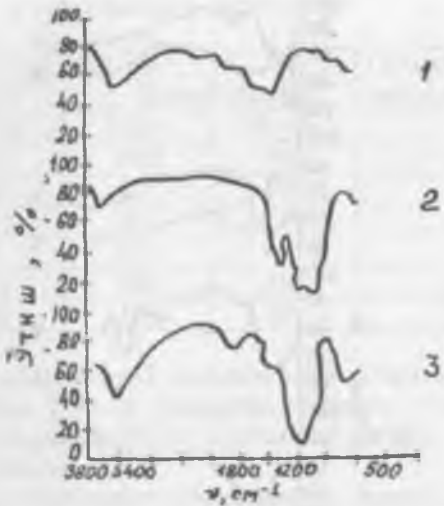
Биримка	Гидрооксиднинг ион радиуси, А	
	рентгенографик	Спектроскопик
$\text{B}(\text{OH})_3$	1,15	1,12
$\gamma\text{-Al(OH)}_3$	1,16	1,22
$\gamma\text{-FeOOH}$	1,35	1,33



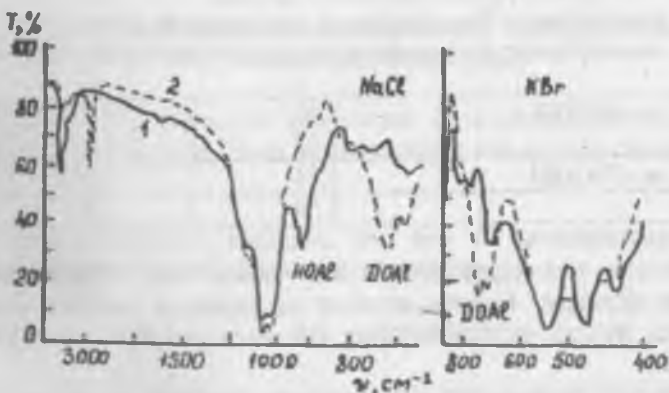
26-расм. Батти бир группаларга хос ИК-полосалари.



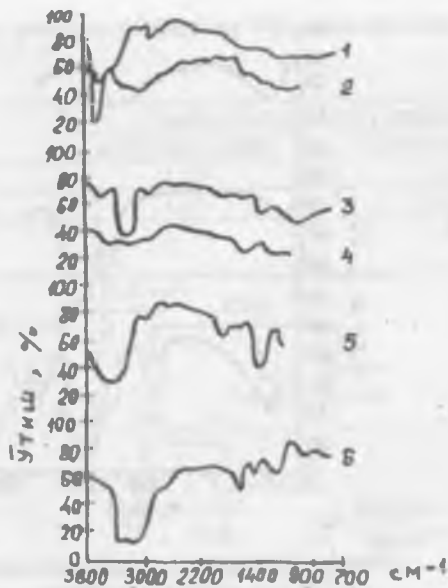
27-расм. Ортотитанатлар ИК спектрлари ( $\text{Zn}$  - ва  $\text{Sr}$  ли биримка ларда - титан октаэдрик координацияда) ва ( $\text{Ba}$ -ли биримкада титан тетраэдрик координацияда).



28-расм. Кальций гидросиликатининг ИК нур ютиш спектрлари.  
1) гидролит; 2)ксонотлит; 3)тоберморит.



29-расм. I – Каолинит (1) ва дейтерокаолинит (2) нинг ИК спектрлари. II – Гидроксилнинг деформацияли тебраниш полосалари.



30-расм. Кальций гидроалюминати ва гидросульфоалюминатларининг ИК нурларини ютиш спектрлари:

1-2 – кальций гидроалюминати  $\text{C}_3\text{AH}$ ;

3-4 – кальций гидроалюминати  $\text{C}_4\text{A}_3\text{H}_3$ ;

5 – кальцийнинг бир сульфатли гидросульфоалюминати;

6 – кальцийнинг уч сульфатли гидросульфоалюминати.

$\alpha -\text{AlOOH}$	1,45 1,55	1,47 1,57
$\alpha -\text{FeOOH}$	1,51	1,53
	1,59	1,63

Кейинги пайтларда титанатлар устида ҳам тадқиқотлар уtkазиш купайди. Куйида октаэдр ва тетраэдр координацияларга эга бўлган титанатларининг ИК спектрлари келтирилди (27-расм).

Куйидаги 14-жадвалда пирогурухлар учун хос бўлган маълумотлар келтирилган.

## Пиросиликат ва пирогерманат частоталари

14-жадвал

Частоталар, см <sup>-1</sup>		Симметриянинг тебраниш типи	
Экспериментал	Хисоб буйича	Si <sub>2</sub> O <sub>7</sub>	Ge <sub>2</sub> O <sub>7</sub>
Si <sub>2</sub> O <sub>7</sub>	Ge <sub>2</sub> O <sub>7</sub>	Si <sub>2</sub> O <sub>7</sub>	Ge <sub>2</sub> O <sub>7</sub>
1015	905	1010	900
915	745	925	740
770	715	760	710
570	475	540	480
480	395	420	360
425	320	380	320

Боғловчи моддалар ишлаб чиқариш технологиясида кальций силикатлари муҳим уринни эгаллайди. Шунинг учун кальций гидросиликатининг инфрақизил нурларини ютиш спектрлари келтирилди (28-расм).

Керамика ва оловбардош маҳсулотлар ишлаб чиқаришда тупроқлар, шу жумладан, каолинит ва каолинитсимон моддалар куплаб ишлатилади. Юқоридаги 29-расмда уларга оид ИК спектрлар келтирилган.

Охирги мисол сифатида 30-расмда кальцийнинг гидроалюминатлар ва гидросульфоалюминатларига оид ИК нурларини ютиш спектрлари берилади.

### 27-§. Инфрақизил спектроскопик таҳлилига оид диагностик маълумотлар

Кўйидаги 15-жадвалда диагностик мақсадларда фойдаланиш учун хизмат қўлиувчи баъзи моддаларнинг ИК-ютиш полосалари келтирилган.

Баъзи кремнийли бирикма, хом ашё ва аралашмаларга оид инфрақизил спектрлардаги ютиш полосалари

15 - жадвал

Модданинг номи, формуласи ва маълумот манбаси		Ютиш области					
	θ, см <sup>-1</sup>	I	θ, см <sup>-1</sup>	I	θ, см <sup>-1</sup>	I	
Аморф киарц – SiO <sub>2</sub> , [18]	468	Ки.	700	Кз.	804	У	
	-	-	-	-	1098	Ж.ки.	

$\alpha$ - Кварц – $\text{SiO}_2$ [18]	468 523 -	Ки. У. -	695 784 -	У. Ки. -	794 1095 1168	Ки. Ж.ки. Ки.
Тридимит – $\text{SiO}_2$ [18]	420 478 568	Кз Ки Кз	620 695 798	Кз Кз. У.	830 940 1105	Кз Кз Ж.ки.
Кристобалит – $\text{SiO}_2$ [18]	417 495	Кз Ки	620 755	У. У.	1105 1200	Ж.ки. Ки.
Коксигт – $\text{SiO}_2$ [18]	435 468 561 600	Ки Кз. У. У.	683 794 804 1036	У. Кз Кз Ки	1077 1158 1218 -	Ж.ки. Ки. Ки. -
Стишовит – $\text{SiO}_2$ [18]	560 628	Ки Ки.	672 730	Ки Ки	885 949	Кз Ки.
Силлиманит – $\alpha$ - $\text{Al}_2\text{O}_3 \text{SiO}_2$ [16]	1200 1180 960 913 888 820 -	Ки. Ки. Ки. Ки. Ки. Ки. -	751 692 635 581 543 534 -	У. Ки. У. Ки. У. У. -	508 491 440 374 346 335 322	Ки У Ки Кз Кз Кз Кз
Муллит – $3\text{Al}_2\text{O}_3 \cdot 2\text{SiO}_2$ [16]	1178 1145 915 845	Ки Кз. Ки. Ки.	750 620 585 550	У. Ж.кз. Кз Ж.кз.	510 435 - -	Ж.кз. Ж.кз. - -
Эгирин – Акмит $\text{Na}_2\text{O} \text{FeO} \cdot 2\text{SiO}_2$ [16]	467 507 545 560	Ки. Ки. Ки. Ки.	639 725 864 897	У. Кз Ки. Ки.	950 1004 1059 -	Ж.кз. Ж.кз. Ж.кз. -
Геденбергит – $\text{CaO} \text{FeO} \cdot 2\text{SiO}_2$ [16]	466 492 518 624	Ж.кз. Ж.кз. Ж.кз. У.	663 860 912 -	У. Ж.кз. Ж.кз. -	959 1056 1089 -	Ж.кз. Ж.кз. Ж.кз. -
Диопсид – $\text{CaO} \text{MgO} \cdot 2\text{SiO}_2$ [34]	435 485 515 635	Ж.кз. Ки. Ки. У.	675 790 870 920	Ж.кз. Ки. Ки. Ки.	970 985 1080 1100	Ки. Ки. Ж.ки. У.
Диопсид – $\text{CaO} \text{FeO} \cdot 2\text{SiO}_2$ – таркибли ши- ша[34]	505 -	Ки. -	780 -	Кз. -	950 1020	Ж.ки. Ж.ки.
Геленит – $2\text{CaO} \cdot \text{Al}_2\text{O}_3 \cdot \text{SiO}_2$ [29]	415 450 482 530 -	Ки. Ки. У. Кз -	647 675 714 803 -	Кз. Кз. Кз. Ки. -	850 875 921 976 1023	Ки. Ки. Ки. Ки. Ки.
Стронциевый тепенит – $2\text{SrO} \cdot \text{Al}_2\text{O}_3 \cdot \text{SiO}_2$ [29]	415 480 522 625	Ки. У. Кз. Кз.	686 785 840 880	Кз. Ки. Ки. Ки.	900 976 1016 -	Ки. Ки. Ки. -

$\beta$ -Волластонит – $\text{CaO} \cdot \text{SiO}_2$ [16]	1087 1056 1019 964	Ж.ки. Ж.кз. Ж.кз. Ж.кз.	925 904 650 642	Ж.кз. Ж.кз. У. У.	566 508 471 452	У. У. Кз. Ж.кз.
Бустамит – $\text{CaO} \cdot \text{MnO} \cdot 2\text{SiO}_2$ [16]	1086 1062 979 951 911	Ки. Ж.кз. Ж.кз. Ж.кз. Ж.кз.	872 850 803 660 619	Ж.кз. У. У. У. У.	560 525 510 465 450	У. У. Кз. Ж.кз. Ж.кз.
Родонит – $\text{CaO} \cdot 4\text{MnO} \cdot 5\text{SiO}_2$ [16]	1080 1063 1023 998 951 916	Ки. Ж.кз. Ж.кз. Ки. Ж.кз. Ж.кз.	900 720 690 661 638 577	Ж.кз. У. Кз. У. У. У.	559 532 514 492 458 -	У. У. У. Ж.кз. Ж.кз. -
Тремолит – $2\text{CaO} \cdot 5\text{MgO} \cdot 8\text{SiO}_2 \cdot \text{H}_2\text{O}$ [16]	1107 1074 1048 1020 998 952	Ж.кз. Ки. Ки. Ки. Ж.кз. Ж.кз.	920 758 730 687 662 645	Ж.кз. У. Кз. У. Кз. Ки.	530 510 466 451 -	Ж.кз. Ж.кз. Ж.кз. Ж.кз. -
Актинолит – $2\text{CaO} \cdot 5(\text{Mg}, \text{Fe})\text{O} \cdot 8\text{SiO}_2 \cdot \text{H}_2\text{O}$ [16]	1094 1052 1037 1012 985 948	Ж.кз. Ки. Ки. Ки. Ж.кз. Ж.кз.	914 755 727 682 658 -	Ж.кз. У. Кз. У. Кз. -	646 540 507 466 453 -	Кз. Ки. Ж.кз. Ж.кз. Ж.кз. -
Антофиллит – $7(\text{Mg}, \text{Fe})\text{O} \cdot 8\text{SiO}_2 \cdot \text{H}_2\text{O}$ [16]	1097 1059 1047 1016 976 917	Ж.кз. Ки. Ки. Ж.кз. Ж.кз. Ки.	903 781 756 755 710 688	Ки. У. Кз. Ж.кз. У. У.	662 553 532 494 448 -	У. Ки. Ки. Ж.кз. Ж.кз. -
Тальк – $3\text{MgO} \cdot 4\text{SiO}_2 \cdot \text{H}_2\text{O}$ [16]	4330 4200 3670 1919 1866 1818 1770	Ж.кз. Ж.кз. Кз. Ж.кз. Ж.кз. Ж.кз. Ж.кз.	1706 1045 1018 783 690 670 -	Ж.кз. Ж.кз. Ж.кз. Ж.кз. У. Ки. -	539 500 467 452 447 426 -	У. Кз. Ж.кз. Ж.кз. Ж.кз. У. -
Сапонит – $\text{Mg}_3(\text{Al}_{0.33}, \text{Si}_{3.66}) \cdot \text{O}_{10} \cdot (\text{OH})_2 \cdot \text{Na}_{0.33} \cdot \text{H}_2\text{O}$ [16]	4330 3697 3670 1056 1005	Ж.кз. Кз. Кз. Ж.кз. Ж.ки.	809 783 737 692 655	Ж.ки. Кз. Кз. У. У.	534 490 464 450 420	У. Кз. Ж.ки. Ж.ки. У.
Гекторит – $(\text{Mg}, \text{Li})_3(\text{Al}_{0.33}, \text{Si}_{3.66}) \cdot \text{O}_{10} \cdot (\text{OH})_2 \cdot \text{Na}_{0.33} \cdot \text{H}_2\text{O}$ [16]	4330 3600 3610 1073	Ж.кз. Кз. Кз. Ж.ки.	1011 795 696 -	Ж.ки. Ж.ки. У. -	655 533 465 -	У. У. Ж.ки. -

Окерманит – 2CaO MgO 2SiO <sub>2</sub> [29]	380 460 560 600	Kз. Ù. Kз. Ù.	675 830 880 -	Kз. Ки. Ки. -	920 950 1000 -	Ки. Ки. Ки. -
Бериллийти окерманит – 2CaO BeO·2SiO <sub>2</sub> [29]	390 460 550	Kз. Ù. Kз.	675 840 900	Ù. Ки. Ки	950 975 1000	Ки. Ки. Ки
Гардистонит - 2CaO ZnO 2SiO <sub>2</sub> [29]	430 475 560 600	Ù. Kз. Kз. Ù.	640 830 900 -	Kз. Ки. Ки. -	940 1000 -	Ки. Ки. -
Кургошинти гордистонит – 2PbO ZnO 2SiO <sub>2</sub> [29]	440 480 575 700	У. Kз. Ù. Kз.	800 860 900 -	Ки. Ки. Ки. -	930 975 1040 -	Ки. Ки. Ки. -
Синтетик β - Эвкриптил – Li <sub>2</sub> O·Al <sub>2</sub> O <sub>3</sub> ·2SiO <sub>2</sub> [16]	480 520 540	Kз. Ж.кз. Kз.	665 754 805	Kз. Ù. Kз.	1003 1040 1150	Ки. Ки. Кз.
Синтетик α - Эвкриптил – Li <sub>2</sub> O·Al <sub>2</sub> O <sub>3</sub> ·2SiO <sub>2</sub> [16]	480 510 560 612 -	Ки. Ù. Kз. Ù. -	665 705 762 920 -	Kз. Ки. Кз. Кз. -	937 962 985 1015 1052	Ки. Ки. Ки. Ки. Ки
Табиии Эвкрип- тил – Li <sub>2</sub> O·Al <sub>2</sub> O <sub>3</sub> ·2SiO <sub>2</sub> [16]	480 514 560 614 686	Ки. Ù. Ù. Ù. Ù.	708 768 796 916 999	Ки. Кз. Кз. Ки. Ки.	967 985 1013 1028 1053	Ки. Ки. Ки. Ки. Ки.
Кордиерит – 2(Mg,Fe)O 2Al <sub>2</sub> O <sub>3</sub> ·5SiO <sub>2</sub> [18]	420 450 485 570 580	Ки. Ки. Ки. Кз. Ù.	620 675 760 773 912	Ù. Кз. Ки. Ки. Ки.	960 1027 1100 1148 1181	Ж.ки. Ù. Кз. Ки. Ж.ки.
Миларит – K <sub>2</sub> O 4CaO 4BeO· Al <sub>2</sub> O <sub>3</sub> ·24SiO <sub>2</sub> [18]	420 480 510 610	Ки. Ù. Кз. Кз.	630 740 755 780	Кз. Кз. Ù. Ù.	970 1020 1130 -	Ки. Ж.ки. Ки. -
Калийтитанти силикат – K <sub>2</sub> O·TiO <sub>2</sub> ·3SiO <sub>2</sub> H <sub>2</sub> O [18]	475 525 590	У. Ж.кз. Ж.кз.	753 865 -	Ки. Кз. -	975 1027 -	Ки. Ж.ки. -
Калиймарганец цинкли силикат – KMn <sub>2</sub> Zn <sub>3</sub> Si <sub>12</sub> O <sub>30</sub> [18]	420 450 485 570 580	Ки. Ки. Ки. Кз. Ù.	620 675 760 773 912	Кз. Кз. Ки. Ки. Ки.	960 1027 1100 1148 1181	Ж.ки. Ù. Кз. Ки. Ки.

Турмалин – NaMg <sub>3</sub> Al <sub>6</sub> (OH) <sub>4</sub> (BO <sub>3</sub> ) <sub>3</sub> Si <sub>6</sub> O <sub>18</sub> [18]	726 760 790 857	У. Кз. Ү. Кз.	1000 1030 1058 1107	Ки. Ки. Ки. Ки.	1306 1347 – –	Ки. Ү. – –
Хирмонтспа кони лёсси [35]	480 520 560	Ки. Ж.кз. Ж.кз.	670 700 710	Кз. Кз. Кз.	800 1000 1400	Ү. Ки. Ү.
Ангрен кони иккитамчи кво- лини [35]	475 625 700	Ки. Кз. Кз.	810 950 1100	У. Кз. Ки.	1400 – –	Кз. – –
Камишбози – Чимион кони гилис [35]	480 510 530	Ки. Ү. Ү.	710 750 810	Кз. Кз. Ү.	850 1050 1410	Ү. Ки. Кз.
Бандихон кони гилтупроги [35]	840 545 650	Ки. Ки. Кз.	675 690 710	Кз. Кз. Кз.	810 1050 1460	Ү. Ки. Кз.
Сардара кони фосфорити [30]	410 475 525 575	Кз. Кз. Кз. Ү.	610 660 695 720	У. Кз. Кз. Кз.	880 980 1050 1100	Ү. Кз. Ки. Ки.
Сардара кони фосфорити – 1350°C да куйди- рилган [30]	410 475 525 580	Кз. Кз. Кз. Ү.	610 655 975 1050	У. Кз. Кз. Ки.	1105 1160 – –	Ки. Ки. – –
Кермана кони кварц – дала шпати [30]	700 710 795	Ж.кз. Кз. Ү.	815 1075 1180	У. Ж.ки. Ки.	1500 1670 1857	Кз. Кз. Кз.
Битаб кони кварц – дала шигаги [30]	430 465 535 590	У. Кз. Ж.кз. Ү.	615 630 730 775	Кз. Кз. Кз. Кз.	1015 1055 1140 –	Ки. Ки. Ки. –
Битаб кони фос- форити – 1350°C да куйдирлилган [30]	420 460	Ү. Ү.	570 730	Кз. Кз.	766 1060	Кз. Ки
Султонуиздаг кони дала шпати [30]	430 465 535 518	Ү. Кз. Кз. Ү.	615 650 730 770	Кз. Ү. Ү. Ү.	1020 1050 1145 –	Ки. Ки. Ки. –
Султонуиздаг кони фосфорити – 1350°C да куй- дирлилган [30]	420 460	Ү. Ки.	575 730	Кз. У.	775 1060	Ү. Ки
Ангрен кони риолити [30]	420 465 540 580	Ки. Ү. Кз. Кз.	640 690 730 770	Кз. Кз. Ки. Ү.	795 1040 1140 –	Ү. Ки. Ки. –

Тошкент чинни корхонаси массаси – 1350°C да күйдирілгән [30]	465 560 615	Ки Ү. Кз.	650 695 720	Кз. Кз. Кз.	800 1085 1160	у Ки Ки
Бітаб кони дала шпати киритилгән чинни массаси – 1350°C да күйдирілгән [30]	470 515 575	у Кз. Ж.кз.	615 700 780	Ж.кз. Ж.кз. у.	800 1090 1160	у Ки Ки
Султонуиздаг кони дала шпати киритилгән чинни массаси – 1350°C да күйдирілгән [30]	465 555 615	Ки ү. Кз.	700 800 1090	Кз. ү. Ки.	1150 - -	Ки - -
Чияли кони дала шпати киритилгән чинни массаси – 1350°C да күйдирілгән [30]	470 555	Ки ү.	615 700	Кз Кз.	790 1090	Кз Ки.

Изоҳ: Бу ерда ва бошқа жадвалларда қыйидаги қисқартыршлар киритилгән: Ки – кучли, Ж.ки – жуда кучли, ү – ўртача, Кз – кучсиз, Ж.кз – жуда кучсиз.

### Такрорлаш учун саволлар

- ИҚ нури ким томонидан ва қачон кашф этилган?
- Инфрақизил нурларининг түлқин узунлигини  $\text{Å}$ , мкм ва  $\text{cm}^{-1}$  үлчов бирлікларида көлтириңг.
- ИҚ нурларини қайтариш ва утказиш миқдорлари қандай формулалар билан ифодаланади?
- Моддаларнинг инфрақизил спектрлари нима билан изоҳланади?
- ИҚ нурларни ютиш, утказиш ва қайтариш спектрлари қандай ифодаланади?
- Нур ютиш полосалари ҳақида түшүнчә беринг.
- Нур утказыш полосалари мөхияттини түшүнтириб беринг.
- ИҚ нурларининг қайтарилиш спектрлари ҳақида гапириб беринг.
- Инфрақизил спектроскопия аппаратларидан қайсиларини биласиз?

10. ИК спектрометрларнинг соддалаштирилган схемасини келтириңг.

11. ИК спектрометрларининг шаффоф призмалари сифати-да қандай моддалар ишлатилади?

12. ИК нурланиш манбай ҳақида маълумот беринг.

13. Препаратлар қандай усулларда тайёрланади.

14. ИК спектрларини ёзиб олиш мосламаси ҳақида нима-ларни биласиз?

16. Кремнезем ИК спектрлари полосаларининг экстремум-лари ҳолати қандай?

17. Кремний тетраэдрларига қандай полосалар хос?

18. Алюминий гуруұлар учун қандай полосалар хусусиятли хисобланади?

## ТҮРТИНЧИ БОБ ТЕРМОГРАФИК ТАҲЛИЛ

### 28-§. Термография усули табиати

Термография ноорганик моддалар, силикат ва зўрғасуюлувчан материалларни қиздириш жараёнида содир бўладиган процессларни ўрганади. Улар, одатда, иссиқлик эфектлари билан боғлиқ.

Термография усулининг турлари жуда кўп. Энг асосийлари категорига киради:

1. Термик анализ.
2. Дифференциал термик анализ (ДТА).
3. Комплекс термик анализ.
4. Дериватография.
5. Тензиметрия.
6. Газоволюметрия.
7. Дилатометрия.

Биринчи марта қиздириш эгриликлари француз олимни Ле-Шателье томонидан 1887 йилда олинган, у ҳароратни платина - платина-родийли термопараларда ўлчаш орқали термографик эгри чизиқларни ҳосил қилиш мумкинлигини кўрсатди.

Узоқ йиллар давомида тадқиқотчилар қиздириш эгрилигини вақт ва ҳарорат боғлиқлигини координата чизигида қайл этғанлар. Бироқ кичик эфектларни бу эгриликларда топиш қийин. 1899 йилда Робертс-Остин дифференциал термопара қўллади, бу термопаралар кичик миқдордаги иссиқликни сенувчандир.

1904 йилда француз муҳандиси Саладин Ле-Шателье билан биргаликда координатада термик эгриликларни олувчи аппарат яратдилар. Алпаратта қўйидаги икки фактор асос қилиб олинди:

- 1) Эталон ва намуна ҳароратининг фарқи;
- 2) Намуна ҳарорати.

Бу усули янада ривожлантиришга рус олимлари харакат қилдилар. Россияда термик таҳлил асосчиси Н.С. Курнаков

бўлиб, у 1904 йилда ҳозирги кунда ҳам қўлланилаётган пирометрия яратди.

МДХ давлатларида илмий-тадқиқот ишларини ривожланиши натижасида тизимларни физик-кимёвий ва минерологик таркибларини ўрганиш бўйича қиздириш эгриликлари усулидан силикатлар, руда тузлари ва қотишмаларни ўрганиш учун фойдаландилар.

Термик таҳлилдаги дифференциал ёзувларнинг киритилиши усул сезувчанлигини янада ортириди. Икки туздаги термик таҳлил-дифференциал ва оддий эгриликлар ёзила бошлади. Қиздириш эгриликларини ёзиш учун приборга иккита ўта сезувчан кўзгули гальванометр ўрнатилган. 1943 йилда Ф.В. Сиромятников тажриба вақтида дифференциал қиздириш эгрилигига ҳарорат шкаласини суртиш (тушириш) усулини так юнф қилганидан сўнг, термик таҳлил учун аппаратга иккичи кўзгули гальванометрининг уланиши ва оддий қиздириш эгрилигини ёзишнинг хожати бўлмай қолди. Янги функциялар билан термик таҳлил физик-кимёвий анализ рамкасини яна кенгайтириди. 1939 йилда И.В. Тананаев термик таҳлилни термография деб аташни таклиф этди.

Термография деганда текширилаётган модданинг ихтиёрий нуқтасидаги ҳароратни (ёки ҳароратдаги бирор функцияни) аниқ дастур бўйича моддани узлуксиз равишда қиздирилганда ёки совитилгандаги ҳолатини қайд этиш тушунилади.

Усулнинг физик моҳияти: физик ва кимёвий жарёнларнинг катта қисми иссиқликни ажралиши ёки ютилиши билан боради. Баъзи бир жараёнлар тўғри ва қайтар йўналишида, баъзилари эса фақат бир йўналишда содир бўлади.

Қайтар жараёнларга киритиш мумкин: эриш-кристалланиш, қайнаш-конденсация, полиморф ўзгаришлар, мураккаб бирикмаларнинг ҳосил бўлиши ва парчаланиши, диссоциация.

Қайтмас жараёнларга киритиш мумкин: кам барқарор ҳолатдан юқори барқарор ҳолатга ўтиш реакциялари, қаттиқ эритмаларнинг парчаланиши, аморф ҳолатдан кристалл ҳолатга ўтиш, ўзаро таъсир реакциялари, монотроп ўзгариш ва бошқалар.

Ҳамма жараёнлар иссиқликнинг ютилиши ёки ажралиши билан боради, буни ҳароратни ўлчаш йўли билан ўрганиш мумкин. Жараённи боришини ўлчовчи приборлар ёрдамида қайд этилади. Тажриба натижаларини эгри чизиқлар орқали ифодалаш мумкин, бунда вақт ва ҳароратни боғлиқлиги ифо-

даланади. Агар текширилаётган моддада бирорта фазовий ўзгариш ёки кимёвий реакция содир бўлса, қиздириш режими бузилади. Унинг бузилиши қиздириш эгрикларида ёки майдонда пайдо булиш билан бирга боради.

Қуйида ҳарорат ўзгаришига асосланган термик анализ турى. ҳарорат ўзгаришига боғлиқ физик параметр ва бу ўзгарувчан параметрни қайд этувчи асбоб схематик равишда қайд этилади. термик анализ (ТА) → энтальпия → калориметрлар; дифференциал термик анализ (ДТА) → намуна ва этalon уртасидаги ҳарорат фарқи → ДТА аппаратлари; термогравиметрик анализ → масса → термоторозлар; дифференциал йўналувчан калориметрик анализ → намунага ўтказилган иссиқлик → дифференциал калориметр; солиштирма иссиқлик сиғими → дифференциал калориметр; динамик қайтарувчан спектроскопик анализ → намунанинг акс этирилиши → спектро-рефлектометрлар; термолюминесцент анализ → нур эмиссияси → термолюми-несцент аппаратлари; термооптик анализ → птик константалар → қиздириладиган ёргулик микроскопи; дилатометрик (термомеханик) анализ → чизиқли ўлчамлар ёки ҳажми → дилатометр; электрўт-казувчанлик → электр қаршилиги → Қаршилик кўприги; юқори ҳароратли рентгенографик анализ → юзалар-аро масофалар → қиздиришга мойия рентген дифрактометри; термометрик титрлаш анализи → моддалар концентрацияси → термометрик титрометр; газоволюметрик анализ → газ ҳажми → газ волюметри; дифференциал газовольметрик анализ → газ ажralишининг тезлиги → дифференциал газ волюметри.

## 29-§. Термик анализ

Системанинг бирорта кўрсаткичининг катталиги мавжуд фазаларни аста-секин миқдорий нисбатда ўзгаришида бирор фазанинг йўқолиб кетиши ёки янги фазанинг сакраб ўзгаришида пайдо бўлади. Бу эгрилик термик усули орқали олинади. Бунда координата ўқларида модда ҳарорати ва унга жавобан ҳарорат ва абцисса ўқларида вақт қайд этилади.

Масалан: I - эффект:  $MgCO_3 \rightarrow MgO + CO_2$  ёки полиморфизм;

- II - эффект:  $CaCO_3 \rightarrow CaO + CO_2$  ёки эритиш.

Киздириш вақтида фазовий ўзгаришлар рўй бериши ва унинг бошланиши аниқ нуқтадан бошланади. Модданинг қиздириш эгрилиги бу вақтда тезлашиши ёки секинлашиши мумкин. Масалан,  $\alpha\text{-Al}_2\text{O}_3$  да қиздириш жараёнида ҳеч қандай фазовий ўзгаришлар содир бўлмайди. Шунинг учун у этalon сифатида ишлатилади. Бу инерт модда ҳам печга жойланади ва худди текширилаётган намуна тезлигига қиздирилади.

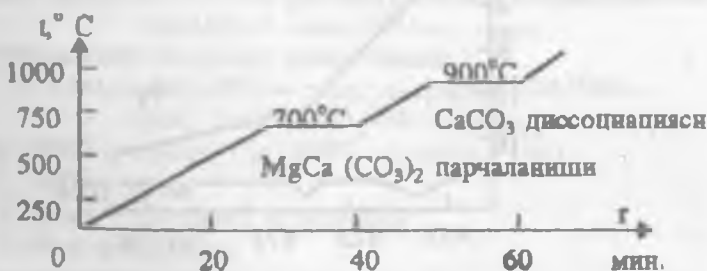
Ҳароратнинг ўзгариши эгриликларнинг горизонтал участкаларида кўринади (31-расм).

Карбонатларнинг диссоциацияси ва гидратларнинг сувсизлантиришдаги қиздириш ҳароратини аниқлаш муҳим ахамиятга эга. Шуни ҳам назарда тутиш керакки, олинаётган ҳарорат эфектлари қиймати қиздириш тезлиги, намуна оғирлиги ва бошқа параметларга таъсир этади.

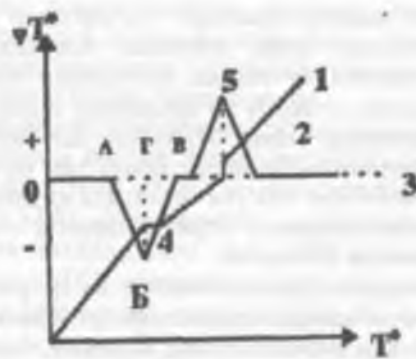
Қиздирилаётган ёки совитилаётган модда ҳароратни гальванометрнинг курсаткичидаги қиздириш ёки автоматик тарзда ёзиш мумкин. Қиздириш ёки совитиш эгриликларини автоматик тарзда ёзишда автоматик ўзи қайд этувчи акад. Н.С. Курнаков тизимидағи пиromетрлар қўлланилади.

Курнаков пиromетрларида термопара кўзгули гальванометрга уланади, бунда бир меъёр тезлик билан ҳаракатланувчи барабанга ёруғлик нури тушади. Барабан ёруғлиги сезувчан қоғозга ўралган бўлиб, унда автоматик тарзда термик эгриликлар ёзилади.

Узоқ вақт давомида акад. Н.С. Курнаков томонидан яратилган пирометрлар термография усулининг асосий асбоби вазифасини ўтади.

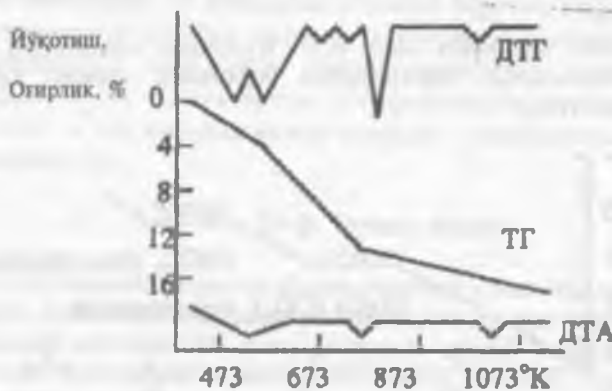


31-расм. Доломит минералининг термик анализига оид вақт-ҳарорат диаграммаси.



32-расм.

32-расм. ДТА табиатини очиб берувчи диаграмма: 1-қиздириш эгрилиги (термик таҳлил); 2-дифференциал эгрилик (ДТА); 3-нол линяси; 4-эндотермик эффект; 5-иссиқликни ажралишига оид экзотермик эффект, масалан, кристаллизация жараённан янги фаза ёки 2 фазадан янги бир фаза ҳосил булишида; АБВ-эндотермик эффект чүккүларини үлчами; АВ-чүккүнинг кенглиги; ГБ-чүккүнинг чукурлигиги ёки баландлиги-термик реакция интенсивлигини күрсаткичи.



33-расм. Тоза цемент хамирига оид дериватограмма.

### 30-§. Дифференциал термик анализ (ДТА)

Күпгина ҳолларда реакцияларнинг термик эффекти жуда кичик, шунинг учун унга мос эгриликлар кам сезиларли. Бундай ҳолларда термопаранинг сезувчанлигини дифференциал схема қўллаш билан катталаштирилади (32-расм).

Берилган ушбу ҳолатда дифференциал термопара бир вақтнинг үзида иккита ҳароратни ўлчайди: 1) текширилаётган модданинг температураси; 2) ҳарорат фарқи ёки қиздирилаётган модданинг текширилаётган ҳарорат интервалида термик ўрганишга йўл қўймайдиган инерт моддага нисбатан ўзгариши.

ДТА чизиги ёки эгриликларида эндотермик эффектлар қўйидаги ҳолларда рўй беради:

1) Термик бузилиш ёки текширилаётган моддадан газсимон фаза ажралиши билан. Масалан, тупроқ минерали  $\text{Al}_2\text{O}_3 \cdot 2\text{SiO}_2 \cdot 2\text{H}_2\text{O} \rightarrow \text{Al}_2\text{O}_3 \cdot 2\text{SiO}_2 + 2\text{H}_2\text{O}$  (дегидратация); оҳактош  $\text{CaCO}_3 \rightarrow \text{CaO} + \text{CO}_2$  (декарбонизация);

2) Термик парчаланиш, яъни газсимон фаза ажралмасдан модданинг парчаланиши билан.

Масалан, алит минералининг парчаланиши:



3) Энантиотрон характерли полиморф ўзгариш билан. Масалан,  $\alpha$ -кварц  $\rightarrow$   $\alpha$ -тридимит (кенгайиш 16%);  $\beta\text{-CaSiO}_3$  ( $2,91\text{-g/cm}^3$ )  $\rightarrow$   $\alpha\text{-CaSiO}_3$  ( $2,90\text{-g/cm}^3$ ).

4) Модданинг инконгруэнт эриши билан, янга таркибнинг суюқ ва қаттиқ фазаларини ҳосил бўлиши билан биргаликда,



5) Модданинг конгруэнт эриши билан:



6) Қайнаш – бўғланиш ва возгонка;

7) Қайтар реакциялар.

Моддаларнинг дифференциал термик анализ шаклларида экзотермик эффект қўйидаги сабаблар туфайли содир бўлади:

1) Оксидланиш реакцияларида  $\text{Fe} + \text{O} \rightarrow \text{FeO}$ ;  $\text{Ce}_2\text{O}_3 + \text{O} \rightarrow 2\text{CeO}_2$ ;

2) Мон троп характерли полиморф ўзгариш, берилган көрөттөрдөн барқарор модификациядан барқарорға ўтиш билан биргаликда



3) Нобар арор аморф ҳолатидан кристалл ҳолатига ўтиш билан



4) Бирикма реакцияси билан. Масалан, алитнинг ҳосил бўлиши:



5) Абсорбция жараёни рўй берганида;

6) Адсорбция жараёнида;

7) Кристалларнинг йириклиши жараёнида;

8) Хемосорбция жараёни юз берганида;

9) Изомеризация жараёнида.

Юқорида қайд этилган эффектлар табиатига кўра, 2 гурӯхга ажralади – физик ва кимёвий ўзгаришлар.

Физик термоэффект берувчиларга киради: абсорбция, адсорбция, полиморф ўзгариш, кристаллар йириклини, десорбция, эриш, аморф ҳолатидан кристалл ҳолатига ўтиш, сублимация ва бўйланиш.

Кимёвий термоэффект берувчи жараёнлар сафига хемосорбция, булиниши реакциялари, дегидратация, десольватация, газли мұхитда оксидланиш, молекулалар камайиши билан рўй берадиган оксидланиш реакциялари, оксидланиш – қайтарилиш реакциялари, газли мұхитда қайтарилиш, қаттиқ фазада рўй берувчан реакциялар, бириктириш ва ўрин алтасишиш реакциялари, изомеризация ва бошқалар киради.

### 31-§. Комплекс термик анализ

Усул Г.Н. Воронков (1953 й.) ва Э.К. Келер (1955 й.) томонидан керамик ҳом ашёларни текшириш учун ишлаб чиқилган. Унда Келер бўйича қуйидагилар бор: 1) одатдаги ДТА; 2) қиздириш жараёнида материалнинг узайиши ёки қисқаришини аниқлаш; 3) қиздиришда материал оғирлигининг ўқолишини аниқлаш.

Воронков бўйича, КТА га киради: 1) ДТА эгриклари; 2) оғирликнинг ўзгариш эгрилиги; 3) ҳажм ўзгариш эгрилиги; 4) электрқаршилик эгрилиги.

Фотоқайд этиш қурилмаси сифатида Курнаков пирометри ишлатилган: барабаннинг фотоқозозида бир вақтнинг узида термик эфектлар, намунанинг оғирлиги ва ҳажмнинг ўзгариши қайд этилади. Намунанинг чизиқлари ўлчамини ўзгариши (тажрибадан олдин кўйилган белги) фото қайд этиш учун оптик системада берилган.

Термогравиметрик чизиги олишда, шу жумладан, комплекс термик анализда ҳам худди бошқа термография методларида рўй берадиган ҳолатдагидек кўп факторлар мавжуд. Улар тажриба натижаларининг аниқлиги ва қайта тикланишига гоҳ ижобий, гоҳ салбий таъсир ўtkазади. Уларни икки асосий гуруҳга бўлиш мумкин:

1. Ўлчовчи асбоблар (термотарозлар) тузилиши ва ишлиши билан боғлиқ бўлган факторлар:

- а) печ қиздирилиш тезлиги;
- б) ёзиш тезлиги;
- в) печ атмосфераси;
- г) намуна ушлагич шакли;
- д) ёзув қурилмасининг сезгириллиги;
- е) намуна контейнери материалининг кимёвий таркиби.

2. Намуна таркиби:

- а) намуна массаси;
- б) намунада ажralиб чиқарилаётган газнинг қайта эриши;
- в) намуна бўлакчалари ўлчами;
- г) реакция иссиқлиги;
- д) намуна бўлакчаларининг зич жойлашиши;
- е) намунанинг кимёвий таркиби;
- ж) иссиқлик ўтказувчанлик ва ҳоказо.

### 32-§. Дериватографик анализ

Бу усулга К.Хонда 1915 йили асос соглан ва илк бор термотарозилар яратган. 1915-1920 йиллар давомида усулнинг термогравиметрия қисми Гайчар томонидан ривожлантирилган. Утган асрнинг 40-50 йилларида Дюваль усул афзалларини амалда синааб кўрсатган. 50-чи йилларда эса юқори сифатли саноат термотарозилари пайдо бўлди. Бу эса дериватографиянинг пайдо бўлишига олиб келди.

Дериватографиянинг анъанавий ДТА дан фарқи шундаки, бир намунанинг ўзида энталпия ва оғирликни йўқотиш қайд этилади. Оддий ҳолдаги дифференциал термотаҳтилда ҳарорат намунада, термогравиметрияда эса-печдаги мухитда ўлчанади. Бу эгриликларни мос равища қўйишда қийин-чиликларни юзага келтиради ва хатоларга йўл қўйишга олиб келади.

1955 йилда венгер фуқаролари Ф.Паулик, И.Паулик ва Л.Эрдан дериватография усули бўйича таклиф киритишган. Бу усул бўйича автоматик равища тўртта эгрилик қайд этилади: 1) ҳарорат эгрилиги; 2) ДТА эгрилиги; 3) термогравиметрик эгрилик (ТГ); 4) дифференциал термогравиметрик эгрилик (ДТГ).

ДТГ бўйича қиздириш жараёнида оғирлик тезлигининг ўзгариши аниқланади. Бу эса ўз навбатида термографик эгрилик ТГ устига устма-уст тушган процессларни ажратишга имкон беради.

Бунга эришиш учун дериватограф тарозиси чашкаларидан бирига перманент магнит ўрнатилган бўлиб, у обмотка ичидан вертикал ўқда жойлашган. Материални қиздириш билан оғирлиги ўзгаришида магнит қиздириш тезлигига пропорционал равища суриласди. Магнит майдонида ҳосил бўлган ток магнит узатиш тезлигига пропорционал бўлади ва унинг кучланиши приборда фотографик йўл билан қайд этилади.

Мисол тариқасида, юқорида тоза цемент ҳамири (юза кўрсаткичи  $4000 \text{ см}^2/\text{г}$  га, сувцемент нисбати 0.25, қолиплаш ҳарорати 293 К га ва ёши 28 суткага тенг)ни қиздиришда ҳосил бўладиган дериватограмма берилган (33-расм).

### 33-§. Усулнинг аппаратуралари

Термография усулларининг имконияти катта. Энг аввало, улар ёрдамида текширилаётган моддада содир бўладиган эндо-термик ва экзотермик эффектларни қайси ҳарорат нуқтасида бошланиши ва қайси ҳароратда тугаши ҳақида ўта аниқ хуласага эга бўламиз. Бу эса биринчи ҳарорат нуқтасининг пасти ва иккинчи ҳарорат нуқтасининг тепа томонларида рентгенографик, ИК спектроскопик ва микроскопик тадқиқотлар ўтказиб, фиксация қилинган эффект моҳиятини англашга олиб боради.

Термограф тадқиқотларни ўтказишда танланган аппаратура, тигел ва термопаралар роли ниҳоятда катта. Айниқса, тажрибаларни 1500 ва ундан юқори ҳароратда олиб борилганда намуна

ва термопара симларининг учмаслигини таъминлаш, тигел тозалаш жараёнини осонлаштириш ва ҳоказо талаб қилинади.

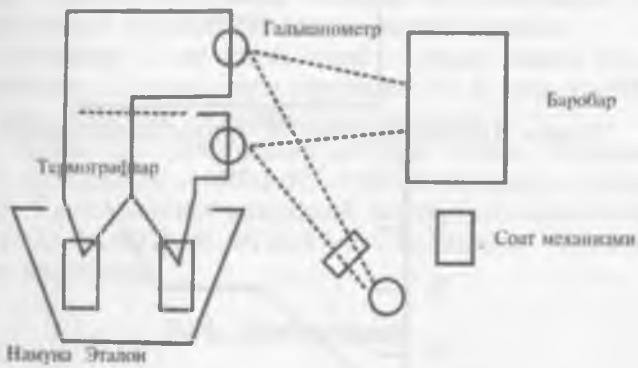
Агар тадқиқотларда термик таҳлил усули қўлланмаса, у ҳолда жуда кўп марта намуналарни кўйдириш, жуда кўп рентгенограммалар олиш ва уларни расшифровка қилиш, кўп сонли шлифлар ясаш ва тадқиқотлар ўтказиш керак бўлар эди. Термография эса олимлар ишини тизимга солди ва тадқиқотлар сонининг максимал камайтириш имконини берди.

Замонавий термик жиҳозлар учун қўйидагилар талаб қилинади (34-расм):

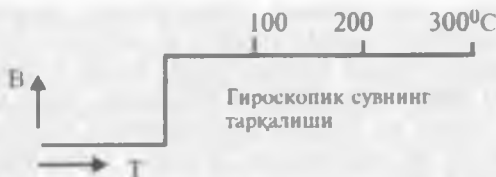
1) Вольфрам ( $2800^{\circ}\text{C}$  гача), электрографит ( $2000^{\circ}\text{C}$  гача), родий ( $1800^{\circ}\text{C}$  гача), силит ( $1500^{\circ}\text{C}$  гача), 10-20% родийли платина ( $1500^{\circ}\text{C}$  гача), глобар ( $1500^{\circ}\text{C}$  гача), платина ( $1400^{\circ}\text{C}$  гача), тантал ( $1330^{\circ}\text{C}$  гача), молибден ( $1200^{\circ}\text{C}$  гача), хромел ( $1100^{\circ}\text{C}$  гача), никром ( $1000^{\circ}\text{C}$  гача) каби қиздирилишларга эга бўлган электрик печлар.

2) Потенциал-регулятор ёки бошқа турдаги печ ҳароратини бир меъёрда кутарилишини таъминловчи жиҳоз. Булар қаторига автоматик ползункали реостатлар, автотрансформаторлар ва потенциал-регуляторлар киради. Контактли гальванометр ва потенциометрларни ҳам ишлатиш мумкин.

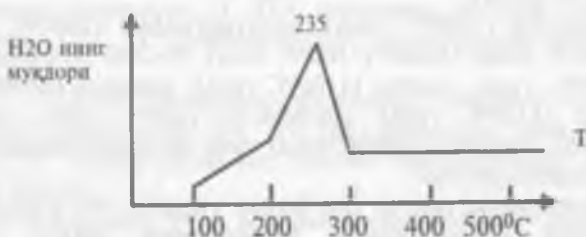
3) Эталон ва намуна солинадиган тигеллар (платинали, корундли, графитли ва бошқалар).



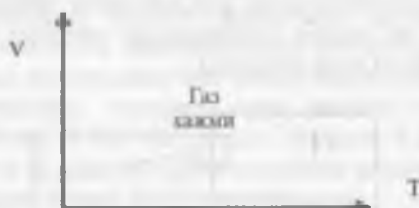
34-расм. Дифференциал термопарали Курнаков пиromетрининг чизмаси.



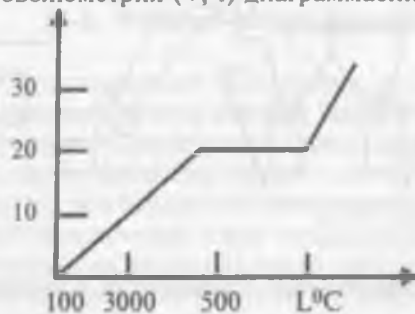
35-расм. Гипстош  $2\text{CaSO}_4 \cdot 2\text{H}_2\text{O}$  нинг тензиметрик ( $P, t$ ) чизиги.



36-расм. Табий гиббсит минералининг дифференциал тензиметрия чизиги.



37-расм. Газоволюметрия ( $V, t$ ) диаграммасининг кўриниши.



38-расм. Дилатометрия усули ( $v_l, t$ ) диаграммасининг кўриниши.

4) Платина – платинородийли (20% Rh), платина-платинародийли (10% Rh), хромел-алюмелли, вольфрам-мolibденли, никел-хромникелли, темир-константан, мис-константан ва бошқа оддий ва дифференциал термопаралар. Темир-константан термопара 185-370°C оралиғида, хромел-алюмелли қароратда 1200°C гача, платина-платинородийли эса 1400 °C гача ишлатилади. 1400°C дан юқоригоқ қароратда эса вольфрам, молибден, рений, тантал, ниобий ва уларнинг қотишмаларидан ясалган термопаралар ишлатилиши керак.

5) Натижаларни ёзувчи автоматик ёзув қурилмаси (фотоқайд этиш-ёзиш ёки потенциометр).

Күйида номи қайд қилинган жиҳозлар устида батағсил ту-шунтириш берилади:

1. Печлар: металл корпусли ҳимояланган, ичига қиздириш элементлари үрнатилган жиҳоз. Қиздириш элементи сифатида диаметри 0,5-1 мм бўлган никромли симлар (1273 К гача), қотишма Б-2 (1473 К гача), платина (1773 К гача), силитли (SiC+C, 1773 К гача) ва корборундли стерженлар (SiC, 1773 К гача) ишлатилади.

2. Печнинг терморегуляторлари сифатида автоматик сил-жувчи реостатлар, автотрансформаторлар ва программа билан бошқариладиган потенциал регуляторлари қўлланади.

3. Тигеллар - қалин деворли металл ёки керамика блоки, думалоқ ёки тўғрибурчак шаклда тайёрланган. Платинали ти-гелларни кислотада тозалаб, кўп вақт ишлатиш мумкин.

4. Термопаралар - энг катта талаб - модда билан узаро таъсирилашмаслик. Шунинг учун 1773 К гача Pt-PtRh ва 2273 К гача вольфрам - молибден ишлатилади.

5) Ўзи ёзувчи ёки регистрация қилувчи тизим. Электрон ўзи ёзувчи қурилмалар - ЭПП-09, ЭПД-09 типидаги потен-циометрлар. Курнаковнинг замонавий вариантдаги пиromетр-лари - ФПК-52, ФПК-54, ФПК-57 (тебранишга, механик таъсиirlарга чидамсиз).

### 34-§. Дериватограф

Чет элда чиқариладиган, МДҲ мамлакатларида қўллани-ладиган жиҳозга дериватограф номи билан аталувчи ва Будапештнинг "Метримпэкс" фирмасининг 1966 йилда Ф. Паулик ва бошқалар томонидан чиқарган модели жиҳоз бўлиб, унинг русуми ОД-102 дир.

Комплекс термоаналитик жиҳоз дифференциал термоаналитик аппаратлар, термотарози ва дифференциал термотарозидан иборат. Дериваторграф шу текширилаётган куқунда бир вақтнинг ўзида оғирликнинг ўзгариши (ТГ), оғирликнинг ўзгариш тезлиги (ДТГ), ҳароратлар фарқининг ўзгариши (ДТА) ва ҳароратнинг ўзгариши (Т) ни аниқлашга имкон беради.

Кўрсатилган тўрт хил ўлчаш тўла таҳлил шароитида - комплекс текширувни таъминлайди. Ҳарорат печда эмас, балки намунада ўлчанади, демак мoddанинг ҳарорат таъсирида ўзгариши юқори аниқликда ўлчанади.

Намуна учун тигеллар шундай ясалганки, унда содир бўлаётган қаттиқ фаза ва суюқ фазадаги реакцияларни ўрганиш мумкин. Дериваторграфнинг платина тигелидаги намунани ҳарорати электрик печ қизиши тезлиги билан бир хилда кўтарилади. Модданинг кукуни 50 дан 5000 мг. гача бўлади. Электропечнинг қизишини бошқарув программаси бўйича минутига  $0,5^{\circ}$  дан  $20^{\circ}\text{C}$  тезлик билан кўтарилиши таъминланади. Печнинг энг қизиган муҳитидаги максимал ҳарорат  $150$ ,  $300$ ,  $600$ ,  $900$ ,  $1200^{\circ}\text{C}$ . Максимал ҳато  $\pm 5^{\circ}\text{C}$ . Фотоқайд этувчи барабаннинг бир марта тўлиқ айланиши  $25$ ,  $50$ ,  $100$  ва  $200$  мин. да содир бўлади. Термограммалар  $25$ ,  $50$ ,  $100$ ,  $200$  минутда ёзилиши мумкин. Термограммадаги миллиграммлардаги оптик шкала намуна оғирлигининг камайишини аниқлаш учун қўйилган. Термограммалар инерт газда олиниши мумкин. Жиҳоз тўла автоматлаштирилган.

Ф. Паулик ва бошқалар томонидан яратилган «ОД-102» дериваторграфи конструктив 16 элемент, детал ва жиҳоздан ташкил топган: 1-намуна солинадиган тигел; 2-инерт модда солинадиган тигел; 3-чинни трубка; 4-термопаралар; 5-электр токи билан ишлайдиган печ; 6-ғижимланиб кетмайдиган сим; 7-тарозлар; 8-катушка; 9-магнит; 10-ТГП учун гальванометр; 11-ҳароратни ўлчовчи гальванометр; 12-ДТА гальванометри; 13-лампалар; 14-оптик тешикча; 15-фоторегистрация цилиндири; 16-фотоқоғоз.

МДҲ мамлакатларида мавжуд бўлган жиҳозлар қаторига қўйдагилар киради:

1) СГМ-8 полярографи билан комплексдаги ТП-1 типидаги термик мослама. У 1959 йилда Москвадаги Геологқидириув аппаратлари ва жиҳозлари заводида чиқарилган. Бу жиҳоз 15 минут давомида  $20^{\circ}$  дан  $1000^{\circ}\text{C}$  гача ДТА ни олиши мумкин.

Қиздириш тезлиги минутига  $70^{\circ}\text{C}$ , модда миқдори 0,05 дан 0,1 г. гача;

2) ТУ-1 типдаги термик қурилма:  $20^{\circ}$  дан  $1400^{\circ}\text{C}$  гача ДТА ни 15 минут давомида олади. Қиздириш тезлиги  $75\text{-}100^{\circ}$  бўлиб, текширилаётган модданинг миқдори 0,02-0,09 г ни ташкил этади.

3) УТА-Ітермооғирлик анализи қурилмаси. У бир вақтнинг ўзида иккита эгриликни ёзади: ДТА ва ТГ. Иссиклик оралиғи  $20^{\circ}$  дан  $1000^{\circ}\text{C}$  гача. Қиздириш тезлиги минутига 15, 30, 45, 60. Текширилаётган намуна миқдори макро ва микро тарзида бўлиши мумкин. Бу жиҳоз Санкт-Петербургдаги "Геологқидириув" заводида ишлаб чиқарилади;

4) Паст частотали термографик регистратор НТР-62. Россия ФА "Нодир жиҳозлар конструктив бюроси маркази" томонидан чиқарилган. Жиҳоз дастурли - қизиш учун бошқарув пультига эга бўлиб, қиздириш печи ва ўзи ёзувчи қурилмалардан ташкил топган. Ҳар икки минутда автоматик тарзда вақтни белгилаб борилади ва термограмма қофозининг пастки қисмига туширилади. Автоматик тарзда бошқариш ток бўйича бўлмай, балки ҳарорат бўйича олиб борилади. Барабаннинг айланиш тезлиги турлича. Барабаннинг бир марта тўлиқ айланиши 4, 8, 16, 32, 64, 128, 256 минут ва 24 соат давом этиши мумкин. Ўзи ёзувчи қурилма бир вақтнинг ўзида моддани қиздириш жараёнидаги тўрт хил хоссаларни ўзгаришини қайд этади.

### 35-§. Тензиметрия, газоволюметрия ва дилатометрия асбоблари

**Тензиметрия.** Минерални қиздириш жараёнида таркибида бор бўлган учувчан компонентларининг қайишқоғлигини қайд этишга асосланган.

Тензиметрия приборлари Хюттинг (1920 й.), Краусс ва Шривер (1930 й.), Сиромятников (1940 ва 1957 й.) томонидан яратилган. Бу приборлар газни қиздириш жараёнида унинг босими ( $P$ ), ҳажми ( $V$ ) нинг ўзгаришини ўлчаш имкониятини беради (35 ва 36-расмлар).

**Газоволюметрия** - аниқ ҳароратда минераллардан  $\text{H}_2\text{O}$ ,  $\text{CO}_2$  ва бошқа газсимон фазаларни ажralишига асосланган (37-расм). Л.Г. Берг томонидан 1952 й. ажralаётган газ ҳажми ўзгаришини ўлчаш газли бюреткада амалга оширилган.

Газоволюметрия ҳароратлари ва ажралиб чиқсан газ ҳажмини билиш орқали аралашмадаги минерални дастлабги миқдорини айтиб бериш мумкин.

Шунинг учун бу усулда кўпроқ 50-200 мг, тензemetрия усули бўйича эса 1-2 мг миқдорида модда олинади.

**Дилатометрия** - жисмнинг кенгайишини ўлчайдиган усул (38-расм). Бундай усулда текширишни дилатометр приборида амалга оширилади.

Дилатометрия термик анализнинг бир тури бўлиб, бунда қаттиқ ҳолатдаги кимёвий модда, минерал, шиша, хом ашё ёки саноат чиқиндисининг юқори ҳарорат таъсирида кенгайиши аниқланган. Бундай кенгайиш чизиқли кенгайиш коэффициенти ( $\alpha$ ) ва ҳажмий кенгайиш коэффициенти ( $\beta$ ) номли параметрлар билан ифодаланади.

Чизиқли кенгайиш коэффициенти  $\alpha$  деб текширилаётган модда ҳарорати  $1^{\circ}\text{C}$  га кўтарилиганда намуна ўлмамининг нисбий узайишига айтилади:

$$\alpha = \Delta l/l \cdot \Delta t \quad \text{ёки} \quad \Delta l = \alpha \cdot l \cdot \Delta t$$

бунда  $l$  - текширилаётган модда намунасининг узунлиги;

$\Delta l$  - ҳарорати  $\Delta t$   $^{\circ}$  га оширилганда намуна узунлигининг ортиши;

$\Delta t$  - бошланғич ( $t_1$ ) ва охирги ҳарорат ( $t_2$ ) лар фарқи.

### 36-§. Препарат тайёрлаш усуллари

Таҳлил учун керак бўлган материал миқдори олиб борилаётган текширув турига боғлиқ:

- минераллар таҳлили учун - 30-100 мг;
- термоаналитик эгрилик олиш учун - 350-500мг модда зарур;

в) ялпи бир турли аниқлашлар учун - 100 мг модда кифоя.

Материал тайёрланади:

- узоқ муддатли ишқалаш орқали намуна куқун ҳолига келгунча (куқун катталиги 0,0043 мм). Таркибида конституцион  $\text{H}_2\text{O}$  ва осон оксидланувчи элементлар бўлмаслиги керак;
- вақт бўйича қисқа муддатли эзиш - агар таркибида конституцион  $\text{H}_2\text{O}$  бўлса;
- Пичноқ, қайчи, уткир тиғли кесгичлар ёрдамида юпқа қаватлар кўринишида олинади, масалан, слюдасимон моддалар тайёрланиши шу тарзда бўлади.

Термография усуллари билан тадқиқотлар ўтказиш чоғида текширилаётган модда намунасидан 0,05-0,3г дан 10-12г гача олинади. Олинган намуна чинни ёки агат ховончада 1-3 мм ли бўлакчалар ҳолигача майдаланади. Майдалангандан 1-2 г олиб бюксга солинади, устига абсолют спирт кўйилади ва 10-20 соат тинч кўйилади. Кейин материал қозоз фильтрига тўкиб сувсизлантирилади. Сўнгра материал 4900-10000 тешикли элакларда эланади. Шундан кейин ундан ўртача намуна 0,3-0,5 г миқдорида олинади ва термографнинг платина ёки корунддан тайёрланган тигелига солинади.

Анализ учун олинадиган намуна миқдори гилсимон минераллар учун 0,3-2 г га тенг бўлади. Бу ҳолда печдаги қиздириш тезлиги 5-10 град/мин атрофида бўлади. Агар қиздириш тезлиги 50-60 град/мин бўлса, у ҳолда намуна миқдори 0,1 г гача камайиши мумкин. Натижаларнинг аниқ бўлишига текширилаётган модда билан этalonнинг бир хил зичликка эга бўлиши даркор.

### 37-§. Усулнинг имкониятлари, афзаллиги ва камчиликлари

Усулдан амалий жиҳатдан фойдаланиш имкониятлари. Уларга кўйидагиларни кўрсатиш мумкин:

1) Бу усулсиз илмий-тадқиқот иши олиб борувчилар микроскопия, рентген каби усуллар билангина ишлаганда унлаб, ҳатто юзлаб экспериментлар ўтказишлари зарур эди. Термография усули қўлланиши билан экспериментлар сони камайди, биргина эксперимент ўтказиш билан керакли эффектлар ва уларнинг чегаралари ҳамда табиати ҳақида аниқ фикр юритиш имкони пайдо бўлди;

2) Хом ашё материаллари, минераллари, жинсларни минералогик таркибини уларнинг термик эгри чизиқларини бошқа этalon термограммаларга таққослаш йўли билан илк бор ахборотга эга булиш имконияти яратилди;

3) Минерални турини, айниқса бир группага тааллуқлисини таҳлил қилишга имконият беради. Айниқса, карбонатлар, сувли бирикмаларда уларнинг парчаланиши, сувни учуб чиқиб кетишини меъёрий аниқлашга муваффақ бўлинди;

4) Модданинг теплофизик ҳолати, айниқса, кимёвий реакциялар давомида уларнинг иссиқлик ютиши ёки чиқарилиши масалаларини аниқлаш имконияти пайдо бўлди;

5) Модданинг термоинерт ёки термоактивлигини аниқлайди. Масалан, корунднинг термоинертлиги ва кремнеземнинг термоактивлиги;

6) Иссиклик эфекти содир бўладиган ҳарорат оролигини аниқлайди. Термографиядан бошқа усул қўлланганда бу масалани ечиш жуда қийин кечади, жуда кўплаб тажрибалар ўтказилиши талаб этилади;

7) Минерал турини табиатдаги кимёвий ўзгаришини аниқлашга имкон беради;

8) Физик-кимёвий жараён тезлиги ва вақт бўйича унини ҳолатини аниқлашга хизмат қилади;

9) Жараёнда ҳосил бўлаётган модда миқдорини аниқлашга имкон яратади.

**Усулнинг афзаллиги.** Унинг афзал томонлари кўп. Уларга қўйидагилар киради:

1) Усулда аморф, майда дисперс ва метамикт минералларни ўрганиш учун қўллаш имконияти мавжудлиги;

2) Усулнинг объективлиги ва яққол қоғозга термограмма ёки дериватограмма ҳолатида туширилиши;

3) Бажариш техникасининг соддалиги, ишлатилган тигелларнинг тозалаб қайта ишлатиш имконияти мавжудлиги;

4) Усулнинг тез бажарилиши. У 15 дан то 45-60 мин гача талаб қилади. Шу билан бирга кўп анализ – термоэфектлар, оғирликлар ва бошқаларга оид тажрибаларни бир вақтда ўтказиш имконияти мавжудлиги;

5) Моддани кам миқдорда, яъни 0,1 дан 0,5 г гача олиш имконияти мавжудлиги;

6) Минерал турининг термоаналитик тафсифини аниқлаш имконияти;

7) -190° дан то +3000° гача ҳароратларда ДТА эгрилигини олиш имкони.

**Усулнинг камчиликлари.** Маълум даражада камчиликлар ҳам мавжуд:

1) Термография орқали маълум бир ҳароратда термоэффект содир бўлганлиги, модданинг миқдори ўзара бошлаганлиги қайд этилади, лекин у нима асосида рўй берганлигини аниқлай олмайди.

2) Рентгенография, ИК спектроскопия, микроскопия, кимёвий ва бошқа турдаги анализларни жалб этгандан кейингина хулоса чиқариш мумкин бўлади.

3) Термограмма олиш экспериментал шароитга боғлиқлиги (қыздырыш тезлиги, намуна оғирилгі, дифференциал термопара занжиридаги үзгарувчанлик, тигелдегі модданинг зичлиги, эталоннинг хосаси, печнинг атмосфераси, термопара қотишмасининг намуна ва эталонга үрнатилиши, дисперслик даражаси ва бошқалар).

### 38-§ Кимёвий жараёнларда содир бўладиган термик эфектларга оид маълумотлар

Қўйида табиий ва сунъий ҳолда учрайдиган, силикат ва бошқа саноатларда кўпроқ қўлланиладиган кимёвий моддаларда содир бўладиган термик эфектларга оид маълумотлар келтирилади (16-жадвал).

### Баъзи кимёвий бирикма ва минералларнинг термик эфектлари

16-жадвал

Модданинг номи ва формуласи	Термоэффект тури	Термоэффект ҳарорати, °C	Термоэффект Табиати
Кремний /IV/- оксид – $\text{SiO}_2$	Экзоэффект	115-117	Тридимитнинг ўтиши
	Экзоэффект	155-163	Тридимитнинг ўтиши
	Экзоэффект	220-280	Кристобалитнинг ўтиши
	Эндозэффект	573	Кварцнинг ўтиши
Каолинит- γ $\text{Al}_2\text{O}_3 \cdot 2\text{SiO}_2 \cdot 2\text{H}_2\text{O}$	Эндозэффект	550-610	Дегидратланиш
	Экзоэффект	925-1000	Аморф кремнезэм ва глиноэзменинг кристалланиси ва силлиманит ёки муллит ҳосил бўлиши
	Экзоэффект	1200	Муллитнинг бутунлай ҳосил бўлиши ва қолдиқ аморф $\text{SiO}_2$ нинг кристалланиши

Диккит – β- $\text{Al}_2\text{O}_3 \cdot 2\text{SiO}_2 \cdot 2\text{H}_2\text{O}$	Эндоэффект	480 – 590	Дегидратланиш
	Экзоэффект	950 – 1050	Аморф махсулотларнинг кристалланиши, муллит ёки силлиманит ҳосил бўлиши
	Экзоэффект	1130 – 1250	Муллит ва кристобалит ҳосил бўлиши
Накрит – α- $\text{Al}_2\text{O}_3 \cdot 2\text{SiO}_2 \cdot 2\text{H}_2\text{O}$	Эндоэффект	550 – 610	Дегидратланиш
	Экзоэффект	950 – 1050	Аморф махсулотларнинг кристалланиши
	Экзоэффект	1200 – 1250	Муллит ва кристобалит ҳосил бўлиши
Монтмориллонит- $\text{Al}_2\text{O}_3 \cdot 4\text{SiO}_2 \cdot \text{H}_2\text{O}$ $(\text{Al}_2, \text{Mg}_3)\text{O}_3 \cdot 4\text{SiO}_2 \cdot \text{H}_2\text{O}$	Эндоэффект	50 – 150	Адсорбилинган сувнинг йўқотилиши
	Эндоэффект	200 – 235	Пакетларо сувнинг йўқотилиши
	Эндоэффект	500 – 760	Конституцион сувнинг чиқиши
	Эндоэффект	800 – 860	Кристалл панжаранинг парчаланиши
	Экзоэффект	900 – 1000	Кристалланиш ва янги модданинг ҳосил бўлиши
Бейделлит – $\text{Al}_2\text{O}_3 \cdot 4\text{SiO}_2 \cdot \text{H}_2\text{O} \text{ nH}_2\text{O}$	Эндоэффект	100 – 190	Адсорбилинган сувнинг буғланиши
	Эндоэффект	500 – 600	Конституцион сувнинг чиқиши
	Эндоэффект	800 – 880	Кристалл панжаранинг парчаланиши
	Экзоэффект	900 – 925	Янги кристалл модданинг пайдо бўлиши

Нонтронит – m[3MgO · 4SiO <sub>2</sub> · H <sub>2</sub> O] · p[(Fe <sup>3+</sup> , Al) <sub>2</sub> O <sub>3</sub> ] 4SiO <sub>2</sub> · H <sub>2</sub> O nH <sub>2</sub> O	Эндоэффект	100 – 200	Адсорбиланган ва цеолитли сувларнинг буғланиши
	Эндоэффект	400 – 625	Конституцион сувнинг чиқиши
	Экзоэффект	810 – 920	Янги кристалл модда пайдо бўлиши
	Экзоэффект	925 – 1180	Кристалланишнинг охирига стиши
Монотермит- 0.2RO · Al <sub>2</sub> O <sub>3</sub> · 3SiO <sub>2</sub> · 1.5H <sub>2</sub> O (+0.5H <sub>2</sub> O)	Экзоэффект	50 – 100	Кристалланишнинг охирига стиши
	Экзоэффект	450 – 550	Конституцион сувнинг чиқиши
	Экзоэффект	955 – 975	Кристалл модданинг ҳосил бўлиши
Галуазит- Al <sub>2</sub> O <sub>3</sub> · 2SiO <sub>2</sub> · 4H <sub>2</sub> O	Эндоэффект	50 – 140	Адсорбиланган сувнинг ажралниши
	Эндоэффект	405 – 555	Конституцион сувнинг ажралиб чиқиши
	Экзоэффект	970 – 1060	Кристалл ва янги модданинг ҳосил бўлиши
Пирофиллит- Al <sub>2</sub> O <sub>3</sub> · 4SiO <sub>2</sub> · H <sub>2</sub> O	Экзоэффект	500 – 800	Сувнинг ажралиб чиқиши
	Эндоэффект	950 – 1100	Янги кристалл модданинг ҳосил бўлиши

Полигорскит- $MgO \cdot Al_2O_3 \cdot 4SiO_2 \cdot 5H_2O$ $nH_2O$	Эндоэффект	130 – 150	Адсорбиланган сувнинг ажралиши
	Эндоэффект	270 – 300	Пакетларо сувнинг йўқотилиши
	Эндоэффект	500 – 530	Конституцион сувнинг ажралиши
	Эндоэффект	905	Кристалл панжаранинг парчаланиши
	Экзoeffект	950	Янги модданинг кристалланиши
Кальцит- $CaCO_3$	Эндоэффект	800 – 950	Диссоциаланиш
Арагонит $CaCO_3$	Эндоэффект	390-420	Кальцитга айланыш
Ватерит (фатерит)- k-форма $CaCO_3$	Эндоэффект	440	Кальцитга айланыш
	Эндоэффект	900 – 950	Диссоциаланиш
Тремолит- $2CaO \cdot 5MgO \cdot 8SiO_2 \cdot H_2O$	Эндоэффект	800	Конституцион сувнинг чиқиши
Шохли алдагич- $Ca, Na(Mg, Fe)_4$ $(Al, Fe) \cdot [(Si, Al)_4O_{11}] \cdot (OH)_3$	Эндоэффект	400	Сувнинг ажралиши
	Эндоэффект	1175	Сувнинг бутунлайин ажралиб чиқиши
Кальций гидроксид $Ca(OH)_2$	Эндоэффект	530-580	Дегидратланиш
Магнезит- $MgCO_3$	Эндоэффект	540-710	Диссоциаланиш
Доломит- $Ca Mg(CO_3)_2$	Эндоэффект	730-790	Доломитнинг $CaCO_3$ ва $MgCO_3$ га парчаланиши ҳамда $MgCO_3$ нинг диссоияланиши

Ангидрит – $\text{Ca SO}_4$	Эндозэффект	1190	Полиморф ўзгариш
Ярим молекула сувли гипс- $\alpha$ - $\text{CaSO}_4 \cdot 0,5\text{H}_2\text{O}$	Эндозэффект	160	Дегидратланиш
	Эндозэффект	240	Дегидратланиш
	Эндозэффект	380	Ангидрит инвер- сияси
	Эндозэффект	1180-1200	Полиморф ўзгариш
Ярим молекула сувли гипс – $\beta\text{Ca SO}_4 \cdot 0,5\text{H}_2\text{O}$	Эндозэффект	120	Дегидратланиш
	Эндозэффект	180	Дегидратланиш
	Эндозэффект	240	0,5 мол $\text{H}_2\text{O}$ йўқолади
	Эндозэффект	410	Ангидрид инвер- сияси
	Эндозэффект	1180 – 1200	Полиморф ўзгариш
Икки молекула сувли гипс- $\text{CaSO}_4 \cdot 2\text{H}_2\text{O}$	Эндозэффект	100 - 120	Адсорбилинган сувнинг йўқолиши
	Эндозэффект	220	0,5 мол $\text{H}_2\text{O}$ нинг йўқолиши
	Эндозэффект	240	0,5 мол $\text{H}_2\text{O}$ нинг йўқолиши
	Эндозэффект	380 – 420	$\text{Ca SO}_4$ инверсияси
	Эндозэффект	1180-1200	Полиморф ўзгариш
Уч кальцийли силикат- $3\text{CaO SiO}_2$	Эндозэффект	920 - 925	Полиморф ўзгариш
	Эндозэффект	970 - 980	Полиморф ўзгариш
	Эндозэффект	990 – 1000	Полиморф ўзгариш
Алит- $54\text{CaO}$ $16\text{SiO}_2$ $\text{Al}_2\text{O}_3$ $\text{MgO}$	Эндозэффект	825	Полиморф ўзгариш
	Эндозэффект	1427	Полиморф ўзгариш

Икки кальцилированный силикат - $\gamma$ - $2\text{CaO} \cdot \text{SiO}_2$	Эндоэффект	780-830	$\alpha \text{C}_2\text{S}$ га утиш
	Эндоэффект	1447	$\alpha \text{C}_2\text{S}$ дан $\alpha \text{C}_2\text{S}$ га утиш
Тальк - $3\text{MgO} \cdot 4\text{SiO}_2 \cdot \text{H}_2\text{O}$	Эндоэффект	850 - 950	Дегидратланиш
Хризотил - асбест- $\text{Mg}_6(\text{Si}_4\text{O}_{11})_2 \cdot (\text{OH})_6 \cdot \text{H}_2\text{O}$	Эндоэффект	100	Адсорбилинган сувнинг йўқолиши
Кальций гидросульфоалюминат $3\text{CaO} \cdot \text{Al}_2\text{O}_3 \cdot \text{CaSO}_4 \cdot 12\text{H}_2\text{O}$	Эндоэффект	200-250	Қисман дегидратланиш, таркибидағи сувнинг куп қисмини йўқотиш
	Эндоэффект	300-320	Дегидратланиш
	Эндоэффект	500	Дегидратланиш
	Эндоэффект	800	Сувсиз аморф ҳолатдаги фазанинг кристалланиши
Натрий гидросиликат- $\text{Na}_2\text{O} \cdot \text{SiO}_2 \cdot 6 \cdot \text{H}_2\text{O}$	Эндоэффект	95	Босқичли дегидратланиш
	Эндоэффект	1083	Сувсиз тузнинг суюкланиши
Гидрагиллит- $\text{Al}_2\text{O}_3 \cdot 3\text{H}_2\text{O}$	Эндоэффект	250 - 300	Қисман дегидратланиш, бемит ҳосил булиши
	Эндоэффект	500 - 550	Бемитнинг дегидратланиши
	Экзоэффект	800	$\gamma$ - $\text{Al}_2\text{O}_3$ нинг $\alpha$ - $\text{Al}_2\text{O}_3$ га утиши
Байерит (моста-стабил форма) - $\text{Al}_2\text{O}_3 \cdot 3\text{H}_2\text{O}$		310 - 315	Қисман дегидратланиш, бемитга утиши
		500 - 550	Бемитнинг бутунлайин дегидратланиш
		800	$\gamma$ - $\text{Al}_2\text{O}_3$ нинг $\alpha$ - $\text{Al}_2\text{O}_3$ га утиши

Бесмит $\text{Al}_2\text{O}_3 \cdot \text{H}_2\text{O}$	Эндоэффект	460 – 580	Дегидратланиш. Конституцион сувнинг чиқиши ва кристалл панжаранинг бузилиши
	Экзоэффект	850 – 950	$\gamma - \text{Al}_2\text{O}_3$ нинг $\alpha-\text{Al}_2\text{O}_3$ га утиши
Гетит $\text{Fe}_2\text{O}_3 \cdot \text{H}_2\text{O}$	Эндоэффект	300 – 420	Дегидратланиш, $\alpha - \text{Fe}_2\text{O}_3$ га утиш
	Эндоэффект	680	Полиморф узгариш, $\alpha - \text{Fe}_2\text{O}_3$ дан $\gamma - \text{Fe}_2\text{O}_3$ га утиш
Магнетит- $\text{FeFe}_2\text{O}_4$	Экзоэффект	250 – 375	Магнетитнинг магемит – $\gamma - \text{Fe}_2\text{O}_3$ га утиши
	Экзоэффект	590 – 650	Магемитнинг гематит – $\gamma - \text{Fe}_2\text{O}_3$ га утиши
Гематит- $\alpha - \text{Fe}_2\text{O}_3$	Эндоэффект	658	Магемит – $\gamma - \text{Fe}_2\text{O}_3$ га утиш
	Эндоэффект	1370 – 1400	Магнетит – $\text{Fe}_3\text{O}_4$ га утиши
Натрийти дата шпати- $\beta - \text{Na}_2\text{O} \cdot \text{Al}_2\text{O}_5 \cdot 6 \text{SiO}_2$	Эндоэффект	1118	Эриш
Мусковит - $\text{K}_2\text{O} \cdot 3\text{Al}_2\text{O}_3 \cdot 6\text{SiO}_2 \cdot 2\text{H}_2\text{O}$	Эндоэффект	750 – 850	Дегидратланиш
	Эндоэффект	1020 – 1090	Кристалл панжара парчала- ниши
Биотит - $\text{K}(\text{Mg}, \text{Fe})_3[\text{AlSi}_3\text{O}_{10}]_2(\text{OH}, \text{F})_2$	Эндоэффект	1160	Кристалл панжара парчала- ниши
	Экзоэффект	1200	Янги кристалл модда ҳосил бўлиши
Бруцит - $\text{Mg} (\text{OH})_2$	Эндоэффект	400-550	Дегидратланиш
Ксонотлит - $6\text{CaO} \cdot 6\text{SiO}_2 \cdot \text{H}_2\text{O}$	Эндоэффект	775-800	Дегидратланиш

## Такрорлаш учун саволлар

1. Термография усулининг назарий асослари ким томонидан ишланган?
2. Термография усуга оид термик анализ усулларини санаб беринг.
3. Термик анализ деб қандай таҳлил турига айтилади?
4. Доломит минералининг термик таҳлилига оид вақт-харорат диаграммасини чизинг ва ундаги эгри чизиклар ҳолатини тушунтиринг.
5. Дифференциал термик анализ табиатини очиб беринг.
6. Моддаларда содир бўлаётган қандай жараёнлар комплекс термик анализ орқали аниқланади?
7. Моддаларни қиздириш жараённада дериваторграфик анализ орқали қандай параметрлар аниқланади.
8. Эндотермик эффект қандай рўй беради?
9. Моддаларда экзоэффект қандай рўй беради?
10. Силикат ва зўргасуюлувчан материалларни таҳлил қилишда термография қандай вазифани утайди?
11. Термография усулларининг қандай амалий имкониятлари мавжуд?
12. Дифференциал термопарали Курнаков пиromетрининг схемасини беринг?
13. Дериваторграф қаерда ва қачон яратилган?
14. Тензиметр орқали қандай параметр аниқланади?
15. Газоволюметрия таҳлили орқали қандай параметр ўлчанади?
16. Дилатометр деганда қандай термик асбоб-ускуна тушунилади?
17. Термография усули препаратлари қандай қилиб тайёрланади?
18. Усул имкониятларини санаб беринг.
19. Термография усули қандай афзалликка эга?
20. Термография усулининг камчиликларини кўрсатинг.

## БЕШИНЧИ БОБ

### РЕНТГЕНОГРАФИК ТАҲЛИЛ

#### 39-§. Рентген нурларининг хоссалари

Таҳлилда маълумки, энг биринчи физик-кимёвий ва фазовий таҳлил усули микроскопия номи билан аталган. Кейинчалик бошқа усуллар, масалан, термография келиб қўшилди.

1895 йили физика фанида оламшумул воқеа рўй берди. Шу йили улуг немис физиги, Нобел мукофотининг биринчи лауреати, профессор В.К. Рентген томонидан кўз илғамайдиган янги нур “Х” борлиги қайд этилди. Бу нурлар кейинчалик олим шарафига рентген нурлари деб аталди.

1912 йили Лауз ва унинг ҳамкасабалари томонидан рентген нури дифракцияси қашф қилинди. Натижада фазаларни тўғридан-тўғри идентификация қилишга имкон берадиган энг ишончли рентгенофазовий анализ усули яратишга муваффақ бўлинди.

Рентген нурларини регистрация қилувчи ионизацион ва сцинтиляцион счётчикларнинг пайдо бўлиши ва такомиллаштирилиши, фотография усули яратилиши ва унда фокусловчи камера-монохроматорларнинг тараққий эттирилиши орқали фазовий анализ чегаралари кенгайтирилди.

Рентген нурларининг қашф этилиши, яратилган турли усул ва жиҳозларнинг қўлланилиши физика, кимё, тиббиёт ва айниқса, техника фанлари (металлар технологияси, металургия, машинасозлик)га имкониятлар очиб берди.

Рентген нурлари  $0.01 \text{--} 0.00001 \text{ мк ёки } 10^2 \text{--} 10^{-1} \text{ А}$  тўлқин узунлигига эга бўлиб, улар ёргулар нурлари каби электромагнит табиатга эга. Улар ижобий ядро ва салбий электронлардан ташкил топган атомга доимий осциллировкаланувчи кучи каби таъсир этади. Электрон ва ядро бир яқинлашади, бир узоқлашади. Натижада атомнинг ўзи тушаётган рентген нури тўлқин узунлигига нурланади. Алоҳида атомлардан чиқарилаётган нур тўлқинлари ёйи бир-бирига қўшилади ва

ёйилган тұлқинлар фронтини ҳосил қиласы. Атомларнинг панжараларидан ёйилган күпгина тұлқинлар ичидә фақат күзгудан қайтарилиш қонунига бүйсінувшыларының сақланиб қолады. Айнан қайтган нур ва атомлы занжир ўртасындағы бурчак худди занжир ва тушаёттан нур орасындағы бурчак сингари булиши керак. Ҳажмий кристаллар учун бу таъсир мұраккаблашады.

Рентген нурлари биринчи марта Рентген томонидан иккита электрод кавшарланған шиша найчадан иборат ұавони  $10^{-5}$  мм симоб устуни босимида сүриб олинниши ва үндән электр токи ўтказилиши орқали ҳосил қилинганды. Үрнатылған электродлардан ўзига ҳос, күзга күрінмайдын нурлар чиқиши қайд этилғанды.

Рентген нурлари квант нурлари қаторига кирады, таъсири гамма нурлари кабидир. Бу нурларнинг ҳиди йүқ. Улар рангсиз бўлиб, буюмлар ичига кириши, сингиш, тарқалиш, ёритиш, фотокимёвий ион ҳосил қилиш, биологик таъсир кўрсатиш каби ҳосса - хусусиятларга эга.

Рентген нурининг түрли модда ва жисмлар ичига кириш хусусияти нур тұлқинларининг узунлигига боғлиқ. Агар нур таркибиде “қаттиқ”, яғни тұлқин узунлиги кичик нурлар кўп бўлса, ичига кириш “юмшоқ” (тұлқин узунлиги узун) нурларга нисбатан кўпроқ бўлади.

Рентген нурларининг интенсивлігі түрли модда ва жисмлардан үтаёттанды ўзаради. Бу уларнинг қалинлиги, қаттиқлігі, солиширма оғирлігі ва кимёвий тузилишига боғлиқ. Газ ва ҳаво рентген нурларини сингдирмай ҳаммасини ўтказиб юборади. Лекин барий сульфат ёки қўргошин күп нур ўтказмайды. Шунинг учун улар рентген нурларидан сақланиш учун тўсик сифатида ишлатилади.

Рентген нурлари модда ёки жисм томонидан ютилганда, улар иккинчи даражали рентген нурларини чиқарадын манбага айланиб қолады.

Рентген нурларини олиш замонавий тузилған аппараттарда амалга оширилади, лекин уларнинг пайдо бўлиши бир хил тизимга – рентген трубкасида катодга юқори кучланиш берилғанда ўзидан электронлар – гамма нурлари чиқарилиши, уларнинг қутбланған антикатодга куч билан урилиши натижасида катта тезликда заррачалар отилиб чиқишига асосланған.

## 40-§. Рентген нурларининг дифракцияси

Рентгенография — рентген нурлари ва уларни металл, металл қотишмалари, кимёвий бирикма, минерал ва турли хом ашёларни талқиқот қилиш фани. У юқорида санаб ўтилган моддаларнинг атом, суб-, микро- ва макротузилмалари ҳамда кимёвий таркибини аниқ билишга хизмат қиласи. Кимёвий модда ёки минерал атом даражасидаги тузилиши текширилаётганда кристалл панжараларининг тури ва параметрларини аниқлаш имконини беради. Унинг асосий ютуқлари кристаллар, кристалл сингониялари, кристалл панжаралари каби терминларга келиб тақалади.

Рентген нурларининг кристалл моддалар атомларига урилиб тарқалиши Москва университетининг профессори Г.В. Вульф ва инглиз физиклари ота-бала Г. ва Л. Брэгглар томонидан биринчи маротаба ўрганилган. Қайтган нурларни, олимларнинг фикрича, кристаллдаги атомлар текислигидан қайтган деб ҳисоблаш мумкин.

Кристаллардаги рентген нурлари дифракцияларини баён этишининг қулай усулини ота-бала Г. ва Л. Брэгглар топишган. Уларнинг формуласи

$$n\lambda = 2d \cdot \sin\theta$$

бўлиб, бу ерда,  $n$ -яхлит сон бўлиб. у 1,2,3... нурларининг қайтиш тартибини беради;

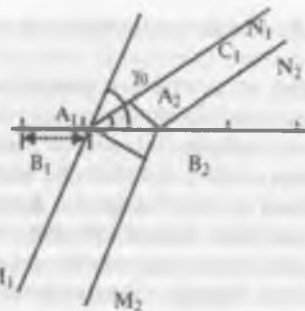
$\lambda$ -рентген нурлари тўлқин узунлиги,  $A$  ;

$d$ -кристалл панжарадаги атомлар юзаси орасидаги масофа;

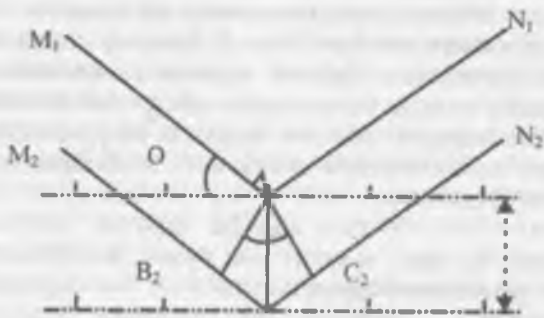
$\theta$ - атом юзасига тушаётган рентген нурлари тушиш бурчаги.

Юқорида берилган тентглама рентгенотузилмавий ва рентгеноспектрал анализлар учун асосий ҳисоблаш формуласи бўлиб, у дифракция натижасида оғган нурларнинг йуналиши кристалл панжара тузилишига ута боғлиқ эканлигидан далолат беради.

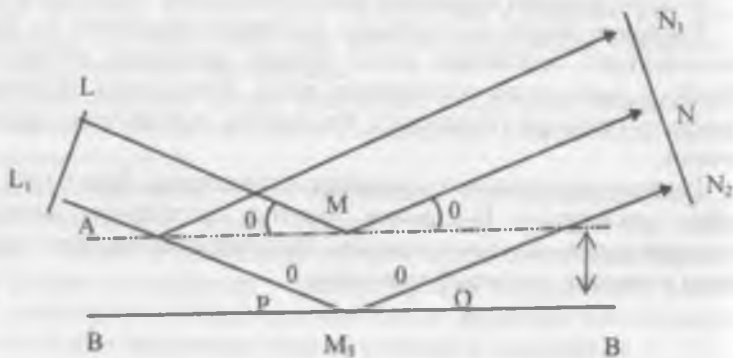
Рентген нурларининг синдириш кўрсаткичи бирга тенг деб қабул қилинган. Бу рақам рентген нурининг кристалл ташқарисидаги ва унинг ичидаги йуналишлари бир хил булади деган хуносани келтириб чиқаради.



39-расм. Атомлар қатори дифракцияси (Лауэ тенгламасы ечимиға).



40-расм. Вульф-Брегглар тенгламасы ечимиға оид.



41-расм. Атом текисликларидан қайтган рентген нурлари дифракциясини ҳосил қилиш схемаси.

Рентген нурларининг дифракцияси масаласи Лауэ (39-расм) ва Вульф-Брэгг (40-расм) схемалари ва тенгламалари орқали яхши тушунилади. Шунинг учун бу ўта муҳим масалага алоҳида тўхтаб ўтамиз.

39-расмда кристаллда “в” периода эга бўлган атомларга  $M_1 A_1 N_1$  ва  $M_2 A_2 N_2$  нурлари йўналтирилганлигини кўриш мумкин. Агар  $M_1 A_1 N_1$  пл тўлқин узунлиги қиймати  $M_2 A_2 N_2$  дан катта бўлса, шу йўналишда дифракция рўй беради. Фарқни қўйидаги тенглама билан изоҳлаш мумкин:

$$A_1 C_1 - A_2 B_2 = n\lambda.$$

Ўз навбатида:

$$A_1 C_1 = b \cos\phi_n \text{ ва } A_2 B_2 = b \cos\phi_0,$$

$$n\lambda = b(\cos\phi_n - \cos\phi_0), \text{ бу ерада } n=0,1,2,\dots.$$

Уч координатали решеткада дифракция амалга ошиши учун бундай тенгликлар учала фазовий координаталар бўйича бажа-рилиши зарур:

$$a (\cos \alpha_n - \cos \alpha_0) = n\lambda,$$

$$b (\cos \beta_m - \cos \beta_0) = m\lambda,$$

$$c (\cos \gamma_p - \cos \gamma_0) = p\lambda,$$

бу ерда,  $a$ ,  $b$  ва  $c$  -  $x$ ,  $y$  ва  $z$  ўқлари бўйича решетка даври;

$\alpha_0$ ,  $\beta_0$ , ва  $\gamma_0$  -  $x$ ,  $y$  ва  $z$  оралиғидаги бурчаклар;

$\alpha_n, \beta_m$  ва  $\gamma_p$  - дифракцион нур йўналишлари оралиғидаги бурчаклар.

Юқорида берилган дифракцияга оид уч тенглама Лауэ тенг-ламалари деб ҳам аталади.

Уч ўлчамли кристаллар панжарасини ренгтен нурларини қайтарувчи параллел юзаликлардан ташкил топган деб фараз қилишимиз мумкин. У ҳолда сеткадаги дифракция  $m=n=0$  бўлиб, Лауэнинг икки шарти қўйидагича бўлади:

$$\cos \alpha_n = \cos \alpha_0 ,$$

$$\cos \beta_m = \cos \beta_0 .$$

40-расмдан маълумки,  $M_1 A_1 N_1$  нури  $M_2 A_2 N_2$  нурига нисба-тан  $B_2 A_2 + A_2 C_2$  узунлигига қисқароқ ўтади. Аммо  $B_2 A_2 = A_2 C_2 = d \sin\theta$ , яъни дифракцион эфектнинг пайдо бўлиши зарур:

$$2 d \sin\theta = n\lambda,$$

бу ерда,  $n=1,2,3,\dots$ . Бу нарса Вульф-Брэглар тенгламаси-ни ўзгинасадир.

Бир хил атомли юзаларнинг тўплами рентген нурларига нисбатан нур қайтариши тўла бўлмаган бир қатор кўзгуларни

намоён этади. Нурнинг бир бўлаги юқоридаги юзадан қайтгач, пастроқда жойлашган юзалардан қайтган нурнинг бошқа булаклари ҳисобига кучаяди. Бундай кучайиш фақат бир ҳолатда, у ҳам бўлса, ҳар қандай текисликдан қайтган нурларнинг ўтган йўли бутун сон п га тенг бўлса, рўй беради (41-расм).

Бу ҳолда рентген нурларининг интерференцияси содир булади. Дифракцион анализ, қайси усуlda (кўпинча фотоплёнка) қайд этилганидан қатъи назар, қаттиқ моддаларнинг атом тузилишини ўрганишга имкон беради.

Рентген нурлари ёрдамида Брэгг, Н.В.Белов, Курдюмов, Жданов ва бошқалар томонидан деярли ҳамма қаттиқ моддаларнинг тузилмаси ўрганилган. Ҳар бир кристалл тузилма ўзининг асосида баъзи “ғиштча”лардан - оддий ёки элементар ячейкага эга. Уларнинг учала фазовий координат бўйича давомсиз тақрорлашлар натижасида кристаллнинг ҳамма бўшликлари тўлдирилиши рўй беради.

Қаттиқ моддаларнинг атомларини қайси тартибда жойлаштириш унинг физикавий хоссалари учун муҳимдир. Атомнинг кимёвий табиатидан кўра, шу тузилма факторлари аҳамиятлироқдир. Графит ва олмос каби яхши таниш мисолларни келтирсан сўзимиз тасдигини топади. Улар бир навли атомлардан ташкил топган, лекин тузилмалари ҳар хил бўлгани учун хоссалари ҳам турлича. Олмосда углерод атомлари октаэдрик тузилмани ҳосил қиласди. Олмоснинг атомлари уч ўлчамли сеткаларни ташкил этади. Бу эса унга юқори қаттиқлик ва шаффоғофликни ато қиласди. Графитда эса углерод атомлари гексагонал тузилмани ҳосил қиласди. Унда баъзи атомлар юза бўйлаб мустаҳкам ва тангасимон жойлашган бўлиб, бир-бири билан (мустаҳкам юзалар) кучсиз боғланган бўлади. Бу ҳол графитнинг мустаҳкамлигини ва шаффоғофликини кескин камайтиради.

#### 41-§. Рентген нурларининг олиниши

Катод нурлари, яъни электронлар оқимининг рентгеннинг электрон трубаларида, баъзи металлар юзасини бомбардимон қилишда рентген нурлари ҳосил бўлади. Электрон боғлари манбаи бўлиб трубкадаги вольфрамдан қилинган спирал хизмат қиласди, у 8-12 волт қувватда ишлайди. Рентген нурлари манбаи эса антикатод. Электронларнинг тўсиқларсиз

ҳаракатини таъминлаш учун  $1,33 \cdot 10^{-4}$  -  $1,33 \cdot 10^{-6}$  нм $^{-2}$  ( $10^{-5}$ ) 10 $^{-7}$  мм симоб устуни) вакуумда ушлаб турилади. Электродларга берилетган кучланиш электронларини антикатодга бериш ҳаракат тезлигига шароит яратади. Модда аноди ва анод тар-кибига электроннинг урилиши тезлигига рентген нурларининг хоссалари боғлиқ.

Рентген нурлари табиати худди кўринадиган ёруғлик нур-ларига ўхшаш, фақат рентген нурларининг тўлқин узунлиги нишбатан кичик ва юмшоқ нурларда 6-60 Å° ни, қаттиқ нур-ларда 0,6-0,06 Å° ни ташкил этади. Аноддан келаётган рентген нурларнинг оқими ("оқ" рентген ёруғлиги) нурларнинг турли тўлқин узунликларида ташкил топган. "Оқ" рентген нурлари турли антикатодда ташкил топишидан қатъи назар ва пленкани тўла қоралашишини таъминлайди, яъни нурнинг тўла спектр-ларни ҳосил қиласи. Одатий нурланишда эса алоҳида чизиқли спектрини берали ва у материал - антикатоднинг кристалл панжараси тузилишига боғлиқ. Катод электрони ўзининг бир қисм энергиясини антикатод материали атомларига бера-ди, бунда атом ядрисидан узоқроқдаги орбиталарга элек-тронларнинг сакраши кузатилади. Олдин ютилган энергия эса монокроматик нурланиш шаклида орбитадан орбитага ўтиш жараёнида ажралиб чиқади.

Бир неча линиялардан ташкил топган нурланиш электрон-ларни бир орбитадан бошқага ўтишидан юзага келувчи рентген нурларини ифодалайди. Улар берилган элемент - антикатод учун аниқ бўлади ва уни одатий спектрларини пайдо этади. Одатий линиялар сериялар ташкил этади ва K, L, M ва бошقا ҳарфлар билан белгиланади. Линия ичидаги сериялар  $K_{\alpha_2}, K_{\alpha}, K_{\beta}$  лар билан белгиланади. Одатда,  $K_{\alpha}$ - линияси-нинг дуплетидан фойдаланилади. Қолган линиялар эса фильтранади. Монокроматик рентген нурланишини олиш учун трубка антикатоди мос равишда молибден, родий, темир, мис, хром, никел, кобальтдан тайёрланади, "оқ" рентген нур-ланишини олишда платина ёки иридий ишлатилади. Масалан: Cu - мис. Тартиб рақами 29 : Ядро: протон + 29, электрон - 29 (17-жадвал).

## Мис элементининг электрон конфигурацияси

17-жадвал

Серия	K	L	M	N	P
Қобиғ	1s	2s2p	3s3p3d	4s4p4d4f	5s5p5d5f5g
	2	2 6 8	2 6 10 18	1	

Рентген нурлари текширилаётган моддадан ўтаётганда унинг атомларини ионизациялашга сабабчи бўлади. Ионизация ходисасидан ионизацион счётиклар ва камераларда фойдаланилади. Агар ионизацион камера туйинган ток режимида ишлаётган бўлса, бу ҳолда пайдо бўлган ионизацион ток миқдори рентген нурлари интенсивлигига пропорционалдир. Амалиётда у ўзининг қўлланишини ҳозирги кунда сцинтиляцион счётиклар томонидан сиқиб чиқарилаётган Гейгер – Мюллер счётикларида топган.

Ёруғлик нурларига ўхшаш рентген нурлари фотопленкага нисбатан катта қалинликка эга бўлган ва икки томони маҳсус қатлам билан қопланган рентген плёнкасининг фотоэмульсияси таркибига кирувчи бромли кумуш моддасини парчаланишига олиб келади. Рентген нурлари кадмий сульфати, цинк сульфати ва бошқа моддаларга таъсир эттирилганда уларнинг нурланиши, яъни флуоресценциясига сабабчи бўлади. Флуоресценция ходисаси рентгенотузилмавий анализнинг назорат экранлари ҳамда нурланувчи рентгенотехниканинг экранларини ясаш ва эксплуатация қилишда ишлатилади.

### 42-§. Кристалл панжара текисликлариаро масофани ҳисоблаш

Турли бирикмаларни кристалл панжара юзаси орасидаги масофа Вульф-Брэг формуласи ёрдамида ҳисобланади.

Бунда модданинг ҳамма атомлари кристалл юза бўйлаб бир-биридан паралелл ва тенг узоқликда жойлашганлигини намоён қиласди. Куйидаги схемада (40 расм) тенглама яққол кўринади.

$N_1$  ва  $N_2$  нурлари юришидаги фарқ  $PM_2 + M_2Q$  га тенг.

$$PM_2 = M_2Q = d \sin \theta$$

максимум шарти  $\pi\lambda = 2d \sin \theta$ ,

бу ерда, d- юзалар орасидаги масофа; θ -йұналтирилган нур ва нур қайтиш юзаси орасидаги бурчак; λ-ренттеген нурларининг түлқин узунлиги; n-нур қайтариш тартиби (яхлит сон: 1; 2; 3; ..., n).

Умуман олғанда, рентгенография усулларида кристалл панжара текисликлариаро масофа роли катта. Усулнинг асосида хам рентген нурларининг шу кристалл панжарасига тушганда дифракцияланиши ётади. Бундай нурлар кристалл ёки аморф қаттық модда орқали үтганды унинг атомларидаги электронларга катта таъсир кўрсатади. Бу таъсир кристалл тузилиши муддалар учун ута сезиларлидир. Натижада электронлар тебранма ҳаракати вужудга келади ва улар иккиламчи түлқин манбаига айланади.

Дифракциянинг кристалл панжарасидаги ҳолати ва ҳисоботи кристаллар ҳолатининг параллел юзалар тизими кўринишида талқин қилинишига келиб тақалади. Ҳар бир бундай юза ёки текислик панжаранинг кўп сонли боғловчи нуқталари орқали үтади ва улар сеткасимон юза деб аталади. Сеткасимон юза уларнинг устига тушаётган рентген нурлари ёки тулқинларини кўзгусимон қайтишини таъминлайди. Дифракцион максимумларнинг пайдо бўлиши параллель сеткали юзалардан қайтаётган тулқинларнинг бир-бирини интерференция ходисаси орқали кучайтиришига боғлиқ. Бу талаб дифракцияланувчи түлқин узунлиг ( $\lambda$ ) ва сеткали юзага тушаётган нур бурчаги ( $\nu$ ) нинг орасидаги маълум даражада боғланишга боғлиқ.

#### 43-§. Текшириш усуллари

Рентген нурлари ёрдамида бажариладиган рентгенографик текшириш усуллари жуда кўп. Моно- ва поликристаллик силикат моддаларини текширишда, асосан, куйидаги усуллар қўл келади:

1. Жойидан кўзгалмайдиган монокристалларни текшириш усули - бунда тасвир фотоплёнкали тасмага қора нуқталар шаклида қайд этилади. Бу усул адабиётда Лауэ усули ҳам деб аталади. Одатда текшириш учун ўлчами 0,2-1 мм бўлган монокристалл олинади.

2. Айланувчан монокристаллни текшириш усули ёки Лауэ методи - фотоплёнкада доғлар шаклида тасвир олинади. Наму-

на текшириш пайтида камеранинг ўқи атрофида 1 минутда 0,2-2 маротаба айланади. Бу ҳолатда элементар ячейканинг улчамлари ва шаклини аниқ топиш имконияти пайдо бўлади;

3. Кукун усули - фотоплёнкали цилиндрик кассетага махсус эгри чизиқлар ҳолида қайд этилади. Ионизациян рентгенограмма ҳолида олинниши ҳам мумкин. Бу ҳолда фотоплёнка ролини дифрактометрдаги счётчик тешиги бажаради. Дифракцион шакл секин – аста, счётчик айланишида пайдо бўлувчи ва кетма-кет келувчи чизиқлар ҳолида олинади.

4. Рентгенодефектоскопия - газли ғоваклик, дарз кетиш каби ҳолатлар қайд этилади.

Тиббиётда қўлланиладиган асосий усуллар қаторига қўйидагилар киради:

1. Рентгеноскопия - бемор экран билан рентген трубкаси оралиғида туради. Натижа зичланган жойни қорайтириш ҳолатида қайд қилиш билан тутайди.

2. Рентгенография - текширилаётган аъзонинг сояси рентген плёнкасида тасвиrlанишига асосланган.

3. Флюрография - аъзо тасвири махсус аппарат билан суратга олинади, бунда пленка автоматик ҳолатда сурилади.

4. Электронорентгенография - текширилаётган аъзонинг сурати ҳар хил аппаратлар ёрдамида асосан оддий оқ қофозга олинади.

#### 44-§. Рентгенографияда қўлланиладиган асосий ускуналар

Жаҳон минералоглари ва кристаллографлари томонидан деярлик барча табиий ва маълум бўлган сунъий минералларнинг тузилиши микроскопик таҳлил асосида 1900 йил атрофида ўрганиб бўлинди. Натижада қаттиқ жисм атомлари тузилмаси ҳажмий тўгри, унда атомлар маълум тартибда жойлашганлиги таъриф этилди. Лекин 1921 йилда эса рентген нурлари ёрдамида уларни қайта текшириш бошланди. Бу амалий текшириш фан ва техникани ниҳоятда бойитди, минеролог-кристаллографларнинг шу онга қадар ҳам тўгри талқин ва башорат қилишганликларини тасдиқлади.

Кейинги йиллар давомида рентгенографияни фан ва техникада қўллаш бўйича улкан тадқиқотлар олиб борилди. Рентгенографияга оид аппаратларни қўллаш тиббиёт, металлургия, кимё, машинасозлик, самолётсозлик, ракетасозлик каби соҳаларида кўпайди.

Амалий рентгенографияда ҳам катта ўзгаришлар содир бўлди. Рентгенография аппаратларининг сезувчанлиги оширилди, ҳажми ва оғирлиги эса кичрайтирилди. Рентген анализи усуллари такомиллаштирилди.

Ўзбекистонлик олимлар – проф. И.С.Канцепольский, Н.А. Сирожиддинов, Б.И.Нудельман, Т.А.Отакузиев, А.А.Исматов тадқиқотларида ҳам амалий рентгенография усули катта ўрин эгаллади. Паст ҳароратларда пишувчи цемент, керамика ва ситаллар олишда унинг хизмати, ниҳоятда катта бўлди.

Фотоусул ишлари учун мўлжалланган тузилма таҳлили аппаратлари. Уларга биринчи навбатда, УРС-60 ва УРС-55 аппаратлари киради:

**УРС-55 аппарати.** У 55квли кучланишда ишлашга мўлжалланган. Бу стол усти аппарати бўлиб, унда тузилма таҳлили ўтказиш мумкин.

УРС-55 аппаратининг муҳим томонлари сифатида тезкор столнинг кичикилиги, юқори қувватли кенотроннинг йўқлиги ва бошқарув пульти (тўғриловчи вазифасини рентген трубкаси бажаради)нинг ихчамлини айтса бўлади.

УРС-55 аппарати БСВ-2 типидаги чизиқли фокус ва торировкалангандан католи маҳсус электрон трубка билан ишлашга мўлжалланган.

**УРС-60 аппарати** У 120 ва 220Вли иккита тўғриловчи лампалар - кенотрон ва 60 кв кучланишда ишлаш учун мўлжалланган.

УРС-60 аппарати - фотометрик усулга мўлжалланган. Унда анод токини стабиллаштирувчи стабилизатор борлиги учун аппаратни ионизацион усулни қайд этиш учун ишлатса бўлади. Иккита трубкада бир йўла ишлаш мумкин. БСВ-2 да рентген нурларини чиқарувчи деразача сони 2 та, БСВ-4 да чиқиши деразачаси 4 та ва БСВ-6 да чиқиши деразачаси 2 та. Шу трубкалар билан ишланса, қурилма хавфсиз бўлади.

Аппаратда сувни камайтирилиши ёки сув келмаслик ҳолатларида, юқори вольтли кабел учб қолганида, анод токи миқдорининг нормадан ошиб кетганида блокировка қўлувчи қурилма бор. Анод токини феррорезонанс ва электрон стабилизатор СН-2 ёрдамида барқарорлаштириш кўзда тутилган. Аппарат ток кўрсаткичларининг +7 дан -15% гача тебранишида ишончли ишлайди. Қурилма иш ва тезкор стол шаклида. Тезкор стол ичидагенератор мосламаси мавжуд.

**УРС-70** курилмаси. Универсал рентгентузилмавий курилма. 50 гц частота, 127 ёки 220 в кучланишда, ўзгарувчан ток манбайда ишлашга мосланган.

Рентген трубкани күвват олиш схемаси ярим тұлқинли (бир кенотронли ёки кенотронсиз). Трубкадаги кучланиш амплитудаси 70 кв гача, трубкадан үтәётгандың ток 30 ма.

Курилма БСВ типидаги шишилі электрон трубка билан ишлашга мосланган. Бошқа типдеги трубкалар, электрон ва ионли (трубка полюсими ерга улаб қойиши шарт) трубкаларда ишлаш имконияти бор. КРМ-150 типидаги кенотрон түғрилаш учун ишлатилади.

**АРС-4 аппарати.** У портатив, жуда тор нур бөгларини олиш учун ишлатилади. Аппаратда БСВ-5 (чиқиши сони-2) микрофо-кус трубкадан фойдаланылади. Трубка аноди катта кучланиш остида бўлиб, катод ерга улаб қўйилган. Корпуснинг катод чўғлаш иплари ҳимояланган ва қаршиликлар ёрдамида биритирилган. Бунда анод токи үтишида керакли кучланиш ҳосил бўлади.

Аппарат 50 гц частотада ва 127 ёки 220 в кучланишда бир фазали манбага улашга мослаштирилган. Трубкадаги күвват амплитудаси 45 кв; трубкадан үтгувчи ток - 0,45 ма атрофида; максимал қүвват - 0,3 квт атрофида бўлади. Трубка аноди махсус насос ёрдамида трансформатор ёғида совитилади.

Рентгенограммалар юқори ва паст ҳароратларда, вакуум ва босим остида олиб борилиши мумкин. Юқори ҳароратларда рентгенографик шаклларни олиш юқори ҳароратли фазавий ўзгаришларини қайд қилиш учун, модданинг юқори ҳароратда қандай параметрларига эга эканлигини билиш учун, уларнинг иссиқлиқдан кенгайиш коэффициентларини аниқлаш учун олиб борилади:

1. Юқори ҳароратли рентген жиҳози УРВТ-1300. Унда на-мунани иси-тиш аппаратда ўрнатилган электр печи ёрдамида амалга ошади. Бу жиҳоз Дебай методи ёрдамида поликристаллик моддаларни вакуумда хона ҳароратидан то  $1300^{\circ}\text{C}$  гача текширишга имкон беради. Агар тажриба инерт гази ёки атмосферада олиб борилса, у ҳолда ҳарорат  $1100^{\circ}\text{C}$  кўтарилиши мумкин;

2. Юқори ҳароратли рентген жиҳози УРВТ-1500. Бу аппарат ёрдамида вакуумда тажрибаларни  $1500^{\circ}\text{C}$  гача олиб борса бўлади. Тажриба ҳаво ёки инерт гази атмосферасида олиб борилса, у ҳолда ҳарорат  $1200^{\circ}\text{C}$  гача кўтарилиши мумкин.

Рентгенографик анализни паст ҳароратда ҳам олиб бориш мүмкин:

1.ДРОН-1, УРС-50ИМ аппаратлариға паст ҳароратли күшимчы УРНТ-180 үрнатиласи. Бу тиргач ердамида тажрибаларни минус 180°C гача олиб бориш тавсия этилади. Намуна сифатида күкүн ёки шлифдан фойдаланиласи. Намунани совишиш азот парлари ҳисобига бўлади.

2.ДРОН-1 га КРН-190 приставкасини ҳам үрнатиб тажрибаларни минус 190°C гача ўтказиш мүмкин. Намуналар бу жиҳозда вакуумда иссиқлик контакти ҳисобига совийди.

ДРОН-серияли аппаратлар: ДРОН-1, ДРОН-1,5, ДРОН-2, ДРОН-4, ДРОН-УМ1-0,1 ва хоказо. Рентген дифрактометри умумий вазифаларни бажаришга мўлжалланган бўлиб, у ионизацион шаклни электрон ҳисоблаш машиналариға уланган перфотасмага ҳам тушуриши мүмкин. Бундай аппаратлар юқори унумдорликка эга. Рентген трубкасидаги максимал кучланиш 50 кВ, максимал ток эса 60 мА.

Адабиётда ДРМк-2.0-кўп каналли маҳсус рентген дифрактометри, ДРД-4- дистанцион бошқариладиган рентген дифрактометри, ДАРМ-2.0 – ЭҲМ дастурига мўлжалланган автоматик рентген дифрактометри, АРС-4 – тузилмавий текширишга мўлжалланган портатив рентген аппарати, МАРС-1 ва МАРС-2 – тузилмавий анализга мўлжалланган кўп фокусли рентген аппарати ва бошқалар борлиги ҳамда уларнинг ишлаш асослари ёритилган. ДРОН ва УРС ларга УРНТ-180, КРН-190 үрнатилса, паст ҳароратда иш олиб бориш мүмкин. Юқори ҳароратда УРВТ-1300 ва УРВТ-1500 лар қўлланиласи.

Тиббиётда қўлланиладиган рентген ускуналари. Улар уч синфа ажралган:

1. Россияда чиқарилган Рум-20 ва Рентген-50, Германияда чиқарилган Тур-Д-701 ва Тур-Д-1001, Чехия ва Словакияда яратилган Дуролюкс ва Венгрияда чиқарилган ЕДР-750 аппаратлари. Улар уч фазали олти ярим ўтказгич тўғриловчиларга эга бўлиб, максимал юқори кучланиши 125-150 кВ, анод токи эса 600 дан 800 мА гачадир. Бундай аппаратлар юқори даражада автоматлашган универсал штатив, телевизор приёмники, кино ва флюорограф камераси билан таъминланган.

2. Россиянинг Рум-10 ва Рум-22, Чехия ва Словакиянинг Хиродур-125 ва Мегамета-125, Венгриянинг Диагномакс-125 ва Неодиагномакс-125 аппаратлари. Бу синф аппаратлари бир

фазали ва икки ярим ўтказгич түғриловчи тизимга эга бўлиб, кучланиши 125-150 кВ ва токи 400-500 мА.

3. Россиянинг Рентген-30, Урд-Д-110 ва Рум-5, Германиянинг Тур-Д-350, Чехия ва Словакиянинг Дурамета аппаратлари. Улар кам кувватли, юқори кучланиши 125 кВ ва анод токи 125-300 мА га тенг. Улар 220 ва 380 в электр тармоқлари учун чиқарилган.

#### 45-§. Аппаратларнинг асосий қисмлари

Рентген аппаратларининг асосий қисмларига киради: рентген трубкаси, түғриловчи лампа - кенотрон, чўғланиш реостати, юқори вольтли трансформатор, чўғланиш трансформатори, бошқарув пульти ва унинг зинапояли автотрансформатори ва бошқалар. Кўйида уларнинг тузилишига оид маълумотлар берилади.

1. **Рентген трубкалари БСВ-2, БСВ-4, БСВ-6 ва бошқалар.** Б-химояли қопламада, хавфсиз; С-тузилма таҳтили учун; В-сувли совитиш маъноларини англатади.

Рентген трубкаси рентген нурлари манбаи бўлиб, у тез учувчан электронларнинг йўлида жойлашган анод билан тўқнашуви натижасида юзага келади.

Рентген трубкаларида рентген нурларини юзага келиш учун қўйидагилар таъминланиши керак:

- а) Озод электронларни ҳосил қилиш;
- б) Озод электронларни катта кинетик энергия билан таъминлаш (бир неча мингдан то 1-2 млн. электронвольтгача);
- в) Анод атомлари билан тез учувчан электронларнинг узаро таъсири.

Рентген трубкалари белгиларига қараб қўйидагича таснифланади:

1) Озод электронлар олиш усули бўйича. Бунда трубка ионли ва электронли тарзда фарқланади. Ион трубкаларда озод электронлар совуқ; катодни мусбат ионлар билан бомбордировка қилиш натижасида олинади. Бу вақтда ионли трубка ичидаги  $10^{-3}$  -  $10^{-4}$  мм қўрошин столбчасига тенг бўшлиқ ҳосил этилиши ва катодга юқори кучланиш бериб юборилиши шарт. Шундагина катоддан озод электронлар ажралиб чиқади ва идишдаги вакуум туфайли анод томон йўл олади. У анод атомлари билан жуда катта тезликда тўқнашади ва ниҳоят улардан рентген нурларининг ажралиб чиқишига сабабчи бўлади.

Электрон трубкала озод электронлар токда қиздирилган катоднинг термоэлектрон эмиссиясидан пайдо бўлади.

2) Вакуумни ҳосил қилиш ва уни ушлаб турish усули бўйича. Бунда трубкалар қалайланган ва йигма тарзда бўлиши билан фарқланади.

Қалайланган трубкаларда юқори вакуум трубка тайёрланадиган вақтнинг ўзида яратилади ва у ўзининг герметик корпуси (баллон)га кўра, ишлаш даврида вакуум ҳолатини сақлайди. Вакуумнинг ўзгариши трубкани ишдан чиққанлигини билдиради.

Йигма трубкаларда бўшлиқ вакуум насос ёрдамида яратилади ва ушлаб турчлади.

3) Ишлатилиши бўйича. Трубка материални ёритиш, тузилма таҳлили ва тиббий мақсадларда (ташхис ва даволаш мақсадила) кўлланилади.

4) Фокусининг катталиги (майдони) бўйича. Трубкалар нормал ( $6\text{-}7\text{мм}^2$ ) ва ўтири ( $\text{мм}^2$  нинг бир неча юз ёки мингнинг улуши қисмича) фокус билан тайёрланади.

Тузилма таҳлили учун қалайланган электрон трубкалар ишлатилади. Унинг кўриниши БСВ-2 мисолида қўйида берилади (42-расм).

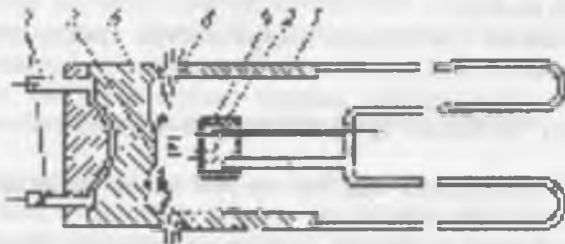
У шиша баллондан ташкил топган, унга иккита электрод киритилган: катод - қиздириладиган вольфрам симли спирал шаклида ва анод- тўла мисли трубка шаклида.

Шиша баллонда юқори вакуум ( $10^{-5}\text{-}10^{-7}\text{мм}$  симоб устуни) ҳосил қилинади. Унда электронларнинг катоддан анодга бориши эркин харакати таъминланади. Катод иссиқлик ва кимёвий таъсиридан ҳамда электронлар орасидаги газли мұхитда чақмоқ ҳосил булишидан ҳимояланган.

Вольфрам спирал 2100-2200 $\mu\text{C}$  гача токда қиздирилганда электронларни чиқараади. Трубка полюсига юқори кучланиш қўйилганлиги туфайли анодга катта тезлик билан интилади. Анод (анод кўзгуси) майдонига урилиб, электронлар тормозланади. Таҳминан 1% атрофида кинетик энергия рентген нурларининг электромагнит энергияси тебранишига узгаради; қолган энергия аноддан ажralаётган иссиқликка сарфланади.

Тузилма таҳлили учун трубкадан чиқариладиган нисбатан юмшоқ нур (1 л ва кўпроқ тўлқин узунлигига) шишада жуда кучли ютилади. Шунинг учун трубка баллонига рентген нурларини чиқаришни таъминлаш учун енгил элементлар (берил-

лий, литий, бор) дан ташкил топган гетан қотишмаси ёки бериллий металлидан ясалган дарча қотирилади (қалайланади).



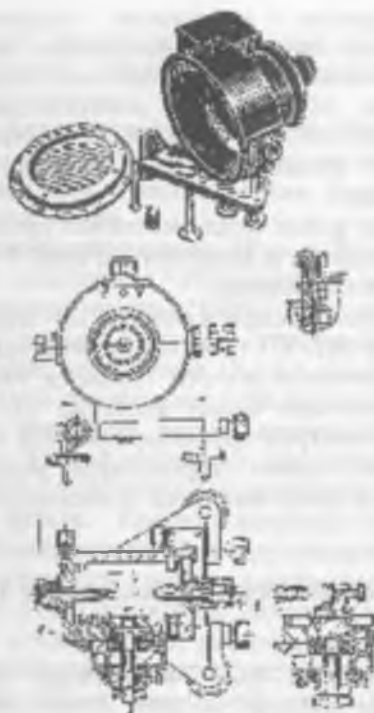
42-расм. Тузилма таҳлили учун ишлатиладиган БСВ-2-электрон рентген трубкаси: 1-балон; 2-катод; 3-анод; 4-йұналтирувчи қалпоқ; 5-мухофаза воситаси; 6-йұналтириш тешіклари; 7-совитиш тизими.

Электрон трубкадаги катод вольфрам спиралдан иборат булиб, күпинча эмиссион ҳолатни ошириш учун торий қавати билан қопланади.

Спирал фокус қалпоқасига жойлаштирилади. Қалпоқчанинг вазифаси трубка фокусини камайтириш ва катоддан анодға учаётган электрон пучок-арини торлантиришдан иборат. Трубка фокуси деб рентген нурлари ҳосил қылувчы электронлар тушадиган анод майдонига айтилади (фокус думалоқ ёки линиялы шаклга зә).

Катод ярим цилиндр ичиде винтли чизиқ күринишида, баъзан спирал күринишида фокусловчи чашка ичига жойлашган.

Анод - яхлит цилиндр күринишида (күпинча мисдан), юқори иссиқлик үтказувчан материаллардан тайёрланади. Аноднинг ташқи ён деворига электронларни тормозловчи пластинка антикатод прессланади. Тузилма таҳлили учун трубкадаги анод ёни 90° бурчакда анод ўқига нисбатан кесилған.



43-расм. РКД-57 камерасининг асосий қисмлари.

Күпроқ тарқалган анодли трубка - антикатодлар хром, төмір, ванадий кобальт, никел, мис, молибден, вольфрам, кумуш ва марганецлардан тайёрланған бұлади. Электронларнинг анод күзгусига урилишида катта миқдорда иссиқлик ажralади. Анодни ўта қыздырыш вакуум бузилишига, чанглашиш тезлашишига, күзгү ва анодни ҳам эришига олиб келади. Бунинг олдини олиш мақсадида анод оқиб турған сувда ёки ёғ билан узлуксиз равищда совитилади.

Трубканинг мұхим ҳолат күрсаткичи унинг қувват чегараси бұлып, у қүйидагиша ифодаланади:  $P = UI$  вт,

бу ерда,  $U$  - максимал юқори күчланиш, в ;  $I$  - трубка токи, амперда.

Қувват чегарасини ошириш мүмкін эмас, сабаби анод қызыб кетади.

Трубка фокуси майдонини камайтириш иссиқлик қиқарувчи металл ҳажмини камайтиради, шу туфайли трубканинг қувват чегарасини камайтиришни тақозо қилади.

Курилаётган БСВ-2 мисли антикатодли трубкага бериладиган энг катта қувват 700 вт га, солиштирма қувват эса 48 вт/мм<sup>2</sup> га тенг. Бундай трубканинг нормал юзаси  $700/48 = 14-15$  мм<sup>2</sup> га тенг.

Кўрсатилган фокус юзада максимал қувват УРС-60 аппарати учун 60 квт бўлса, у ҳолда трубка токи  $I \leq P/U = 700/60000 \leq 12$  ма дан ошмаслиги керак.

Тузилма кўрсаткичлари қўйидаги 18 - жадвалда кетирилади.

**2. Кенотрон (К).** У - тўғирловчи сифатида хизмат қилади ва кучланиш ўзгаришида рентген трубкани учиреб қўяди. Кенотрон ион трубкалари билан ишлашда қўл келиши мумкин. Чунки ҳамма электрон трубкаларнинг ўзи тўғирловчи ролини ўйнайди, бироқ қийин шароитларда рентген трубкага бир йўналиш бўйича фақат битта ток ўтказилади.

### Тузилмавий таҳлил трубкаларнинг тавсифлари

18-жадвал

Трубка типи	Максимал қувват, вт	Нуртешниклари сони	Фокус форварди	Фокус улчами, мм	Фокус проекцияси улчами, мм	Фокус майдонига солиштирма таъсир	Интеграл интенсивлик, $\times 10^3$	Мисли анод кучланиши, кв	Максимал анод токи, ма
БСВ-2	700	2	тўтри	1,2x12	1,2x1,2	48	327		
БСВ-3	450	2	-	1x2,5	-	22		45	14
БСВ-4	120	4	айланма	3	3x0,3	17	88		
БСВ-5	20	2	--	0,040	0,04x0,04	4000			
БСВ-6	450	2	тўри	25x5	2,5x0,5	36	304	45	14
БСВ-8	1000	2	--	1x12	1x1,2 0,1x12	83	454	50	40
БСВ-9	1500	2	--	2x12	2x1,2 0,2x12	63	170	50	60
БСВ-10	600	2	--	0,4x8	0,4x0,8 0,04x8	1900		45	24

**3. Чўғлаш реостатлари ( $R_{HK}$ ,  $R_{HP}$ ).** Улар - кенотрон ва трубка катоди ток кучини бошқариш учун хизмат қилади. Шаҳар тармоғидаги катта бўлмаган тебраниш чўғлаш токини

тебранишига олиб келади ва трубкадаги анод токини кучли равишда ўзгариради. Чүглаш токини стабиллаштириш учун стабилизатор ишлатилади.

**4. Юқори вольтли трансформатор (РР-55).** Юқори кучланиш олиш учун хизмат қиласы. Биринчи обмотка АА автотрансформатордан ёки қувватни текис ўзгартырувчан қувват вариаторидан озиғланади.

**5. Чүглаш трансформаторлари (ТНР и ТНК).** Кенотрон ва рентген трубка симларини чүглантириш учун ишлатилади. Вольфрамли катодли иплар  $2100^{\circ}\text{C}$  гача ва ундан юқорида қиздириш учун улардан 3-6 а ток үтказилади. Бу ток чүглаш трансформаторидан кенотронни 10-15 в ли ва рентген трубкасини 6-8 в ли қилиб пасайтириш учун берилади.

**6. Зинасимон бошқариш пульти автотрансформатори (АА)-юқори вольтли трансформаторни биринчи обмоткасининг юқори кучланиши ўзгаришини бошқариш учун ишлатилади.**

**7. Бошқарув пульти.** Рентген аппарати маҳсус бошқарув пульти орқали бошқарилади. Бушқарув пульти рентген аппаратининг электр схемасини сиртқи электр тармоғи билан улайди. У ҳар турли ўлчов асбоблари билан таъминланган бўлиб, тармоқдаги ток кучланиши В, юқори кучланишли ток  $\text{kV}$  ва ток қуввати  $\text{mA}$  ни кўрсатади ва регулировка қиласи. Унда юқори кучланиш, қувват, вақт ва ёргуллик каби параметрларнинг созлиги ва носозлиги ҳақида хабар терувчи мослама мавжуд.

Рентген трубкасига йўналтирилган кучланишни ўлчаш рентгенотехникада мухим масала ҳисобланади. Уни шарли разрядник билан ўлчаш ўта оддий, қулагай ва етарли даражада аниқлашга имкон берадиган усулларидир.

Рентген аппарати трубкасидан ўтаётган токни ўлчаш учун миллиамперметрдан фойдаланилади.

#### **46-§. Фотоусулнинг рентген камералари**

Текширилаётган кристалл моддасидан қайтган рентген нурларини дифракцион максимумларини фотоплёнкада қайд қилиш учун хизмат қилувчи курилмалар рентген камералари деб аталади. Бундай камералар дифракцион максимумларни фотоплёнкада қайд қилиш учун хизмат қиласы.

Камералар фарқланади:

1. Махсус вазифали - алоҳида масалаларни ечиш учун РКФ-86 ва бошқалар ишлатилади.

2. Умумий вазифали камералар - күп масалаларни ечиш учун, одатда, Дебай камераси - РКД ва бошқалардан кенг фойдаланилади. Улар күпроқ тузилмасини ўрганиш учун мұлжалланған.

**Камера типлари.** Уларга қуйидагилар киради:

1) РКД-57. Поликристаллардан дебаеграмм суратини олиш учун. У фазовий таҳлил, дисперлик даражасини аниқлаш, қатлам юзаси ҳолатини аниқлашга хизмат қилади. Диаметри D-57,3 мм. Суратта олиш бурчак интервали 4-84<sup>o</sup>C (43-расм).

Намуна шакли ва ўлчами, камера конструктив шартлари: пластинка ёки юпқа цилиндр шаклда бўлиб, ўлчамлари 10x12x5 мм га тенг.

Айланиш: цилиндр намунани айлантириш мумкин. Плёнка жойлашиши - цилиндр юзаси бўйича диаметри 57,3 мм ва баландлиги 24 мм.

РКД-57 камерасининг асосий қисмларини қуйидагилар ташкил этади:

а) коллиматор—биттга ёки бир нечта диафрагмадан ташкил топган бўлади. Улар тушаётган нурлар оқимининг күп қисмини тутиб қолади ва ингичка нур оқимини ўтказишга хизмат қилади;

б) тубус-коллиматорнинг қархисидаги тешикка ўрнатилган бўлиб, у дастлабки нурларни цилиндр деворидан ёилишининг олдини олиш учун хизмат қилади;

в) камера корпуси—рентген плёнкаси учун кассета вазифасини ўтайди.

РКД – типидаги рентген камералари 4<sup>o</sup> дан 84<sup>o</sup> гача бурчак остида қайтган нурларни қайт қилишга имкон беради. Плёнка камера корпусининг ички қисмига зич жойлашиб қолиши учун халқасимон пружиналар ёрдамида қотириб қўйилади.

Рентген камерасига рентген плёнкаси қўйиш чогида ундан коллиматор ва тубус олиб турилади. Плёнка жойлаштирилиб маҳкамлангач камеранинг қопқоғи винтлар ёрдамида беркитилади. Шундан кейин камера рентген аппаратига – нур тушиш йўлига жойланади.

Камерада рентген нурларини қайд қилиш вақти турлича бўлиб, у тушаётган нурларнинг интенсивлиги, текширилаётган модда тузилмаси ва бошқа ҳолатларга боғлиқ. Хозирги кунда

цилиндрик рентген камераларида рентгенограмма олишнинг уч хил усули мавжуд.

**РКФ-86.** Дебаеграмм съёмкаси учун мұлжалланган. Фок-словчи, поликристалларни прицизион решеткаси даврини аниклаш учун.  $D=85,95$  мм,  $\theta$  расмга олиш= $60-88^\circ, 16 \times 16$  мм ўлчамдагы картонга ёпиширилган куқун ва камеранинг цилиндр юзаси бўйича айланмайди, цилиндр юзаси бўйича пленка ёйлади.

**КРОС** - дебаеграмм олиш учун. Қарши съёмка учун. Поликристалл панжараси ўлчамларини прецизион аниклаш, тузилмасининг мукаммаллик даражаси, кассета юзаси оралигидан  $25-100$  мм ли намуна юзасигача,  $\theta=54-85^\circ$ . Намуна ясси  $50 \times 60 \times 25$  мм гача ўлчамда, айланиши мумкин,  $150$  мм диаметрли боғда перпиндикуляр ҳолатда кассета юзасига съёмка қилинади.

**РКЭ** - дебаеграмм олиш учун. Поликристалларнинг тажриба съёмкаси,  $0=10-30^\circ$  фазовий анализда,  $60-88^\circ$  панжара параметрларини аниклаш учун, айланма, намуна ясси шаклда, диаметри  $29$  мм ва баландлиги  $h=10$  мм.

**РКСО** - монокристаллар лаузграммасини олиш учун, айланиш йўқ, кристалларнинг симметриясини полихроматик нурланишда съёмка қилиш ва уларни йўналишини аниклаш учун камеранинг оптик марказидан пленкагача бўлган масофа  $40$  мм;  $\theta=2-30^\circ\text{C}$  ва  $60-87^\circ\text{C}$ . Намуна шакли - ихтиёрий. Кассеталар  $120 \times 100$  мм да тўғри ва  $100 \times 80$  мм қарши съёмкада.

**РКВ-86, РКУ-95 ва РКУ-114.** Монокристалл съёмкаси учун мұлжалланган. Лаузграмм айланиш билан, камера диаметри  $86$  мм, намуна шакли - ихтиёрий,  $\theta=4-80^\circ$ .

**РКУ-86, РКУ-95 ва РКУ-114.** Улар дебаеграмм олиш учун, фазовий таҳлил, монокристаллар занжири даврини аниклаш учун хизмат қиласидилар.  $\theta=4-85^\circ$ , айланиш билан ва айланиш сиз пленка цилиндр юзаси бўйича.

**КФОР** - қайта панжарали фотография камераси, намуна шакли - ихтиёрий, съёмка ясси кассетада, - айланиши ҳам мумкин.

**КМПС-вакуум** камераси. Съёмкани қайд этувчи монокрхоматор фазовий таҳлил, поликристалл панжарасини аниклаш учун.  $D=171,9$  мм ёки  $57,3$  мм;  $\theta=12-89^\circ$  катта камерада;  $\theta=3-30^\circ$  ва  $60-87^\circ$  кичик камерада. Куқун картонга ёпиширилган, кўзгалмас.

КРС- рентгенографик топография учун монокристаллар ту- зилмасининг ҳақиқий даражани текшириш учун хизмат қиласи. Монокристалл, намуна ўлчамлари  $20 \times 10 \times 0,5$  мм дан  $60 \times 20 \times 10$  мм гача.

Юқоридаги 43-расмда РКД-57 мисолида камераларнинг муҳим жиҳатларини кўриб чиқамиз. Камера қўйидаги асосий деталлардан ташкил топган:

1) Камеранинг асоси ва корпуси.

Учбуручак шаклидаги 1 асос учта винт ёрдамида ўрнатилади, бунда баландлик бўйича камера баландлиги бошқарилади. Камеранинг цилиндрлик корпуси 2 нинг иккита қопқоғи бор. Қопқоқ 3 корпусга маҳкамланган ва 4 қопқоқ эса олиниши мумкин.

2) Бирламчи нур боғларини чегараловчи коллиматор 5. Коллиматор бир нечта думалоқ ёки ёриқли диафрагмалардан ташкил топган.

3) Бирламчи нур боғининг ёритишидан пленкани ҳимоя қиласи- 6.

4) Намунани ушлаб турувчи 7 ва марказлаштирувчи мосла- ма 8.

Намунани ушлаб турувчи ўқли фазали конуссимон бошча- дан ёки столикдан иборат бўлиб, унга намуна устун ёки сим- лар шаклида қўйилади.

Намунани камера ўқи бўйича марказлаштириш учта қисиб турувчи винтлар орқали амалга оширилади. Такомиллашган моделларда эса – конуссимон бошчани магнитга жойлашти- риш билан амалга оширилади.

#### 47-§. Нурланишни ионизацияцион қайд этиш таҳлили аппаратлари

Бу усул бўйича модданинг дифракцион картинасини қайл этиш плёнкада эмас, балки у ёки счётчик билан ва нур қайтариш максимумлари ҳолатини ёзишини қофоз тасмага ўзи ёзувчи қурилма ёрдамида амалга оширилади.

Дифрактометрия рентгенотузилма таҳлилини очишиди, ҳамда катта даражада рентгенографик текширувлар ўтказишида катта аҳамиятга эга. Сабаби нур қайтариш интенсивлигини нафақат объектив баҳолаш, балки асбобнинг юқори очиш ху- сусияти ва ишининг унумлилигидадир. Тўла дифрактограммни

қайд этиш 20-30 минут ичидаги амалга оширилади. Юқори дарражали аниқлаш хусусияти дифрактограммани баъзи деталларини аниқлашга имкон яратади. Бу деталларни аниқлашда аввал катта диаметрли камералар ва шунга мувофиқ узоқ муддатли экспозициялар зарур эди. Бу усул, айниқса, бир типли модда анализи ёки кичик муаммоларни хал этишда жуда муҳим, масалан, карбонатларни аниқлашда, дала шпатининг микроклинлиги даражаси ва минералларнинг тузилма турларини аниқлашда жуда муҳимdir.

Дифрактограмм нур қайтариш бурчаги қиймати ва уларнинг интенсивлигини тўғридан-тўғри беради. Куқун рентгенограммаларида нур қайтаришга боғлиқ бўлган, нур қайтариш бурчаги кўрсаткичидан юзалар аро масофа кўрсаткичига ўтишда, юзалараро масофа турли тўлқин узунликлари бўйича ҳисобланган ва маълумотномаларга йигилган нурланишни жадвулларидан фойдаланиш орқади бўлади.

Шундай қилиб, рентген дифрактограммаси бошқа рентгенограммалардан фарқ қиласди;

- 1) Фазовий таҳлил учун рентгенограмманинг тез олиниши;
- 2) Уни ҳисоблашнинг осонлиги (соддалиги);
- 3) Фон диффузияси ва чизиқларнинг интенсивлигини аниқ ва оддий топиш имконияти;
- 4) монокристалларнинг йўналишини тез ва аниқ аниқлаш;
- 5) Сифатли полюс шаклларни тез тузиш.

Шунинг учун рентген дифрактограммаларини олиш ҳозирги кунда кенг тарқалган.

Умумий мақсадда УРС-50 ИМ, ДРОН-1, ДРОН-2, ДРОН-3, ДРОН-4 типидаги дифрактограммаларни МДҲ мамлакатларининг маҳаллий саноати чиқаради.

**УРС-25И, УРС-50И ва УРС-50ИМ дифрактометрлари.** Улар юқори аниқликка эга бўлиб, уларда ёзув автоматик тарзда рўй беради. Бундан ташқари, бу аппарат визуал дифракция бурчакларини гониометрик мослама ёрдамида ҳисобга олишига ҳам имкон беради (44-расм).

Рентген нурлари трубкадан намунага тушади, қайтарилади ва ҳисобловчи қурилмага келади. Гейгер-Мюллэр счётчилигига нур тушишидан ҳосил бўлган импульслар бирин-кетин кучайтиргич, қайта ҳисобловчи тизим, интегрировка қилувчи тизимлардан ўтади ва ўзи ёзувчан потенциометрга етиб келади. Охирги қурилмада уларнинг қийматлари қайд этилади.

Дифрактометрларнинг техник кўрсаткичлари:

1. Интенсивликни ўлчашдаги максимал хато уларнинг номинал қийматларидан -15 дан +5% гача ташкил этади.

2. Интенсивлик максимал ўлчови 1000 имп /сек, қайта ҳисоблаш схемаси буйича 5000 имп /сек. гача.

3. Гониометр радиуси -160 мм.

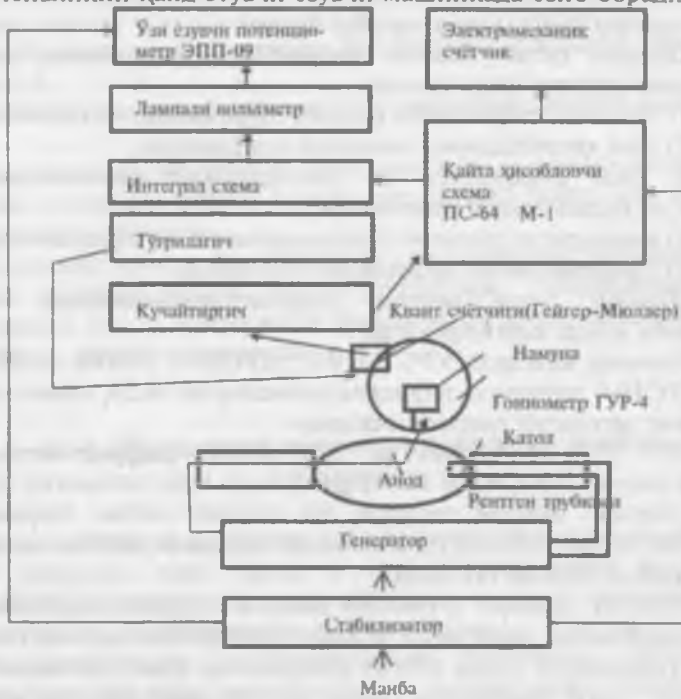
4. Трубка манбаси: V 50 кв гача, I 12 та гача.

5. Рентген трубкаси типи - БСВ -6.

**ДРОН-0,5 ва ДРОН-1 дифрактометрлари** - амплитуда дискриминацияли сцинтиляцион счётчикка эга. Бу аппарат жуда қулай ва фазовий таҳтили жараёнидаги барча масалаларни сишигга имкон беради.

Аппаратларнинг техник маълумотлари:

1) Автоматик счётчик I; 0,1 ёки 0,01 градусда рентгенограмма нүқталарини олишни таъминлайди. Бир вақтнинг ўзида интенсивликни қайд этувчи ёзувчи машинкада ёзиг боради.



44-расм. УРС-50И ионизацион қурилмасининг принципиал блок-схемаси.

2. ГУР-5 гониометри счётчикнинг I / 32 дан то 16 град / мин тезликда айланишини таъминлади.

3. Счётикнинг айланиш бурчаги +90 дан – 168° гача.

4. Интенсивликнинг максимал ўлчовлари  $5 \cdot 10^4$  имп / сек. гача.

5. Гониометр радиуси – 180 мм.

6. БСВ-8, БСВ-9 ва БСВ-10 трублари ишлатилади. Уларнинг қувватлари БСВ-6 трубканинг қувватидан 2-3 марта юқори.

**ДРОН-2 дифрактометри.** Бу курилма УРС-25И, УРС-50И, УРС-50 ИМ, ДРОН-0,5 ва ДРОН-1 лар сингари ўзи ёзиши, қайд этиши, бурчакдан тушаётан иккиламчи нурларнинг интенсивлиги (2 θ бурчакда) билан таъминланган.

**ДРД-1 дифрактометри-радиоактив объексларни текшириш учун мўлжалланган.** Масофадан туриб бошқарилади.

**ДРК-2 дифрактометри** – кварц пластинкаларнинг бурчаклари кесимини назорат этиш учун.

**АРС-4М дифрактометри** – рентген нурларини микрофокусли боғлари билан ва бошқалар.

**ДАР-1 автоматик дифрактометр.** Монокристалларни программали бошқаришда текшириш учун. Бу аппарат кристаллографларнинг VII Халқаро Конгрессида (Москва, июл, 1966 й.) кристаллографик аппаратуралар кўргазмасида намойиш этилган.

Биринчи русумли аппаратларда (УРС-25 И, УРС-50 И ва УРС-50 ИМ) рентген нурлари детектори сифатида Гейгер-Мюллер счётичидан, иккинчисида (ДРОН-0,5, ДРОН-1, ДРОН-2, ДРОН-4 ва бошқалар) – дискриминация амплитудасини пропорционал счётич ёки сцинтиляцион счётичдан фойдаланилади.

#### 48-§. Нурланиш детекторларининг қисқача тавсифи

**Пропорционал ва Гейгер-Мюллер счётиклари.** Улар ионизацион табиатига эга. Счётич корпуси шиша трубадан иборат бўлиб, ичida гази бор (одатда аргон ёки криптон, босими 500 мм симоб устуни) У иккита электрод (анод ва катод) дан ташкил топган. Трубка ёни рентген нурларини кам ютувчи материаллардан (слюда, бериллий ва бошқалар) ясалган.

Рентген нурлари квантлари счётичка тушиб, газларни ионлаштиради; ҳосил бўлган ионлар (электродлар орасидаги

потенциаллар мавжудлигиде) ток импульсини яратади. Бунда давомийликни разряд вақти белгилайди.

Ионизацион счётчиклар: 200 в га тенг бүлган потенциаллар фарқида, ҳамма ионлар электродга тушади ва счётчик ионизацион камера ( $V_0-V_1$ ) режимида ишлайди. Токнинг кичик ( $-10^{-12}$  а) лиги ва детекторнинг паст сезувчанлиги туфайлиги бу режимда улчовларни утказиш мураккаб (45- ва 46-расм).

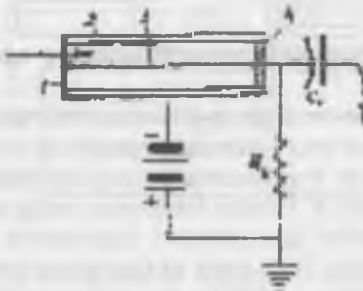
Пропорционал счётчиклар. 600-900 в ( $V_1-V_2$ ) потенциаллар фарқида электронлар тезлиги шунчалик ошади, унда ток импульси кучяди, иккинчи ионизацион эффект чарақлади; бироқ бу ҳодиса кичик оралықларда счётчик иплари билан чегараланган ва шунинг учун тез кучини йўқотади. Счётчикнинг кичик "ўлик вақти" га  $5 \cdot 10^5$  имп / сек гача қайд этиш имкониятини беради.

Импульси ток катталиги тахминан  $10^{-7}$  а га тенг ва рентген квантни энергиясига пропорционал. Шунинг учун бундай режимда ишловчи ионизацион счётчиклар пропорционалли деб аталади.

Гейгер-Мюллер счётчиғи. Агар потенциаллар фарқи  $V_3$  га оширилса, иплар бўйлаб иккиласми разряд тарқалади. Сётчик Гейгер-Мюллер счётчиғи режимида ишлайди. Импульс катталиги энди квант энергиясига боғлиқ эмас, аммо  $10^{-3}$  а гача ошади. Бу регистрация қилишни осонлаштиради.

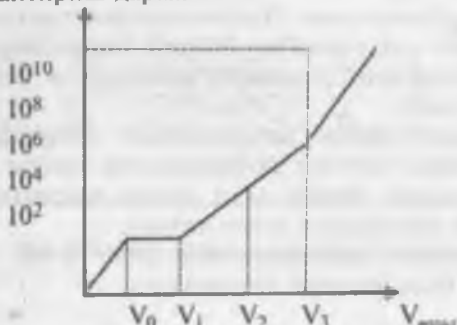
Бу нарса счётчикнинг "ўлик вақти" ни катталаштиради ва натижада ҳисобнинг максимал тезлиги  $5 \cdot 10^3$  импульс / секундга камаяди.

Гейгер-Мюллер счётчикларининг хизмат қилиш муддати  $10^3$  импульсгача, пропорционал счётчикларники эса  $10^{12}$  импульсга тенг.



45-расм. Импульсли ионизацион счётчик схемаси: 1-дарча; 2-катод; 3-утказгич (анод); 4-изолятор.

### Кучайтириш даражаси



46-расм. Газ ионизациясининг счётчики йўналитирилган потенциаллар фарқига боғлиқлиги ( Cu-K<sub>α</sub> учун).

### 49-§. Фотоусул ишлари учун мўлжалланган аппаратларда рентгенограмма олиш усуллари

Олдинги бўлимларда рентгенография усулининг назарий ва амалий асослари ҳамда ишлатиладиган аппаратлари ҳақида баттафсилик маълумотларга эга бўлдик. Бу бўлимда яна бир амалий иш - рентгенограмма олиш усуллари билан яқиндан танишилади.

Рентгенографик таҳлил имкониятлари чексиз. Усул жуда кўп афзаликларга эга, лекин камчилликлардан ҳам ҳоли эмас. Куйидаги шу ва шунга ўхшаш муаммолар ҳақида фикр юритилади.

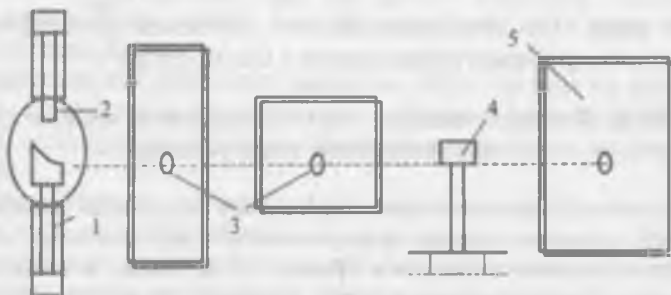
**1) Кўзгалмас монокристалл объектда лаузграмм олиш усули.** Лаузграмм монокристалнинг сифати, унинг кристалл тузилмасининг такомиллиги, унда иккιёқлама ёки қонуниятсиз ўсишлар борлиги, рентген нурлари йўналишида кристалл симметрияларини баҳолашга имкон беради, лекин бу усул бўйича элементар ячейка ўлчамларини аниқлаш қийин. Бу мақсад учун аниқ кристаллографик йўналиш атрофида монокристаллни айлантириш ва тебраниш усуллари ишлатилади. Бунда монокроматик нурланишга тасвир қилишдаги тақрорий давр аниқланади (47-расм).

**2) Монокристалл рентгенограммасини айланма ёки тебраниш орқали олиш усули.** Бу усулда 0,2-0,4 мм дан катта бўлмаган ўлчамдаги майда монокристаллар ишлатилади (48 ва 49-расмлар).

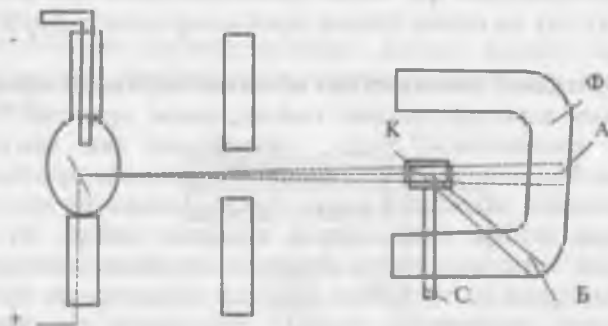
Усул панжара ёки кристаллар симметрияси даврини аниқлашда құлланилади. Плёнка ёки пластинкадаги ёритилған нүкталарнинг интенсивилігі бүйіча, бирікмаларнинг атомларининг жойлашиши, элементар ячейкасы ва ўлчамлари ҳақида хуоса қилинади.

Бу параметрларни аниқлашнинг түғридан-түғри усули бўлиб, электрон зичлик проекциясини чизиш усули ҳамдир. Бунда элементар ячейка (ёки унинг қисми)да атомларнинг жойлашиши проекцияси юзага келади.

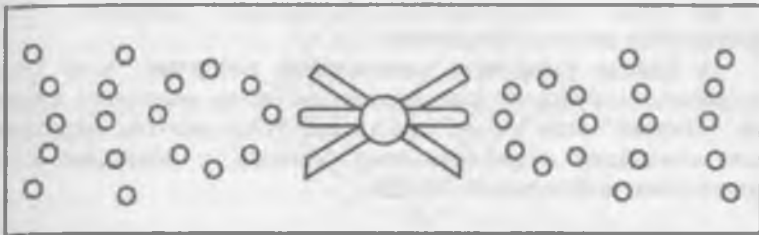
Нурланиши монокроматлаштириш учун дифференциал фильтр ёки Росс фильтри ишлатилади.



47-расм. Кристалдан дифракцион күрнишни олишнинг биринчи тарихий усули: 1-катод; 2-антикатод; 3-дарчалар; 4-кристалл үрнатылған гониометрик бош; 5-яссы плёнкалы тасма.



48-расм. Айланыётган монокристалл тасвирини олиш схемаси: Ф-плёнка; К – айланыётган кристалл; С – айланиш подставкасы; Б - дөг; А – дөг.



49-расм. «С» уқи атрофида берилл монокристаллининг айланма рентгенограммаси.

**3) Кукун усулида дебаеграмм олиш усули (Дебай-Шерернинг кукун усули).** Олдинги икки усул, яъни қўзғалмас ва айланадётган кристаллнинг лауэграммасини олиш учун йирик монокристаллар керак бўлади. Ҳолбуки уларни олиш ҳар доим ҳам мумкин эмас. Аксинча, кукун усулида текширишда жуда майда кристалл кукунлар билан чекланиш имконияти бор (50 ва 52-расм).

Бу усулнинг афзалликлари:

- майда кристалл кукуни билан ишлаш мумкин;
- текширишга мулжалланган материални тайёрлаш оддийлиги;
- тажриба ўтказишни оддийлиги.

Камчиликлари:

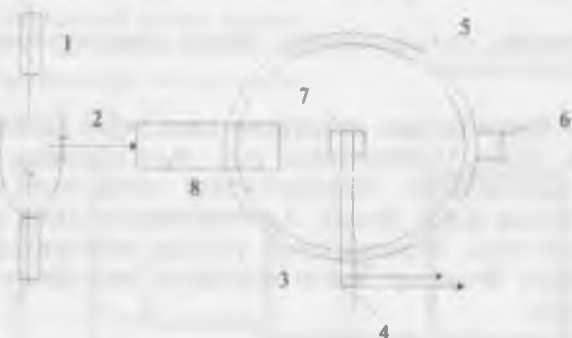
- бирмунча кичик аниқлик билан изоҳланади;
- тузилма ҳисобининг мураккаблиги;
- рентгенограммада линияларнинг тарқоқлиги.

Тасвир олиш тартиби: камерадаги фотоплёнка цилиндрик шаклга эга: Трубкадан монокроматик нур боғлари тирқиши орқали диафрагма (коллиматор) га тушади. Ёпишувчи модда билан нозик стержен ёки целлулоидли трубкага қўйилган на-муна - майда кукунга тушади. Намунага нурнинг тушиши ту-бус ёрдамида ёритувчи экранда назорат этилади.

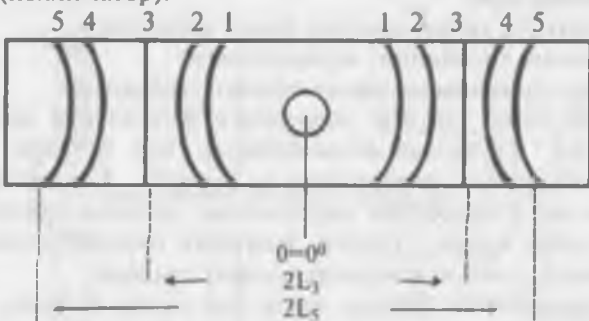
Текширилаётган моддада баъзи кристаллар мутлақо тартиб-сиз жойлашган, улар орасида ҳар доим Брэгг-Вульф шартига жавоб берувчи нур қайтариш юзасида жойлашган кристаллар бор. Шунинг учун намунали столни айлантириш шарт эмас ва фотографик пленкада марказий дотлар билан полоса қатори ҳосил бўлади. Бундай ҳолатга қараб ушбу кристалл модда ҳолати константларини ҳисоблаш мумкин.

Бу усул намуналарини текширишга тайёрлаш. Улар күйидагича амалга оширилади:

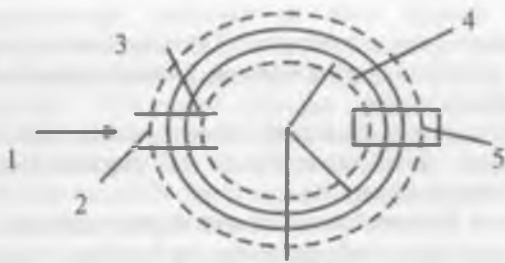
1) Ҳавода ўзгарувчан намуналарни тайёрлаш. Агар модда гигроскопик бўлса ва ҳаво кислороди билан реакцияга киришса, “Пирекс” ёки “гетан” шишалари (улар рентген нурларини кам ютади)дан нозик капилляр олинади, у олдиндан кукун ҳолатигача майдалангандан бўлади.



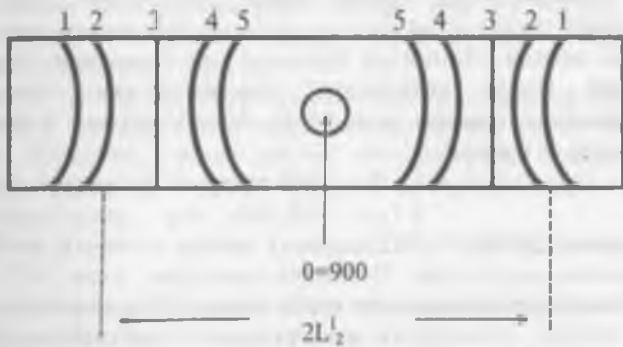
50-расм. Кукун усулида дебағрамма олишнинг схематик кўриниши: 1-рентген трубкаси; 2-дарча; 3-намунани сақловчи курилма, 4-намунани айлантириш механизми; 5-фотоплёнка; 6-ёритувчи экран тубуси билан; 7-намуна; 8-қўроғшинли диафрагма (коллиматор).



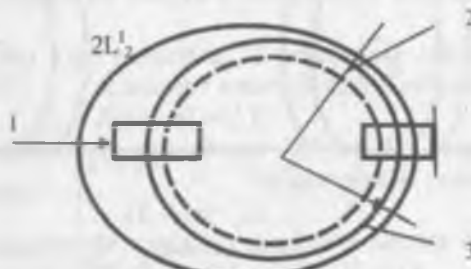
51-расм. Тўғридан-тўғри тасвир олиш усули плёнкасининг кўриниши.



52-расм. Куқун усулида дебаеграмма олиш камерасининг кўриниши: 1-рентген нури; 2-коллиматор; 3-плёнка чеккалари; 4-плёнка; 5-нурланувчи экран тубуси.



53-расм. Цилиндрик камерада қайта тасвир туширишнинг кўриниши.



54-расм. Қайта тасвир усули цилиндрик камераси кўриниши: 1-рентген нури; 2-плёнка охирлари ва 3-плёнка.

Кейин махсус воск ва канифол аралашмаси ёрдамида ёпиширилди ёки суртилади. Капиляр диаметри  $d=0,7$  мм атрофида, қалинлиги уни бармоқ билан енгил босилганда си-нувчан бўлиши керак.

Катта диаметрда эса кенг диафрагмалар қўллаш лозим, у тасвирларнинг фонини оширади ва умуман рентгенограмма сифатини камайтиради.

**2. Ҳавода ўзгармайдиган намуналарни тайёрлаш.** Яхши майдалангандан кукунни клей (резина клейи ёки цапонлак) билан қориштириб аралашма тайёрланади. Кейинги нозик тола ( $d=0,05-0,1$  мм) кесилади ва тола қуриганида эгилмаслиги учун клей кам бўлиши керак.

Кукун усулида дебаеграмм олиш усулининг турлари:

**а) Тўғридан-тўғри тасвир олиш.** Цилиндрик камерадаги пленканинг тугалланган қисми коллиматорнинг кириш тешигига мос келади. Линиялар бурчак ўсиш тартибида К пленка ўртасидан унинг чеккаларига тақсимланади. Симметрия чизиқларининг орасида масофа  $2L$  бўлиб, бурчак  $4\theta$  орқали аниқланади (51-расм).

$$2L_i = 4\theta, R \quad \text{ёки градусли ўлчамда}$$

$$2L_i = 2\pi R / 360 \quad 4\theta,$$

бу ердан,  $Q=2L_i 57,3 / 2D$ ;

R-камера радиуси ва D-камера диаметри.

**б) Цилиндрик камерадаги қайта тасвир.** Пленканинг тугаган қисми камера диаметрига мос келади. У рентген нурларига перпендикуляр бўлади (53- ва 54-расм).

Линиялар бурчак  $\theta$  ўсиш тартиби буйича рентгенограмманинг чеккасидан ўрта қисмiga кириш ва чиқиш тешикларидан тарқалади.

Симметрия чизиқлари  $2L'$  айланма ёйга тенглиги ( $360^\circ - 4\theta$ ) ҳисобга олинган ҳолда бурчаги топилади:

$$2L'_i = (2\pi - 4\theta)R$$

Бу ҳолатда  $2L$  ва  $2L'$  бир-бирига боғланганлиги қўйидаги тенглик билан ифодаланади:

$$2L_i = \pi D - 2L'_i.$$

Шундай қилиб, тенглама қўйидаги кўринишга ўтади:

$$Q_i = 2L_i 57,3 / 2D = (\pi D - 2L'_i) 57,3 / 2D$$

**в) Цилиндрик камерада асимметрик тасвир олиш.** Бу усулда плёнкалар чеккаси рентген нурига перпендикуляр камера диаметрига мос келади (55- ва 56-расм).

Линиялар жойлашиши бурчакнинг ўсишига боғлиқ. Улар рентгенограмманинг ўрта қисмидан чиқиши - кириш дарчалари томон силжиган. Пленкани бундай жойлашиши плёнка ўлчамларини фотография вақтида ўзгариши, камеранинг эфектив- Дэф. диаметри ёки, 1 мм пленканинг градуслардаги ҳақиқий баҳосини ҳисобга олиш имконини беради.

Камера диаметри  $D$  эф. =  $H + B / \pi$ .

2) цилиндрик камерада шлиф тасвирини ҳосил қилиш. Бунда қуйидагиларга қатъий риоя қилиш зарур:

а) намуна қия жойлашган:  $\theta = L / 57,3 / D$ ;

б) намуна рентген боғига перпендикуляр жойлашган:

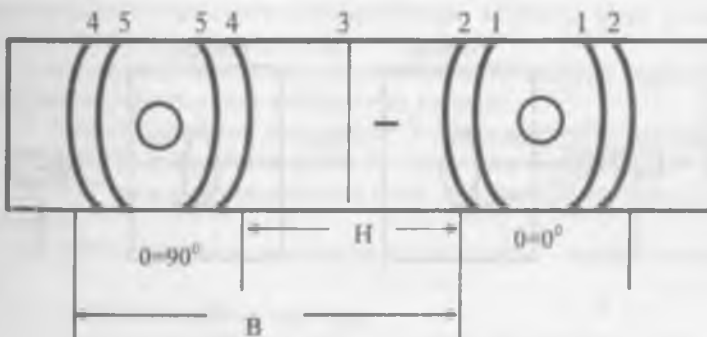
$$\theta_i = (\pi D - 2 L') / 57,3 / 2D$$

в) Аксинал цилиндр камерада тасвир олиш. Бу усулда камера ва намуна жойлашиши ҳамда рентген нури йуналиши қуйидагича бўлади (57-расм):

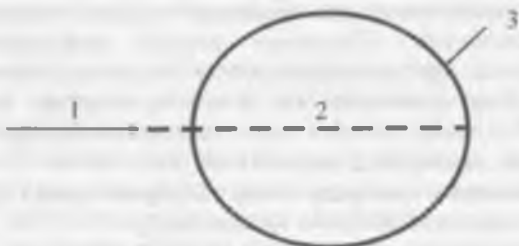
Бундай тасвир дебай ҳалқа атрофидаги дифрагирован нурланишнинг тарқалиш интенсивлигини таҳлил этиш учун муҳимdir. Масалан, моддаларнинг текстурасини текширишда. Яхши натижаларни  $\theta$  кичик бурчаги томонидан таҳлил қилиш имконини беради.

г) Ясси плёнкага тасвир тушириш. У ўз навбатида икки хил бўлади (58- расм):

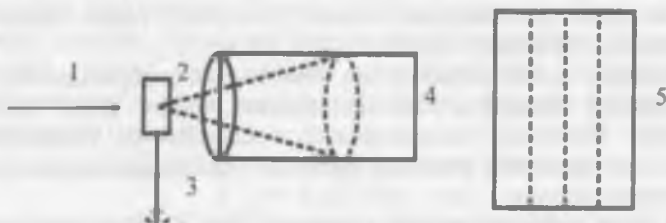
- 1) нур ўтишида тўғридан-тўғри тасвир ҳосил қилиш;
- 2) нур қайтишида тасвир тушириш.



55-расм. Плёнкадаги асимметрик тасвир.



56-расм. Асимметрик тасвир усули камераси: 1-рентген нури; 2-камера; 3-плёнка.



57-расм. Аксикал цилиндрик камерада тасвир ҳосил қилиш схемаси: 1-рентген нури; 2-намуна; 3-айланувчан механизм; 4-аксикал камера; 5-плёнка.



58-расм. Ясси плёнкага тасвир туширишда рентген нури йұналиши, намуна ва плёнкаларни жойлаш схемалари: I-нур үтишига асосланған; 2-нур қайтишига асосланған.

## **50-§. Нурланишни ионизацион қайд этиш таҳлили аппаратларида дифрактограмма олиш усуллари**

Рентген нурланиши бундан 90-йил бурун очилган булса ҳам тадқиқотлар, асосан фотоусулларни құллаш йўли билан давом этди. Бу усул юқори аниқликка эга, аммо уни ишлатаётган илмий ходимдан ҳам рентгенография, ҳам фотографиядан юқори малака талаб қиласи.

Кейинги 25-30 йил ичидә фотоусулларда лауэграмма ва дебаеграмма олиш ўрнига нурланишни ионизацион қайд этишга асосланған дифрактограмма усуллари жорий этила бошланди. Бу усулларда иш оғиб бориш маҳсус счётчикларга асосланған булиб, уларда дифракцион максимумлар регистрация қилинади.

Хозирги вақтда нурланишни ионизацион қайд этиш таҳлили аппаратларида дифрактограмма олишнинг икки усули күйидагича регистрация қилишга асосланған:

1. Гейгер-Мюллернинг ионизацион счетчиги ёрдамида.
2. Сцинтиляцион счетчиги ёрдамида.

Бириңчи газли счетчикларининг такомиллаштирилған турлари пропорционал ёки мустақил номлари билан ҳам аталади. Ток кучи ёки импульслар сонига кура рентген нурланиш интенсивлиги ҳақида фикр юритиш мүмкін.

Кристалл-фосфор (таллий билан активлаштирилған йодли натрий кристалли) ва фотокупайтиргичдан ташкил топған сцинтиляцион счетчикларда Гейгер-Мюллер газли счётчикларига нисбатан фон анча кичик булади. Шунинг учун уларнинг әффективлигі анча юқоридир.

Дифрактограмма олиш учун силикатли намуна тайёрлаш ва дифрактограмма олиш күйидагича кечади:

1. Текширилётган намунадан 5-10 г ажратиб олинади.
2. Агатли майдалагичда спирт ёрдамида майдаланади.
3. Ҳұл модда майдалагичда ёқиб юборилади ва қуруқ қуқун олинади.
4. ДРОН маркалы аппаратларига намуна - қуқун жойланади.
5. Дифрактограмма олинади.
6. Дифрактограмма пиклари номерланади.
7. Пиклар үлчами ва интенсивлиги аниқланади.
8. Топилған қыйматлар маҳсус жадваллар ёрдамида d-га айлантирилади.

9. Махсус китоблар ёрдамида д ва I лар қиймати орқали модда таркиби аниқланади.

Рентген нурлари билан ишлашда хавфсизлик техникаси қоидаларига қаттик риоя қилиш зарур. У узоқ вақт киши организимига таъсир ўтказса саломатлик масаласига путур етади:

1. Инсон қонининг таркиби ўзгаради.

2. Ички органлар шикастланади.

3. Тери қавати куяди.

Рентген нурлари билан ишлашда маъсул органлар томонидан белгиланган шарт-шароитларга қатъий амал қилиш талаб этилади:

1. Рентген аппаратларида ишлаш учун ёши 18 га кирмаганларга рухсат берилмайди.

2. Рентген аппаратларини созлаш ва тузатишга фақат маълумоти бор кишиларгагина рухсат этилади.

3. Рентген аппарати жойлашган хоналарга бегона шаҳсларнинг киришига йўл қўйилмайди.

4. Рентген аппарати ишлаб турган вақтда унинг булакларига тегиш, юқори вольтли қисмларини таъмирлаш ва бошқалар ман этилади.

5. Вақт-вақти билан рентген нурланишидан ҳимоя восита-ларининг эфекивлиги дозиметрлар орқали текшириб турилиши шарт.

6. Рентген трубкаси ва рентген камераси алмаштирилгач аппарат урнатилган хонани дозиметр ёрдамида текшириб туриш керак.

Рентген нурлари билан ишлашда хавфсизлик техникаси қоидаларига риоя қилишни таъминлашда рентген дозиметрлари катта рол ўйнайди. Рентген нурлари дозасини ўлчашда, одатда, кучма асбоблардан – универсал ГРИ дозиметрларидан кенг фойдаланилади. Бу асбоб бир ипли электрометр ва алмаштириб туриладиган ионланиш камералари тўпламидан ташкил топган.

## 51-§. Рентгенографик таҳлилдан фойдаланиш имкониятлари

Усулни қўллашни амалий имкониятлари жуда катта. Кўйида улардан асосийлари келтирилади:

1. Табиий ва сунъий минераллар ва кимёвий бирикмаларнинг диагностикаси учун (кимёгар, кристаллокимёгар, крис-

таллограф, геокимёгар, геолог, геофизик, физик, металлург, оптик ва бошқалар томонидан):

а) минераллар турини аниқлаш (слюда, пироксен, дала шпати, гранат, кварц, алюнит, мелилит, волластонит, муллит, титанат, карбонат, сульфат ва бошқалар);

б) бир турли минералларни турли типларини аниқлаш (биотит, флогонит, мусковит; натрийли -, калийли- ва кальцийли дала шпатлари; каолинит, галлуазит ва бошқа тупроқ минераллари);

в) тузилма турларини аниқлаш (дала шпатининг моноклин ёки триклин шакли, пироксенларнинг моноклин ва бошқа турлари, нефелиннинг ромбик ва гексагонал шакллари ва ҳоказо);

г) минерал таркибини сифат ва миқдорий баҳолаш (ион ўлчамлари ва бошқаларга боғлиқ ҳолда).

2. Тузилма таҳлили учун:

а) моддаларнинг симметрияларини аниқлаш;

б) симметрия фазовий группаларини-элементар ячейкада молекула, ион, атомларнинг симметрик жойлашиши;

в) элементар ячейка ўлчамлари – параметралар: а, б ва с; бурчаклар:  $\alpha$ ,  $\beta$  ва  $\gamma$  қийматлари;

г) панжарадаги атом, ионларнинг координати ва атомлар орасидаги масофа;

д) модданинг кристаллик тузилмасини баёни, тузилмани ташкил қилувчи атомлар орасидаги масофа, координацион рақам ва бошқалар.

3. Аниқлаш учун:

а) модданинг монокристаллиги - монокристалнинг тузилмавий струклиги, қўшалоқларнинг мавжудлиги, ўлчами, сифати ва бошқа диагностик параметрларини баҳолаш имкони;

б) модданинг поликристаллиги – поликристаллар кимёвий таркиби, поликристалл заррачалари ўлчами ва ҳоказо.

4. Минерал тузилмасидаги у ёки бу элементлар ва уларнинг шаклини аниқлаш - минерал, рудадаги қўшилма (изоморф. механик) ларнинг қандай аралашмалиги ва эрувчанлигини ўрганиш.

5. Тот жинслари ва рудаларини сифати ва миқдорини фазавий рентгенографик таҳлили.

6. Минералларнинг дисперслиги ва кристалларининг катталикларини баҳолаш.

Таркибига барий ва кальций кирган шишаларда нисбатан катта макон ( $R=150-200$  Å°) лар борлиги олимлар томонидан аниқланган (19-жадвал).

### Шиша таркибида аниқланган микроаниқликлар

19-жадвал

Тартиб	Шиша таркиби, мол. фоиз ҳисобида			Микроаниқликтар радиуси, Å°
	SiO <sub>2</sub>	Na <sub>2</sub> O	МeO	
1.	80	10	10 (BaO)	160
2.	80	10	10 (CaO)	195
3.	88,5	11,5	-	125

3. Фотоусулни құллашда: фотографик операциялар ҳақида маълумотта зәға бўлишилик ҳамда рентгенограммаларни фотометр усулида қайд этишининг кераклилиги.

4. Электр усулини құллашда: рентген трубкани электрик режимда ишлашида стабиллаштириш етарли эмаслиги ҳамда счётчик билан боғланган ҳамма ёрдамчи кучайтирувчи ва таъминловчи занжирларнинг етарли даражада эмаслиги.

5. Чизиқларнинг ҳолатини аниқ ўлчашда юқори аниқликка зәға бўлган гониометрни қўллашнинг зарурлиги ва муҳимлиги. Бу ҳолатда асбоб мураккаблашади ва қимматлашади.

6. Паст сингония (ромбик, моноклин ва триклини)ли моддалар – гидрагилит, байерит, диаспор, бемит, каолинит, дикит, накрит, монтмориллонит, бейделлит, нонтронит, монотермит, галлуазит, пирофиллит, кальцит, доломит, гипс, ангидрит ва бошқаларни тузилмаларини расшифровка қилишнинг мураккаблиги.

7. Бир сингония ёки тузилмали ўхшаш бирикмаларни расшифровкаси қийинлиги. Масалан, флюорит ва сфалерит каби минераллар нафақат бир хил кубик сингонияга зәға, балки уларнинг элементар ячейка ўлчамлари ҳам бир-бирига teng: 5,42 Å.

Фақат юзаларора масофа d ва нур қайтариш интенсивлигини қийматларини нисбий баҳолаш билан минерални аниқ таҳлил этиш мумкин. Олинган натижа дебаеграмм стандартлари картотекаси ёки маҳсус чоп этилган китоблар (Михеев-1957 ва 1965 йиллар; Минераллар- 1965-1967 йиллар; Семенов- 1963 йил; Сидеренко- 1957 йил; Миркин- 1961 йил ва бошқалар) га солишишиш йўли билан олиб борилади.

8. Кўп ҳолларда рентгенограмма маълумотлари бошқа константалар билан тулдирилиши лозим. Масалан, гранат турла-

рини аниқлашда уч диаграмма “а-N-d” бўйича ташхис қўйиш мумкин. Бу ерда, а - элементар ячейка ўлчами, N- нур синдириш кўрсаткичи ва d- гранитнинг солиширма огирилиги. Буларнинг ҳаммаси гранат минералининг турлари ҳақида аниқ маълумот олишини таъминлади.

#### 54-§ Кимёвий бирикмаларга оид рентгенографик маълумотлар

В 5222400 – «Кимёвий технология» йуналишининг «Силикат ва зўргасуолувчан материаллар технологияси» соҳаси хом ашёлари, яримфабрикатлари, материаллари ва буюмларида кўпроқ учровчи кимёвий бирикмаларнинг рентгенограммаларига тўғри келадиган текисликлараро масофа ( $d, \text{\AA}$ ) ва чўққилар интенсивлиги ( $I, 100,10$  ёки солиширма таққослаш) га оид маълумотнома Л.И.Миркин [23], В.Н.Михеев [24], В.В.Тимашев [6], А.И.Китайгородский, Н.А.Торопов [36], И.И.Горбунов ва бошқа манбалар [5,29-35] келтирилган маълумотлардан фойдаланилган ҳолда қўйидаги 20- жадвалда келтирилади.

Кимёвий бирикмаларга оид рентгенографик маълумотлар Д.И. Менделеев даврий жадвалида жойлашган 58 элемент ва унинг ҳосилаларига таалуқли бўлиб, у литий элементидан бошланиб водород элементига оид тегишли рақамларни ўз ичига олган. Айниқса жадвалда элемент, элемент ҳосил қилган оксид, элемент карбонати, сульфати ва нитрати, у ҳосил қилган тузлар – алюминат, силикат ва бошқалар катта ўринни эгаллаган. Жумладан, литий элементига таалуқли 22 бирикма, натрийга – 15 бирикма, калийга – 17 бирикма, магнийга – 24 бирикма, кальцийга – 57 бирикма, стронцийга – 25 бирикма, барийга – 23 бирикма, алюминийга – 21 бирикма 20-жадвалга киритилган.

Текисликлараро масофа жадвалда ангстремда берилган. Агар фойдаланилган адабиётда у килоиксада берилган бўлса, у ҳолда  $1d = 1,00202 \text{ к\AA}$  тенгламаси ёрдамида килоикс ангстрем ўлчовига ўтказилган.

Чўққилар интенсивлиги жадвалда З кўринишда ўз ифодасини топган: бирдан юзгача ҳисобида, Иккинчи кўринишда интенсивлилик нолдан ўнгача ҳисобида ўтказилган. Учинчи кўринишда эса интенсивлилик нисбий бирликларда берилган: Кз – кучсиз, Ж.кз. – жуда кучсиз, Ж.ж.кз. – жуда-жуда кучсиз, Ў – ўртacha, Ки – кучли, Ж.ки. – жуда кучли, Ж.ж.ки – жуда-жуда кучли.

**Табиин ва сунъий кимёвий бирикмаларнинг баъзи бирларига  
хос бўлган d ва J**

20-жадвал

Модда	d	J	D	J	D	J
I	2	3	4	5	6	7
Литий-Li	2,48 1,75	100 17	1,430 1,240	20 3	- -	- -
Li OH	4,35 2,98 2,75 2,67 2,51	33 20 100 23 13	2,42 2,08 1,97 1,85 1,77	17 3 3 5 7	1,74 1,65 1,490 1,280 1,257	3 7 7 3 3
LiF	2,32 2,00	67 100	1,419 1,211	23 3	1,160	3
LiH	2,357 2,041 1,444 -	54 100 40 -	1,231 1,178 1,0204 -	23 11 3 -	0,9374 0,9130 0,8335 0,7859	8 9 7 5
LiCl	2,96 2,56 1,81 1,55 1,482	100 100 60 32 12	1,283 1,178 1,148 1,048 0,989	5 12 14 6 5	0,909 0,869 0,857 - -	2 3 2 - -
Li <sub>2</sub> CO <sub>3</sub>	4,16 3,80 3,02 2,91 2,80 2,62 2,47 2,42	63 5 5 50 100 25 10 38	2,26 2,07 1,86 1,81 1,61 1,59 1,57 1,54	18 3 13 3 3 5 5 5	1,51 1,460 1,422 1,389 1,350 1,311 1,280 -	5 5 3 3 3 3 3 -
LiNO <sub>3</sub>	3,58 2,78 2,53 2,13	67 53 20 100	1,371 1,355 1,255 1,194	20 13 4 4	1,008 0,982 0,932 0,927	3 3 1 1

	1,95	1	1,140	1	0,895	1
	1,72	11	1,117	3	0,890	1
	1,53	27	1,082	4	-	-
	1,420	1	1,025	1	-	-
$\text{Li}_2\text{SO}_4$	4,01	100	2,20	3	1,56	2
	3,49	11	2,09	5	1,53	3
	3,16	40	2,01	2	1,487	6
	2,78	6	1,95	13	1,424	2
	2,68	3	1,88	5	1,400	3
	2,62	5	1,81	3	1,340	3
	2,47	13	1,77	2	1,279	3
	2,40	6	1,67	2	1,215	2
	2,31	6	1,60	3	1,185	3
	-	-	-	-	-	-
$\text{Li}_2\text{O} \cdot \text{Al}_2\text{O}_3$	4,54	6	1,849	3	1,296	3
	3,506	19	1,799	3	1,278	6
	3,210	13	1,741	3	1,249	13
	2,790	41	2,721	13	1,202	25
	2,660	3	1,675	3	1,177	3
	2,545	3	1,608	31	1,139	19
	2,372	84	1,559	6	1,107	3
	2,280	25	1,518	72	1,077	6
	2,078	13	1,467	3	1,054	13
	1,969	59	1,439	6	-	-
	1,905	3	1,393	100	-	-
$\text{Li}_2\text{O} \cdot \text{Fe}_2\text{O}_3$	2,39	40	0,949	10	0,657	20
	2,07	100	0,925	50	0,624	10
	1,461	90	0,845	40	0,575	10
	1,247	30	0,798	10	0,553	10
	1,195	40	0,732	10	-	-
	1,035	20	0,690	20	-	-
$\text{Li}_2\text{O} \cdot \text{CrO}_3$	7,0	16	2,47	10	1,64	2
	5,3	5	2,32	8	1,60	3
	4,39	32	2,22	3	1,56	3
	4,10	100	2,14	5	1,52	2
	3,70	5	2,08	2	1,57	2
	3,50	32	2,01	3	1,420	13
	3,27	20	1,94	8	1,367	5
	3,15	13	1,84	11	1,343	3
	2,85	32	1,80	2	1,215	2
	2,64	24	1,73	3	1,113	2
	2,54	8	1,69	6	-	-

$\text{Li}_2\text{CrO}_4 \cdot 2\text{H}_2\text{O}$	6,6 5,3 4,78 4,50 4,25 4,08 3,70 3,57 3,38 3,18 3,07 3,00	40 27 83 67 83 83 67 67 40 53 100 100	2,76 2,65 2,55 2,49 2,37 2,18 2,10 2,03 1,92 1,87 1,81 1,75	100 27 27 53 53 40 27 40 13 7 27 13	1,70 1,66 1,63 1,59 1,53 1,50 1,452 1,400 1,370 1,340 - -	7 40 40 13 7 27 40 13 7 13 -
$\text{Li}_2\text{Cr}_2\text{O}_7 \cdot 2\text{H}_2\text{O}$	6,4 5,4 5,1 4,31 3,92 3,72 3,42 3,19	4 60 60 50 4 60 32 100	3,08 2,86 2,69 2,58 2,42 2,36 2,19 2,12	20 20 28 12 8 8 16 12	2,01 1,76 1,70 1,65 1,485 1,350 - -	8 8 8 12 4 4 - -
$\text{Li}_2\text{SO}_4 \cdot \text{H}_2\text{O}$	7,8 5,1 4,12 3,84 3,68 3,54 3,02 2,93 2,72	7 67 100 58 7 67 50 33 33	2,65 2,48 2,41 2,33 2,28 2,18 2,04 1,91 1,81	3 3 27 3 3 7 7 7 7	1,72 1,70 1,63 1,59 1,55 1,490 1,378 - -	7 7 3 7 7 7 7 -
$\text{LiKSO}_4$	3,94 3,09 2,556 2,423 2,186 1,970	Ж.кз. Ж.кз. Ж.кз. Кз. Ж.кз. Ж.кз.	1,912 1,642 1,595 1,560 1,481 1,369	Ж.кз. Кз. Ж.кз. Кз. Кз. Кз.	1,324 1,286 1,253 1,223 1,201 1,187	Ж.кз. Ж.кз. Ж.кз. Ж.кз. Ж.кз. Ж.кз.
$\text{LiCl} \cdot \text{H}_2\text{O}$	3,82 2,70 2,58 2,43 2,21 2,04	10 100 3 3 5 1	1,94 1,91 1,86 1,71 1,57 1,358	3 13 1 3 20 5	1,275 1,210 1,155 1,105 1,025 -	1 4 1 1 2 -

$\beta$ - LiAlSi <sub>2</sub> O <sub>6</sub>	4,5904 3,9094 3,4884 3,1554 2,2938 2,2605	5 25 100 11 8 9	2,1040 1,9293 1,8825 1,7404 1,6938 1,6438	7 13 37 3 3 14	1,5406 1,4775 1,4502 1,4291 1,3208 1,2384	7 3 10 6 12 11
LiGaSi <sub>2</sub> O <sub>6</sub>	4,6333 3,9472 3,5074 3,1819 2,3130 2,2792	8 30 100 12 24 12	2,1257 2,0955 1,9497 1,8899 1,7020 1,6598	5 5 13 36 4 29	1,5500 1,4865 1,4629 1,4378 1,3342 1,2475	8 5 15 7 18 17
Амфибол -	7,98 4,85 $Li_3Mg_5Fe^{2+}$ $Fe^{3+}$ $Al_2(OH)_4^-$ $Si_{16}O_{44}^4$	4 1 4 4 6 6 10 6 6 6 8 1 1 2,97 2,80 2,70 2,64 2,53 2,46 2,418 2,282	2,212 2,095 2,031 1,952 1,856 1,798 1,736 1,712 1,590 1,572 1,522 1,487 1,472 -	1 6 1 4 1 6 4 4 8 8 1 6 1 -	1,444 1,423 1,395 1,351 1,337 1,312 1,276 1,257 1,239 1,176 1,163 1,135 1,084 -	4 1 8 1 1 8 4 1 1 1 1 4 4 -
Миагиши- клерит -	5,064 4,295 $(Li,Mn,Fe)$ $ PO_4 $	1 8 4 8 8 8 4	2,519 2,169 1,760 1,737 1,676 1,648 -	10 4 8 8 4 4 -	1,624 1,477 1,353 1,323 1,149 1,103 1,070	4 4 8 4 4 8 8
Феррисик- лерит -	5,929 5,382 $(Li,Fe,Mn)$ $ PO_4 $	10 4 10 10	4,148 3,893 2,780 2,565 2,188	4 4 4 4 4	2,103 1,740 1,480 1,070 -	10 1 10 10 -
Натрий - Na	3,02 2,13 -	100 15 -	1,75 1,51 -	20 5 -	1,355 1,246 1,145	5 3 3

<b>Na<sub>2</sub>O</b>	9,0	2	2,47	2	1,71	4
	7,8	2	2,42	4	1,65	4
	5,6	4	2,35	14	1,56	2
	5,0	4	2,30	12	1,50	4
	3,75	2	2,24	4	1,466	12
	3,43	4	2,03	10	1,438	4
	3,09	10	1,96	2	1,400	4
	2,87	4	1,89	2	1,345	12
	2,76	2	1,86	4	1,275	8
	2,55	100	1,80	50	-	-
<b>Na<sub>2</sub>CO<sub>3</sub></b>	3,43	8	2,18	60	1,62	12
	3,22	12	2,11	4	1,57	25
	2,96	80	2,02	14	1,52	8
	2,85	2	1,95	40	1,482	16
	2,70	20	1,88	40	1,451	6
	2,60	60	1,83	2	1,418	4
	2,54	60	1,79	4	1,388	8
	2,36	100	1,71	25	1,347	4
	2,25	40	1,67	12	-	-
<b>NaCl</b>	3,258	13	1,294	1	0,9401	3
	2,821	100	1,261	11	0,8917	4
	1,994	55	1,1515	7	0,8601	1
	1,701	2	1,0855	1	0,8503	3
	1,628	15	0,9969	2	0,8141	2
	1,410	6	0,9533	1	-	-
<b>Na<sub>2</sub>SO<sub>4</sub></b>	4,66	73	1,864	31	1,497	5
	3,84	18	1,841	6	1,465	1
	3,178	51	1,798	4	1,429	5
	3,075	47	1,680	12	1,386	3
	2,783	100	1,662	8	1,324	3
	2,646	48	1,605	5	1,304	3
	2,329	21	1,589	3	1,297	6
	2,211	5	1,553	10	1,279	5
	1,919	4	1,537	1	1,258	1
	1,891	4	1,512	2	1,233	1
<b>NaOH</b>	5,8	13	1,65	25	1,108	2
	2,85	20	1,460	10	1,071	7
	2,35	100	1,346	2	1,019	2
	2,03	10	1,266	5	0,973	4
	1,90	8	1,201	5	-	-
	1,70	30	1,178	1	-	-

$\text{Na}_2\text{O}$	11,8	53	2,02	40	1,210	11
$11\text{Al}_2\text{O}_3$	5,7	13	1,93	27	1,190	1
	4,45	9	1,84	13	1,170	3
	4,08	5	1,74	12	1,152	3
	3,78	1	1,69	1	1,135	3
	2,79	17	1,65	4	1,113	3
	2,67	40	1,59	53	1,098	3
	2,51	27	1,56	20	1,051	11
	2,40	27	1,480	20	1,042	13
	2,23	27	1,400	100	1,017	12
	2,13	27	1,340	33	0,993	13
	2,08	3	1,238	17	0,968	12
$2\text{Na}_2\text{O}\cdot\text{P}_2\text{O}_5$	4,40	100	2,02	5	1,342	8
	3,38	25	1,91	31	1,293	5
	2,72	75	1,75	10	1,206	5
	2,53	3	1,67	3	1,165	3
	2,42	3	1,55	23	1,140	5
	2,33	23	1,475	13	1,070	3
	2,06	10	1,424	15	1,013	5
$3\text{Na}_2\text{O}\cdot\text{P}_2\text{O}_5$	4,25	48	2,15	6	1,400	3
	3,95	13	2,05	20	1,355	6
	3,84	20	1,91	48	1,316	6
	3,45	6	1,81	8	1,275	5
	3,11	11	1,72	11	1,245	3
	2,70	48	1,66	2	1,207	6
	2,55	100	1,57	6	1,193	8
	2,43	10	1,53	24	1,157	3
	2,25	20	1,450	11	-	-
$\text{Na}_2\text{O SiO}_2$	5,3	20	1,88	28	1,145	3
	3,56	20	1,83	9	1,114	9
	3,04	100	1,75	40	1,032	2
	2,57	48	1,53	5	0,990	2
	2,40	64	1,445	9	0,932	2
	1,98	9	1,418	40	-	-
$\text{Na}_2\text{O Al}_2\text{O}_3\cdot 6\text{SiO}_2$	6,4	8	2,18	6	1,460	16
	4,05	35	2,13	12	1,425	16
	3,80	16	1,99	8	1,380	8
	3,66	25	1,90	12	1,350	14
	3,20	100	1,83	18	1,270	14
	2,96	25	1,80	8	1,223	12
	2,65	2	1,73	8	1,200	4
	2,56	12	1,67	6	1,169	8
	2,44	14	1,58	12	1,137	6
	2,32	12	1,50	8	1,050	4

$\text{Na}_2\text{O}\cdot\text{CaO}\cdot\text{SiO}_2$	4,348 2,667 2,416 2,166 1,877	10 100 5 5 50	1,523 1,443 1,321 1,264 1,183	60 5 20 5 20	1,141 1,083 0,996 - -	5 5 10 - -
$\text{Na}_2\text{O}\cdot 2\text{CaO}\cdot 3\text{SiO}_2$	4,421 3,772 3,360 3,026 2,644 2,508 2,363 2,249 2,153	10 30 50 5 100 5 10 5 5	1,868 1,799 1,741 1,693 1,639 1,545 1,517 1,387 1,328	60 10 10 5 10 20 30 30 20	1,298 1,209 1,178 1,129 1,106 1,070 1,012 0,986 -	20 5 10 20 5 5 10 20 -
$2\text{Na}_2\text{O}\cdot\text{CaO}\cdot 3\text{SiO}_2$	4,089 3,781 3,270 2,668 2,374 2,175 1,888	20 20 5 100 10 10 60	1,803 1,722 1,622 1,540 1,436 1,387 1,335	10 5 20 50 20 10 40	1,218 1,191 1,143 1,112 1,007 - -	10 30 10 10 20 - -
Карнегиит - $\alpha$ -форма $\text{Na}_2\text{O}\cdot\text{Al}_2\text{O}_3\cdot 2\text{SiO}_2$	4,29 2,61 2,23 2,13 1,845 1,690	10 9 1 4 2 5	1,645 1,500 1,415 1,300 1,243 1,163	1 7 3 4 3 3	1,061 1,024 0,980 0,957 - -	1 1 2 1 - -
Калий – K	3,75 2,65 2,15	100 16 30	1,87 1,68 1,52	4 4 2	1,418 - -	2 - -
KCl	3,13 2,21 1,81	100 60 14	1,57 1,401 1,280	6 12 6	1,108 1,047 0,991	2 2 2
KNO <sub>2</sub>	4,00 3,31 2,50 2,20	2 100 18 15	2,01 1,85 1,71 1,67	8 1 1 1	1,65 1,61 1,56 -	1 1 1 -
KNO <sub>3</sub>	4,66 3,77 3,03 2,77	12 100 36 8	2,66 2,19 2,06 1,96	28 24 8 12	1,76 1,54 1,365 -	4 4 4 -

$K_3PO_4$	5,5	30	2,23	16	1,68	2
	3,65	30	2,13	4	1,64	18
	3,44	4	2,07	4	1,58	2
	3,15	30	2,03	2	1,52	2
	3,03	100	1,93	12	1,462	2
	2,75	60	1,89	2	1,435	2
	2,56	50	1,82	20	1,407	6
	2,45	20	1,77	4	1,370	4
	2,39	40	1,73	2	-	-
	-	-	-	-	-	-
$K_2SO_4$	5,0	2	2,08	40	1,419	3
	4,19	24	2,00	5	1,392	3
	3,73	8	1,94	4	1,350	6
	3,36	5	1,88	10	1,302	5
	3,00	80	1,85	4	1,285	2
	2,88	100	1,76	3	1,245	4
	2,66	2	1,68	10	1,212	1
	2,50	12	1,62	4	1,175	5
	2,41	20	1,57	6	1,141	4
	2,21	24	1,440	10	1,115	1
	-	-	-	-	-	-
$K_2CO_3$	7,0	2	2,31	8	1,67	2
	5,5	2	2,18	6	1,61	3
	3,39	6	2,09	14	1,55	2
	2,97	16	1,99	10	1,50	2
	2,80	100	1,85	8	1,410	5
	2,61	32	1,77	3	1,345	2
	2,37	16	1,70	3	1,307	2
	-	-	-	-	-	-
$K_2SiF_6$	4,71	63	1,56	25	1,056	1
	2,88	50	1,438	30	1,014	1
	2,45	1	1,365	8	0,996	1
	2,35	100	1,285	20	0,984	1
	2,03	75	1,225	7	0,957	2
	1,86	1	1,175	6	0,936	1
	1,82	1	1,134	6	0,908	2
	1,66	20	1,087	10	-	-
	-	-	-	-	-	-
$K_2B_4O_7 \cdot 5H_2O$	5,60	100	2,38	10	1,87	10
	3,52	100	2,29	10	1,60	10
	3,37	100	2,18	40	1,55	10
	2,76	76	2,11	10	1,460	10
	2,52	20	1,99	10	-	-
	-	-	-	-	-	-
$K_2Cr_2O_7$	4,83	10	2,53	15	1,86	5
	3,68	50	2,45	5	1,77	10
	3,45	50	2,38	5	1,70	5
	3,29	100	2,29	5	1,66	5
	3,02	75	2,24	5	1,58	5
	2,85	63	2,18	5	1,450	5
	2,75	5	2,14	5	1,400	5
	2,69	5	2,04	25	-	-
	2,62	20	1,90	5	-	-
	-	-	-	-	-	-

$K_2O \cdot 12Al_2O_3$	4,45 3,48 3,13 2,80 2,69 2,505 2,405 2,24	19 3 3 41 50 59 31 25	2,135 2,07 2,03 1,973 1,935 1,835 1,744 1,653	41 3 41 13 13 6 9 3	1,596 1,563 1,482 1,416 1,397 1,346 1,262 1,240	50 41 6 25 100 31 3 13
$K_2O \cdot Fe_2O_3$	4,58 2,80 1,98	16 100 13	1,62 1,405 1,260	32 8 6	1,150 1,062 0,940	2 3 2
$K_2TiO_3$	7,0 3,46 3,32 3,01 2,76	17 7 3 20 100	2,32 2,18 1,87 1,78 1,71	23 23 3 7 3	1,64 1,60 1,52 1,480 1,392	3 3 3 3 3
$K_2UO_4$	7,5 3,55	100 50	3,20 2,57	75 25	2,02 1,96	25 25
$K_2O \cdot Al_2O_3 \cdot 6SiO_2$	4,24 4,01 3,85 3,69 3,49 3,35 3,25 3,03 2,94 2,88	38 20 20 20 15 25 100 13 25 8	2,76 2,61 2,52 2,43 2,33 2,16 2,10 2,02 1,98 1,92	10 15 13 13 8 25 3 3 10 10	1,85 1,80 1,73 1,65 1,61 1,57 1,54 1,51 1,468 -	3 25 5 3 3 3 3 5 10 -
$K_2O \cdot CaO \cdot SiO_2$	4,62 2,831 2,415 2,312 2,002 1,837	40 100 40 30 60 20	1,791 1,635 1,541 1,416 1,354 1,266	10 60 30 40 20 40	1,099 1,070 1,043 1,001 0,9437 0,9247	30 60 30 10 40 40
Мусковит - $K_2O \cdot 3Al_2O_3 \cdot 6SiO_2 \cdot 2H_2O$	10,03 5,02 4,52 3,89 2,505 3,342 3,204	10 5 7 3 5 9 4	2,125 2,056 1,987 1,944 1,868 1,728 1,647	7 1 8 1 2 1 8	1,352 1,335 1,320 1,297 1,272 1,246 1,221	8 5 1 8 4 8 4

	3,095 2,862 2,783 2,568 2,471 2,374 2,250 2,186	6 7 5 10 2 7 2 3	1,596 1,555 1,519 1,498 1,472 1,448 1,427 1,410	3 4 4 10 1 2 3 1	1,206 1,193 1,159 1,130 1,115 1,104 1,045 -	2 2 3 2 6 2 5 -
Мис- Cu	2,08 1,81	100 53	1,277 1,089	33 33	1,043 0,905	9 3
Cu <sub>2</sub> O	3,00 2,45 2,12 1,51	3 100 31 44	1,283 1,228 1,065 0,977	31 5 3 5	0,953 0,869 0,819 -	3 3 3 -
CuO	2,51 2,31 1,85 1,70 1,57	100 100 20 8 8	1,50 1,408 1,370 1,298 1,258	15 20 20 5 10	1,159 1,086 1,007 0,978 0,885	5 3 3 3 3
CuF <sub>2</sub>	3,127 2,708 2,150 1,633	100 6 49 28	1,3539 1,2425 1,1055 1,0424	3 5 5 3	0,9574 0,9156 0,8564 -	1 2 1 -
Cu SO <sub>4</sub>	4,20 3,92 3,55 2,62 2,41 2,31 2,08 2,01 -	53 3 53 100 40 9 5 3 -	1,96 1,77 1,67 1,58 1,55 1,461 1,430 1,400 -	12 33 9 13 8 1 27 3 -	1,375 1,305 1,290 1,243 1,210 1,182 1,150 1,096 1,076	11 3 1 1 3 1 3 4 4
CuO Al <sub>2</sub> O <sub>3</sub>	2,85 2,43 2,01	33 100 27	1,85 1,64 1,55	7 7 20	1,423 1,230 -	67 7 -
CuO B <sub>2</sub> O <sub>3</sub>	6,4 5,3 3,88 3,17 2,91	44 78 100 33 22	2,66 2,51 2,37 2,17 1,95	33 100 11 11 11	1,73 1,58 1,55 1,53 1,425	33 11 11 11 11
CuO·Co <sub>2</sub> O <sub>3</sub>	4,65 2,85	15 25	1,64 1,55	10 31	1,160 1,076	3 3

	2,43	100	1,421	38	1,047	8
	2,31	20	1,361	3	-	-
	2,11	5	1,227	8	-	-
<b>Кумуш - Ag</b>	2,36	100	1,179	5	0,834	3
	2,04	53	1,022	1	0,786	4
	1,445	27	0,938	8	0,691	3
	1,232	53	0,915	5	-	-
<b>Ag<sub>2</sub>O</b>	3,35	1	1,422	16	1,054	2
	2,72	100	1,360	3	0,960	1
	2,36	40	1,179	1	0,907	1
	1,67	24	1,082	2	-	-
<b>Ag<sub>2</sub>CO<sub>3</sub></b>	4,77	20	2,27	30	1,53	3
	4,31	20	2,20	1	1,50	2
	3,05	4	2,15	8	1,462	1
	2,73	50	2,03	8	1,440	5
	2,65	100	1,92	8	1,398	4
	2,55	2	1,86	4	1,370	13
	2,48	1	1,77	10	1,328	4
	2,42	15	1,67	8	1,300	2
	2,37	3	1,63	10	1,222	3
	2,32	4	1,59	7	1,133	3
<b>AgCl</b>	3,203	49	1,273	3	0,9248	3
	2,774	100	1,241	11	0,8774	3
	1,962	50	1,1326	7	0,8462	2
	1,673	15	1,0680	3	0,8366	3
	1,602	15	0,9810	2	-	-
	1,387	6	0,9380	2	-	-
<b>AgNO<sub>3</sub></b>	4,51	50	2,24	25	1,66	15
	4,08	50	2,15	15	1,57	5
	3,66	38	2,11	10	1,490	10
	3,00	100	2,08	50	1,420	8
	2,80	38	1,96	18	1,382	5
	2,73	44	1,90	10	1,340	13
	2,53	38	1,83	25	1,310	3
	2,29	31	1,70	15	-	-
<b>Ag<sub>2</sub>O-MoO<sub>3</sub></b>	5,3	6	1,64	43	1,097	1
	3,28	17	1,475	1	1,075	9
	2,80	100	1,422	11	1,043	1
	2,68	17	1,406	11	0,978	2
	2,32	14	1,345	1	0,951	5
	2,12	5	1,245	5	0,915	1
	1,89	6	1,211	17	-	-
	1,78	43	1,164	3	-	-
<b>Олтин - Au</b>	2,35	100	1,227	40	0,935	9
	2,03	53	1,173	9	0,910	7
	1,439	33	1,019	3	0,832	4
	-	-	-	-	0,784	4

AuCN	5,1 2,94 2,54 1,92 1,69	60 100 100 40 16	1,61 1,467 1,410 1,271 1,200	12 20 16 4 4	1,165 1,110 1,086 1,018 0,961	4 4 4 4 4
Au <sub>1</sub> In <sub>2</sub>	3,930 3,229 2,811 2,285 2,262 1,963	У. Кз. Кз. Ж.ку. Ж.ку. У.	1,757 1,609 1,491 1,433 1,406 1,326	Ж.кз. Ж.ку. Кз. Кз. У. Кз.	1,310 1,304 1,195 1,142 1,129 -	У. У. Ку. Кз. Кз.
Au <sub>34</sub> Sn <sub>66</sub>	4,525 3,766 3,530 3,450 3,398 3,097 3,035 3,015 2,937 2,760 2,744	У. У. Ж.кз. У. У. Ж.ку. У. У. Ку. Ж.ку. Кз.	2,712 2,619 2,533 2,466 2,453 2,440 2,414 2,273 2,241 2,179 2,149	Ku. У. Кз. Кз. Ж.кз. Ж.кз. Ку. Ж.кз. Ку. У. Ку.	2,139 2,135 2,130 2,083 2,074 2,056 1,963 1,955 1,939 1,916 1,908	Ж.кз. У. Ку. У. Ж.ку. Ж.кз. Ж.кз. Ж.кз. У. У. У.
AuSb <sub>2</sub>	3,82 3,32 2,97 2,71 2,34 1,999 1,914 1,836 1,773 1,521 1,482 1,445 1,414	1 5 4 3 4 10 1 1 2 1 1 1 1	1,353 1,277 1,231 1,211 1,175 1,124 1,107 1,078 1,048 1,011 1,001 0,989 0,979	1 3 1 1 2 1 1 1 1 2 1 1	0,932 0,921 0,912 0,904 0,888 0,865 0,851 0,844 0,831 0,806 0,800 0,794 0,783	1 1 1 1 2 5 1 1 2 2 2 1 4
Бериллий - Be	1,97 1,79 1,73	20 14 100	1,328 1,137 1,022	12 12 12	0,983 0,963 0,955	2 8 6
BeO	2,34 2,19 2,06 1,59 1,350 1,239	80 50 100 24 32 32	1,170 1,150 1,130 1,032 0,915 0,884	4 20 4 3 8 2	0,870 0,822 0,780 0,758 - -	2 8 3 8 - -

<b>Be<sub>2</sub>C</b>	2,502 2,171 1,535	98 1 100	1,309 1,0860 0,9959	16 15 7	0,9709 0,8863 0,8356	2 41 11
<b>BeS</b>	2,807 2,432 1,718 1,466 1,404	100 31 39 32 10	1,216 1,115 1,087 0,9924 0,9357	5 13 10 13 12	0,8595 0,8219 0,8104 - -	7 18 13 - -
<b>BeSO<sub>4</sub>·4H<sub>2</sub>O</b>	5,7 3,90 3,40 3,20 3,06 2,84 2,52 2,42	13 100 13 20 1 3 53 1	2,30 2,23 2,17 2,00 1,94 1,88 1,84 1,78	1 1 17 4 3 13 7 5	1,70 1,60 1,490 1,458 1,414 1,330 - -	3 5 4 8 4 4 - -
<b>BeO·Al<sub>2</sub>O<sub>3</sub></b>	4,47 4,03 3,60 3,24 2,85 2,57 2,33 2,26 2,08 1,98 1,88	4 6 5 8 4 8 8 7 10 2 2	1,80 1,65 1,61 1,555 1,513 1,462 1,362 1,338 1,296 1,257 1,215	6 4 10 2 5 5 8 4 7 7 4	1,190 1,160 1,140 1,105 1,078 1,061 1,056 1,040 1,021 1,003 -	4 4 5 5 6 6 2 7 2 6 -
<b>Магний - Mg</b>	2,77 2,60 2,45 1,90 1,60 1,471 1,378	30 25 100 20 20 30 18	1,341 1,303 1,225 1,180 1,084 1,030 1,010	13 3 3 3 4 7 3	0,974 0,925 0,898 0,870 0,763 0,740 -	4 1 3 1 1 1 -
<b>MgO</b>	2,42 2,10 1,485 1,266	6 100 75 6	1,213 1,050 0,963 0,940	15 4 1 10	0,937 0,860 0,854 -	5 4 2 -

Магнезит - $MgCO_3$	3,53	2	1,404	5	1,100	3
	2,737	10	1,367	1	1,065	8
	2,500	5	1,352	6	1,049	5
	2,316	4	1,336	7	1,012	2
	2,101	9	1,249	3	0,9671	7
	1,935	6	1,237	2	0,9554	7
	1,766	2	1,200	2	0,9496	1
	1,697	10	1,189	5	0,9443	5
	1,503	3	1,156	1	0,9171	6
	1,485	5	1,126	1	0,9120	10
$MgSO_4$	4,18	4	2,30	25	1,55	4
	3,55	100	2,15	4	1,51	2
	3,35	2	2,02	4	1,454	6
	3,18	2	1,97	8	1,409	2
	2,64	30	1,81	4	1,382	2
	2,45	20	1,77	12	1,275	6
	2,35	4	1,68	6	-	-
Бруцит - $Mg(OH)_2$	4,77	Ж.ку.	1,310	У.кз.	0,9543	Ж.ж.кз.
	2,725	Ж.кз.	1,192	Ж.ж.кз.	0,9503	Ж.кз.
	2,365	Ж.ж.ку.	1,183	Кз.	0,9455	Кз.
	1,794	Ку.	1,118	Ж.ж.кз.	0,9085	Ж.ж.кз.
	1,573	У.	1,092	Ж.ж.кз.	0,9001	Ж.ж.кз.
	1,494	У.	1,034	Ж.кз.	0,8974	Ж.ж.кз.
	1,373	У.	1,030	Ж.ж.кз.	0,8923	Ж.ж.кз.
	1,363	Ж.ж.кз.	1,0067	Кз.	0,8156	Ж.ж.кз.
	-	-	-	-	0,7865	Ж.ж.кз.
$MgO \cdot SiO_2$	6,33	1	2,706	26	2,232	7
	4,41	14	2,534	43	2,114	24
	3,303	35	2,494	51	2,096	21
	3,167	100	2,471	31	2,058	13
	2,941	44	2,358	7	2,019	10
	2,876	87	2,280	5	1,984	13
	2,825	23	2,252	7	1,958	24
	-	-	-	-	-	-
$2MgO \cdot SiO_2$	5,1	1	2,45	40	1,74	100
	3,89	40	2,26	40	1,67	10
	3,72	5	2,15	11	1,62	11
	3,49	20	2,02	2	1,57	8
	2,99	13	1,95	2	1,490	32
	2,77	40	1,88	3	1,395	20
	2,51	32	1,81	3	1,350	28
	-	-	-	-	1,315	10
$MgO \cdot Al_2O_3$	4,67	4	1,366	3	1,0100	5
	2,858	40	1,278	2	0,9522	3
	2,436	100	1,232	9	0,9330	10
	2,333	3	1,218	1	0,9034	6
	2,021	58	1,1662	7	0,8869	1
	1,649	10	1,1312	2	0,8613	1

	1,555 1,429	45 58	1,0796 1,0518	4 12	0,8469 0,8247	10 20
<b>MgO·B<sub>2</sub>O<sub>3</sub></b>	7,7 6,1 5,3 4,29 3,57 3,18 3,07 2,82	12 16 8 24 12 12 80 100	2,18 2,07 1,99 1,99 1,86 1,77 1,71 1,63	24 32 40 8 12 8 8 12	1,50 1,445 1,412 1,375 1,262 1,151 - -	8 8 8 8 16 8 - -
<b>MgCa(CO<sub>3</sub>)<sub>2</sub></b>	3,71 2,89 2,68 2,55 2,40 2,19 2,06 2,02	2 100 2 2 13 40 2 20	1,85 1,80 1,57 1,55 1,50 1,468 1,418 1,389	2 40 2 10 1 6 1 8	1,337 1,300 1,270 1,237 1,202 1,172 - -	2 1 1 2 1 1 - -
<b>MgO·Fe<sub>2</sub>O<sub>3</sub></b>	4,82 2,96 2,52 2,09 1,71 1,61 1,48 1,32	50 50 100 50 30 70 90 10	1,28 1,12 1,09 1,04 0,983 0,964 0,933 0,891	20 20 40 20 10 3 10 5	0,876 0,853 0,820 0,808 0,762 0,753 - -	20 40 10 10 5 5 - -
<b>2MgO·P<sub>2</sub>O<sub>5</sub></b>	4,14 3,85 3,45 3,00 2,51 2,40 2,30 2,15	10 4 5 100 8 5 1 2	2,09 1,85 1,69 1,62 1,57 1,51 1,465 1,380	15 10 8 7 10 1 7 6	1,322 1,250 1,206 1,155 1,131 1,073 1,044 1,002	7 5 2 1 1 1 3 2
<b>Серпентин- 3MgO·2SiO<sub>2</sub> 2H<sub>2</sub>O</b>	7,38 4,619 3,661 2,625 2,487 2,141 1,966	10 4 10 4 10 8 4	1,789 1,738 1,655 1,530 1,500 1,411 -	6 2 2 10 8 6 -	1,304 1,277 1,164 1,100 1,074 1,057 -	8 6 4 2 2 2 -

Вермикулит - $(\text{Mg}, \text{Fe})_3[\text{Al},$ $\text{Si}_4\text{O}_{10}]$ $(\text{OH})_2 \cdot 4\text{H}_2\text{O}$	11,38 8,00 5,91 4,88 4,54 3,45 3,22 3,05	Ku. Ж.кз. Ж.кз. Кз. У. Ку. Ж.ку. Ж.кз.	2,66 2,43 2,19 2,03 1,75 1,70 1,53 1,52	Ku. У.ку. У. У. Кз. Ку. Ж.ку. Ж.кз.	1,40 1,39 1,36 1,34 1,31 1,28 - -	Ж.кз. Ж.кз. Ж.кз. Ку. У. У. -
Тальк - $3\text{MgO} \cdot 4\text{SiO}_2 \cdot$ $\text{H}_2\text{O}$	11,50 8,96 6,68 6,09 5,18 4,50 3,44 3,30 3,18 -	Ж.кз. Ж.ку. Ж.кз. Ж.кз. Ж.кз. У. У. Ж.ку. Ж.ку. -	2,91 2,80 2,66 2,54 2,38 2,25 2,16 1,90 1,75 -	У. У. У. Ку. Кз. У. У. Ку. Кз. -	1,71 1,59 1,55 1,50 1,42 1,35 1,33 1,31 1,29 1,25	Ку. У.ку. Ку. Кз. Ж.кз. У. Ку. Кз. Кз. -
Нонтранит - $\text{mMg}_3$ $(\text{Si}_4\text{O}_{10})$ $(\text{OH})_2 \sqrt[p]{\text{Fe}},$ $\text{Al}_2(\text{Si}_4\text{O}_{10})$ $(\text{OH})_2 \sqrt[n]{\text{H}_2\text{O}}$	7,11 6,38 5,98 4,52 3,54 3,28	Ж.кз. Ж.кз. Ж.кз. Ку. Ж.кз. Ж.кз.	2,62 2,32 2,07 2,00 1,72 1,69	Ku. Ж.кз. Ж.кз. Ж.кз. У. Ку.	1,53 1,49 1,32 1,26 - -	Ж.ку. Ж.кз. Ку. У. -
Монотермит - $0,2\text{RO Al}_2\text{O}_3$ $3\text{SiO}_2 \cdot 1,5\text{H}_2\text{O}$ $(+0,5\text{H}_2\text{O})$	9,60 7,80 6,70 5,60 4,35 4,17 3,78 3,43 3,26	Ж.кз. Ж.кз. Кз. Кз. У. У.ку. Ж.кз. У. Ж.ку.	3,15 2,53 2,43 2,32 2,06 1,97 1,79 1,71 1,64	Ж.кз. Ку. Ж.кз. У. У. У. У.ку. Ж.кз. Ку.	1,53 1,48 1,40 1,36 1,33 1,29 1,19 1,15 -	У.ку. Ку. Ж.кз. Ку. Ж.кз. У. У. У. -
Палигорскит - $\text{MgAl}_2$ $[\text{Si}_4\text{O}_{11}]$ $(\text{OH})_2 \cdot 4\text{H}_2\text{O} \cdot$ $n\text{H}_2\text{O}$	10,40 7,70 6,12 5,50 4,46 4,10	У. Кз. Кз. Кз. У.ку. Ж.кз.	3,80 3,44 3,23 2,62 2,20 1,75	Ж.кз. Кз. У.ку. Ж.ку. У.ку. У.	1,69 1,58 1,52 1,31 1,26 -	Ку. У.ку. Ку. Ку. У. -
Сепиолит - $\text{Mg}_3[\text{Si}_4\text{O}_{11}] \cdot$ $n\text{H}_2\text{O}$	9,87 9,04 7,90 6,50 5,62 4,44 4,12	Ж.кз. Кз. Ж.кз. Ж.кз. Ж.кз. У. У.	3,76 3,31 3,10 2,62 2,58 2,30 -	У. Ку. Кз. Ж.кз. Ж.ку. Ж.кз. -	2,25 2,20 1,80 1,52 1,30 1,27 -	Ж.кз. У. Ж.кз. Ж.ку. Кз. Кз. -

Антофиллит - $7\text{MgO} \cdot 8\text{SiO}_2 \cdot \text{H}_2\text{O}$	9,4	8	2,75	8	1,542	7
	9,1	9	2,52	4	1,498	3
	8,25	10	2,350	2	1,443	3
	5,05	3	2,252	2	1,319	2
	4,51	4	2,026	1	1,221	2
	4,13	6	1,982	3	1,156	2
	3,36	7	1,951	1	1,107	2
	3,23	10	1,838	6	1,100	2
	3,12	3	1,768	3	1,028	6
	2,84	10	1,610	8	0,926	6
$\text{Mg}_4\text{Nd}_6\text{Si}_4\text{P}_2\text{O}_{26}$	3,36	3	2,48	1	1,77	3
	3,02	1	2,02	1	1,74	2
	2,76	10	1,90	3	1,72	3
	2,72	3	1,85	1	1,68	3
	2,67	1	1,80	5	-	-
Хлорит - $\text{Mg}_3\text{Al}_2\text{AlSi}_3\text{O}_{10}\text{V(OH)}_8$	13,26	Ku.	2,56	ÿ.	1,56	Ж.ку.
	9,48	Ku.кз.	2,42	ÿ.кз.	1,50	ÿ.кз.
	7,85	ÿ.	2,28	ÿ.ку.	1,48	Кз.
	7,50	Ж.ку.	2,23	Кз.	1,43	ÿ.
	5,28	ÿ.	2,12	Ж.кз.	1,41	Ж.ку.
	4,66	Ж.к.	2,10	ÿ.	1,36	Кз.
	4,17	Ж.кз.	2,05	Ku.	1,33	ÿ.кз.
	3,82	ÿ.	1,90	ÿ.	1,30	Ku.
	3,52	Ж.ку.	1,84	ÿ.	2,25	Ж.кз.
	3,18	Кз.	1,75	ÿ.	1,20	Ku.
	2,90	Ku.	1,66	ÿ.	1,15	ÿ.ку.
	2,70	Ku.кз.	1,59	Ж.ку.	-	-
	-	-	-	-	-	-
Бишовит, бишофит - $\text{MgCl}_2 \cdot 6\text{H}_2\text{O}$	5,8	15	2,55	3	1,78	8
	4,10	100	2,46	3	1,72	10
	3,57	15	2,31	15	1,63	3
	2,98	20	2,23	25	1,59	3
	2,88	50	2,15	8	1,480	10
	2,72	44	2,05	18	1,420	3
	2,65	75	1,84	31	1,390	10
	-	-	-	-	1,365	3
Серпентин - $\text{Mg}_6\text{Si}_4\text{O}_{10}\text{V(OH)}_8$	7,51	10	2,290	1	1,450	1
	5,20	1	2,205	1	1,407	1
	4,59	5	2,140	5	1,322	1
	3,94	1	1,814	1	1,300	3
	3,73	10	1,780	3	1,268	3
	3,105	3	1,725	1	1,238	1
	2,750	1	1,686	1	1,208	1
	2,635	1	1,657	1	1,159	2
	2,580	1	1,550	1	1,099	1
	2,490	9	1,525	5	1,068	2
	2,420	1	1,497	5	1,051	2

<b>Кальций</b> <b>Ca</b>	3,21 2,80 1,97	100 30 20	1,68 1,61 1,28	20 10 5	1,246 1,238	3 5
<b>CaO</b>	2,76	40	1,100	7	0,800	6
	2,39	100	1,071	25	0,759	2
	1,69	63	0,979	13	0,731	1
	1,445	20	0,922	3	0,723	2
	1,382	20	0,847	3	0,671	1
	1,200	10	0,810	3	0,666	1
<b>CaCl<sub>2</sub></b>	4,49	100	2,09	16	1,490	4
	3,46	16	1,90	36	1,330	12
	3,05	80	1,79	8	1,243	12
	2,85	32	1,68	12	1,210	12
	2,33	60	1,56	4	1,165	4
	2,24	16	1,51	8	-	-
<b>CaF<sub>2</sub></b>	3,16	67	1,117	30	0,835	2
	1,93	100	1,050	10	0,789	1
	1,65	50	0,968	5	0,767	2
	1,370	23	0,925	7	0,731	5
	1,256	23	0,866	5	0,731	3
	-	-	-	-	0,644	1
<b>Ca(OH)<sub>2</sub></b>	4,93	50	1,55	2	1,063	10
	3,11	25	1,485	20	1,035	5
	2,63	100	1,450	20	1,012	8
	1,93	50	1,315	16	0,955	5
	1,79	40	1,178	2	0,850	2
	1,69	30	1,145	15	-	-
<b>Кальцит</b> <b>CaCO<sub>3</sub></b>	3,86	12	2,095	18	1,604	8
	3,035	100	1,927	5	1,587	2
	2,845	3	1,913	17	1,525	5
	2,495	14	1,875	17	1,518	4
	2,285	18	1,626	4	1,510	3
	-	-	-	-	-	-
<b>Арагонит-</b> <b>CaCO<sub>3</sub></b>	3,40	100	2,49	48	1,88	64
	3,29	48	2,36	48	1,82	32
	3,05	2	2,19	11	1,74	40
	2,88	2	2,10	24	1,63	2
	2,70	64	1,98	100	1,56	6
	-	-	-	-	-	-
<b>Ватерит-</b> <b>CaCO<sub>3</sub></b>	4,26	13	2,06	63	1,480	8
	3,58	63	1,866	15	1,367	8
	3,29	75	1,827	63	1,318	10
	2,73	100	1,650	31	1,289	13
	2,31	8	1,550	8	1,145	8
	-	-	-	-	1,112	5

CaO·Al <sub>2</sub> O <sub>3</sub>	5,6 4,69 4,41 4,05 3,88 3,71 3,50 3,30	3 13 2 5 1 7 1 3	3,20 2,97 2,85 2,75 2,69 2,60 2,52 -	4 100 7 1 1 1 42 -	2,41 2,33 2,27 2,20 2,13 1,92 1,53 -	27 7 3 10 5 20 20 -
3CaO·Al <sub>2</sub> O <sub>3</sub>	4,847 4,142 3,784 3,120 3,043 2,991 2,696 -	7 2 10 2 15 5,5 100 -	2,402 2,298 2,193 1,933 1,906 1,664 1,555 -	4 5,5 5 6 36,5 59 24 -	1,523 1,356 1,347 1,206 1,100 1,067 1,047 1,016	2,5 5 20 27 97 2 3,5 8
3CaO·5Al <sub>2</sub> O <sub>3</sub>	4,46 3,50 3,31 3,09 2,96 2,87 2,73 2,60 2,51	40 100 7 40 27 33 40 100 20	2,44 2,31 2,18 2,05 2,00 1,44 1,90 1,85 1,80	47 13 20 40 20 13 20 13 33	1,76 1,68 1,62 1,52 1,53 1,478 1,455 1,370 1,337	33 13 40 13 67 13 27 27 13
5CaO·3Al <sub>2</sub> O <sub>3</sub>	4,95 3,19 3,01 2,68 2,44 2,19 1,94 -	67 20 23 100 50 50 50 -	1,73 1,66 1,59 1,52 1,478 1,395 1,344 -	13 42 50 13 10 27 10 -	1,309 1,261 1,236 1,209 1,174 1,141 1,112 1,091	17 7 7 10 10 7 13 3
α-CaO·SiO <sub>2</sub>	5,7 3,42 3,23 2,80 2,45 1,98	5 15 100 75 10 63	1,83 1,69 1,61 1,54 1,476 1,400	8 3 8 3 8 5	1,293 1,250 1,180 1,140 1,110 1,040	3 8 3 3 3 3

$\alpha$ -2CaO SiO <sub>2</sub>	5,6 4,32 4,05 3,80 3,38 3,01 2,89	8 24 6 24 9 48 9	2,74 2,60 2,51 2,44 2,32 2,24 2,18	100 6 9 6 6 5 6	2,02 1,90 1,80 1,75 1,68 1,63 1,53	6 48 32 20 20 28 8
$\beta$ -2CaO SiO <sub>2</sub>	2,77 2,62 2,43 2,28 2,19 2,03	100 40 16 12 50 16	1,98 1,90 1,80 1,70 1,62 1,52	32 16 12 8 16 12	1,485 1,370 1,290 1,250 1,180 1,125	12 8 4 4 4 4
3CaO SiO <sub>2</sub>	3,02 3,75 2,61 2,30 2,18 1,48	44 100 75 8 50 5	1,92 1,81 1,76 1,63 1,54 1,480	10 3 38 31 10 31	1,441 1,380 1,195 1,160 1,130 1,094	20 18 8 3 3 5
Фторапатит- 10CaO · 3P <sub>2</sub> O <sub>5</sub> · F <sub>2</sub>	8,12 5,25 4,684 4,055 3,872 3,492 3,442 3,167	8 4 1 8 8 1 40 14	3,067 2,800 2,772 2,702 2,624 2,517 2,289 2,250	18 100 55 60 30 6 8 20	2,218 2,140 2,128 2,061 2,028 1,997 1,937 1,884	4 6 4 6 2 4 25 14
Перовскит — CaO · TiO <sub>2</sub>	3,81 2,69 2,57 2,42 2,29 2,20 2,11	3 10 1 1 3 3 1	2,03 1,903 1,846 1,704 1,665 1,552 -	1 8 2 3 2 8 -	1,345 1,203 1,136 1,100 1,017 0,897 -	6 5 2 4 7 6 -
CaY <sub>2</sub> O <sub>4</sub>	4,96 3,55 3,13 2,94 2,89 2,84	15 14 14 13 78 72	2,82 2,75 2,47 2,30 2,28 2,14	100 12 20 15 11 12	2,01 1,778 1,722 1,664 1,653 1,578	45 18 32 35 16 11
CaHo <sub>2</sub> O <sub>4</sub>	5,04 4,96 3,77 3,55 3,13 2,89 2,84	8 25 7 10 11 100 75	2,82 2,75 2,47 2,30 2,15 2,04 2,01	66 10 21 16 11 8 37	1,788 1,772 1,664 1,653 1,639 1,580 -	14 18 19 21 15 8 -

<b>CaYb<sub>2</sub>O<sub>4</sub></b>	4,983 4,870 2,901 2,833 2,763 2,742	53 44 68 100 72 38	2,492 1,992 1,963 1,661 1,647 1,625	15 34 24 24 19 24	1,614 1,431 1,416 1,252 1,173 1,093	18 13 13 8 6 3
<b>Ca<sub>2</sub>Yb<sub>2</sub>O<sub>5</sub></b>	6,916 5,505 3,534 3,457 3,048 2,926 2,894 2,849 2,755 2,585 2,469 2,436 2,402	17 15 4 5 27 100 12 19 35 20 9 5 25	2,299 2,155 2,124 2,071 1,854 1,827 1,809 1,764 1,726 1,696 1,668 1,630 1,620	26 24 10 4 7 4 4 6 12 14 15 10 18	1,613 1,534 1,462 1,424 1,409 1,402 1,376 1,234 1,165 1,150 1,128 1,126 -	7 7 21 12 4 4 5 2 5 5 3 3 -
<b>Ca<sub>3</sub>Yb<sub>2</sub>O<sub>6</sub></b>	7,900 5,488 2,372 3,948 3,391 2,921 2,883 2,761	5 5 5 5 5 21 100 31	2,488 2,420 2,398 2,345 2,298 2,262 2,176 2,154	13 8 12 12 5 8 4 7	1,690 1,635 1,617 1,442 1,423 1,407 1,376 1,149	20 7 13 4 9 4 4 3
<b>CaY<sub>4</sub>O<sub>7</sub></b>	3,29 3,13 3,06 2,94 2,91 2,89 2,82 2,79 2,75	27 75 19 87 59 33 100 49 85	2,66 2,47 2,31 2,24 2,17 2,13 1,866 1,781 1,722	6 11 12 22 19 37 42 41 15	1,716 1,678 1,653 1,642 1,600 1,566 1,554 -	14 47 24 14 35 9 19 -
<b>CaCd<sub>4</sub>O<sub>7</sub></b>	3,192 2,986 2,868 2,840 2,792	59 100 82 85 68	2,270 2,160 1,899 1,705 1,680	18 59 47 50 26	1,674 1,630 1,593 1,579 1,549	24 24 18 15 26
<b>CaHo<sub>4</sub>O<sub>7</sub></b>	3,29 3,13 2,94 2,92 2,89 2,82 2,79 2,75	24 100 85 51 29 71 88 90	2,24 2,22 2,17 2,14 2,13 2,01 1,866 1,781	24 12 28 14 54 25 41 35	1,722 1,678 1,653 1,600 1,580 1,568 1,551 -	20 47 28 39 8 20 19 -

CaYb <sub>4</sub> O <sub>7</sub>	5.81 5.02 3.72 3.24 3.084 2.906 2.880 2.784	4 4 4 18 54 100 42 32	2,747 2,702 2,274 2,211 2,138 2,098 1,840 1,754	59 71 5 11 13 33 30 28	1,693 1,657 1,637 1,631 1,579 1,503 1,500 1,121	7 22 9 11 12 13 16 10
CaO · Ca <sub>2</sub> O <sub>3</sub> - I	6,288 4,511 3,875 3,675 2,950	3 3 6 2 10	2,623 2,589 2,488 2,195 2,173	7 4 4 2 2	1,966 1,947 1,932 1,710 -	2 2 2 2 -
CaO · Ca <sub>2</sub> O <sub>3</sub> - II	5,327 4,564 2,155 3,319	7 2 2 2	3,006 2,806 2,661 2,559	4 10 3 2	2,493 1,846 1,561 1,525	2 2 2 2
CaO · WO <sub>3</sub>	4,76 3,10 3,072	53 100 31	2,844 2,622 2,326	14 23 19	2,256 2,0864 -	3 5 -
4CaO · Al <sub>2</sub> O <sub>3</sub> Fe <sub>2</sub> O <sub>3</sub>	2,78 2,66 2,05	33 100 27	1,93 1,58 1,53	47 13 7	1,326 1,212 -	7 7 -
2CaO · Al <sub>2</sub> O <sub>3</sub> · SiO <sub>2</sub>	5,44 5,04 3,70 3,44 3,06 2,841 2,718 2,554 2,428 2,407 2,401 -	3 7 22 2 25 100 3 7 17 26 26 -	2,300 2,291 2,037 1,921 1,862 1,852 1,811 1,752 1,718 1,633 1,615 -	15 15 15 7 5 5 8 37 2 4 3 -	1,545 1,515 1,435 1,424 1,390 1,376 1,359 1,279 1,267 1,252 1,1241 1,0080	2 17 3 1 2 7 3 2 2 4 30 15
2CaO · MgO 2SiO <sub>2</sub>	5,57 4,25 3,95 3,72 3,52 -	10 12 5 14 6 -	3,09 2,881 2,488 2,430 2,392 -	29 100 10 6 12 -	2,321 2,285 2,040 1,961 1,903 1,848	10 6 16 5 5 8

<b>Монтичеллит -</b> <b>CaO·MgO·SiO<sub>2</sub></b>	5,56 4,19 3,854 3,637 3,188 2,935 2,666	15 35 10 40 15 35 100	2,586 2,543 2,401 2,355 2,209 1,916 1,818	40 30 24 7 5 15 30	1,777 1,751 1,721 1,704 1,687 1,600 -	10 7 15 5 5 15 -
<b>Диопсид -</b> <b>CaO·MgO·2SiO<sub>2</sub></b>	2,231 2,992 2,291 2,894 2,566 2,524 2,518 2,301	30 100 30 40 25 65 65 16	2,215 2,198 2,156 2,133 2,108 2,042 2,014 2,006	14 14 12 18 10 20 14 10	1,968 1,835 1,754 1,673 1,658 1,624 1,617 -	8 10 14 6 6 35 35 -
<b>Мервинит -</b> <b>3CaO·MgO·2SiO<sub>2</sub></b>	2,84 2,74 2,66 2,41 2,30 2,20 2,16	50 50 100 30 50 50 50	2,03 1,90 1,87 1,75 1,69 1,61 1,57	50 70 60 30 30 50 50	1,53 1,43 1,39 1,34 1,32 1,23 1,19	70 30 30 50 50 50 30
<b>Сфен -</b> <b>CaO·TiO<sub>2</sub>·SiO<sub>2</sub></b>	4,87 3,57 3,20 2,98 2,85 2,59 2,26 2,09	2 5 10 9 5 10 7 2	2,05 1,932 1,801 1,734 1,693 1,630 1,553 1,488	6 2 2 5 6 7 6 7	1,410 1,343 1,302 1,274 1,225 1,131 1,106 1,074	9 5 5 5 2 5 5 2
<b>CaLaAl<sub>3</sub>O<sub>7</sub></b>	5,11 4,49 3,75 3,48 3,11 2,889 2,868 2,583	8 3 22 10 25 100 5 18	2,473 2,441 2,338 2,329 2,233 2,079 1,892 1,842	20 10 10 10 10 30 10 10	1,835 1,784 1,545 1,500 1,404 1,400 0,9517 0,9164	10 30 25 7 7 7 50 25

<b>CaNdAl<sub>3</sub>O<sub>7</sub></b>	5.11 3.73 3.47 3.09 2,868 2,550 2,455 2,434	14 16 7 18 100 22 11 8	2,419 2,312 2,134 2,057 1,938 1,881 1,876 1,829	7 9 6 27 8 9 7 5	1,767 1,723 1,530 1,492 1,385 0,9460 0,9092 -	31 8 18 7 12 50 25 -
<b>CaSmAl<sub>3</sub>O<sub>7</sub></b>	3,71 3,43 3,07 2,850 2,635 2,539 2,439	25 10 20 100 5 7 12	2,403 2,302 2,044 1,935 1,821 1,761 1,714	6 10 27 10 12 35 5	1,525 1,486 1,382 1,274 0,9434 0,9059 -	20 5 15 10 50 25 -
<b>Ca.YAl<sub>3</sub>O<sub>7</sub></b>	5,43 5,04 3,86 3,70 3,33 3,05 2,841 2,713 2,613 2,522 2,432	4 5 4 22 4 31 100 3 4 10 18	2,394 2,283 2,189 2,114 2,037 1,921 1,864 1,850 1,813 1,750 1,720	20 14 6 2 25 8 6 5 10 40 4	1,711 1,542 1,511 1,474 1,447 1,375 1,360 1,323 0,9379 0,8999 -	10 3 23 6 2 10 3 2 50 25 -
<b>Ca<sub>6</sub>La<sub>4</sub>(SiO<sub>4</sub>)<sub>6</sub></b>	4,22 4,06 3,66 3,29	11 10 20 26	3,19 2,94 2,88 2,35	18 100 40 13	2,19 2,03 - -	11 25 - -
<b>Ca<sub>0,67</sub>La<sub>0,33</sub> Al<sub>0,33</sub>. Si<sub>0,67</sub>O<sub>3</sub></b>	4,17 4,00 3,55 3,27	10 10 8 20	3,15 2,88 2,78 2,27	20 100 18 13	2,12 1,99 - -	10 17 - -
<b>Ca<sub>0,67</sub>Nd<sub>0,33</sub>. Al<sub>0,33</sub>.Si<sub>0,67</sub>O<sub>3</sub></b>	4,10 3,93 3,51 3,22	16 16 8 20	3,12 2,83 2,75 2,27	50 100 32 13	2,09 1,97 - -	6 24 - -
<b>Ca<sub>0,67</sub>Sc<sub>0,33</sub>. Al<sub>0,33</sub>.Si<sub>0,67</sub>O<sub>3</sub></b>	3,37 3,04 2,84 2,73	16 70 10 100	2,60 2,49 2,39 1,99	14 25 10 12	1,69 1,63 - -	33 75 - -

<b>Геролит –</b> $2\text{CaO} \cdot 3\text{SiO}_2 \cdot 2\text{H}_2\text{O}$	9,6 7,9 6,4 4,68 4,24 3,84 3,54 3,36 3,15	6 4 4 4 8 6 4 10 6	3,02 2,92 2,85 2,65 2,58 2,52 2,45 2,29 2,25	2 2 8 6 2 2 4 4 6	2,12 2,095 2,060 1,990 1,940 1,884 1,813 - -	4 4 2 2 2 8 3 - -
<b><math>3\text{CaO} \cdot \text{Ga}_2\text{O}_3</math></b>	10,589 8,043 7,748 6,207 6,046 5,271 4,964 4,409 3,579 3,443 3,378 3,217	2 1 1 1 1 6 2 2 1 4 1 4	3,110 2,983 2,959 2,827 2,626 2,523 2,493 2,402 2,269 2,195 1,964 1,882	5 10 8 1 4 4 4 1 3 1 2 1	1,837 1,826 1,791 1,684 1,635 1,579 1,553 1,487 1,451 1,389 1,359 1,268	1 1 2 1 2 1 1 1 1 3 1 2
<b><math>\text{CaO} \cdot 2\text{Ga}_2\text{O}_3</math></b>	7,481 6,784 4,738 4,568 3,837 3,703 3,545 3,168 2,955 2,860 2,831 2,709	1 1 3 9 1 3 10 8 2 3 3 4	2,666 2,601 2,471 2,428 2,387 2,328 2,120 2,060 1,960 1,837 1,806 1,733	6 4 5 2 4 1 3 1 1 1 1 3	1,676 1,650 1,624 1,586 1,560 1,480 1,422 1,392 1,371 1,284 - -	1 2 1 4 1 1 1 1 1 1 - -
<b>Спуррит –</b> $2(2\text{CaO} \cdot \text{SiO}_2) \cdot \text{CaCO}_3$	3,81 3,019	3 7	2,701 2,663	10 5	2,635 2,170	7 4
<b>Анортит –</b> $\text{CaO} \cdot \text{Al}_2\text{O}_3 \cdot 2\text{SiO}_2$ (Ромбик)	5,94 4,83 4,29 4,20 4,17 4,11 3,75 3,21 3,13 2,97	3 9 5 10 85 70 50 100 3 35	2,415 2,383 2,363 2,327 2,296 2,241 2,152 2,115 2,087 2,056	1 8 15 13 4 13 3 7 40 15	1,855 1,849 1,773 1,732 1,685 1,672 1,621 1,598 1,578 1,558	3 8 7 2 10 15 3 8 6 6

	2,94	50	2,042	12	1,533	8
	2,701	30	2,026	10	1,510	3
	2,601	6	1,965	20	-	-
	2,532	12	1,907	3	-	-
$\text{CaO} \cdot \text{Al}_2\text{O}_3 \cdot 2\text{SiO}_2$ (Гексагонал)	7,37	85	2,414	3	1,501	2
	4,43	7	2,417	11	1,495	14
	3,80	30	2,119	4	1,475	3
	3,68	100	1,842	100	1,399	12
	2,84	40	1,770	9	1,277	8
	2,555	9	1,701	1	1,183	5
	2,456	14	1,658	1	1,152	1
	4,08	3	2,097	3	1,410	2
$\text{CaO} \cdot \text{Al}_2\text{O}_3 \cdot 2\text{SiO}_2$ (Триклин)	3,80	3	2,021	3	1,385	4
	3,63	2	1,926	3	1,360	3
	3,37	2	1,877	2	1,342	3
	3,26	1	1,836	5	1,317	2
	3,20	10	1,797	4	1,274	2
	3,15	2	1,762	5	1,211	3
	2,948	4	1,714	2	1,166	4
	2,832	4	1,626	3	1,127	2
	2,648	2	1,532	2	1,079	3
	2,509	6	1,480	4	1,064	4
Воллас- тонит — $\beta - \text{CaO} \cdot \text{SiO}_2$	2,135	6	1,451	3	-	-
	7,7	40	2,33	40	1,72	60
	4,05	10	2,29	40	1,602	40
	3,83	80	2,18	60	1,531	10
	3,52	80	2,08	5	1,515	5
	3,40	5	2,01	20	1,478	20
	3,31	80	1,98	20	1,455	30
	3,16	5	1,91	20	1,426	5
	3,09	30	1,88	20	1,387	5
	2,97	100	1,86	10	1,358	30
	2,80	10	1,83	60	1,332	10
	2,72	10	1,80	5	1,312	5
	2,55	30	1,79	5	-	-
	2,47	60	1,75	40	-	-
Рэнкинит — $3\text{CaO} \cdot 2\text{SiO}_2$	4,39	80	2,47	70	1,74	20
	4,04	80	2,34	20	1,72	20
	3,76	100	2,26	20	1,67	20
	3,51	50	2,15	20	1,62	30
	3,33	50	2,10	20	1,59	30
	3,15	100	2,03	20	1,54	20
	2,97	70	1,98	20	1,52	20
	2,85	70	1,94	20	1,47	70
	2,74	30	1,90	70	1,44	30
	2,68	100	1,84	70	1,42	20
	2,54	80	1,80	80	-	-

Шенонит, кальциоолив и н-γ - 2CaO· SiO <sub>2</sub>	5,66	Ў.кз.	1,754	Ў.кз.	1,185	Ж.кз.
	4,33	Ў.	1,685	Ў.кз.	1,161	Кз.
	4,05	Кз.	1,672	Ж.ж.кз.	1,138	Ў.кз.
	3,82	Ў.	1,631	Ў.	1,106	Ж.ж.кз.
	3,39	Кз.	1,618	Ж.ж.кз.	1,095	Кз.
	3,01	Ку.	1,574	Ж.ж.кз.	1,078	Ж.кз.
	2,89	Ж.кз.	1,541	Ж.кз.	1,059	Ж.ж.кз.
	2,74	Ж.кн.	1,527	Кз.	1,050	Ж.ж.кз.
	2,60	Кз.	1,501	Кз.	1,038	Ж.ж.кз.
	2,53	Кз.	1,471	Ў.кз.	1,026	Ж.кз.
	2,46	Кз.	1,440	Кз.	1,014	Кз.
	2,33	Кз.	1,411	Кз.	1,001	Ж.кз.
	2,25	Ж.кз.	1,375	Ж.кз.	0,988	Ж.ж.кз.
	2,18	Кз.	1,349	Ж.кз.	0,978	Ж.ж.кз.
	2,05	Ж.кз.	1,303	Ж.кз.	0,953	Кз.
	2,02	Кз.	1,273	Кз.	0,942	Ж.ж.кз.
	1,964	Ж.кз.	1,253	Ў.кз.	0,933	Ж.кз.
	1,908	Ку.	1,233	Ж.кз.	0,921	Ж.кз.
	1,873	Ж.кз.	1,218	Ж.ж.кз.	0,808	Ж.ж.кз.
	1,805	Ў.ку.	1,207	Ж.ж.кз.	0,900	Ж.кз.
	-	-	-	-	0,891	Кз
Сульфаты Спуррит - 2(2CaO· SiO <sub>2</sub> ) CaSO <sub>4</sub>	7,68	10	2,704	10	1,954	20
	5,676	10	2,605	40	1,889	50
	5,319	10	2,561	50	1,836	15
	4,559	25	2,476	10	1,819	10
	4,073	20	2,403	10	1,806	10
	3,939	30	2,380	5	1,776	15
	3,490	30	2,353	5	1,755	20
	3,336	45	2,281	20	1,699	15
	3,190	65	2,227	10	1,688	10
	3,118	30	2,199	10	1,612	10
	3,035	30	2,169	20	1,561	5
	2,981	35	2,078	10	1,529	15
	2,838	100	2,060	15	-	-
	2,736	10	2,017	20	-	-
	3CaO·Fe <sub>2</sub> O <sub>3</sub>	7,43	1	2,98	10	2,06
3CaSO <sub>4</sub> · 3H <sub>2</sub> O	4,71	4	2,73	1	1,89	4
	4,30	1	2,65	3	1,84	5
	3,85	3	2,45	4	1,61	1
	3,60	1	2,26	5	1,51	3
	3,41	1	2,19	4	1,40	2
	Стронций - Sr	3,50	100	2,14	20	1,74
SrO	3,03	60	1,83	100	-	-
	2,97	100	1,55	43	1,182	29
	2,58	86	1,485	14	1,151	14
	1,82	71	1,290	14	1,050	29

SrF <sub>2</sub>	3,37 2,91 2,06 1,75	100 5 100 50	1,68 1,455 1,336 1,302	5 10 15 5	1,189 1,121 1,029 0,979	20 15 5 10
SrCO <sub>3</sub>	3,53 2,56 2,45	100 8 40	2,18 1,05 1,98	8 40 8	1,90 1,81 -	16 32 -
Sr(NO <sub>3</sub> ) <sub>2</sub>	4,50 3,91 3,48 3,18 2,35	100 33 33 33 100	2,24 1,94 1,78 1,75 1,58	100 17 17 17 17	1,50 1,376 1,315 -	17 17 17 -
SrO-SiO <sub>2</sub>	5,07 3,07 3,37 2,92 2,53	18 65 38 100 17	2,07 1,914 1,783 1,759 1,686	68 33 10 3 17	1,603 1,527 1,460 1,350 1,307	13 17 17 5 17
2SrO SiO <sub>2</sub>	4,87 4,02 3,61 3,28 2,97 2,81 -	20 50 10 70 50 100 -	2,55 2,37 2,29 2,21 2,16 2,04 -	40 50 80 40 60 40 -	2,01 1,90 1,87 1,82 1,77 1,70 1,66	60 10 50 60 60 50 60
3SrO Al <sub>2</sub> O <sub>3</sub>	5,6 5,4 4,4 4,3 3,98 3,49 -	4 5 2 5 2 4 -	3,25 2,92 2,81 2,51 2,39 2,29 -	2 5 100 4 2 7 -	2,13 1,99 1,81 1,77 1,74 1,62 1,40	7 11 1 3 1 20 6
3SrO SiO <sub>2</sub>	3,61 2,97 2,90 2,69 2,45 2,34 2,19	6 35 100 15 25 55 25	1,89 1,81 1,77 1,70 1,69 1,66 1,59	4 15 6 7 3 14 12	1,56 1,55 1,52 1,49 1,46 1,38 1,34	9 4 10 4 3 3 5

SrO-Al <sub>2</sub> O <sub>3</sub>	6,07 4,42 4,00 3,90 3,83 3,14 3,04 2,98 2,56 2,55 -	5 48 9 13 13 100 88 76 33 72 -	2,46 2,42 2,21 2,19 2,15 2,10 2,03 2,01 1,95 1,92 -	12 16 20 14 14 17 5 8 16 21 -	1,90 1,86 1,67 1,63 1,60 1,58 1,57 1,56 1,53 1,48 1,47	7 11 6 6 13 5 7 8 14 12 7
SrO-6Al <sub>2</sub> O <sub>3</sub>	4,71 4,42 3,66 2,78 2,75 2,70 2,63 2,48 2,41	10 16 20 44 24 9 100 95 5	2,39 2,35 2,29 2,20 2,11 2,01 1,85 1,81 1,74	3 2 27 19 65 38 52 2 2	1,72 1,61 1,58 1,54 1,52 1,46 1,39 1,35 -	10 4 31 59 4 3 43 2 -
5SrO-Al <sub>2</sub> O <sub>3</sub>	5,11 4,98 4,29 3,92 3,35 2,89 2,84 2,79	3 3 3 2 3 100 4 17	2,75 2,56 2,49 2,42 2,34 2,31 2,15 2,07	11 2 3 2 5 5 12 2	2,04 1,96 1,70 1,69 1,63 1,61 1,44 1,34	2 12 7 4 11 8 4 5
SrO-CeO <sub>2</sub>	5,29 2,99 2,38 2,26 2,11 1,795 -	3 100 3 8 33 7 -	1,740 1,718 1,668 1,537 1,501 1,457 -	3 22 2 17 7 2 -	1,383 1,245 1,166 1,153 1,128 1,086 1,020	2 10 5 5 12 5 7
SrO-TiO <sub>2</sub>	2,76 2,25 1,944	100 10 30	1,589 1,376 1,230	30 23 18	1,173 1,122 1,041	2 3 15
SrO-ZrO <sub>2</sub>	2,90 2,04 -	100 40 -	1,667 1,446 -	67 27 -	1,293 1,180 1,094	24 3 27

SrO·Al <sub>2</sub> O <sub>3</sub> 2SiO <sub>2</sub>	6,44 5,77 4,55 4,11 3,75 3,58 3,47 3,43 3,27 3,22 2,97 2,89 2,74	34 11 16 8 38 21 21 68 100 100 46 26 35	2,55 2,47 2,40 2,34 2,31 2,22 2,19 2,16 2,10 2,06 2,04 1,965 1,929	65 5 9 9 9 11 12 8 7 11 11 3 3	1,916 1,895 1,872 1,846 1,834 1,794 1,784 1,744 1,657 1,621 1,564 1,505 1,491	3 11 7 7 7 11 19 7 6 9 10 7 13
6SrO·9Al <sub>2</sub> O <sub>3</sub> 2SiO <sub>2</sub>	5,60 4,49 3,03 2,97 2,94 2,91 2,82 2,79 2,75 2,56 2,45 -	21 26 100 79 74 47 29 58 32 11 30 -	2,40 2,37 2,32 2,30 2,25 2,21 2,16 2,04 2,02 1,96 1,92 -	12 7 11 16 5 9 28 17 49 7 17 -	1,89 1,87 1,85 1,80 1,78 1,57 1,56 1,48 1,47 1,46 1,40 1,38	15 7 10 10 11 21 21 13 11 8 11 8
2SrO·MgO 2SiO <sub>2</sub>	5,68 5,18 4,35 4,02 3,82 3,59 3,17 2,950 2,838 -	32 5 5 9 23 9 45 100 7 -	2,590 2,539 2,462 2,366 2,280 2,225 2,175 2,100 2,050 -	24 36 12 10 10 5 7 43 7 -	2,000 1,946 1,915 1,891 1,822 1,795 1,778 1,727 1,586 1,555	10 15 8 12 14 27 10 5 5 15
2SrO·Al <sub>2</sub> O <sub>3</sub> SiO <sub>2</sub>	5,53 5,24 3,90 3,80 3,48 3,13 2,914 2,753 -	5 5 5 15 4 22 100 2 -	2,625 2,488 2,471 2,370 2,329 2,234 2,179 2,100 -	24 10 14 3 5 3 5 31 -	1,953 1,891 1,838 1,798 1,779 1,746 1,736 1,672 1,568	7 10 10 22 10 7 7 4 22
SrLaAl <sub>3</sub> O <sub>7</sub>	5,59 5,24 3,82 3,53	6 16 19 12	2,181 2,174 2,096 1,967	10 10 43 8	1,743 1,562 1,411 1,306	8 34 8 7

	3,15 2,923 2,614 2,489 2,354 2,249	22 100 37 19 9 6	1,912 1,897 1,858 1,800 1,761 1,753	9 14 10 30 6 10	1,198 1,157 0,9626 0,9275 - -	6 4 50 25 - -
SrGdAl <sub>3</sub> O <sub>7</sub>	5,13 3,76 3,50 3,11 2,889 2,571 2,480 2,451	23 12 13 20 100 20 15 18	2,438 2,325 2,238 2,226 2,068 1,952 1,896 1,841	15 8 18 18 40 14 5 9	1,779 1,738 1,537 1,497 1,394 0,9508 0,9132 -	36 8 15 5 8 50 25 -
SrYAl <sub>3</sub> O <sub>7</sub>	5,12 3,75 3,70 3,49 3,09 2,871 2,742 2,555 2,453	8 20 15 8 16 100 5 25 18	2,425 2,417 2,305 2,269 2,216 2,052 1,945 1,882 1,831	18 18 10 5 10 37 10 7 10	1,766 1,724 1,527 1,487 1,387 1,373 1,278 0,9497 0,9114	35 10 25 7 15 2 4 50 25
SrNdGa <sub>3</sub> O <sub>7</sub>	3,87 3,20 2,961 2,833 2,642 2,536 2,524 2,393	14 23 100 8 33 33 30 3	2,128 2,002 1,945 1,938 1,888 1,824 1,791 1,778	10 10 5 5 10 47 5 6	1,581 1,543 1,430 1,415 1,335 1,324 0,9764 0,9395	22 8 18 9 6 5 30 15
SrGd <sub>2</sub> O <sub>4</sub>	3,01 2,94 2,88 2,54 2,37	68 100 73 20 12	2,34 2,23 2,08 2,04 1,728	17 13 45 47 42	1,716 1,692 1,681 1,647 1,603	28 40 30 20 15
SrSm <sub>2</sub> O <sub>4</sub>	3,00 2,93 2,897 2,878 2,791 2,544 2,378	Y. Ku. Ku. Ks. Ks. Ks. Ks.	2,345 2,231 2,078 2,041 1,862 1,855 1,796	Ж.ж.кз. Ж.ж.кз. Ку Ж.ж.кз. Ж.ж.кз. Ж.ж.кз. Ж.ж.кз.	1,751 1,727 1,717 1,696 1,681 1,651 -	Y Ku. Ku. Y. Y.ku. Ks. -

Беловит – $(\text{Sr}, \text{Ce}, \text{Na}, \text{Ca})_{10} [\text{PO}_4]_6 \cdot (\text{OH}, \text{O})_2$	3,56	3	1,843	7	1,209	3
	3,28	5	1,830	7	1,184	3
	3,15	6	1,787	7	1,166	1
	2,87	10	1,560	2	1,158	3
	2,78	7	1,509	4	1,148	4
	2,31	3	1,494	4	1,132	4
	2,19	1	1,467	2	1,105	3
	2,14	3	1,316	5	1,070	6
	1,998	8	1,306	5	1,064	3
	1,943	7	1,275	6	1,037	8
	1,900	8	1,252	6	1,010	4
Анкилит – $\text{Sr}_2\text{LaCe} (\text{H}_2)_2 \cdot [\text{CO}_3]_4 \cdot (\text{OH})_2$	4,40	5	2,95	8	1,318	5
	3,79	10	2,35	6	1,207	5
	-	-	-	-	-	-
Лампрофил- лит- $\text{Sr}_2(\text{Na}_3\text{Ti}) \text{Ti}_2 \cdot (\text{Si}_2\text{O}_7)_2\text{O}_2\text{F}$	3,17	10	2,12	5	1,59	3
	2,75	9	1,76	3	1,44	3
	-	-	-	-	-	-
Витчит – $\text{Sr}_3\text{B}_{16}\text{O}_{27} \cdot 5\text{H}_2\text{O}$	10,3	10	2,76	1	1,932	6
	5,64	6	2,69	1	1,859	2
	5,12	6	2,59	8	1,832	1
	4,46	4	2,52	2	1,797	2
	4,40	6	2,39	6	1,757	4
	3,47	4	2,20	6	1,673	1
	3,32	9	2,147	4	1,650	1
	3,19	4	2,078	6	1,583	2
	2,98	4	2,033	6	1,534	2
	2,86	6	1,992	2	1,506	2
Барий – Ba	3,55	100	1,451	5	1,026	1
	2,513	20	1,343	14	0,986	6
	2,051	40	1,185	5	0,917	2
	1,776	18	1,124	4	0,861	8
	1,590	12	1,072	3	-	-
BaO	3,20	100	1,380	10	0,975	5
	2,75	88	1,265	20	0,933	10
	1,95	75	1,231	25	0,920	5
	1,66	50	1,128	15	-	-
	1,59	25	1,060	5	-	-

$\text{Ba}(\text{OH})_2$	5.77 5.20 4.70 4.38 4.03 3.59 3.39 3.19 3.02 2.94	8 6 25 12 40 25 100 14 10 18	2.75 2.71 2.55 2.46 2.32 2.16 2.05 2.00 1.945 1.895	14 25 20 30 30 10 20 6 30 18	1,818 1,729 1,670 1,600 1,515 1,488 1,440 1,391 - -	6 6 20 10 14 2 10 6 - -
$\text{BaF}_2$	3.58 3.09 2.19 1.86 1.78 1.55 -	100 25 100 80 15 15 -	1,420 1,382 1,262 1,190 1,095 1,045 -	32 18 32 20 5 15 -	1,031 0.978 0.944 0.933 0.866 0.859 0.827	3 6 3 2 3 2 5
$\text{BaCO}_3$	4.56 4.45 3.72 3.68 3,215 2,025	9 4 100 53 15 4	2,749 2,656 2,628 2,590 2,281 2,226	3 11 24 23 6 2	2,150 2,104 2,048 2,019 1,940 1,859	28 12 10 21 15 3
$\text{BaCa}(\text{CO}_3)_2$	3.96 3.16 2.54	50 100 40	2.14 1.998 1.940	30 30 25	1,642 1,568 1,505	13 13 3
$\text{BaO-SO}_2$	4.20 3.44 3.20 2.75 2.33	63 100 75 63 35	2.08 1.99 1.77 1.69 1.59	45 10 10 10 5	1,490 1,380 1,320 1,260 1,182	5 5 5 5 5
$\text{BaO-SO}_3$	4.35 3.89 3.57 3.44 3.31 3.10 2.83 2.72 2.47	20 25 10 63 35 63 40 45 15	2.31 2.20 2.10 2.04 1.92 1.85 1.74 1.67 1.63	10 15 100 10 5 15 8 15 8	1.58 1.52 1,465 1,420 1,255 1,190 1,093 1,028 -	10 25 7 20 18 8 13 5 -

BaCrO <sub>4</sub>	4,50 4,00 3,54 3,19 2,90 2,78 2,53 2,37 2,25 2,16	11 27 40 83 33 27 8 7 7 100	1,97 1,91 1,80 1,71 1,66 1,62 1,56 1,50 1,450 1,410	1 17 10 33 11 11 23 5 13 3	1,380 1,350 1,325 1,288 1,250 1,225 1,170 1,120 1,055 -	7 3 3 13 4 5 8 10 4 -
BaO·TiO <sub>2</sub>	4,03 3,99 2,830 2,314 -	12 25 100 46 -	2,019 1,997 1,802 1,790 -	12 37 6 8 -	1,786 1,642 1,634 1,419 1,412	7 15 35 12 10
BaO·Al <sub>2</sub> O <sub>3</sub>	4,0468 3,1560 2,6084 2,5008 2,4539 2,2570 2,2421 2,9970 2,1829 2,0065 1,9724 1,9453	Kз. Kу. Kу. Kз. Ж.кз. Kз. Ж. Ж.кз. Ж.кз. Ж. Ж.кз. Kз.	1,6768 1,6731 1,6386 1,5890 1,5719 1,5042 1,4728 1,4624 1,4218 1,3909 1,3841 1,3451	Ж. Ж. Ж.кз. Ж. Ж.кз. Ж. Ж.кз. Ж.кз. Ж.кз. Ж. Ж.кз. Ж.	1,3023 1,2748 1,2509 1,2485 1,2399 1,2383 1,2266 1,2224 1,2028 - - -	Ж. Kу. Ж.кз. Kз. Kз. Kз. Kз. Kз. Kу. - - -
BaO·CeO <sub>2</sub>	3,44 3,10 2,18 2,10	1 100 35 4	1,794 1,552 1,389 1,269	50 15 20 8	1,174 1,098 1,034 0,980	30 2 10 8
BaO·6Al <sub>2</sub> O <sub>3</sub>	4,74 4,44 4,09 3,68 3,32 3,09	57 59 11 27 27 12	3,02 2,79 2,70 2,51 2,42 2,30	15 85 84 100 15 20	2,23 2,13 2,04 1,992 1,760 -	25 67 45 11 15 -
3BaO·Al <sub>2</sub> O <sub>3</sub>	4,12 3,78 3,06 2,91	34 10 9 100	2,47 2,38 2,31 2,20	5 23 6 5	2,15 2,06 1,944 1,841	7 25 4 12
Паст жароратли форма BaO·SiO <sub>2</sub>	5,082 3,682 3,470 3,305 2,999 2,600 2,349	Ж.кз. Ку. Ж.ж.кз. Ж.кз. Ж.кз. Ж. Ж.	1,747 1,654 1,573 1,512 1,404 1,355 1,305	Ку. Кз. Кз. Кз. Кз. Ку. Ж.ж.кз.	1,119 1,096 1,075 1,053 1,033 1,011 0,961	Кз. Кз. Ж.кз. Ж.кз. Ж.кз. Ку. Ку.

	2,135 1,980 2,854 -	Ж.ку. Ку. Кз. -	1,270 1,238 1,209 -	Ж.ж.кз. Ку. Кз. -	0,943 0,916 0,902 0,890	Ж.ж.кз. У. Ж.ж.кз. Ж.ж.кз.
Юқори ҳароратли форма – BaO·SiO <sub>2</sub>	3,637 3,354 3,070 2,789 2,660 2,326 2,280	У. Ку. У. Кз. Кз. У. У.	2,205 2,070 2,017 1,883 1,836 1,747 1,687	У. У. У. Ку. Кз. Ж.ж.кз. Кз.	1,598 1,561 1,524 1,501 1,463 1,421 -	Кз. Кз. Кз. Кз. Кз. Ж.ж.кз. -
Юқори ҳароратли форма – BaO·2SiO <sub>2</sub>	6,66 5,49 4,66 4,09 3,95 3,86 3,84 3,75 3,51 -	50 12 16 16 100 20 39 38 45 -	3,39 3,34 3,30 3,23 3,17 3,13 3,11 3,07 2,83 -	14 29 44 63 33 60 85 47 27 -	2,77 2,74 2,58 2,34 2,32 2,24 2,20 2,19 2,15 2,11	34 65 17 11 20 42 63 81 25 8
Паст ҳароратли форма – BaO·2SiO <sub>2</sub>	6,75 5,05 3,95 3,80 3,71 3,41 3,33 3,26	25 23 100 41 32 66 73 44	3,22 3,09 2,77 2,72 2,70 2,56 2,39 2,32	50 92 34 50 43 14 10 13	2,22 2,16 2,12 2,02 1,986 1,916 1,901 -	36 36 41 25 15 14 15 -
2BaO·SiO <sub>2</sub>	4,16 3,39 3,12 3,08 3,00	21 64 26 24 93	2,91 2,88 2,41 2,38 2,23	100 62 39 34 25	2,11 2,09 2,01 1,963 1,895	24 32 11 17 20
2BaO·3SiO <sub>2</sub>	4,38 3,87 3,75 3,66 3,27 3,24 -	6 12 100 56 52 48 -	3,10 2,77 2,75 2,38 2,34 2,26 -	31 37 34 6 27 25 -	2,22 2,20 2,13 2,07 2,03 1,973 1,911	19 13 37 14 7 13 13
5BaO·8SiO <sub>2</sub>	6,85 5,99 4,287 3,795 3,735 3,264 3,209	11 13 31 78 89 100 56	3,099 2,852 2,820 2,778 2,761 2,345 2,265	38 11 22 78 40 18 27	2,224 2,195 2,173 2,141 2,071 1,984 1,906	27 18 31 13 18 22 18

Ba LaGa <sub>3</sub> O <sub>7</sub>	3.93 3.64 3.245 3.01 2.880 2.622 2.573 2.167	17 8 28 100 16 29 44 16	2,035 1,974 1,940 1,920 1,863 1,817 1,805 1,610	14 14 10 20 56 10 12 26	1,564 1,528 1,509 1,455 1,440 1,356 1,345 -	8 4 4 27 6 5 5 -
Ba Nd Ga <sub>3</sub> O <sub>7</sub>	3.90 3.62 3.22 2.995 2.863 2.670 2.551	16 7 30 100 6 33 30	2,148 2,022 1,962 1,910 1,846 1,810 1,797	12 5 8 11 38 6 8	1,597 1,549 1,446 1,431 1,384 1,347 -	20 8 14 5 5 5 -
Цинк-Зn	2.472 2.293 2.077 1.684 1.339 1.332 1.235	30 10 100 20 100 100 5	1,172 1,152 1,121 1,088 1,044 0,947 0,910	70 5 40 5 10 20 20	0,859 0,827 0,773 0,756 0,737 0,717 0,703	30 10 20 10 20 5 5
ZnO	2.816 2.602 2.476 1.911 1.626 1.477 1.407 1.379 1.359	71 56 100 29 40 35 6 28 14	1,301 1,225 1,1812 1,0929 1,0639 1,0422 1,0158 0,9848 0,9764	3 5 3 10 4 10 5 4 7	0,9555 0,9382 0,9069 0,8826 0,8675 0,8369 0,8290 0,8237 0,8125	1 4 12 6 1 6 2 2 5
ZnO <sub>2</sub>	2.81 2.43 1.721	60 100 36	1,467 1,405 1,116	40 10 8	1,088 0,993 0,936	6 4 6
ZnCO <sub>3</sub>	3.54 2.73 2.32 2.10 1.937 1.769	66 100 33 27 40 13	1,698 1,486 1,405 1,367 1,338 1,248	80 40 40 5 27 3	1,202 1,179 1,100 1,069 1,050 -	3 10 8 13 4 -

ZnO AL <sub>2</sub> O <sub>3</sub>	4,67 2,861 2,438 2,335 2,021	3 84 100 1 8	1,855 1,650 1,556 1,429 1,367	10 24 40 43 1	1,278 1,233 1,219 1,1670 1,1322	6 9 1 1 1
ZnO B <sub>2</sub> O <sub>3</sub>	5,29 3,74 3,048 2,364 2,158	6 3 100 23 1	1,997 1,869 1,761 1,672 1,594	20 13 38 2 3	1,526 1,466 1,364 1,321 1,282	25 5 8 4 3
ZnO-Cr <sub>2</sub> O <sub>3</sub>	2,92 2,50 2,40 2,07 1,692	48 100 3 10 25	1,597 1,465 1,312 1,266 1,199	50 60 5 8 1	1,110 1,082 1,037 - -	7 12 4 - -
Кадмий — Cd	2,80 2,58 2,34 1,89 1,51 1,486	40 30 100 20 25 18	1,400 1,310 1,286 1,252 1,228 1,170	3 27 2 20 2 3	1,060 1,020 0,959 0,921 0,863 0,821	5 4 10 2 4 2
CdO	2,712 2,349 1,661 1,416	100 88 43 28	1,355 1,1742 1,0772 1,0499	13 5 9 13	0,9584 0,9036 0,8300 -	11 9 5 -
CdCO <sub>3</sub>	3,77 2,94 2,46 2,23 2,06 1,88 1,83 1,58	80 100 50 3 45 33 80 40	1,50 1,470 1,419 1,355 1,295 1,260 1,230 1,190	17 5 15 5 5 17 5 8	1,142 1,120 1,022 0,976 0,942 0,880 - -	8 8 8 7 7 7 - -
Cd(OH) <sub>2</sub>	4,70 3,02 2,55 1,86 1,74 1,63	100 63 100 40 30 30	1,51 1,440 1,400 1,271 1,165 1,139	13 20 20 15 7 8	1,110 1,090 1,028 1,005 0,980 0,925	13 3 10 3 4 5
CdSO <sub>4</sub>	4,93 3,74	50 14	2,30 2,11	22 8	1,630 1,559	24 8

	3,57 3,21 3,10 2,51 2,43 2,38 -	100 26 4 60 6 50 -	2,06 1,948 1,860 1,773 1,717 1,682 -	8 2 4 4 10 8 -	1,525 1,465 1,444 1,407 1,329 1,269 1,169	6 6 6 4 8 4 4
CdO-WO <sub>3</sub>	5,9 5,0 3,80 3,05	25 38 100 100	2,93 2,53 1,91 1,81	50 75 38 38	1,76 1,53 1,465 1,410	13 25 13 13
Симоб - Hg	2,771 2,255 1,750 1,474	80 10 60 40	1,379 1,235 1,125 1,085	20 20 10 10	1,035 0,943 - -	10 10 - -
HgO	2,96 2,83 2,75 2,40 1,81 1,75 1,64 1,60	100 75 38 75 63 8 15 10	1,468 1,440 1,413 1,378 1,200 1,187 1,161 1,148	38 20 8 5 13 10 5 3	1,103 1,079 1,050 1,026 0,982 0,943 - -	5 3 3 3 3 3 - -
HgSO <sub>4</sub>	3,90 3,40 3,26 3,01 2,81 2,37	100 50 17 33 33 33	2,25 2,13 2,04 1,99 1,93 1,84	17 17 33 33 17 17	1,80 1,64 1,53 1,477 1,381 1,304	17 17 17 17 17 17
Hg <sub>2</sub> SO <sub>4</sub>	4,42 4,19 3,61 3,47 3,11 3,03 2,85	63 63 10 5 10 100 5	2,73 2,55 2,37 2,20 2,08 2,01 1,96	10 25 10 30 30 5 10	1,89 1,80 1,73 1,66 1,62 1,52 -	25 10 15 5 5 10 -
Hg <sub>3</sub> (PO <sub>4</sub> ) <sub>2</sub>	4,01 3,52 3,19 3,01	71 29 29 100	2,85 2,71 2,41 2,12	43 14 29 14	2,05 2,01 - -	14 29 - -
Hg <sub>3</sub> PO <sub>4</sub>	7,2 6,3 5,5 4,83 4,40 3,85 3,60 3,48	11 22 22 44 56 44 33 44	2,72 2,60 2,45 2,28 2,18 2,12 2,01 1,94	22 100 22 44 17 22 17 22	1,81 1,77 1,66 1,62 1,57 1,52 1,50 1,440	17 17 22 11 22 22 22 22

	3,09 2,94	67 89	1,89 1,86	11 17	1,384 1,346	11 11
$H_3BO_3$	5,9 3,16 2,90 2,81 2,62	28 100 3 2 6	2,55 2,49 2,23 2,16 2,08	2 2 13 3 6	2,02 1,68 1,63 1,58 -	3 3 2 3 -
$B(OH)_3$	7,66 6,84 6,07 4,59 4,24 4,035 3,858 3,382 3,178 3,099	2 4 7 1 2 1 5 2 10 1	2,94 2,846 2,631 2,561 2,490 2,433 2,367 2,297 2,238 2,175	3 3 3 1 3 2 2 4 5 1	2,101 1,982 1,902 1,868 1,825 1,783 1,753 1,724 1,693 1,647	4 1 4 1 2 3 3 3 4 3
$BPO_4$	3,62 3,07 2,25 1,965 1,865 1,817	100 7 53 3 17 7	1,534 1,460 1,375 1,319 1,269 1,211	4 17 3 9 5 4	1,185 1,093 1,059 1,039 - -	5 4 3 4 - -
Сингалит – $BMgAlO_4$	4,93 3,97 3,73 3,43 3,24 2,82 2,62 2,46 2,38	7 5 2 1 9 1 9 2 7	2,30 2,14 1,93 1,868 1,801 1,764 1,705 1,621 1,576	7 10 2 2 1 1 4 10 1	1,534 1,514 1,420 1,384 1,360 1,340 1,320 - -	4 4 7 2 1 4 1 - -
Майергоф- феррит $B_6Ca_2O_{11}$ $7H_2O$	8,39 6,51 5,03 4,17	100 100 50 8	3,65 3,50 3,30 3,17	18 12 35 100	3,09 2,974 2,900 2,641	18 18 1 18
$B_4C$	4,00 3,79 3,39 2,57 2,38 2,03	5 15 100 23 38 38	1,81 1,69 1,54 1,50 1,450 1,400	3 3 3 3 5 5	1,320 1,260 1,230 1,158 - -	5 3 5 5 - -

Алюминий-Al	2,33 2,02 1,430	100 40 30	1,219 1,168 1,011	30 7 2	0,928 0,905 0,826 0,778	4 4 1 1
Корунд- $\alpha$ -Al <sub>2</sub> O <sub>3</sub>	3,479	72	1,1898	6	0,9345	3
	2,552	92	1,1601	1	0,9178	2
	2,379	41	1,1470	4	0,9076	12
	2,085	100	1,1382	1	0,9052	3
	1,740	41	1,1255	5	0,8991	16
	1,601	83	1,0988	6	0,8804	4
	1,546	7	1,0831	3	0,8698	2
	1,510	2	1,0781	7	0,8580	12
	1,404	38	1,0426	13	0,8502	4
	1,374	42	1,0175	1	0,8303	22
	1,276	6	0,9976	11	0,8137	4
	1,239	16	0,9819	2	0,8075	11
Юқори хароратли $\gamma$ -Al <sub>2</sub> O <sub>3</sub>	2,86	6	1,988	50	1,440	3
	2,72	25	1,937	19	1,389	100
	2,595	19	1,790	6	1,285	3
	2,445	41	1,596	6	1,235	3
	2,290	31	1,533	9	1,176	3
	2,160	6	1,497	13	1,134	9
Паст хароратли $\gamma$ -Al <sub>2</sub> O <sub>3</sub>	2,39	19	1,520	6	0,882	6
	2,275	13	1,396	100	0,806	6
	1,975	72	1,139	13	-	-
	1,862	6	0,987	6	-	-
$\nu$ -Al <sub>2</sub> O <sub>3</sub>	2,835	41	1,900	41	1,400	25
	2,710	50	1,794	13	1,386	100
	2,570	3	1,734	3	1,289	6
	2,445	50	1,605	3	1,258	3
	2,300	41	1,536	25	1,231	3
	2,245	31	1,479	13	1,108	3
	2,015	50	1,449	19	-	-
$\chi$ -Al <sub>2</sub> O <sub>3</sub>	3,03	13	2,115	41	1,483	9
	2,80	19	2,001	3	1,435	41
	2,71	13	1,900	3	1,390	100
	2,57	41	1,868	19	1,340	13
	2,43	19	1,638	19	1,308	9
	2,325	25	1,600	3	1,264	3
	2,245	3	1,548	3	-	-
Гидрат- гиллит (гип- бсит)- Al <sub>2</sub> O <sub>3</sub> 3H <sub>2</sub> O	4,82	10	1,798	8	1,298	1
	4,34	6	1,747	8	1,248	2
	3,512	2	1,686	8	1,235	1
	3,317	2	1,657	2	2,215	4
	3,184	2	1,639	1	2,195	3

	3,080	1	1,458	9	1,183	2
	2,451	8	1,441	4	1,145	3
	2,378	10	1,408	4	1,124	3
	2,288	1	1,401	2	1,110	3
	2,153	6	1,380	2	1,084	3
	2,044	8	1,360	4	1,039	1
	1,992	8	1,337	2	1,024	3
	1,919	6	1,316	2	-	-
Байерит $\text{Al}_2\text{O}_3 \cdot 3\text{H}_2\text{O}$	4,79	10	2,22	10	1,60	1
	4,34	10	2,00	1	1,55	2
	3,19	4	1,89	2	1,44	3
	2,47	2	1,77	1	1,39	3
	2,37	3	1,72	7	1,33	4
	2,26	1	1,65	1	1,21	2
Глиноzem гидрати- диаспор- $\text{Al}_2\text{O}_3 \cdot \text{H}_2\text{O}$	4,690	2	1,630	10	1,283	3
	3,988	6	1,605	3	1,262	2
	3,249	1	1,567	2	1,240	2
	2,554	6	1,517	2	1,221	2
	2,313	6	1,477	8	1,201	4
	2,130	8	1,426	3	1,176	2
	2,072	8	1,400	3	1,171	4
	1,887	1	1,372	6	1,144	2
	1,792	2	1,337	2	1,091	3
	1,707	4	1,325	2	-	-
	1,673	2	1,300	3	-	-
Глиноzem гидрати- Бемит- $\text{Al}_2\text{O}_3 \cdot \text{H}_2\text{O}$	6,2	6	1,577	2	1,221	2
	3,6	8	1,521	6	1,206	2
	2,344	10	1,452	8	1,175	4
	1,975	3	1,430	4	1,156	4
	1,849	10	1,379	5	1,131	6
	1,766	3	1,306	10	1,113	3
	1,646	7	1,248	2	1,026	2
$\text{Al}_2(\text{SiF}_6)_3$	3,52	100	2,77	7	1,76	13
	2,98	7	2,11	10	1,58	10
$\text{Al}(\text{NO}_3)_3 \cdot 9\text{H}_2\text{O}$	7,0	20	3,60	50	2,36	75
	6,8	30	3,43	10	2,30	10
	6,3	50	3,25	50	2,25	10
	5,7	63	3,10	10	2,18	25
	5,3	5	3,01	75	2,12	5
	4,90	30	2,90	20	2,07	10
	4,50	40	2,77	10	2,03	20
	4,05	100	2,59	63	2,95	20
	3,78	40	2,52	40	1,88	25

$\text{Al}_2\text{O}_3\text{SiO}_2$	5,396 3,423 3,368 2,893 2,687 2,546 2,284 2,204	33 100 100 5 50 83 17 100	2,112 1,869 1,833 1,678 1,597 1,568 1,518 1,441	42 42 33 58 50 25 83 50	1,414 1,392 1,327 1,306 1,272 1,254 - -	8 33 50 8 50 33 - -
<b>Муллит -</b> $3\text{Al}_2\text{O}_3 \cdot 2\text{SiO}_2$	5,413 3,423 3,386 2,888 2,693 2,546 2,296	50 100 100 42 75 83 33	2,208 2,123 1,882 1,839 1,690 1,597 1,580	100 50 25 33 50 50 17	1,523 1,455 1,441 1,404 1,335 1,276 1,260	83 17 42 8 25 33 33
<b>Каолин -</b> $\gamma$ -форма $\text{Al}_2\text{O}_3 \cdot 2\text{SiO}_2 \cdot 2\text{H}_2\text{O}$	7,2 4,45 4,30 4,20 4,04 3,59	80 80 64 48 32 100	2,56 2,50 2,34 1,99 1,90 1,85	48 48 80 32 8 8	1,80 1,67 1,54 1,490 1,310 1,289	8 40 16 56 8 16
<b>Диккит-</b> $\beta\text{-Al}_2\text{O}_3 \cdot 2\text{SiO}_2 \cdot 2\text{H}_2\text{O}$	7,24 4,99 4,48 4,18 3,59 2,597 2,534 2,347	10 2 6 4 8 5 5 8	1,885 1,872 1,793 1,659 1,564 1,498 1,461 1,323	5 3 3 8 4 5 4 7	1,292 1,262 1,240 1,110 1,079 1,035 - -	5 3 3 3 3 4 - -
<b>Накрит -</b> $\alpha\text{- Al}_2\text{O}_3 \cdot 2\text{SiO}_2 \cdot 2\text{H}_2\text{O}$	7,15 4,42 4,16 3,59 3,38 3,07 2,540 -	10 8 6 10 4 4 6 -	2,416 2,305 2,100 1,980 1,922 1,788 1,740 -	10 2 6 5 6 6 2 -	1,676 1,618 1,489 1,466 1,372 1,318 1,282 1,270	4 4 8 4 6 1 2 4

Монтмориллонит- (Al,Mg) <sub>2</sub> (OH) <sub>2</sub> [Si <sub>4</sub> O <sub>10</sub> ] H <sub>2</sub> O	6,30 6,09 5,49 4,47 4,05 3,78 3,42	Ж.кз. Ж.кз. Ж.кз. Ку. Кз. Кз. Ж.	3,06 2,60 2,45 2,22 2,13 2,00 1,77	У Ку. Ж.кз. Кз. Кз. Кз. Кз.	1,71 1,67 1,55 1,51 1,29 1,25 -	У У Ж.кз. Ж.ку. Ку. Ку.
Бейделлит- Al <sub>2</sub> [Si <sub>4</sub> O <sub>10</sub> ] (OH) <sub>2</sub> ·nH <sub>2</sub> O	9,09 8,15 6,96 5,76 4,45	Ж.кз. Ж.кз. Ж.кз. Ж.кз. Ку.	3,53 3,28 2,58 2,36 2,00	Ку. Ж.кз. Ку. У. Ж.кз.	1,72 1,67 1,51 1,31 1,27	У кз. Ку. Ж.ку. У. ку. У.
Гаутиазит (снеделлит)- Al <sub>2</sub> O <sub>3</sub> 2SiO <sub>2</sub> ·4H <sub>2</sub> O	11,50 8,06 5,80 4,40 4,15 3,98 3,50 -	Ж.ку.. Ж.кз. Кз. Ку. Ж.кз Кз. У. -	3,21 2,69 2,58 2,49 2,39 2,32 2,22 -	Кз. Ж.кз. Ку. У. У. У. Ж.кз. -	2,03 1,92 1,69 1,65 1,50 1,47 1,29 1,24	Ж.ко Ж.кз. Ку. Ж.ку. Ж.ку. Ж.ку. Ку. Ку.
Пирофиллит- Al <sub>2</sub> O <sub>3</sub> 4SiO <sub>2</sub> H <sub>2</sub> O	11,80 10,50 8,80 6,38 5,89 5,52 4,58 4,08 3,52 3,33 3,19 3,08	Ж.кз. Кз. Ку. Ж.кз. Ж.кз. Ж.кз Ку. Ж.кз. Кз. Ку. Кз. Ж.ку.	3,00 2,91 2,72 2,60 2,43 2,40 2,11 2,09 2,00 1,98 1,91 1,85	Кз. Ж.кз. Ж.кз. У. Ку. У. У. Кз. У. Ку. Ж.кз. Ж.кз. Ку.	1,76 1,67 1,65 1,55 1,51 1,44 1,40 1,38 1,37 1,35 1,32 -	Кз. Ку. У. Ку. Ку. У. Ку. У. У. У. У. -
Галий-Га	3,831 2,953 2,925 2,262 1,996 1,957 1,947 1,916 1,789 1,763 1,599 1,586 1,476 1,461	28 100 50 60 85 56 17 16 21 6 11 3 3 14	1,2766 1,2475 1,2379 1,2276 1,2216 1,1928 1,1853 1,1302 1,1119 1,0866 1,0540 1,0496 1,0355 1,0111	4 20 14 5 17 15 4 5 8 3 1 3 4 2	0,9706 0,9626 0,9515 0,9369 0,8986 0,8948 0,8923 0,8817 0,8802 0,8690 0,8654 0,8383 0,8376 0,8247	7 3 1 1 4 2 4 7 7 4 3 8 4 5

	1,406	9	0,9976	2	0,8179	6
	1,404	8	0,9775	1	0,8080	3
	1,391	4	0,9735	5	-	-
<b>GaP</b>	<b>3,14</b>	<b>100</b>	<b>1,572</b>	<b>17</b>	<b>1,112</b>	<b>15</b>
	2,72	15	1,362	13	1,049	8
	1,924	65	1,250	35	-	-
	1,641	50	1,218	3	-	-
<b>Ga<sub>2</sub>O<sub>3</sub></b>	<b>3,630</b>	<b>26</b>	<b>1,565</b>	<b>9</b>	<b>1,1396</b>	<b>6</b>
	2,651	100	1,466	33	1,1266	8
	2,491	80	1,438	30	1,0878	6
	2,238	4	1,325	4	1,0366	8
	2,177	16	1,282	11	1,0266	3
	2,052	3	1,245	9	0,9738	3
	1,814	36	1,209	4	0,9487	7
	1,665	45	1,1696	4	-	-
<b>GaSb</b>	<b>3,520</b>	<b>100</b>	<b>1,363</b>	<b>3</b>	<b>0,9294</b>	<b>5</b>
	3,048	11	1,244	20	0,9188	1
	2,156	67	1,1738	10	0,8796	2
	1,838	44	1,0776	5	0,8534	5
	1,759	3	1,0304	9	0,8452	1
	1,524	11	1,0158	1	0,8144	7
	1,399	17	0,9638	4	0,7936	7
<b>Индий-In</b>	<b>2,72</b>	<b>100</b>	<b>1,395</b>	<b>30</b>	<b>1,025</b>	<b>2</b>
	2,46	25	1,355	15	0,980	2
	2,29	40	1,144	2	0,948	6
	1,68	30	1,088	10	0,905	2
	1,62	15	1,055	2	0,888	2
	1,462	20	1,040	2	-	-
<b>In<sub>2</sub>O<sub>3</sub></b>	<b>4,11</b>	<b>12</b>	<b>1,260</b>	<b>6</b>	<b>0,9144</b>	<b>5</b>
	2,91	100	1,242	7	0,9003	6
	2,69	2	1,225	3	0,8931	2
	2,51	24	1,205	2	0,8792	3
	2,37	6	1,189	2	0,8725	3
	2,25	2	1,175	6	0,8666	2
	2,142	7	1,158	14	0,8602	2
	1,973	13	1,129	9	0,8538	6
	1,843	4	1,115	8	0,8410	2
	1,780	49	1,103	2	0,8418	3
	1,729	4	1,088	5	0,8361	5
	1,677	4	1,065	5	0,8306	2
	1,634	7	1,042	4	0,8251	2
	1,593	4	1,031	9	0,8196	4
	1,552	8	1,021	4	0,8141	3
	1,519	42	1,009	2	0,8038	4

	1,486	10	0,9899	7	0,7988	4
	1,456	10	0,9806	2	0,7939	2
	1,425	4	0,9720	8	0,7891	8
	1,398	3	0,9624	6	0,7844	2
	1,371	4	0,9457	8	0,7796	5
	1,350	2	0,9376	8	-	-
	1,281	6	0,9292	5	-	-
<b>In Cl<sub>3</sub></b>	5,8	100	2,68	10	1,76	8
	5,3	13	2,55	48	1,63	11
	5,0	20	2,44	10	1,59	3
	4,50	24	2,32	24	1,51	3
	4,01	24	2,23	13	1,475	3
	3,82	6	2,10	3	1,445	6
	3,58	32	2,05	16	1,390	6
	3,41	10	2,00	13	1,328	6
	3,00	40	1,92	10	-	-
	2,84	32	1,84	24	-	-
<b>Таллий-Tl</b>	3,00	40	1,73	29	1,158	11
	2,75	23	1,56	29	1,105	17
	2,62	100	1,460	23	1,074	6
	2,02	23	1,445	17	0,962	6
<b>Tl<sub>2</sub>O<sub>3</sub></b>	4,304	11	1,710	5	1,279	2
	3,042	100	1,668	2	1,2597	2
	2,816	3	1,628	4	1,2428	1
	2,635	42	1,589	27	1,2261	3
	2,484	6	1,554	6	1,2094	6
	2,357	2	1,522	6	1,1789	2
	2,248	4	1,491	3	1,1646	1
	2,149	1	1,462	1	1,1371	2
	2,068	8	1,434	3	1,1110	1
	1,924	3	1,409	2	1,0874	1
	1,863	33	1,339	3	1,0764	2
	1,808	2	1,318	3	1,0649	1
	1,758	1	1,298	4	-	-
<b>TINO<sub>3</sub></b>	5,60	4	2,495	5	1,951	10
	4,88	2	2,474	24	1,939	2
	4,40	68	2,442	29	1,928	14
	4,01	31	2,426	6	1,835	4
	3,259	5	2,293	1	1,824	14
	3,145	28	2,199	17	1,778	9
	3,080	34	2,118	3	1,754	13
	3,048	10	2,066	2	1,745	1
	2,962	100	2,004	9	1,691	6
	2,612	3	1,984	8	1,688	7

Tl <sub>2</sub> SO <sub>4</sub>	5,32 5,17 4,40 4,32 3,91 3,67 3,53 3,266 3,237 3,154 3,122 3,045 2,961	6 9 17 28 2 14 57 26 21 53 100 88 55	2,78 2,664 2,630 2,533 2,457 2,321 2,308 2,200 2,186 2,181 2,158 2,103 2,056	10 1 15 26 15 12 10 9 13 12 27 9 16	1,966 1,957 1,941 1,926 1,884 1,873 1,858 1,837 1,832 1,802 1,778 1,767 1,739	12 3 7 17 4 1 6 7 13 7 23 4 10
Скандий алюминати- Sc <sub>2</sub> O <sub>3</sub> Al <sub>2</sub> O <sub>3</sub>	2,842 2,687 2,359 2,265	29 100 21 5	2,241 2,138 2,004 1,8436	5 7 9 5	1,7051 1,6350 1,4180 1,3990	21 28 12 5
3Sc <sub>2</sub> O <sub>3</sub> 5Ga <sub>2</sub> O <sub>3</sub>	4,73 3,404 3,110 3,034 2,889 2,878 2,852 2,653 2,598 2,486 2,385 2,365 2,247	12 36 39 8 29 100 100 88 16 11 88 90 13	2,231 2,144 2,131 1,830 1,7905 1,7836 1,7077 1,6800 1,6017 1,5858 1,5793 1,5167 1,4933	8 14 24 6 52 39 46 100 52 10 28 24 10	1,4890 1,4839 1,4447 1,4328 1,4281 1,4158 1,3966 1,3640 1,3496 1,3466 1,3267 1,3048 -	10 49 54 11 24 42 48 9 11 11 13 18 -
Sc <sub>2</sub> O <sub>3</sub> Nb <sub>2</sub> O <sub>5</sub>	5,77 4,84 3,79 3,667	10 40 40 70	3,002 2,950 2,828 -	100 100 40 -	2,550 2,482 2,404 -	40 70 40 -
Тортвейтит - Sc <sub>2</sub> [Si <sub>2</sub> O <sub>7</sub> ]	5,13 4,57 4,48 4,29 3,45 3,36 3,14 3,12 2,93 2,60	100 5 5 5 5 10 90 100 80 30	2,55 2,17 2,13 2,09 2,05 1,932 1,875 1,700 1,694 1,646	80 30 5 10 30 10 10 40 30 30	1,594 1,572 1,522 1,509 1,422 1,358 1,186 1,174 -	20 10 10 20 20 40 10 5 -

$\text{Sc}_2\text{O}_3$	$\text{SiO}_2$	3,687	20	2,294	25	1,779	40
		3,439	20	2,182	10	1,647	25
		3,317	40	2,112	30	1,620	15
		2,980	60	2,097	35	1,526	10
		2,847	55	2,080	35	1,506	25
		2,792	100	2,060	20	1,463	15
		2,555	20	1,989	20	1,439	15
		2,436	10	1,926	30	-	-
<b>Иттрий (III) оксид-<math>\text{Y}_2\text{O}_3</math></b>		4,31	14	1,933	5	1,562	11
		3,06	100	1,873	61	1,528	10
		2,646	31	1,816	3	1,498	4
		2,494	7	1,767	2	1,469	3
		2,366	2	1,718	8	1,442	6
		2,258	9	1,675	2	1,416	4
		2,160	2	1,634	8	-	-
		2,076	14	1,597	43	-	-
$\text{Y}(\text{NO}_3)_3 \cdot 6\text{H}_2\text{O}$		8,4	100	2,79	15	1,92	20
		5,7	60	2,61	20	1,89	10
		5,3	80	2,53	30	1,86	10
		4,65	20	2,39	20	1,83	10
		4,24	20	2,30	20	1,79	15
		3,91	20	2,22	10	1,76	15
		3,23	30	2,12	60	1,70	15
		3,04	15	2,05	15	1,65	10
		2,98	20	1,98	20	1,61	10
		2,92	20	1,95	10	1,54	10
$2\text{Y}_2\text{O}_3 \cdot \text{Al}_2\text{O}_3$		7,41	63	2,486	21	1,8426	80
		5,26	16	2,470	39	1,8298	85
		4,69	100	2,454	37	1,8164	81
		4,54	16	2,291	43	1,7921	32
		3,705	19	2,274	28	1,7317	32
		3,326	100	2,129	12	1,7235	61
		3,011	100	2,090	13	1,6279	27
		2,908	100	2,063	87	1,6236	20
		2,884	47	2,046	41	1,6126	23
		2,615	48	1,9811	16	1,5759	41
		2,559	64	1,9449	15	1,5661	45
		2,538	29	1,9163	12	1,5621	60
		2,523	61	1,9027	16	-	-
$\text{Y}_2\text{O}_3 \cdot \text{SiO}_2$		6,01	15	3,11	60	2,580	15
		5,87	20	3,003	100	2,538	40
		4,03	10	2,916	45	2,410	20
		3,86	50	2,880	85	2,261	30
		3,64	10	2,772	30	2,187	35
		3,51	65	2,655	15	2,172	54
		3,34	15	2,625	15	2,041	10

$\text{Y}_2\text{O}_3/\text{GeO}_2$	5,93 3,70 3,59 3,38 3,16 3,033	15 30 35 70 10 85	2,973 2,951 2,826 2,620 2,547 2,438	75 60 100 25 40 25	2,300 2,220 2,208 2,059 - -	25 25 30 10 - -
<b>Лантан-La</b>	3,23 2,86 2,27 1,86 1,70	100 70 50 50 20	1,61 1,55 1,52 1,45 1,36	20 40 10 20 20	1,23 1,17 1,11 1,08 0,98	30 30 30 10 30
$\text{La}_2\text{O}_3$	3,41 3,063 2,980 2,278 1,968 1,753 1,705 1,656	34 31 100 58 63 52 4 24	1,642 1,532 1,490 1,398 1,309 1,289 1,261 1,209	17 3 5 2 7 2 12 6	1,1879 1,1538 1,1396 1,1367 1,0901 1,0658 1,0220 0,9952	4 4 2 4 7 4 1 3
$\text{La}_2\text{Ga}_2\text{BeO}_7$	5,14 3,765 3,520 3,130 2,905 2,755 2,564	11 20 10 32 100 24 24	2,487 2,064 1,967 1,909 1,858 1,781 1,741	44 22 14 8 8 50 18	1,585 1,557 1,531 1,400 1,312 1,268 -	8 8 15 18 7 7 -
$\text{La}_2\text{Ti}_3\text{O}_{8,7}$	3,980 3,600 2,770 2,273 1,954	15 10 100 25 70	1,751 1,593 1,382 1,300 1,233	10 65 40 5 35	1,177 1,129 1,083 1,044 -	10 15 5 30 -
<b>Вайнштейнит</b> $(\text{La},\text{Nd})[\text{PO}_4]$	7,55 5,22 4,70 4,20 $2\text{H}_2\text{O}$	9 4 5 10 3,74 3,01 2,83 2,61 2,52 2,47 2,44 2,37 2,162 2,083	2,036 2,005 1,964 1,927 1,855 1,820 1,773 1,755 1,689 1,640 1,596 1,557 1,530 1,503	4 1 4 1 5 4 6 5 1 5 5 1 1 2	1,437 1,408 1,390 1,344 1,326 1,317 1,301 1,249 1,216 1,197 1,180 1,160 1,139 1,125	4 1 2 4 1 1 2 4 4 1 1 1 2 1

	2,059	4	1,489	2	1,118	5
Церий- $\alpha$ -Се	2,97 2,57 1,815 1,550	100 60 40 40	1,481 1,288 1,179 1,143	28 12 16 12	1,049 0,990 0,910	8 4 4
CeO <sub>2</sub>	3,11 2,69 1,90 1,62 1,55 1,347	100 25 80 60 10 10	1,237 1,207 1,101 1,037 0,954 0,912	25 16 20 18 4 14	0,899 0,853 0,816 0,756 0,722 0,703	2 4 2 4 4 2
CeCl <sub>3</sub>	8,6 7,9 6,8 5,7 5,3 5,0 4,50 4,30 3,99	12 8 100 6 30 12 16 30 25	3,82 3,31 3,17 3,07 2,83 2,63 2,53 2,48 2,38	30 20 12 2 12 16 4 16 10	2,30 2,21 2,08 2,01 1,93 1,89 1,82 1,73 -	8 30 2 8 8 8 4 8 -
Ce(NO <sub>3</sub> ) <sub>3</sub> ·6H <sub>2</sub> O	11,5 10,0 8,7 8,1 6,8 6,3 5,8 5,4 5,2 4,70 -	24 16 16 64 80 100 64 80 48 100 -	4,39 3,97 3,80 3,64 3,35 3,25 3,00 2,91 2,84 2,62 -	100 80 48 32 64 64 32 64 64 80 -	2,53 2,45 2,41 2,30 2,25 2,19 2,11 2,03 2,00 1,95 1,86	48 40 32 40 40 32 64 24 16 48 32
Ce(SO <sub>4</sub> ) <sub>2</sub> ·4H <sub>2</sub> O	6,8 5,8 5,4 4,65 4,41 3,96 3,69 3,45 3,33 3,22	13 5 3 100 13 7 7 17 3 33	2,98 2,91 2,82 2,70 2,60 2,48 2,39 2,33 2,23 2,10	7 3 10 13 7 3 3 3 3 10	2,05 2,00 1,88 1,83 1,76 1,67 1,62 1,54 -	7 10 3 7 5 5 5 3 -

$\text{Ce}_2\text{SiO}_5$	3,580 3,279 3,153 2,879 2,790 2,619 2,557 2,419 2,300 2,208 2,147 2,099 2,006 1,954 1,910	11 27 33 100 25 5 5 3 11 7 11 5 31 20 38	1,859 1,834 1,813 1,6856 1,6483 1,6380 1,5800 1,5660 1,5210 1,5097 1,4760 1,3943 1,3630 1,3450 1,3235	22 35 37 11 7 9 14 14 24 20 20 5 7 9 12	1,3105 1,2836 1,2625 1,2120 1,1932 1,1550 1,1412 1,0779 1,0672 1,0460 1,0309 1,0192 1,0068 - -	18 27 25 5 5 11 5 11 9 12 7 5 7 - -
$\text{Ce}_2\text{Si}_2\text{O}_7$	3,760 3,353 3,258 3,138 3,067 2,842 2,684 2,657 2,506 2,395 2,297 2,175 2,156 2,1196 2,0260 1,9330	6 100 24 21 24 27 36 36 24 12 6 33 39 18 69 21	1,8930 1,8300 1,7260 1,6656 1,6120 1,5770 1,5500 1,5157 1,4728 1,4558 1,4256 1,4058 1,3770 1,3560 1,3240 1,2955	24 57 27 33 15 12 18 15 6 9 15 9 21 18 21 15	1,2798 1,2595 1,2355 1,2058 1,1688 1,1577 1,1290 1,1193 1,1045 1,0823 1,0700 1,0531 1,0412 1,0052 - -	27 24 21 9 27 21 18 18 12 15 24 21 9 12 - -
$\text{CeO}_{1.6}\cdot 2\text{TiO}_2$	3,282 3,208 3,097 2,938 2,783 2,680 2,611 2,518 2,373 2,196	95 100 55 45 15 30 20 30 15 25	2,170 1,965 1,896 1,803 1,763 1,690 1,673 1,620 1,569 1,470	30 25 55 55 45 45 55 65 50 30	1,4368 1,4058 1,3850 1,3440 1,2378 1,2174 1,1787 1,1646 1,1038 1,0423	15 15 15 20 30 15 15 20 25 25
$\text{Ce}_2\text{Ti}_3\text{O}_{8.7}$	3,90 3,503 2,752 2,243 1,934	10 10 100 20 65	1,743 1,583 1,372 1,294 1,228	10 55 30 5 25	1,172 1,123 1,080 1,039 -	10 10 5 30 -

Ce AlO <sub>3</sub>	3,75 2,64 2,20 1,90 1,70 1,55	1 5 4 4 2 5	1,34 1,26 1,20 1,14 1,10 1,05	4 4 5 3 2 2	1,01 0,910 0,887 0,864 0,841 -	5 2 4 2 4 -
Ce <sub>2</sub> O <sub>3</sub>	3,408 3,016 2,930 2,257 1,947 1,735 1,685	20 100 90 40 35 65 5	1,642 1,630 1,524 1,480 1,3898 1,3010 1,2535	45 45 30 15 15 20 20	1,2018 1,1810 1,1476 1,1330 1,0832 1,0587 1,0167	20 10 35 10 20 15 10
Ce <sub>2</sub> O <sub>3</sub> 11Al <sub>2</sub> O <sub>3</sub>	3,67 2,76 2,62 2,47 2,28 2,20 2,12 2,00 1,85	20 45 85 70 30 35 65 55 15	1,81 1,71 1,575 1,538 1,459 1,388 1,349 1,316 1,288	10 25 60 100 5 35 5 35 5	1,230 1,185 1,160 1,143 1,120 1,107 1,080 1,042 1,032	20 10 10 15 15 16 10 35 35
Ce <sub>2</sub> Zr <sub>2</sub> O <sub>7</sub>	6,23 3,23 3,10 2,68 2,46 2,20 2,060 1,893 1,811	3 5 100 42 10 3 4 90 10	1,614 1,545 1,501 1,390 1,338 1,304 1,226 1,197 1,172	80 30 2 2 20 3 54 38 4	1,0926 1,0302 0,9463 0,9359 0,9047 0,8923 0,8462 0,8160 0,8068	40 45 20 2 30 20 15 10 10
Цералит – (Ce <sup>4+</sup> , Ca <sup>2+</sup> ) · Al <sup>3+</sup> (O <sup>2-</sup> , F <sup>-</sup> ) <sub>3</sub>	3,7 2,9 2,61 2,16 2,06 1,85 1,66 1,52 1,48	1 2 5 4 2 4 2 5 1	1,38 1,32 1,24 1,20 1,13 1,11 1,08 1,04 1,00	1 4 4 5 3 2 2 2 5	0,936 0,909 0,885 0,861 0,838 0,816 0,802 - -	1 2 4 2 4 2 2 - -
Nd <sub>2</sub> O <sub>3</sub>	3,30 2,99 2,90 2,22 1,916 1,714 1,616 1,598 1,502	30 30 100 30 40 50 40 30 10	1,453 1,367 1,278 1,229 1,183 1,156 1,131 1,107 1,064	20 10 20 20 20 10 20 10 20	1,041 0,974 0,960 0,914 0,890 0,868 0,838 0,832 -	10 20 20 10 10 10 10 10 -

$\text{Nd}_2(\text{SO}_4)_3 \cdot 5\text{H}_2\text{O}$	7.66 6.88 5.14 5.01 4.76 4.56 4.42	100 20 30 15 5 10 15	4.19 4.05 4.02 3.74 3.46 3.38 3.24	10 5 15 5 10 20 40	3.18 3.16 3.10 3.07 2.95 2.83 -	10 50 25 5 10 15 -
$\text{NdAlO}_3$	3.74 2.64 2.15 1.86	40 100 43 55	1.66 1.53 1.33 1.32	33 61 23 25	1.25 1.09 - -	48 5 - -
$\text{Nd}(\text{OH})_3$	7.89 3.93 3.46 3.38 3.16 2.970	60 100 20 55 25 70	2,614 2,084 1,993 1,906 1,876 1,774	80 30 30 5 30 10	1,640 1,582 1,565 1,553 1,364 1,303	15 15 5 5 5 5
$\text{NdCl}_3$	6.08 3.47 2.85 2.59 2.25 2.18 2.00 1.96 1.92 1.77	20 75 75 100 4 30 50 1 7 25	1.73 1.59 1.56 1.50 1,453 1,420 1,390 1,353 1,313 1,270	30 50 15 10 6 13 1 2 7 8	1,248 1,230 1,202 1,190 1,124 1,103 1,080 1,060 1,050 -	6 10 1 6 4 7 8 7 7 -
$\text{Nd}_2\text{Ti}_3\text{O}_8$	3.900 3.488 2.733 2.240 1.931	10 10 100 25 50	1,728 1,578 1,368 1,289 1,220	10 65 30 5 25	1,168 1,118 1,072 1,034 -	5 10 5 35 -

Европий (III)	4,43	50	1,716	10	1,298	50
Оксид —	3,133	100	1,675	50	1,280	20
Eu <sub>2</sub> O <sub>3</sub> (куб)	2,711	90	1,636	80	1,262	60
	2,557	50	1,601	60	1,246	70
	2,425	20	1,566	60	1,214	70
	2,312	50	1,536	40	1,200	20
	2,214	10	1,506	10	1,185	20
	2,127	70	1,477	50	1,172	60
	1,982	40	1,451	20	1,145	60
	1,918	80	1,379	40	1,121	60
	1,860	30	1,357	60	1,109	70
	1,806	10	1,337	60	-	-
	1,760	50	1,317	40	-	-
Eu <sub>2</sub> O <sub>3</sub> (моноclin)	5,91	30	2,310	60	1,736	20
	4,988	10	2,268	40	1,704	80
	3,989	40	2,201	60	1,670	50
	3,408	50	2,175	30	1,660	30
	3,268	30	2,140	80	1,654	60
	3,176	80	2,054	10	1,640	20
	3,034	80	1,975	10	1,615	30
	2,965	100	1,923	80	1,592	20
	2,882	70	1,876	30	1,579	60
	2,832	80	1,859	20	1,549	60
	2,768	80	1,814	10	1,538	60
	2,652	20	1,798	60	1,526	60
	2,517	20	1,760	50	1,522	30
EuO	4,87	20	2,309	20	1,753	2
	4,01	50	2,294	25	1,705	8
	3,32	10	2,291	40	1,663	18
	3,26	70	2,207	6	1,640	16
	2,995	35	2,152	8	1,629	18
	2,940	16	2,126	20	1,621	25
	2,862	100	2,039	25	1,581	4
	2,824	80	2,010	25	1,562	14
	2,807	100	1,906	6	1,520	8
	2,718	4	1,873	6	1,500	4
	2,549	12	1,836	6	1,483	2
	2,428	4	1,824	14	1,458	4
	2,386	12	1,780	12	1,433	6

$\text{Eu}_3\text{O}_4$	5,05 3,86 3,35 3,18 3,01 2,934 2,895 2,872 2,795 2,551 2,375 2,337 2,324 -	2 8 4 6 70 100 50 14 10 16 6 4 6 -	2,225 2,079 2,076 2,043 2,015 1,984 1,866 1,847 1,748 1,725 1,717 1,693 1,681 -	2 14 12 12 2 2 10 4 4 20 8 6 20 -	1,678 1,647 1,602 1,572 1,559 1,527 1,513 1,507 1,503 1,491 1,468 1,433 1,404 1,102	18 2 2 2 2 4 2 8 6 4 8 2 2 32
$\text{Eu}(\text{OH})_3$	5,52 3,18 3,05 2,757 2,399 2,202 2,083 1,837 1,828 1,810	70 55 100 20 6 50 6 16 20 35	1,733 1,589 1,585 1,527 1,524 1,410 1,374 1,295 1,262 1,201	6 2 14 4 4 8 6 8 2 10	1,194 1,189 1,171 1,114 1,099 1,051 1,039 1,004 1,002 -	10 2 2 4 2 8 2 8 10 -
$3\text{Eu}_2\text{O}_3$ $5\text{Gd}_2\text{O}_3$	5,063 4,384 3,314 3,099 2,773 2,531 2,432 2,264 2,192 2,012 1,829 1,790 1,7196 -	14 6 8 30 100 45 4 10 4 12 2 14 30 -	1,6874 1,6573 1,5749 1,5504 1,3866 1,3534 1,3374 1,3224 1,2796 1,2531 1,2162 1,1827 1,1517 -	4 35 6 14 10 18 4 8 2 2 2 2 18 -	1,1323 1,1049 1,0962 1,0713 1,0336 1,0196 1,0128 1,0060 0,9867 0,9627 0,9349 0,9244 0,9194 0,9142	8 4 6 2 4 6 4 8 4 1 6 10 1 6
$\text{Eu}_2\text{O}_3 \cdot \text{Al}_2\text{O}_3$	3,72 3,30 2,63 2,489 2,245 2,151 2,066 1,862 1,810 1,712	70 40 100 40 20 70 20 70 50 10	1,668 1,631 1,522 1,492 1,387 1,323 1,319 1,303 1,283 1,260	70 60 100 20 50 20 80 30 10 30	1,245 1,243 1,228 1,183 1,181 1,179 1,168 1,166 -	20 70 50 30 50 90 70 60 -

$\text{Eu}_2\text{O}_3 \cdot 11\text{Al}_2\text{O}_3$	2,76 2,73 2,617 2,602 2,469 2,355 2,264 2,137 -	42 35 100 24 66 17 24 36 -	2,095 2,066 1,994 1,851 1,722 1,699 1,658 1,589 -	59 39 39 25 18 18 21 34 -	1,563 1,529 1,516 1,452 1,395 1,385 1,309 1,234 1,224	31 61 45 14 21 48 28 24 21
$\text{EuCa} \cdot \text{Al}_2\text{O}_7$	5,46 5,09 3,71 3,46 3,08 2,86 2,76 2,54 2,44 2,41 -	8 15 35 5 40 100 15 9 24 24 -	2,38 2,29 2,28 2,18 2,14 2,04 1,98 1,92 1,86 1,82 -	21 12 8 12 9 33 12 24 24 12 -	1,75 1,68 1,64 1,52 1,48 1,45 1,42 1,38 1,31 1,28 1,24	50 9 12 44 9 9 9 35 15 9 12
$\text{EuS}$	3,26 2,94 2,10 1,80 1,70 1,49 1,37	80 100 80 60 50 50 50	1,33 1,22 1,15 1,05 1,01 0,997 0,941	70 70 60 20 40 50 50	0,909 0,920 0,898 0,861 0,836 0,828 0,799	10 50 40 10 60 60 80
Гадалиний (III)-оксид $\text{Gd}_2\text{O}_3$	5,900 3,965 3,396 3,155 3,028	3 4 10 70 60	2,961 2,868 2,820 2,752 2,308	100 50 75 75 10	2,258 2,195 2,131 1,915 1,784	5 20 45 40 25
$3\text{Gd}_2\text{O}_3 \cdot \text{Ga}_2\text{O}_3$	4,53 4,11 3,204 3,054 3,025 2,990 2,908 2,824 2,630	20 13 14 100 57 27 22 29 17	2,301 2,241 2,199 2,032 2,005 1,9918 1,9027 1,8349 1,8097	15 17 13 39 30 15 15 32 14	1,7672 1,7184 1,6808 1,6450 1,5788 1,5456 1,5276 -	17 17 17 24 24 17 25 -
$\text{Gd}_3\text{Ga}_2 \cdot (\text{GaO}_4)_3$	5,05 -	16 -	2,77 -	100 -	1,53 1,65	40 3

<b>Gd<sub>2</sub>O<sub>3</sub>-Fe<sub>2</sub>O<sub>3</sub></b>	3,880 3,831 3,461 2,810 2,725 2,677 2,636 2,304 2,268 2,200 2,134 2,083 1,936	70 10 80 70 100 70 50 30 40 50 50 10 70	1,916 1,890 1,827 1,757 1,741 1,720 1,700 1,659 1,604 1,583 1,558 1,553 1,544	40 50 50 20 10 80 10 30 50 50 20 90 40	1,453 1,426 1,416 1,380 1,365 1,346 1,337 1,282 1,272 1,266 1,230 1,226 1,223	70 20 10 40 70 30 40 20 70 20 20 70 40
<b>Иттербий(III)-Оксид Yb<sub>2</sub>O<sub>3</sub></b>	4,23 2,997 2,775 2,606 2,453 2,327 2,217 2,127	8 100 3 30 7 2 8 3	2,042 1,901 1,843 1,787 1,739 1,691 1,647 1,609	16 5 57 3 7 11 3 10	1,572 1,538 1,504 1,474 1,444 1,418 1,395 -	52 13 17 7 4 8 5 -
<b>2Yb<sub>2</sub>O<sub>3</sub>, Al<sub>2</sub>O<sub>3</sub></b>	3,26 2,95 2,86 2,567 2,481 2,241	37 100 77 24 17 14	2,026 1,827 1,797 1,778 1,667 1,565	26 15 29 31 22 15	1,548 1,537 1,521 1,478 1,463 -	18 27 12 10 8 -
<b>3Yb<sub>2</sub>O<sub>3</sub>, 5Al<sub>2</sub>O<sub>3</sub></b>	4,18 3,20 3,16 2,92 2,64 2,414 2,155 1,914	19 30 21 31 100 29 24 59	1,752 1,712 1,644 1,616 1,585 1,485 1,326 1,295	18 22 56 21 53 30 14 39	1,265 1,223 1,166 1,104 1,085 1,051 0,887 0,8118	15 17 16 52 16 16 40 33
<b>YbB<sub>12</sub></b>	4,30 3,725 2,636 2,249 2,153 1,865 1,712 1,669 1,523 1,437	100 85 50 90 30 13 30 20 20 12	1,320 1,262 1,244 1,181 1,139 1,126 1,078 1,046 1,035 0,998	6 20 20 6 10 4 2 6 4 8	0,972 0,9336 0,9123 0,9056 0,8801 0,8623 0,8566 0,8350 0,8198 0,8149	18 2 4 4 10 6 2 2 10 4
	-	-	-	-	0,7962	4

Карбон - С (Алмаз)	2,05	100	0,558	15	0,409	8
	1,26	50	0,538	6	0,397	5
	1,072	40	0,507	3	0,389	8
	0,885	10	0,496	8	0,378	5
	0,813	25	0,473	20	0,372	5
	0,721	40	0,462	15	0,363	7
	0,680	20	0,442	5	0,358	20
	0,625	10	0,432	3	-	-
	0,597	20	0,417	12	-	-
С-(Графит)	3,38	100	1,150	9	0,796	1
	2,12	5	1,120	1	0,707	1
	2,02	10	1,049	1	0,695	1
	1,69	10	1,991	3	-	-
	1,227	18	0,828	1	-	-
Эвенкит — C <sub>21</sub> H <sub>48</sub>	9,36	1	2,245	8	1,571	1
	4,66	5	2,150	3	1,515	4
	4,183	10	2,124	6	1,460	2
	3,744	9	2,079	3	1,426	2
	3,348	1	2,015	3	1,386	3
	3,024	5	1,914	5	1,299	4
	2,783	3	1,866	3	1,243	4
	2,627	1	1,751	6	1,214	4
	2,515	7	1,718	1	1,116	4
	2,461	2	1,658	5	1,102	2
	2,415	4	1,623	3	1,026	3
	18,1	10	5,62	7	3,78	5
Керпикит — C <sub>24</sub> H <sub>18</sub> O	9,4	1	5,06	10	3,42	10
	8,4	5	4,59	5	-	-
	6,23	2	4,09	9	-	-
	5,95	100	2,497	20	1,850	1
C <sub>2</sub> O <sub>4</sub>  Ca· H <sub>2</sub> O	5,81	5	2,455	1	1,848	1
	4,53	5	2,422	1	1,826	1
	3,773	5	2,388	1	1,818	1
	3,652	90	2,357	80	1,794	1
	3,414	1	2,262	20	1,737	1
	3,321	1	2,213	5	1,693	1
	3,105	5	2,135	1	1,644	1
	3,002	1	2,076	10	1,588	1
	2,971	50	1,978	5	1,552	1
	2,906	10	1,955	5	1,528	1
	2,842	10	1,930	5	1,505	1
	2,639	1	1,891	5	1,480	1
	-	-	-	-	1,458	1

Кремний — Si	3,138 1,920 1,638 1,357	100 60 35 8	1,246 1,1083 1,0450 0,9599	13 17 9 5	0,9178 0,8586 0,8281 -	11 9 5 -
$\beta$ – кварц $\text{SiO}_2$	4,25	25	1,66	8	1,180	8
	3,35	100	1,54	20	1,155	1
	2,45	15	1,450	2	1,080	4
	2,29	10	1,375	25	1,048	2
	2,23	6	1,299	4	1,035	1
	2,12	9	1,256	3	1,015	1
	1,97	8	1,228	3	-	-
	1,82	25	1,200	6	-	-
$\alpha$ – кварц $\text{SiO}_2$	4,43	60	1,85	90	1,277	60
	3,42	100	1,71	40	1,225	40
	2,55	60	1,57	80	1,296	60
	2,30	40	1,421	80	1,190	40
	2,22	60	1,393	80	1,113	20
	2,05	60	1,292	60	1,105	20
	-	-	-	-	1,044	20
$\gamma$ – тридимит $\text{SiO}_2$	4,30	100	2,305	11	1,399	7
	4,08	33	2,080	5	1,360	3
	3,81	67	1,840	3	1,305	4
	3,43	1	1,690	8	1,244	3
	3,21	1	1,635	4	1,192	5
	2,96	17	1,598	4	1,153	3
	2,80	3	1,530	5	1,097	1
	2,49	27	1,439	3	-	-
$\alpha$ – тридимит- $\text{SiO}_2$	4,39	10	2,07	2	1,394	5
	4,12	10	1,95	5	1,371	2
	3,73	9	1,88	2	1,336	2
	3,23	5	1,77	2	1,305	5
	2,94	5	1,69	7	1,243	2
	2,77	2	1,62	5	1,226	2
	2,49	7	1,591	5	1,196	6
	2,28	5	1,528	7	1,153	5
	2,11	2	1,432	5	1,096	2
Юқори жароратлы кристобалит- $\text{SiO}_2$	4,15	100	1,793	5	1,209	30
	2,92	5	1,688	5	1,130	20
	2,53	80	1,639	60	1,089	5
	2,17	10	1,469	50	1,029	5
	2,07	30	1,379	20	1,000	10
	1,99	5	1,265	30	0,956	10
					0,929	10

Паст	4,04	100	1,692	3	1,345	1
хароратли	3,138	12	1,642	1	1,336	1
β – кристо-	2,845	14	1,612	5	1,301	2
балит-	2,489	18	1,604	2	1,282	2
SiO <sub>2</sub>	2,468	6	1,574	1	1,235	1
	2,342	1	1,535	2	1,224	1
	2,121	4	1,495	3	1,207	1
	2,024	3	1,432	2	1,1842	2
	1,932	4	1,423	1	1,1762	1
	1,874	4	1,401	1	1,1659	1
	1,756	1	1,368	1	1,1556	1
	1,736	1	1,353	1	1,1112	1
	-	-	-	-	1,0989	3
Китит-	7,46	10	2,516	5	1,667	5
SiO <sub>2</sub>	5,64	5	2,246	5	1,636	5
	5,28	5	2,174	5	1,589	5
	4,50	20	2,148	5	1,562	5
	3,72	70	2,067	5	1,489	5
	3,42	100	1,988	5	1,441	5
	3,33	20	1,879	5	1,412	5
	3,11	20	1,864	10	1,389	5
SiC	2,51	100	1,087	6	0,768	2
	2,17	20	0,998	18	0,735	6
	1,54	63	0,972	6	0,724	2
	1,310	50	0,887	13	0,688	3
	1,255	5	0,837	10	0,663	1
ZrSi <sub>2</sub>	7,372	Ж.кз.	1,821	у.	1,228	у.
	3,682	кз.	1,639	ку.	1,204	Ж.кз.
	3,600	кз.	1,615	кз.	0,915	кз.
	3,279	ку.	1,589	кз.	0,908	Ж.кз.
	2,960	кз.	1,527	у.	0,888	у.
	2,563	ку.	1,509	Ж.кз.	0,874	кз.
	2,456	у.	1,473	у.	0,868	у.
	2,299	Ж.ку.	1,434	у.	0,857	Ж.кз.
	2,039	у.	1,386	кз.	0,854	у.
	1,953	кз.	1,303	у.	0,850	кз.
	1,841	у.	1,259	кз.	0,843	у.
Германий	3,266	100	1,298	10	0,956	11
Ge	2,000	57	1,155	17	0,895	6
	1,706	39	1,089	7	0,863	4
	1,414	7	1,000	3	0,817	2
	-	-	-	-	0,792	8
GeO <sub>2</sub>	4,31	20	1,87	25	1,386	8
	3,41	100	1,71	12	1,339	10
	2,48	14	1,62	2	1,301	2
	2,35	25	1,56	25	1,277	10
	2,28	16	1,495	8	1,248	2
	2,15	20	1,445	4	1,228	6
	2,00	2	1,410	25	-	-

<b>GeJ<sub>4</sub></b>	6.95 5.384 4.918 3.4740 3.0104 2.6270	4 8 12 100 41 4	2,5679 2,3605 2,1286 1,8148 1,7652 1,7378	3 4 35 27 3 7	1,5047 1,3812 1,3466 1,2287 1,1585 -	4 7 6 5 3 -
<b>Ge<sub>2</sub>Bi<sub>4</sub>O<sub>12</sub></b>	4.24 3.26 2.76 2.59 2.12 2.04 1.915	ÿ Ku. Ku. ÿ ÿ ÿ K <sub>2</sub> .	1,798 1,704 1,661 1,619 1,548 1,514 1,486	ÿ ÿ ÿ ÿ ÿ K <sub>2</sub> . ÿ	1,431 1,404 1,335 1,296 1,258 - -	ÿ ÿ ÿ ÿ K <sub>2</sub> . - -
<b>GeO<sub>2</sub> · 2ZnO</b>	4.10 3.54 2.89 2.69 2.38 2.04 1.96 1.87 1.73 1.66 1.63	60 80 100 100 80 40 40 100 40 40 60	1,58 1,55 1,50 1,44 1,42 1,38 1,36 1,28 1,25 1,22 1,19	60 60 10 100 20 80 80 20 20 40 40	1,17 1,14 1,11 1,08 1,07 1,05 1,02 1,01 0,998 0,983 -	20 40 40 10 20 10 60 20 20 10 -
<b>7GeO<sub>2</sub> 2Fe<sub>2</sub>O<sub>3</sub></b>	3,342 3,077 3,037 2,960 2,602 2,518 2,324 2,260	80 60 100 90 70 90 10 10	2,036 1,859 1,735 1,692 1,650 1,601 1,575 1,549	50 40 10 60 60 10 - 70	1,470 1,427 1,364 1,335 1,289 1,255 - -	30 80 10 10 10 10 - -
<b>Қалай – α- Sn</b>	3,751 2,294 1,956 1,622 1,489	100 83 53 12 20	1,325 1,249 1,1470 1,0968 1,0260	21 11 6 10 9	0,9895 0,9365 0,9087 0,8671 0,8450	4 3 7 13 12
<b>β - Sn</b>	2,91 2,79 2,05 2,01 1,65 1,480	100 80 32 80 24 24	1,450 1,298 1,200 1,092 1,040 1,022	20 16 20 11 8 6	0,980 0,927 0,885 0,847 0,805 -	3 6 2 3 2 -

SnO	4,85	10	1,225	4	0,9674	1
	2,989	100	1,209	3	0,9507	3
	2,688	37	1,202	4	0,9371	3
	2,418	14	1,1747	6	0,9056	4
	2,039	1	1,1697	8	0,8988	4
	1,901	13	1,1520	1	0,8824	5
	1,797	27	1,1026	4	0,8524	4
	1,604	25	1,0766	6	0,8503	4
	1,494	11	1,0303	4	0,8405	6
	1,484	12	1,0201	3	0,8062	1
SnO <sub>2</sub>	1,382	3	0,9965	1	0,8020	1
	1,344	5	0,9852	1	0,8002	1
Sn <sub>3</sub> (PO <sub>4</sub> ) <sub>2</sub>	3,34	100	1,412	15	1,035	2
	2,64	63	1,315	6	0,948	8
	2,36	18	1,213	10	0,929	1
	1,75	63	1,180	2	0,905	4
	1,67	10	1,150	6	0,880	4
	1,58	5	1,110	3	0,845	2
	1,492	10	1,085	8	-	-
	1,435	10	1,057	3	-	-
	6,9	7	2,68	27	1,90	17
Курғашин – Pb	6,1	3	2,48	27	1,77	33
	4,39	33	2,39	17	1,71	7
	3,98	100	2,30	20	1,65	7
	3,42	20	2,06	3	1,482	7
	3,11	100	2,01	13	1,445	8
	2,78	20	1,96	17	-	-
	2,85	100	1,490	50	1,105	17
PbO (сарык)	2,47	50	1,428	17	-	-
	1,74	50	1,134	17	-	-
PbO (қызыл)	5,893	6	2,278	1	1,724	15
	3,067	100	2,203	1	1,640	13
	2,946	31	2,008	12	1,596	1
	2,744	28	1,963	2	1,534	9
	2,493	1	1,850	14	1,514	2
	2,377	20	1,797	14	1,474	11
PbO (қызыл)	5,018	5	1,872	37	1,282	2
	3,115	100	1,675	24	1,256	3
	2,809	62	1,558	6	1,226	4
	2,510	18	1,542	11	1,219	5
	2,124	1	1,438	2	1,1977	1
	1,988	8	1,405	5	1,1462	2

PbO <sub>2</sub>	3,49 2,78 2,46 1,84 1,74 1,68	100 100 28 100 20 8	1,56 1,51 1,480 1,390 1,268 1,210	20 24 24 12 16 8	1,145 1,125 1,000 0,948 - -	8 8 12 4 - -
Pb <sub>3</sub> O <sub>4</sub>	3,35 2,88 2,76 2,62 1,95 1,89 1,82 1,74 1,62	100 43 43 28 14 28 28 43 14	1,58 1,51 1,405 2,89 2,84 2,80 2,74 2,64 2,60	14 14 14 55 65 31 68 38 42	2,47 2,41 2,35 2,05 1,95 1,89 1,87 1,84 -	30 46 29 22 56 10 24 15 -
PbCO <sub>3</sub>	4,427 4,255 3,593 3,498 3,074 2,893 2,644 2,589	17 7 100 43 24 2 2 11	2,522 2,487 2,213 2,129 2,081 2,009 1,981 1,933	20 32 7 2 27 11 9 19	1,859 1,847 1,796 1,750 1,693 1,642 1,632 1,615	21 8 4 2 1 2 6 2
2PbO·ZnO· 2SiO <sub>2</sub>	5,26 4,01 3,85 3,58 3,19 2,96 2,83 2,63 2,53 2,28 2,20	50 20 20 35 75 100 15 30 25 8 8	2,12 1,943 1,928 1,887 1,868 1,823 1,777 1,752 1,575 1,562 1,533	35 18 8 14 8 40 20 6 16 15 8	1,489 1,432 1,336 1,331 1,302 1,296 1,285 1,232 1,219 1,192 -	5 10 8 8 12 8 10 10 10 8 -
PbO·TiO <sub>2</sub>	3,83 3,54 3,01 2,81 2,74 2,45 2,28 2,05 2,01 1,93	4 2 1 10 6 1 8 2 1 7	1,73 1,64 1,59 1,51 1,41 1,38 1,35 1,33 1,29 1,23	1 4 9 1 5 4 1 5 5 3	1,18 1,15 1,12 1,096 1,080 1,057 1,044 1,012 1,000 -	5 5 2 2 9 9 9 2 2 -

$\text{Pb}_5[\text{AsO}_4\cdot\text{PO}_4]_3\cdot\text{Cl}$	4,36 4,13 3,67 3,38 3,28 3,00	1 4 1 4 6 10	2,96 2,91 2,24 2,08 2,03 1,97	10 8 4 8 4 6	1,94 1,91 1,88 1,84 - -	6 6 6 6 - -
$\text{PbFe}_2[\text{AsO}_4]_2\cdot(\text{OH})_2$	6,01 4,59 4,52 4,18 3,52 3,31 3,24 3,07	6 6 1 6 8 1 10 6	3,04 2,96 2,81 2,73 2,55 2,46 2,45 2,32	6 8 6 6 10 4 4 1	2,31 1,91 1,81 1,73 1,68 1,61 - -	1 6 6 1 1 4 - -
Дюфтиг – $\text{PbCu}[\text{AsO}_4]\cdot(\text{OH})$	5,01 4,76 4,18 4,00 3,78 3,51 3,32	2 1 6 1 2 2 1	3,17 2,94 2,91 2,63 2,52 2,42 2,32	10 1 8 9 2 2 1	2,26 2,08 1,861 1,745 1,635 1,584 1,559	5 4 7 6 8 4 4
Титан-Ti	2,556 2,341 2,241 1,728 1,477	40 40 100 40 40	1,336 1,249 1,233 1,176 1,125	50 40 30 10 10	1,065 0,989 0,942 0,917 0,880	20 30 30 30 10
$\text{TiO}_2$ (анатаз)	3,52 2,37 1,88 1,70 1,66	100 24 40 28 24	1,480 1,362 1,335 1,262 1,164	24 8 8 11 6	1,045 0,950 0,913 0,894 -	3 2 2 2 -
$\text{TiO}_2$ (рутин)	3,24 2,49 2,29 2,19 2,05 1,69 1,62 1,485	80 60 4 30 12 100 30 20	1,449 1,355 1,245 1,170 1,147 1,091 1,040 0,964	20 30 4 8 4 8 8 4	0,903 0,890 0,875 0,843 0,832 0,822 - -	2 8 4 2 4 4 - -
$\text{TiO}_2$ (бреклит)	3,46 3,22 2,87	6 10 6	2,45 2,17 1,881	8 4 4	1,681 1,619 1,356	10 6 8
Браннерит – $\text{UTi}_2\text{O}_6$	3,42 3,32 2,455	10 6 7	2,276 1,903 1,861	7 8 6	1,623 - -	6 - -

Титанит- CaTi[SiO <sub>4</sub> ]O	3,21 2,97 2,59	9 7 10	1,647 1,498 1,135	8 8 7	1,110 - -	7 - -
Циркелит- CaZrTi <sub>2</sub> O <sub>7</sub>	2,96 2,83	10 3	2,53 1,817	2 3	1,752 -	3 -
Ческинит- Ce <sub>4</sub> (Fe,Ti) <sub>3</sub> [TiO <sub>4</sub> ] <sub>2</sub> [Si <sub>2</sub> O <sub>7</sub> ] <sub>2</sub>	3,156 2,850	8 7	2,702 2,600	10 5	2,163 1,960	8 8
Эвксенит- Y(Nb,Ta,Ti) <sub>2</sub> (O,OH) <sub>6</sub>	3,66 2,98	5 10	2,43 1,823	4 5	1,723 1,487	5 5
Цирконий - Zr	2,798 2,573 2,459 1,894 1,616 1,463 1,399 1,368 1,350	33 32 100 17 17 18 3 18 12	1,287 1,2296 1,1689 1,0842 1,0588 1,0360 1,0063 0,9783 0,9660	4 4 3 4 2 6 3 2 4	0,9474 0,9327 0,9003 0,8771 0,8577 0,8292 0,8201 - -	2 3 5 3 1 2 2 - -
ZrO <sub>2</sub>	5,1 3,69 3,19 2,85 2,63 2,55 2,34 2,21 2,01 1,85	5 24 100 80 32 16 8 24 16 32	1,81 1,70 1,66 1,62 1,59 1,55 1,51 1,486 1,426 1,363	40 20 24 5 6 24 8 16 16 5	1,330 1,307 1,270 1,219 1,167 1,113 1,036 1,001 - -	8 3 12 5 6 6 4 6 - -
ZrO <sub>2</sub> -SiO <sub>2</sub>	4,434 3,302 2,650 2,518 2,336 2,217 2,066 1,908 1,751 1,712	45 100 7 45 10 8 20 14 11 40	1,651 1,547 1,495 1,477 1,381 1,362 1,290 1,259 1,248 1,1883	14 4 3 8 10 7 5 8 3 11	1,1672 1,1079 1,1006 1,0682 1,0590 1,0506 1,0442 1,0015 0,9745 0,9713	2 5 5 1 7 7 5 1 5 5

Zr(NO <sub>3</sub> ) <sub>4</sub> 5H <sub>2</sub> O	9.6 6.9 6.1 5.2 4.73 4.21 3.64 3.49 3.25 3.03	100 100 5 2,33 2,17 5 50 18 20 15 38 10	2,46 2,43 1,5 1,59 1,55 1,51 1,476 1,390 1,360 1,295 1,228	18 15 1,5 1,5 1,5 1,5 1,3 1,3 1,3 1,3	1,70 1,64 1,64 1,59 1,55 1,51 1,476 1,390 1,360 1,295 1,228	5 10 10 10 10 10 10 10 10 10
Гафний – Hf	2,768 2,531 2,428 1,866 1,599 1,440 1,385 1,351	27 34 100 16 14 16 2 16	1,336 1,256 1,214 1,1303 1,0697 1,0464 1,0247 0,9917	12 4 3 3 4 5 2 5	0,9671 0,9502 0,9136 0,8891 0,8668 0,8428 0,8168 0,8060	2 5 3 5 4 1 2 3
HfO <sub>2</sub>	5,07 3,68 3,61 3,15 3,15	20 40 30 100 100	1,684 1,653 1,634 1,600 1,580	50 60 40 40 30	1,237 1,203 1,172 1,160 1,153	10 30 10 10 10
	2,59 2,52 2,48 2,32 2,32	60 50 40 50 50	1,533 1,501 1,486 1,467 1,467	50 40 40 50 50	1,143 1,134 1,121 1,108 1,108	10 10 10 10 10
	2,196 2,171 1,410 1,352 1,318	60 30 50 30 40	1,439 1,410 1,084 1,070 1,049	20 50 10 20 10	1,099 1,094 1,084 1,070 1,039	10 10 10 10 10
	1,838 1,807 1,794 1,768	60 60 20 30	1,299 1,295 1,263 1,256	10 30 10 20	1,025 1,025 -	-

HClO <sub>2</sub> 8H <sub>2</sub> O	12,1 8,51 7,03 6,03 5,39 4,74 4,57 4,42 4,27 4,138	100 20 65 10 8 2 2 2 6 6	3,676 3,512 3,418 3,444 3,168 3,120 3,068 3,017 2,926 2,842	14 2 18 2 12 30 2 6 6 4	2,712 2,636 2,556 2,542 2,517 2,447 2,412 2,375 2,340 2,325	2 2 4 8 4 4 2 6 4 2
NH <sub>4</sub> F	3,85 3,59 3,39 2,62 2,22	100 60 60 20 60	2,02 1,88 1,490 1,450 1,420	40 16 4 2 2	1,340 1,270 1,240 -	4 2 4 -
NH <sub>4</sub> Cl	3,85 2,72 2,22 1,92 1,72	15 100 2 12 8	1,57 1,370 1,288 1,221 1,165	25 5 3 7 1	1,115 1,033 0,912 0,864 -	1 4 1 -
NH <sub>4</sub> NO <sub>3</sub>	4,93 3,95 3,09 2,86 2,72 2,47 3,06 2,84 2,61	40 50 100 5 75 13 40 40 100	2,25 2,10 1,97 1,83 1,78 1,73 2,11 2,01 1,95	75 5 5 5 6 5 20 7 27	1,57 1,51 1,495 1,463 1,430 -	10 10 10 15 5 -
(NH <sub>4</sub> )HSO <sub>4</sub>	4,75 3,90 3,69 3,15 3,06 2,84 2,61	100 83 100 40 40 40 100	2,43 2,35 2,24 2,18 2,11 2,01 1,95	27 7 13 13 20 7 27	1,87 1,80 1,66 1,62 1,58 7 -	7 20 13 13 7 7 -
(NH <sub>4</sub> ) <sub>3</sub> AlF <sub>6</sub>	4,85 4,20 2,969 2,535 2,423 2,100 1,928 1,879	100 66 50 25 83 100 2 33	1,717 1,614 1,485 1,420 1,329 1,269 1,213 1,189	1 83 90 33 17 1 2 33	1,166 1,123 1,093 0,991 0,970 0,940 0,895 -	4 17 17 3 8 3 3 -

(NH <sub>4</sub> ) <sub>2</sub> Cr <sub>2</sub> O <sub>7</sub>	6.6 5.1 3.77 3.37 3.04 2.77	58 100 16 83 40 27	2.48 2.33 2.05 2.00 1.92 1.87	30 18 25 10 10 10	1.82 1.50 1.465 1.425 1.350 1.290	25 10 10 10 7 7
Фосфор-Р-қизил	4,22 3,64	100 60	3,24 2,59	60 60	2,32	30
Фосфор-Р-қора	5,24 3,36 2,62 2,56 2,25 2,19 2,11 1,80	30 80 60 100 20 10 10 20	1,75 1,640 1,618 1,483 1,400 1,364 1,330 1,300	20 80 70 20 40 10 10 10	1,270 1,249 1,200 1,180 1,156 1,067 1,062 -	10 20 30 10 40 40 50 -
P <sub>2</sub> O <sub>5</sub>	5,4 5,2 3,72 3,39 3,27 3,15 3,02 2,57 2,43 2,32 2,24 2,11 2,06	100 53 4 11 33 20 53 8 17 8 33 3 3	2,00 1,95 1,79 1,75 1,69 1,67 1,63 1,59 1,56 1,52 1,485 1,428 1,401	1 23 3 1 1 2 1 1 1 4 5 3 3	1,357 1,335 1,299 1,266 1,252 1,236 1,210 1,185 1,155 1,140 1,124 1,099 1,084	1 3 7 3 3 3 1 3 1 1 2 1 1
PCl <sub>5</sub>	6,7 5,8 4,98 4,69 3,98 3,66 3,47 2,95 2,87	3 13 100 75 20 5 15 50 25	2,78 2,44 2,32 2,19 2,08 2,01 1,94 1,86 1,82	100 20 10 10 5 15 13 3 3	1,79 1,67 1,60 1,57 1,472 1,420 1,300 1,212 -	5 3 13 5 5 5 3 3 -

(PNCL <sub>2</sub> ) <sub>4</sub>	7,63 5,25 4,72 4,00 3,83 3,77 3,43 3,23 3,10 2,98	39 26 2 5 55 11 100 8 8 18	2,88 2,71 2,68 2,54 2,47 2,42 2,40 2,35 2,30 2,25	6 9 13 7 3 6 6 5 2 1	2,12 2,04 2,01 1,953 1,910 1,859 1,759 1,713 1,670 1,631	8 2 2 1 1 1 3 13 3 3
Мишъяк - As	3,555 3,180 2,780 2,054 1,891 1,781 1,764 1,662 1,562 1,387	76 100 4 12 8 16 16 48 32 20	1,368 1,286 1,223 1,201 1,182 1,119 1,107 1,088 1,068 1,041	20 28 92 24 84 36 36 56 60 80	1,023 0,998 0,955 0,942 0,929 0,922 0,908 0,891 0,854 -	96 40 64 72 44 44 88 52 68 -
As <sub>2</sub> O <sub>3</sub>	6,3 3,18 2,75 2,53 2,24 2,12	56 100 24 32 8 16	1,95 1,66 1,59 1,54 1,438 1,343	24 16 8 16 8 8	1,301 1,266 1,205 1,064 - -	8 8 8 8 - -
As <sub>2</sub> O <sub>5</sub>	7,1 5,6 4,88 4,01 3,58 3,40 3,21	30 30 100 10 60 60 20	3,05 2,70 2,62 2,34 2,26 2,18 2,10	50 20 40 10 20 20 10	2,02 1,89 1,84 1,77 1,71 - -	10 10 10 10 20 - -
As <sub>2</sub> S <sub>3</sub>	4,82 4,42 4,00 3,70 3,19 3,05 2,85	100 7 47 47 20 13 47	2,70 2,55 2,45 2,31 2,12 2,07 2,02	53 7 47 13 13 13 7	1,91 1,85 1,74 1,68 1,64 - -	13 13 13 27 7 - -

<b>AsI<sub>3</sub></b>	7,15 5,40 3,578 3,536 3,220 2,538 2,0800	1 12 49 2 100 20 31	1,9880 1,7984 1,7880 1,7477 1,6096 1,6014 1,4986	15 16 2 10 6 5 1	1,4375 1,3558 1,3376 1,2687 1,1914 - -	4 5 6 4 1 - -
<b>Сурма - Sb</b>	3,71 3,10 2,24 2,14 1,86 1,76 1,55	15 100 63 63 15 44 20	1,470 1,410 1,360 1,310 1,258 1,243 1,215	13 20 25 8 15 10 3	1,190 1,120 1,075 1,047 1,031 - -	3 3 10 3 8 - -
<b>Sb<sub>2</sub>O<sub>3</sub></b>	6,4 3,22 2,78 2,56 1,96 1,68	10 100 30 8 50 50	1,61 1,56 1,450 1,394 1,355 1,283	10 10 2 6 4 15	1,247 1,217 1,184 1,138 1,073 -	10 1 1 4 8 -
<b>Sb<sub>2</sub>O<sub>4</sub></b>	3,49 3,44 3,07 2,93 2,65 2,46 2,39 2,22 1,990	1 33 100 23 17 3 7 1 2	1,856 1,778 1,719 1,683 1,633 1,568 1,525 1,475 1,428	20 17 27 3 7 1 2 15 12	1,371 1,323 1,251 1,199 1,157 1,112 1,055 1,012 0,995	1 9 8 5 7 15 8 3 4
<b>Sb<sub>2</sub>O<sub>5</sub></b>	6,0 3,10 2,97 2,58 2,36 1,98	100 80 80 16 4 16	1,82 1,73 1,55 1,480 1,440 1,340	50 16 36 8 8 12	1,180 1,150 1,075 1,075 1,048 0,990	8 4 4 4 4 -

<b>Sb<sub>2</sub>(SO<sub>4</sub>)<sub>3</sub></b>	5,4 5,2 4,25 3,45 3,30 3,15 2,90 2,80 2,69 2,61	20 15 100 3 31 50 15 3 20 10	2,46 2,41 2,34 2,27 2,13 2,04 1,97 1,89 1,82 1,78	3 5 10 5 18 31 8 18 15 3	1,70 1,65 1,57 1,51 1,475 1,420 1,370 1,320 1,260 -	5 5 5 3 8 5 5 5 5 -
<b>Висмут – Bi</b>	3,28 2,35 2,27 2,01 1,96 1,86	100 50 50 7 13 30	1,63 1,54 1,490 1,440 1,327 1,180	20 3 20 27 13 3	1,135 1,089 1,073 1,045 1,020 -	10 7 7 3 3 -
<b>Bi<sub>2</sub>O<sub>3</sub></b>	3,42 3,25 2,69 2,54 2,39 2,03 1,95	5 100 88 5 15 5 25	1,87 1,82 1,75 1,66 1,58 1,490 1,395	15 5 20 10 10 10 5	1,305 1,270 1,225 1,195 1,120 -	5 5 5 5 5 -
<b>Bi<sub>2</sub>O<sub>3</sub>·P<sub>2</sub>O<sub>5</sub></b>	4,68 4,20 3,52 3,30 3,08 2,87	40 60 20 20 100 100	2,60 2,45 2,33 2,18 2,12 1,95	20 20 20 20 20 20	1,81 1,73 1,58 1,53 -	40 40 20 40 -
<b>Bi<sub>2</sub>O<sub>4</sub>·2H<sub>2</sub>O</b>	3,73 3,20 2,95	17 17 100	2,74 2,14 1,93	33 17 17	1,75 1,62 -	17 33 -
<b>BiO<sub>2</sub>·CrO<sub>4</sub></b>	10,5 4,90 3,55 3,20 2,93	50 5 5 100 5	2,80 2,70 2,58 2,40 2,32	5 5 10 5 5	2,05 1,88 1,65 1,58 -	5 5 5 10 -

$\text{Bi}_2(\text{SO}_4)_3$	5,6 5,2 4,30 3,36 3,13 2,94 2,74 2,62	75 75 100 37 50 13 75 25	2,45 2,36 2,17 2,07 1,99 1,91 1,87 1,71	13 13 25 25 13 13 13 13	1,67 1,60 1,53 1,490 1,440 1,360 1,225 -	13 13 13 13 13 13 13 -
Ванадий – V	2,14 1,51 1,236	100 7 20	1,072 0,958 0,875	3 3 1	0,810 0,759 0,714	3 1 1
$\text{V}_2\text{O}_3$	3,65 2,70 2,47 2,32 2,18 2,03 1,83	60 80 60 2 20 2 25	1,69 1,61 1,57 1,470 1,429 1,330 1,235	100 2 3 25 30 10 4	1,218 1,193 1,170 1,125 1,093 1,057 -	2 2 6 3 6 6 -
$\text{V}_2\text{O}_5$	5,7 4,38 4,09 3,39 2,87	33 100 13 83 53	2,76 2,68 2,61 2,18 1,99	13 7 13 7 7	1,92 1,86 1,77 1,65 1,56	13 7 10 7 7
VC	2,40 2,07 1,469 1,251	100 100 50 25	1,199 1,039 0,952 0,929	10 5 5 10	0,849 0,800 - -	5 3 - -
$\text{VCl}_5$	11,4 5,6 5,2 4,30 4,00 3,68 3,50 3,30 3,11 3,01	100 100 5 25 18 5 10 8 3 3	2,78 2,63 2,52 2,42 2,34 2,24 2,15 2,00 1,93 1,82	75 25 25 3 3 8 8 10 5 5	1,67 1,63 1,55 1,51 1,440 1,390 1,330 1,260 - -	10 10 3 8 3 3 3 3 - -

$(VO_2)_2(SO_4)_3$ 16H <sub>2</sub> O	6,3 5,8 5,4 5,1 4,55 4,35 3,90 3,70 3,51	32 32 32 8 100 50 24 16 50	3,30 3,16 3,04 2,82 2,70 2,64 2,47 2,34 2,18	28 16 28 28 24 28 12 20 20	2,03 1,98 1,92 1,88 1,75 1,64 1,55 1,450 -	8 8 20 8 4 4 4 6 -
Ниобий—Nb	2,33 1,65 1,34	100 20 32	1,16 1,041 0,950	6 10 1	0,879 0,775 0,736	6 2 1
Nb <sub>2</sub> O <sub>5</sub>	5,181 5,049 4,678 4,081 3,955 3,781 3,703 3,571 3,455 3,390 3,322 3,216 3,054	20 50 10 10 10 20 100 100 100 20 50 10 10	2,814 2,747 2,686 2,603 2,518 2,461 2,426 2,306 2,068 2,039 1,986 1,901 1,850	100 100 100 1 50 50 10 50 100 100 10 100 10	1,811 1,773 1,740 1,728 1,706 1,674 1,646 1,610 1,589 1,575 1,553 1,523 1,511	20 20 50 20 10 100 1 20 100 100 50 50 10
NbCl <sub>5</sub>	8,88 6,19 5,78 5,34 4,95 4,46 4,27 3,61	16 10 100 50 40 40 25 10	3,31 2,93 2,81 2,72 2,61 2,55 2,515 2,456	10 10 10 95 10 10 5 10	2,354 2,123 1,914 1,881 1,779 1,766 - -	5 35 15 5 15 25 - -
Nb <sub>2</sub> O <sub>5</sub> MnO	7,3 3,84 3,694 3,608 2,990 2,881 2,754	20 20 100 40 100 60 40	2,703 2,541 2,501 2,405 2,245 2,221 2,090	100 100 100 40 20 40 60	2,080 2,050 2,000 1,950 1,903 1,845 1,784	10 10 10 10 60 60 60

$\text{Nb}_2\text{O}_5$	4,58	10	2,759	20	2,162	60
$\text{Fe}_2\text{O}_3$	3,740	10	2,497	100	2,045	60
	3,582	100	2,446	60	2,015	40
	2,907	100	2,322	60	1,973	40
	2,806	10	2,196	40	1,864	60
	-	-	-	-	1,788	60
Тантал – Та	2,33 1,65	100 20	1,346 1,165	30 5	1,042 0,881	5 5
$\text{Ta}_2\text{O}_5$	6,2 5,7 4,48 3,96 3,49 3,23 3,05 2,95	3 17 3 100 27 23 33 13	2,81 2,61 2,45 2,29 2,15 1,98 1,87 1,77	58 23 3 3 3 42 17 50	1,71 1,66 1,62 1,52 1,470 1,400 1,360 1,322	7 10 27 3 5 5 5 13
$\text{TaO}_x$	2,374 2,327 1,678 1,626 1,364	50 100 50 30 60	1,399 1,184 1,170 1,058 1,035	40 10 30 30 30	0,962 0,892 0,881 - -	30 30 30 - -
$\text{TaO}_x$	2,411 2,287 1,795 1,627 1,594	100 50 40 40 40	1,415 1,334 1,190 1,143 1,125	40 60 30 20 20	1,014 0,966 0,923 0,896 0,866	30 30 30 30 30
$\text{TaO}_2$	4,719 2,722 2,521 2,352 2,229 2,112 2,012	60 100 10 60 30 30 20	1,927 1,669 1,572 1,491 1,458 1,423 1,396	50 70 40 10 30 40 20	1,309 1,285 1,261 1,146 1,114 1,084 -	30 20 20 30 50 30 -
(Ta, Co, Ge) O	2,384 2,357 2,270 2,225	100 50 100 50	2,008 1,950 1,826 1,768	80 20 20 20	1,430 1,417 1,278 -	50 20 30 -

<b>Хром-Cr</b>	2,052 1,436 1,172 1,014	100 40 80 50	0,909 0,829 0,768 0,718	60 20 70 10	0,6775 0,6420 0,6120 0,5865	40 30 30 30
<b>CrO<sub>3</sub></b>	4,20 3,40 2,86 2,36 2,25 2,00 1,96	75 100 25 20 20 7 10	1,84 1,74 1,71 1,68 1,60 1,56 1,54	5 15 3 1 3 1 1	1,50 1,470 1,431 1,405 1,376 - -	5 1 3 5 2 - -
<b>Cr<sub>2</sub>O<sub>3</sub></b>	3,62 2,67 2,47 2,17 2,03 1,81 1,67	45 70 70 30 4 45 100	1,58 1,465 1,432 1,294 1,236 1,209 1,172	6 30 45 16 6 6 5	1,148 1,123 1,087 1,041 1,025 0,946 -	6 6 12 10 2 6 -
<b>Cr(NO<sub>3</sub>)<sub>3</sub>·9H<sub>2</sub>O</b>	6,7 6,3 5,7 4,90 4,51 4,04 3,80 3,63 3,43 3,27 3,13 3,01 -	75 75 5 35 50 100 50 50 10 45 5 45 -	2,92 2,78 2,61 2,54 2,39 2,32 2,25 2,20 2,13 2,09 2,04 1,95 -	15 10 75 30 75 5 15 20 10 35 30 10 -	1,90 1,82 1,78 1,73 1,69 1,62 1,58 1,53 1,490 1,460 1,410 1,367 1,319	40 10 20 5 25 10 10 5 5 10 10 10 10
<b>CrK(SO<sub>4</sub>)<sub>2</sub>·12H<sub>2</sub>O</b>	7,0 5,5 4,98 4,31 4,08 3,68 3,26 3,04	12 16 8 100 30 60 35 30	2,87 2,81 2,72 2,59 2,48 2,34 2,25 2,15	2 12 12 6 12 6 6 4	2,03 1,97 1,93 1,85 1,74 1,69 1,63 -	12 6 16 4 4 8 10 -
<b>Молибден-Mo</b>	2,22 1,57 1,281 1,114 0,995	100 56 37 17 23	0,908 0,841 0,787 0,742 0,704	7 23 3 14 11	0,672 0,643 0,617 - -	9 6 14 - -

$\text{Mo}_2\text{O}_3$	3,42	100	1,405	20	1,032	2
	2,42	80	1,350	2	1,015	1
	2,22	40	1,305	2	0,997	6
	2,17	3	1,285	24	0,976	2
	1,84	6	1,211	16	0,955	2
	1,71	80	1,180	2	0,920	6
	1,57	6	1,141	6	0,880	2
	1,53	16	1,114	6	0,857	5
	1,470	3	1,087	4	0,842	5
$\text{MoO}_2$	4,78	20	2,405	40	1,833	35
	3,41	100	2,398	50	1,718	55
	2,804	30	2,176	30	1,704	80
	2,433	50	2,171	10	1,692	50
	2,420	85	2,147	30	-	-
$\text{MoO}_3$	7,0	15	2,528	15	1,822	35
	3,82	85	2,377	30	1,788	20
	3,47	20	2,312	20	1,754	5
	3,44	40	2,277	25	1,735	65
	3,27	100	2,135	25	1,720	5
	3,01	10	1,982	40	1,694	40
	2,707	40	1,965	50	1,666	70
	2,657	70	1,907	5	1,630	40
	2,613	5	1,852	80	-	-
$\text{Mo}(\text{PO}_4)_3$	5,546	5	3,002	5	2,334	15
	5,379	40	2,927	5	2,299	5
	4,750	25	2,857	25	2,268	20
	3,950	100	2,785	25	2,217	5
	3,752	10	2,690	5	2,140	5
	3,661	20	2,658	5	2,116	5
	3,505	45	2,482	30	2,070	15
	3,350	20	2,438	5	2,011	5
	3,136	10	2,403	5	1,9741	10
	3,075	5	2,381	10	-	-
Вольфрам – W	2,23	100	1,000	29	0,707	6
	1,58	29	0,913	6	0,674	6
	1,290	71	0,846	34	0,622	6
	1,117	17	0,745	11	-	-
$\text{WO}_2$	4,78	15	2,418	80	1,731	40
	3,45	100	2,393	50	1,724	65
	2,828	20	2,181	15	1,709	45
	2,446	45	2,150	10	1,698	50
	2,436	55	1,847	20	-	-
	2,428	20	1,827	20	-	-

<b>WO<sub>3</sub></b>	3,835 3,762 3,642 3,342 3,109 3,076	100 95 100 50 50 50	2,684 2,661 2,617 2,528 2,509 2,172	75 60 90 35 40 50	2,149 2,098 2,038 2,020 2,011 -	60 10 40 30 25 -
<b>W<sub>2</sub>C</b>	2,35 1,77 1,35	70 70 100	1,27 1,26 1,19	20 20 70	1,08 1,00 -	20 100 -
<b>W<sub>2</sub>Zr</b>	4,40 2,69 2,30 2,20 1,90 1,74 1,55	20 10 100 90 30 20 10	1,46 1,35 1,28 1,20 1,16 1,15 1,10	80 80 20 10 50 90 10	1,07 1,02 0,99 0,95 0,93 -	20 10 100 30 10 -
<b>W<sub>4</sub>H<sub>2</sub>O<sub>13</sub></b>	5,3 3,48 2,93 2,69 2,60 2,55 2,37 2,31 2,23	50 100 8 5 10 25 10 8 3	2,10 1,97 1,84 1,73 1,69 1,63 1,60 1,50 1,470	3 8 20 15 3 13 8 5 5	1,410 1,305 1,276 1,245 1,215 1,189 1,157 -	5 3 3 3 3 3 5 -
<b>Марганец- α-Mn</b>	2,36 2,22 2,09 1,89 1,81 1,74 1,340 1,283	2 2 100 20 10 16 2 7	1,258 1,210 1,190 1,130 1,048 0,983 0,960 0,936	10 28 2 3 6 2 2 3	0,834 0,820 0,813 0,801 0,793 0,770 -	2 2 2 2 2 2 -
<b>β-Mn</b>	2,81 2,10 2,00 1,90	7 100 66 27	1,68 1,485 1,410 1,237	7 3 3 30	1,170 1,064 1,051 -	20 3 3 -
<b>MnO</b>	2,56 2,22 1,57 1,339	66 100 66 23	1,281 1,110 1,019 0,994	17 7 7 17	0,906 0,853 -	7 3 -

Mn <sub>2</sub> O <sub>3</sub>	3.82 2.68 2.32 1.991 1.836 1.707 1.656	30 100 23 12 17 1 72	1,609 1,520 1,447 1,414 1,383 1,353 1,300	1 3 6 60 6 4 1	1,276 1,252 1,171 1,155 1,139 1,076 1,049	3 1 2 3 1 8 6
MnO <sub>2</sub>	3.11 2.40 2.21 2.12	100 50 4 12	1,98 1,62 1,56 1,440	4 50 12 8	1,390 1,303 1,050 1,001	4 16 4 4
Mn <sub>3</sub> O <sub>4</sub>	4.92 3.08 2.87 2.75 2.56 2.48 2.36 2.22	20 31 8 63 8 100 13 31	2,03 1,79 1,70 1,64 1,57 1,54 1,466 1,438	15 18 5 5 50 50 3 18	1,384 1,340 1,300 1,277 1,237 1,192 1,123 -	4 8 3 13 4 5 4 -
MnAl <sub>2</sub> O <sub>4</sub>	2.92 -	17 -	2,49 -	50 -	2,39 1,398	50 100
MnCO <sub>3</sub>	3.65 2.84 2.36 2.16	30 100 14 12	2,00 1,82 1,76 1,53	12 2 50 6	1,452 1,365 1,298 -	4 4 2 -
Иод - I <sub>2</sub>	3.69 3.09 2.52 2.44 2.33	100 100 8 18 15	2,11 2,02 1,97 1,81 1,76	15 20 30 10 10	1,71 1,51 1,460 1,400 -	20 10 8 5 -
I <sub>2</sub> O <sub>5</sub>	4.03 3.79 3.40 3.28 3.18 2.92 2.83 2.74 2.53	15 50 75 100 15 5 3 5 13	2,44 2,35 2,28 2,18 2,08 2,02 1,96 1,90 1,83	13 5 5 13 10 5 5 5 10	1,79 1,74 1,71 1,66 1,62 1,59 1,56 -	8 5 13 5 3 10 13 -

HIO <sub>3</sub>	4,69 4,51 4,035 3,868 3,577 3,233 3,172 2,941 2,790 2,768 2,746 2,608 2,596 2,506 2,462 2,385 2,362 2,340 2,252	15 31 100 9 38 43 53 7 31 16 26 19 32 11 23 9 7 8 2	2,173 2,157 2,104 2,017 1,950 1,934 1,900 1,888 1,838 1,830 1,798 1,788 1,762 1,744 1,718 1,669 1,665 1,603 1,586	2 11 22 3 17 3 7 5 6 30 26 9 14 14 9 5 7 10 4	1,567 1,563 1,561 1,551 1,531 1,490 1,478 1,454 1,450 1,444 1,396 1,369 1,359 1,3476 1,3368 1,3280 1,3161 1,3037 -	5 10 18 4 9 2 3 5 9 10 5 6 8 4 6 2 1 -
I <sub>3</sub> Y	6,92 3,752 3,463 3,301 3,095 2,624 2,549	40 30 50 100 20 10 60	2,401 2,309 2,224 2,164 2,117 2,066 2,021	10 20 10 80 10 20 10	2,002 1,971 1,874 1,837 1,809 1,734 1,700	10 50 10 50 50 40 10
Темир- $\alpha$ -Fe	2,0268 1,4332	100 19	1,1702 1,0134	30 9	0,9064 0,8275	12 6
Темир - $\gamma$ - Fe	2,07 1,80	100 50	1,26 1,081	32 32	1,018 -	4 -
FeO	2,47 2,14 1,51	50 100 63	1,293 1,238 1,072	15 8 3	0,984 0,959 0,876	3 5 3
Fe <sub>2</sub> O <sub>3</sub>	3,68 2,69 2,51 2,20 1,84 1,69 1,60 1,485	18 100 75 18 63 63 13 50	1,452 1,351 1,308 1,259 1,230 1,190 1,163 1,140	50 3 18 13 3 8 5 13	1,104 1,056 0,962 0,954 0,900 0,881 0,843 -	10 8 10 5 3 5 5 -

<b>Fe<sub>3</sub>O<sub>4</sub></b>	4,85 2,97 2,53 2,42 2,10 1,71 1,61 1,483	6 28 100 11 32 16 64 80	1,326 1,279 1,210 1,121 1,092 1,049 0,970 0,966	6 20 5 10 32 10 16 8	0,940 0,880 0,859 0,853 0,825 0,814 0,809 -	6 10 20 8 2 10 5 -
<b>Магнетит – Fe Fe<sub>2</sub>O<sub>4</sub></b>	4,21 2,99 2,541 1,428 2,098	1 6 10 3 7	1,710 1,612 1,479 1,325 1,277	5 9 9 3 5	1,264 1,174 1,119 1,091 1,047	2 1 4 8 6
<b>FeSO<sub>4</sub></b>	4,78 3,58 3,25 2,56 2,40 2,28 2,23 2,05 -	24 13 100 13 2 13 10 11 -	1,99 1,83 1,78 1,70 1,63 1,59 1,55 1,440 -	20 16 2 3 20 20 10 6 -	1,420 1,361 1,281 1,251 1,200 1,140 1,110 1,014 1,000	2 5 13 2 8 3 2 2 3
<b>3FeO Al<sub>2</sub>O<sub>3</sub> 3SiO<sub>2</sub></b>	2,61 1,84	100 80	1,17	60	1,06	55
<b>Кобальт – α – Co</b>	2,182 1,920 1,490 1,250 1,145	80 100 20 70 30	1,064 1,045 0,953 0,839 0,788	60 30 10 20 20	0,752 0,738 0,717 -	10 10 10 -
<b>β – Co</b>	2,04 1,77 1,253 1,066	100 44 22 22	1,021 0,886 0,813 0,792	5 3 3 3	0,723 0,682 -	3 3 -
<b>CoO</b>	2,45 2,12 1,50 1,281	67 100 100 40	1,227 1,060 0,975 0,951	40 10 10 30	0,869 0,819 -	20 7 -
<b>Co(OH)<sub>2</sub></b>	4,40 2,44 2,31 1,80	100 23 83 40	1,50 1,425 1,367 1,215	8 40 27 5	1,196 1,162 1,120 -	1 4 4 -

<chem>CuCO3</chem>	3,64 2,76 2,34	40 100 11	2,12 1,96 1,71	11 11 71	1,50 1,415 1,355	11 11 6
<chem>CoB2O4</chem>	2,88 2,53 2,44 2,08 2,03 1,856	75 6 100 3 12 3	1,745 1,649 1,600 1,555 1,427 1,367	6 24 12 75 75 3	1,278 1,232 1,081 1,052 1,010 -	6 12 6 12 4 -
<chem>CoFe2O4</chem>	4,89 2,95 2,51 2,41 2,08 1,702	8 40 100 5 15 8	1,608 1,476 1,320 1,275 1,204 1,117	45 65 3 13 3 5	1,087 1,045 0,985 0,965 -	20 40 2 8 - -
<chem>CoCrO4</chem>	3,30 3,10 2,89	50 50 50	2,62 2,36 2,04	100 50 25	1,73 1,65 1,55	50 25 50
<chem>CoCr2O4</chem>	4,84 2,94 2,83 2,51 2,40 2,07	4 33 5 100 4 27	1,796 1,696 1,652 1,599 1,467 1,312	2 19 1 43 60 3	1,266 1,200 1,110 1,082 1,038 -	10 1 5 23 4 -
Никель - Ni	2,03 1,76 1,244	100 50 32	1,061 1,017 0,808	32 4 8	0,788 0,719 0,678	8 8 8
<chem>NiF2</chem>	3,30 2,55 2,23	100 62 20	1,719 1,650 1,516	62 15 10	1,383 1,257 1,120	15 5 5
<chem>Ni(OH)2</chem>	4,60 2,70 2,33	67 100 67	1,75 1,56 1,48	7 53 33	1,348 1,295 -	7 7 -
<chem>NiO</chem>	2,40 2,08 1,474 1,258	60 100 60 24	1,203 1,042 0,957 0,933	12 2 4 6	0,852 0,802 -	3 2 -
<chem>NiSO4</chem>	4,30 3,92 3,58 3,33 3,15 2,55 2,33 2,00	40 24 40 24 2 100 40 20	1,96 1,87 1,78 1,67 1,62 1,58 1,55 1,51	6 10 24 14 2 8 3 3	1,480 1,431 1,398 1,350 1,309 1,285 1,219 -	13 6 24 8 11 3 3 -
<chem>NiAl2O4</chem>	2,43 -	75 -	2,01 -	75 -	1,55 1,421	13 100

NiMnO <sub>4</sub>	4,85 2,97 2,53 2,41 2,09	12 30 100 25 50	1,71 1,61 1,480 1,280 1,260	8 40 60 8 12	1,207 1,119 1,090 1,048 -	8 4 10 4 -
Ni <sub>3</sub> (PO <sub>4</sub> ) <sub>2</sub> 8H <sub>2</sub> O	7,8 6,6 4,80 4,47 4,00 3,78 3,58 3,13 2,91	36 100 40 28 20 36 8 32 50	2,66 2,56 2,47 2,37 2,26 2,18 2,14 2,03 1,89	40 12 20 24 20 20 20 16 16	1,856 1,775 1,740 1,634 1,550 1,489 1,450 1,384 1,313	8 8 16 20 20 8 8 4 8
Уран (IV)оксид- UO <sub>2</sub>	3,157 2,735 1,934 1,649	100 48 49 47	1,579 1,368 1,255 1,223	13 9 18 15	1,1163 1,0523 -	13 15 -
Ураноксид – U <sub>3</sub> O <sub>8</sub>	4,10 3,38 2,61 2,06 1,971 1,943 1,782 1,760 1,702	4 10 7 3 5 6 2 8 5	1,673 1,578 1,547 1,501 1,431 1,415 1,376 1,314 1,297	4 4 3 1 2 3 1 2 4	1,277 1,238 1,219 1,134 1,123 1,100 0,991 -	5 4 3 1 2 5 5 -
Кислород – O <sub>2</sub>	3,17 3,04 2,92 2,75	Kз. Ў. Kз. Ки.	2,58 1,91 1,72 1,65	Kи. Ў. Kз. Kз.	1,60 1,46 1,36 -	Kи. Kз. Ў. -
Му3 – I – H <sub>2</sub> O	3,92 3,67 3,44 2,68	10 100 20 15	2,26 2,065 1,920 1,516	10 50 10 15	1,368 1,300 1,250 1,167	2 3 3 5
Му3 – II – H <sub>2</sub> O	3,8 3,0 2,7 2,19 2,10 1,94	9 10 8 9 9 6	1,85 1,74 1,70 1,59 1,46 1,43	6 6 6 6 6 6	1,34 1,29 1,26 1,18 1,14 -	6 8 6 4 6 -
Му3 – III – H <sub>2</sub> O	3,60 3,39 2,90 2,66 2,55 2,28 2,10 2,07	10 8 8 6 8 6 8 8	1,92 1,86 1,79 1,68 1,62 1,58 1,53 1,48	8 6 6 7 4 6 5 6	1,46 1,43 1,38 1,36 1,32 1,28 1,23 1,20	6 6 4 7 4 6 6 6

## **Такрорлаш учун саволлар**

1. Рентген нури қачон ва ким томонидан кашф этилган?
2. Рентген нурларининг тўлқин узунлигини мкм ва ҳар ўлчовида келтиринг.
3. «Қаттиқ» ва «юмшоқ» рентген нурлари деб қандай тулқин узунлигига эга бўлган нурларга айтилади?
4. Ота-бала Бреғглар томонидан тақдим қилинган рентген нури дифракциясига оид формуулани ёзиб беринг.
5. Рентген нури ёрдамида бажариладиган рентгенологик текшириш усуllibарини санаб беринг.
6. Фотоусул ишлари учун мўлжалланган қандай рентгенотузилма таҳлили аппаратларини биласиз?
7. Нурланишни ионизациян қайд этиш таҳлили аппаратларини номи ва русумини келтиринг.
8. Рентген аппаратларининг асосий қисмларининг номлари ва тузилиши ҳақида маълумотлар беринг.
9. Рентген трубкаси рентгенографик аппаратларда қандай ролни бажаради, улар конструктив қандай деталлардан ташкил топган?
10. Кенотрон, чўгланиш реостати, юқори вольтли трансформатор каби рентген аппарати қисмларининг тузилиши ва вазифалари ҳақида маълумотлар келтиринг.
11. РКД-57 камерасининг тузилиши ва асосий қисмлари ҳақида фикрингизни билдиринг.
12. УРС-50И ионизациян рентген қурилмасининг принципиал блок-чизмасини келтиринг.
13. Рентгенографик таҳлилдан фойдаланиш имкониятлари қандай?
14. Рентгенографик таҳлил афзаликларини санаб беринг.
15. Рентгенографик усул камчиликлардан холими?

## ФОЙДАЛАНИЛГАН АДАБИЁТЛАР РЎЙХАТИ

1. Азимов Ш.Ю., Тожиев Ф.Х. Анерганик моддаларнинг физика - кимёвий анализи. -Тошкент: Ўқитувчи, 1977.-132 б.
2. Азимов Ш.Ю., Исматов А.А., Федоров Н.Ф. Апатиты их редкоземельные аналоги.- Ташкент: ФАН, 1990.-116 с.
3. Алексеев А.Г., Варгин В.В. Катализированная регулируемая кристаллизация стекол литиевоалюмосиликатной системы.-М.-Л.: Химия, 1964.-120с.
4. Берг Л.Г. Введение в термографию. -М.: АН СССР, 1961.
5. Берг Л.Г., Бурмистров Н.П., Озерова М.И., Цуриков Г.Г. Практическое руководство по термографии. -Казан: КазанГУ, 1967.
6. Вегман Е.Ф., Руфанов Ю.Г., Федорченко И.Н. Кристаллография, минералогия, петрография и рентгенография. — М.: Металлургия, 1990.- 262 с.
7. Винчелл А.Н., Винчелл Г. Оптические свойства искусственных минералов. — М.: Мир, 1967.-526 с.
8. Васильев Е.К., Кащаева Г.М., Ушаповская З.Ф. Рентгенографический определитель минералов. —М.: Наука, 1974.
9. Горшков В.С., Тимашев В.В., Савельев В.Г. Методы физико-химического анализа вяжущих веществ. — М.: Высшая школа, 1981.-281 с.
10. Драго Р. Физические методы в неорганической химии.- М.: Мир, 1967.
11. Егунов В.П. Введение в термический анализ.- Самара. Самара ГУ, 1996. -270 с.
12. Зинюк Р.Ю., Балыков А.Г., Гавриленко И.В. ИК спектроскопия в неорганической технологии. —Л.: Химия, 1983.
13. Исматов А.А., Сиражиддинов Н.А. Свойства и изоморфизм мелилитов. -Ташкент: ФАН, 1983.-152с.
14. Исматов А.А., Юнусов М.Ю., Максудов Д.И. Полевошпатовое сырье Средней Азии для производства фарфора -М.: Легпромбытиздат, 1988.-136с.
15. Исматов А.А. Синтез и физико-химическое исследование некоторых классов неорганических соединений. — Дисс. на соис. уч. ст. доктора химических наук.- Л.: ЛТИ, 1972. — 347с.
16. Исматов А.А., Шерназарова М.Т., Якубов Т.Н. Стеновая керамика с использованием палеоглин и лессовых пород. — Ташкент: ФАН, 1993. — 118с.

17. Кристаллография, рентгенография и электронная микроскопия. — М.: Металлургия, 1982.-632с.
18. Козлова О.Г. Морфологи – генетический анализ кристаллов. — М.: МГУ, 1991. – 223 с.
19. Ковба Л.М., Трунов В.К. Рентгенофазовый анализ. — М.: МГУ, 1969-160 с.
20. Лазарев А Н. Колебательные спектры и строение силикатов. — Л.: Наука, 1968.-347 с.
21. Леонов А.И. Высокотемпературная химия кислородных соединений церия. — Л.: Наука, 1969.-201с.
22. Липовский В.Н., Берёзкин В.Т. Автоматические газовые потоковые хромотографы. —М.: Химия, 1982.
23. Минералогическая энциклопедия. — Л.: Недра. 1985.- 512с.
24. Минералогический справочник технолога – обогатителя. —Л.: Недра, 1985.-264с.
25. Миркин Л.И. Справочник по рентгеноструктурному анализу поликристаллов. — М.: Физматгиз, 1961.-863 с.
26. Михеев В.И., Сальдау Э.П. Рентгенофикационный определитель минералов [Т.II]. — Л.: Недра, 1965.-364с.
27. Славин В. Атомно-абсорбционная спектрометрия - М.: Химия, 1971.
28. Плюснина И. И. Инфракрасные спектры силикатов. - М.: МГУ, 1967.-189с.
29. Плюснина И. И. Инфракрасные спектры минералов. - М.: МГУ, 1977.-174с.
30. Справочник по электротехническим материалам / Под. ред. Корисского Ю.М., Пасынкова В В., Тареева Б.М. в 3-х томах. —М.: Энергоатомиздат, 1986 т. 1; 1987 т.2: 1988 т.3
31. Таблица физических величин. Справочник / Под. ред. И.К.Кикоина.- М.: Атомиздат, 1976.-106 с.
32. Торопов Н.А., Барзаковский В.П., Лапин В.В., Курцева Н.Н. Диаграмма состояния силикатных систем. Справочник. Выпуск первый. Двойные системы. — Л.: Наука, 1969. – 822с.
33. Фекличев В.Г. Диагностические спектры минералов.- М.:Недра, 1977.-228с.
34. Юнусов М.Ю., Ильганаев В.Б., Исматов А.А. Мало-и много железистые оксидные стекла.-Ташкент: Узбекистан, 1991.-128 с.
35. Қўшмуродов О.Қ., Зоҳидов К.С. Элементлар геокимёси.-Тошкент: ТДТУ, 1996.-72 бет.

36. Ҳамробоеев И.Х., Ражабов Ф.Ш. Петрография асослари.  
-Тошкент: Ўқитувчи, 1984.-184 6.
37. Schaumburg H. (Hrsg.). Keramik. — Stuttgart, B.G.Teubner, 1994. — 654р.

## МУНДАРИЖА

СЎЗ БОШИ ..... 3

КИРИШ ..... 4

## БИРИНЧИ БОБ. ФИЗИК-КИМЁВИЙ ТАҲЛИЛНИНГ АСОСИЙ УСУЛЛАРИ

1-§. Физик-кимёвий таҳлил усуларини ривожлантиришда жақон, Марказий Осиё ва Ўзбекистон олимларининг ҳиссаси.....	7
2-§. Физик-кимёвий таҳлил търифи .....	8
3-§. Фанда қулланиладиган асосий тушунчалар.....	10
4-§. Физик-кимёвий таҳлилнинг асосий усуллари.....	11
5-§. Физик-кимёвий, термик ва бошқа таҳлил усуллари ёрдамида аниқланадиган кўрсаткичлар.....	14
Такрорлаш учун саволлар.....	15

## ИККИНЧИ БОБ. МИКРОСКОПИК ТАҲЛИЛ

6-§. Микроскопик текшириш усули аҳамияти ва ривожи.....	16
7-§. Кристаллооптика усули.....	18
8-§. Таҳлилда аниқланадиган асосий ҳусусиятлар..	19
9-§. Усулдан фойдаланишнинг имкониятлари.....	23
10-§. Усулнинг афзаллiği ва камчиликлари.....	24
11-§. Микроскопия усули аппаратлари.....	25
12-§. Микроскоплар учун мосламалар.....	30
13-§. Препаратларни тайёрлаш усуллари.....	32
14-§. Микрофотография намуналари.....	34
15-§. Тупроқ минераллари, баъзи бир оксидлар ва кальций оксиди-кремний оксиди тизимидағи фазаларнинг оптик характеристикалари.....	38
16-§. Диагностика мақсадларида фойдаланиладиган микроскопик кўрсаткичлар.....	41
Такрорлаш учун саволлар.....	73

## ЧИСЛЕННЫЙ ОБРАЗОВАНИЕ СТРУКТУРЫ СЛОВА ТАКЖЕ

21.1. Повторение предыдущего членов	17
21.2. Несколько одинаковых повторений	17
21.3. Каждый одинаковый повторяющий член имеет значение	17
21.4. Каждое единичное	18
21.5. Члены, имеющие одинаковые значения	18
21.6. Годарение однотипного членов выражения	18
21.7. ЧМК, определяющее значение выражения	19
21.8. Однотипные члены членов	19
21.9. ЧМК, состоящие из членов...	19
21.10. Каждая фраза имеет значение	19
21.11. Каждый член выражения имеет одинаковое значение	19
Говорить умею говорить	20

## ЧИСЛЕННЫЙ ОБРАЗ ТУЧЕЙ ТАКЖЕ

22.1. Конечные члены членов	21
22.2. Длинные члены	21
22.3. Повторяющие члены членов (ЧМК)	21
22.4. Конечные члены членов	21
22.5. Повторяющие члены	22
22.6. Каждый единичный	22
22.7. Каждый член, состоящий из конечных членов членов	22
22.8. Равнозначные единичные члены	22
22.9. Каждый одинаковый единичный член имеет значение	22
22.10. Каждый единичный член выражения имеет одинаковое значение	22
Говорить умею говорить	23

## ЧИСЛЕННЫЙ ОБРАЗ РЕПЕТИЦИОННАЯ ТАКЖЕ

23.1. Равнозначные единичные члены	24
23.2. Равнозначные единичные члены	24
23.3. Каждый одинаковый единичный	24
23.4. Каждый единичный член выражения имеет одинаковое значение	24
23.5. Повторяющие члены	25
23.6. Равнозначные единичные члены выражения	25
23.7. Абсолютно одинаковые единичные члены	25
23.8. Фиксированные равнозначные члены	25
23.9. Каждый единичный член, имеющий одинаковое значение	25
23.10. Каждый одинаковый единичный член имеет одинаковое значение	25
23.11. Каждый единичный член выражения имеет одинаковое значение	25
23.12. Каждый единичный член выражения имеет одинаковое значение	25
23.13. Каждый единичный член выражения имеет одинаковое значение	25
23.14. Каждый единичный член выражения имеет одинаковое значение	25
23.15. Каждый единичный член выражения имеет одинаковое значение	25
23.16. Каждый единичный член выражения имеет одинаковое значение	25
23.17. Каждый единичный член выражения имеет одинаковое значение	25
23.18. Каждый единичный член выражения имеет одинаковое значение	25
23.19. Каждый единичный член выражения имеет одинаковое значение	25
23.20. Каждый единичный член выражения имеет одинаковое значение	25
Говорить умею говорить	26

## СЛОВА В ЧИСЛЕННОМ ОБРАЗЕ ИХ ПРИДАЧА

卷之三

## Key findings

Concerns about the future of the environment were the most frequently mentioned theme.

### Environmentally friendly behaviour

Concerns about the environment were associated with more environmentally friendly behaviour.

### Concerns about the environment and environmentalism

Concerns about the environment were associated with environmentalism.